

การศึกษาการรับน้ำหนักในแนวแกนของกำแพงอิฐมอญที่ใช้วัสดุที่ผลิตในชลบุรี

STUDY OF CAPACITY OF AXILLY LOADED LOAD-BEARING CLAY BRICK WALLS USED  
BRICKS MADE IN CHON BURI

นายชัยพฤกษ์ ชิวไพบูลย์ศิลป์

นายวศิน มีอันนต์

โครงการนี้เป็นส่วนหนึ่งของการศึกษาตามหลักสูตรปริญญาวิศวกรรมศาสตร์บัณฑิต

ภาควิชาวิศวกรรมโยธา คณะวิศวกรรมศาสตร์

มหาวิทยาลัยบูรพา

ปีการศึกษา 2553

STUDY OF CAPACITY OF AXILLY LOADED LOAD-BEARING CLAY BRICK WALLS USED  
BRICKS MADE IN CHON BURI

Mr. Chaiyapruek Cheewapaibulsin

Mr. wasin Meeanan

An Engineering Project Submitted in Partial Fulfillment of Requirements

for the Degree of Bachelor of Engineering

Department of Civil Engineering

Burapha University

2007

ปริญญาบัตร

การศึกษาการรับน้ำหนักในแนวแกนของกำแพงอิฐมอญที่ใช้วัสดุที่ผลิตในชลบุรี

โดย

นายชัยพฤกษ์ ชีวไพบูลย์ศิลป์

นายวศิน มีอนันด์

อาจารย์ที่ปรึกษา

อาจารย์ เอ农ก ชนาวงศ์

ปีการศึกษา

2553

ภาควิชาศึกษาศาสตร์ คณะวิศวกรรมศาสตร์ มหาวิทยาลัยบูรพา อนุมัติโครงงานทางวิศวกรรมนี้  
เป็นส่วนหนึ่งของการศึกษาตามหลักสูตรปริญญาศึกษาศาสตร์บัณฑิต

(ผู้ช่วยศาสตราจารย์ ดร. อานันท์ วงศ์เก้า)

(อาจารย์ เอ农ก ชนาวงศ์)

คณะกรรมการสอนโครงงาน

(อาจารย์ เอ农ก ชนาวงศ์)

(อาจารย์ ดร. ธรรมนูญ รัศมีมาสเมือง)

(ผู้ช่วยศาสตราจารย์ ดร. อานันท์ วงศ์เก้า)

## บทคัดย่อ

การใช้อิฐมอญในงานก่อสร้างอาคาร โครงสร้างต่างๆ ในประเทศไทยนับตั้งแต่ในอดีตเป็นต้นมา มีวัตถุประสงค์เพียงใช้กำแพงอิฐมอญเป็นผนังของอาคารที่ไม่ได้ให้รับน้ำหนักของส่วนของ โครงสร้างที่อยู่เหนือกำแพงอิฐมอญขึ้นไป โครงงานนี้เป็นการศึกษาถึงการรับน้ำหนักเบกทันในแนวแกนของกำแพง อิฐมอญรับน้ำหนัก วัสดุอิฐมอญที่ใช้ในโครงงานนี้เป็นอิฐมอญที่ผลิตในท้องถิ่นในจังหวัดชลบุรีซึ่งอาจจะมีคุณสมบัติแตกต่างจากอิฐมอญที่ผลิตในแหล่งผลิตจากแหล่งผลิตอื่นๆ ในประเทศไทย .

ตัวอย่างกำแพงทดสอบที่ใช้ในโครงงานนี้ใช้ลักษณะการก่อแบบสลับแนว(running bond) โดยก่อผนังทดสอบขนาดกว้าง 1 เมตร สูง 1.00 เมตร จำนวน 12 ตัวอย่าง และตัวอย่างแท้ที่ผนังอิฐมอญขนาด  $0.30 \times 0.30$  เมตร จำนวน 30 ตัวอย่าง

ผลการทดลองพบว่ากำลังการรับน้ำหนักเบกทัน ในแนวแกนของกำแพงตัวอย่าง พนับว่ากำแพงที่ใช้อิฐมอญชนิดดินสามารถรับน้ำหนักได้มากกว่ากำแพงที่ก่อด้วยอิฐมอญแบบมีรูกลวง ในการทดสอบ

กำแพงตัวอย่างได้ทดสอบโดยแรงกดจนถึงจุดประดับ เมื่อเขียนเส้นกราฟแสดงความสัมพันธ์ระหว่างหน่วยแรงอัดกับความเครียดของกำแพงตัวอย่างทดสอบ ส่วนใหญ่มีลักษณะเป็นเส้นโค้ง ซึ่งแสดงให้เห็นว่ากำแพงอิฐมอญแสดงพฤติกรรมของวัสดุเป็นรูป

คำสำคัญ :

อิฐมอญ น้ำหนักเบกทัน ในแนวแกน การก่อกำแพงแบบสลับแนว หน่วยแรงอัด ความเครียดอัด จุดประดับ

## Abstract

Clay brick walls has been used in building construction in Thailand since the ancient time. The usages of clay brick wall at that time were as only wall partitions of buildings, those walls were not used to bear the weights of the upper structural components of buildings. The study of this of this project is to know bearing capacity of load-bearing clay brick walls. Clay brick used in this project are local made from Chon Buri Province which have different properties from those made from other parts of Thailand. The tested walls are 1.00 m x 1.00 m. 12 pieces and the wall prisms of 0.30 m x 0.30 m 30 pieces.

The results of tests shown that bearing capacity of the tested specimens and the tested wall specimens which are made from solid clay bricks are higher than those of hollow-cored clay bricks.

In the tests, all specimens has been loaded until they reached their breaking loads. And the shapes of the graphs ,which shown the relation between compressive stress and compressive strain are all curves.

These curves reveal that brick walls have behavior as brittle material.

### Key Words :

clay brick; axially load bearing capacity ; running bond wall pattern; compressive strength; compressive strain; bearing capacity

## กิตติกรรมประกาศ

การจัดทำปริญญานิพนธ์ในครั้งนี้สามารถสำเร็จลุล่วงไปได้ด้วยดี โดยได้รับความอนุเคราะห์จาก  
อาจารย์ เอ农ก ชุมวงศ์ อาจารย์ที่ปรึกษาปริญญานิพนธ์, ผู้ช่วยศาสตราจารย์ ประวัติ ตั้งศิริวัฒนาภูลและ  
อาจารย์ประจำภาควิชาศิวกรรมโขราทุกท่าน ที่ให้คำปรึกษา คำแนะนำ ที่เป็นประโยชน์ เพื่อให้สามารถทำ  
ปริญญานิพนธ์จนเสร็จสมบูรณ์

นอกจากนี้ยังมีบุคคลอีกหลายคนที่ไม่ได้กล่าวถึง ที่มีส่วนช่วยเหลือในการจัดทำปริญญานิพนธ์  
ครั้งนี้ คงจะต้องยกให้ คณบดี คณบุคลากร ของมหาวิทยาลัย ที่นี้ด้วย

ท้ายที่สุดนี้หวังเป็นอย่างยิ่งว่าปริญญานิพนธ์นี้มีส่วนให้ข้อมูลที่เป็นประโยชน์แก่ผู้ที่สนใจศึกษา  
และเป็นรากฐานในการพัฒนาการศึกษาต่อไปในภายหน้า กระผมจึงขอกราบขอบพระคุณท่านอาจารย์เป็น  
อันดับสูง

ด้วยความเคารพอย่างสูง

นายชัยพฤกษ์ ชีวไพบูลย์ศิลป์

นายวศิน มีอันนันต์

## สารบัญ

หน้า

อนุมติโครงการ	ก
บทคัดย่อภาษาไทย	ข
บทคัดย่อภาษาอังกฤษ	ค
กิตติกรรมประกาศ	ง
สารบัญ	จ
สารบัญตาราง	ช
 บทที่ 1 บทนำ	 1
1.1 ความเป็นมา	1
1.2 วัสดุประสงค์	2
1.3 ขอบเขตของโครงการ	2
1.4 แผนการดำเนินงาน	2
 บทที่ 2 ทดสอบวิจัยที่เกี่ยว	 4
2.1 ทดสอบที่เกี่ยวข้อง	4
2.2 ข้อมูลทั่วไป	7
 บทที่ 3 วิธีและขั้นตอนการทดสอบ	 23
3.1 การทดสอบการดูดซึมน้ำของอิฐ(Absorption test of brick)	23
3.2 การทดสอบกำลังอัดอิฐ(Compressive test of brick)	28
3.3 การทดสอบแรงดึงดูดของอิฐ(Flexural strength of brick)	32
 บทที่ 4 ผลการทดสอบ	 35
4.1 ผลการทดสอบการดูดซึมน้ำของอิฐมอย (Absorption test of brick)	36
4.2 ผลการทดสอบการรับแรงอัดของอิฐมอย (Compressive strength of brick)	40
4.3 ผลการทดสอบแรงดึงดูดของอิฐมอย (Flexural strength of brick)	44
4.4 ผลการทดสอบกำลังรับแรงอัดของซีเมนต์อร์ต้าร์ (Compressive strength of cement mortar)	48

## สารบัญ

หน้า

4.5 ผลการทดสอบแรงดัดของซีเมนต์มอร์ตาร์ (Flexural strength of cement mortar)	49
4.6 ผลการทดสอบแรงดึงของซีเมนต์มอร์ตาร์ (Tensile strength of cement mortar)	50
4.7 ผลการทดสอบกำลังรับแรงอัดชิ้นส่วนของกำแพงอิฐมอญ (Compressive strength of parts brick wall)	52
4.8 ผลการทดสอบกำลังรับแรงอัดของกำแพงอิฐมอญ (Compressive strength of brick wall)	68
 บทที่ 5 การวิเคราะห์และสรุปผลการทดลอง	 102
5.1 ผลการทดสอบการดูดซึมน้ำของอิฐมอญ (Absorption test of brick)	102
5.2 ผลการทดสอบการรับแรงอัดของอิฐมอญ (Compressive strength of brick)	102
5.3 ผลการทดสอบแรงดัดของอิฐมอญ (Flexural strength of brick)	102
5.4 ผลการทดสอบกำลังรับแรงอัดของซีเมนต์มอร์ตาร์ (Compressive strength of cement mortar)	103
5.5 ผลการทดสอบแรงดัดของซีเมนต์มอร์ตาร์ (Flexural strength of cement mortar)	104
5.6 ผลการทดสอบแรงดึงของซีเมนต์มอร์ตาร์ (Tensile strength of cement mortar)	104
5.7 ผลการทดสอบกำลังรับแรงอัดชิ้นส่วนของกำแพงอิฐมอญ (Compressive strength of parts brick wall)	104
5.8 ผลการทดสอบกำลังรับแรงอัดของกำแพงอิฐมอญ (Compressive strength of brick wall)	105
 ข้อเสนอแนะ	 106
 บรรณานุกรม	 107
 ภาคผนวก	 110
ก. ข้อมูลการทดสอบ	111
ข. ตัวอย่างการคำนวณ	223

## สารบัญรูป

รูปที่	หน้า
2.1 ดอคแบบ	11
2.2 การเรียงเครื่องการเผา	11
2.3 ทำการเผาเสร็จ	12
2.4 เครื่องของอัคไไซครอลิกส์	12
3.1 อิฐก่อสร้างสามัญ	24
3.2 เครื่องมือช่างที่สามารถอ่านได้ละเอียดถึง 0.01 กรัม	24
3.3 ภาชนะที่สามารถแข็งตัวอย่าง	25
3.4 ตู้อบ	25
3.7 เครื่องทดสอบกำลังรับแรงอัด	30
4.1 กราฟความสัมพันธ์ระหว่างกำลังอัด(Compressive strength) กับอายุ (Age) ของซีเมนต์มอร์ตาร์ (Cement Mortar)	48
4.2 กราฟความสัมพันธ์ระหว่างกำลังอัด(Compressive strength) กับอายุ (Age) ของซีเมนต์มอร์ตาร์ (Cement Mortar)	50
4.3 กราฟความสัมพันธ์ระหว่างแรงตึง (Tensile strength) กับอายุ (Age) ของซีเมนต์มอร์ตาร์	51
4.4 กราฟความสัมพันธ์ระหว่าง Stress และ Strain ของตัวอย่าง PB - 2H / M <sub>2</sub> /1	52
4.5 กราฟความสัมพันธ์ระหว่าง Load และ Displacement ของตัวอย่าง PB - 2H / M <sub>2</sub> /1	53
4.6 กราฟความสัมพันธ์ระหว่าง Stress และ Strain ของตัวอย่าง PB - 2H / M <sub>1</sub> /1	53
4.7 กราฟความสัมพันธ์ระหว่าง Load และ Displacement ของตัวอย่าง PB - 2H / M <sub>1</sub> /1	54
4.8 กราฟความสัมพันธ์ระหว่าง Stress และ Strain ของตัวอย่าง PB – 2B / M <sub>2</sub> /1	54
4.9 กราฟความสัมพันธ์ระหว่าง Load และ Displacement ของตัวอย่าง PB – 2B / M <sub>2</sub> /1	55
4.10 กราฟความสัมพันธ์ระหว่าง Stress และ Strain ของตัวอย่าง PB – 2B / M <sub>1</sub> /1	55
4.11 กราฟความสัมพันธ์ระหว่าง Load และ Displacement ของตัวอย่าง PB – 2B / M <sub>1</sub> /1	56
4.12 กราฟความสัมพันธ์ระหว่าง Stress และ Strain ของตัวอย่าง PB – FB / M <sub>2</sub> /1	56
4.13 กราฟความสัมพันธ์ระหว่าง Load และ Displacement ของตัวอย่าง PB – FB / M <sub>2</sub> /1	57
4.14 กราฟความสัมพันธ์ระหว่าง Stress และ Strain ของตัวอย่าง PB – FB / M <sub>1</sub> /1	57
4.15 กราฟความสัมพันธ์ระหว่าง Load และ Displacement ของตัวอย่าง PB – FB / M <sub>1</sub> /1	58

## สารบัญรูป (ต่อ)

รูปที่	หน้า
4.16 กราฟความสัมพันธ์ระหว่าง Stress และ Strain ของตัวอย่าง PB – 4H / M <sub>2</sub> /1	58
4.17 กราฟความสัมพันธ์ระหว่าง Load และ Displacement ของตัวอย่าง PB – 4H / M <sub>2</sub> /1	59
4.18 กราฟความสัมพันธ์ระหว่าง Stress และ Strain ของตัวอย่าง PB – 2H / M <sub>1</sub> /1.	59
4.19 กราฟความสัมพันธ์ระหว่าง Load และ Displacement ของตัวอย่าง PB – 2H / M <sub>1</sub> /1.	60
4.20 กราฟความสัมพันธ์ระหว่าง Stress และ Strain ของตัวอย่าง PB – 2H / M <sub>2</sub> /1.5	60
4.21 กราฟความสัมพันธ์ระหว่าง Load และ Displacement ของตัวอย่าง PB – 2H / M <sub>2</sub> /1.5	61
4.22 กราฟความสัมพันธ์ระหว่าง Stress และ Strain ของตัวอย่าง PB – 2B / M <sub>1</sub> /1.5	61
4.23 กราฟความสัมพันธ์ระหว่าง Load และ Displacement ของตัวอย่าง PB – 2B / M <sub>1</sub> /1.5	62
4.24 กราฟความสัมพันธ์ระหว่าง Stress และ Strain ของตัวอย่าง PB – 2B / M <sub>2</sub> /1.5	62
4.25 กราฟความสัมพันธ์ระหว่าง Load และ Displacement ของตัวอย่าง PB – 2B / M <sub>2</sub> /1.5	63
4.26 กราฟความสัมพันธ์ระหว่าง Stress และ Strain ของตัวอย่าง PB – F / M <sub>1</sub> /1.5	63
4.27 กราฟความสัมพันธ์ระหว่าง Load และ Displacement ของตัวอย่าง PB – F / M <sub>1</sub> /1.5	64
4.28 กราฟความสัมพันธ์ระหว่าง Stress และ Strain ของตัวอย่าง PB – F / M <sub>2</sub> /1.5	64
4.29 กราฟความสัมพันธ์ระหว่าง Stress และ Strain ของตัวอย่าง PB – F / M <sub>2</sub> /1.5	65
4.30 กราฟความสัมพันธ์ระหว่าง Load และ Displacement ของตัวอย่าง PB – 4H / M <sub>1</sub> /1.5	65
4.31 กราฟความสัมพันธ์ระหว่าง Stress และ Strain ของตัวอย่าง PB – 4H / M <sub>1</sub> /1.5	66
4.32 กราฟความสัมพันธ์ระหว่าง Load และ Displacement ของตัวอย่าง PB – 4H / M <sub>1</sub> /1.5	66
4.33 กราฟความสัมพันธ์ระหว่าง Stress และ Strain ของตัวอย่าง PB – 4H / M <sub>1</sub> /1.5	67
4.34 กราฟความสัมพันธ์ระหว่าง Stress และ Strain ในแกน Y ของตัวอย่าง WB – 2H / M <sub>1</sub> - 01	68
4.35 กราฟความสัมพันธ์ระหว่าง Stress และ Strain ในแกน X ของตัวอย่าง WB – 2H / M <sub>1</sub> - 01	69
4.36 กราฟความสัมพันธ์ระหว่าง Stress และ Strain ในแกน Y ของตัวอย่าง WB – 2H / M <sub>1</sub> - 02	70
4.37 กราฟความสัมพันธ์ระหว่าง Stress และ Strain ในแกน X ของตัวอย่าง WB – 2H / M <sub>1</sub> - 02	71
4.38 กราฟความสัมพันธ์ระหว่าง Stress และ Strain ในแกน Y ของตัวอย่าง WB – 2H / M <sub>2</sub> - 01	72

## สารบัญรูป (ต่อ)

รูปที่		หน้า
4.39	กราฟความสัมพันธ์ระหว่าง Stress และ Strain ในแกน X ของตัวอย่าง WB – 2H / M <sub>2</sub> - 01	73
4.40	กราฟความสัมพันธ์ระหว่าง Stress และ Strain ในแกน Y ของตัวอย่าง WB – 2H / M <sub>2</sub> - 02	74
4.41	กราฟความสัมพันธ์ระหว่าง Stress และ Strain ในแกน X ของตัวอย่าง WB – 2H / M <sub>2</sub> - 02	75
4.42	กราฟความสัมพันธ์ระหว่าง Stress และ Strain ในแกน Y ของตัวอย่าง WB – 2B / M <sub>1</sub> - 01	76
4.43	กราฟความสัมพันธ์ระหว่าง Stress และ Strain ในแกน X ของตัวอย่าง WB – 2B / M <sub>1</sub> - 01	77
4.44	กราฟความสัมพันธ์ระหว่าง Stress และ Strain ในแกน Y ของตัวอย่าง WB – 2B / M <sub>1</sub> - 02	78
4.45	กราฟความสัมพันธ์ระหว่าง Stress และ Strain ในแกน X ของตัวอย่าง WB – 2B / M <sub>1</sub> - 02	79
4.46	กราฟความสัมพันธ์ระหว่าง Stress และ Strain ในแกน Y ของตัวอย่าง WB – 2B / M <sub>2</sub> - 01	80
4.47	กราฟความสัมพันธ์ระหว่าง Stress และ Strain ในแกน X ของตัวอย่าง WB – 2B / M <sub>2</sub> - 01	81
4.48	กราฟความสัมพันธ์ระหว่าง Stress และ Strain ในแกน Y ของตัวอย่าง WB – 2B / M <sub>2</sub> - 02	82
4.49	กราฟความสัมพันธ์ระหว่าง Stress และ Strain ในแกน X ของตัวอย่าง WB – 2B / M <sub>2</sub> - 02	83
4.50	กราฟความสัมพันธ์ระหว่าง Stress และ Strain ในแกน Y ของตัวอย่าง WB – F / M <sub>1</sub> - 01	85
4.51	กราฟความสัมพันธ์ระหว่าง Stress และ Strain ในแกน X ของตัวอย่าง WB – F / M <sub>1</sub> - 01	85
4.52	กราฟความสัมพันธ์ระหว่าง Stress และ Strain ในแกน Y ของตัวอย่าง WB – F / M <sub>1</sub> - 02	86

## สารบัญ (ต่อ)

รูปที่		หน้า
4.53	กราฟความสัมพันธ์ระหว่าง Stress และ Strain ในแกน X ของตัวอย่าง WB – F / M <sub>1</sub> - 02	87
4.54	กราฟความสัมพันธ์ระหว่าง Stress และ Strain ในแกน Y ของตัวอย่าง WB – F / M <sub>2</sub> - 01	88
4.55	กราฟความสัมพันธ์ระหว่าง Stress และ Strain ในแกน X ของตัวอย่าง WB – F / M <sub>2</sub> - 01	89
4.56	กราฟความสัมพันธ์ระหว่าง Stress และ Strain ในแกน Y ของตัวอย่าง WB – F / M <sub>2</sub> - 02	90
4.57	กราฟความสัมพันธ์ระหว่าง Stress และ Strain ในแกน X ของตัวอย่าง WB – F / M <sub>2</sub> - 02	91
4.58	กราฟความสัมพันธ์ระหว่าง Stress และ Strain ในแกน Y ของตัวอย่าง WB – 4H / M <sub>1</sub> - 01	92
4.59	กราฟความสัมพันธ์ระหว่าง Stress และ Strain ในแกน X ของตัวอย่าง WB – 4H / M <sub>1</sub> - 01	93
4.60	กราฟความสัมพันธ์ระหว่าง Stress และ Strain ในแกน Y ของตัวอย่าง WB – 4H / M <sub>1</sub> - 02	94
4.61	กราฟความสัมพันธ์ระหว่าง Stress และ Strain ในแกน Y ของตัวอย่าง WB – 4H / M <sub>1</sub> - 02	95
4.62	กราฟความสัมพันธ์ระหว่าง Stress และ Strain ในแกน X ของตัวอย่าง WB – 4H / M <sub>2</sub> - 01	96
4.63	กราฟความสัมพันธ์ระหว่าง Stress และ Strain ในแกน Y ของตัวอย่าง WB – 4H / M <sub>2</sub> - 01	97
4.64	กราฟความสัมพันธ์ระหว่าง Stress และ Strain ในแกน X ของตัวอย่าง WB – 4H / M <sub>2</sub> - 02	98
4.65	กราฟความสัมพันธ์ระหว่าง Stress และ Strain ในแกน Y ของตัวอย่าง WB – 4H / M <sub>2</sub> - 02	99

## สารบัญตาราง

ตารางที่	หน้า
1 ตารางแสดงผลการดำเนินงาน (Project 1 & 2)	6
4.1 ผลการทดสอบการคุณคุณน้ำของอิฐมวล 2 รูลายข้าง	36
4.2 ผลการทดสอบการคุณคุณน้ำของอิฐมวล 2 รูไหญ	37
4.3 ผลการทดสอบการคุณคุณน้ำของอิฐมวลตัน	38
4.4 ผลการทดสอบการคุณคุณน้ำของอิฐมวล 4 รู	39
4.5 ผลการทดสอบการหาค่ารับแรงอัดของอิฐมวล 2 รูลายข้าง	40
4.6 ผลการทดสอบการหาค่ารับแรงอัดของอิฐมวล 2 รูไหญ	41
4.7 ผลการทดสอบการหาค่ารับแรงอัดของอิฐมวลตัน	42
4.8 ผลการทดสอบการหาค่ารับแรงอัดของอิฐมวล 4 รู	42
4.9 ผลการทดสอบการหาค่ารับแรงดึงดูดของอิฐมวล 2 รูลายข้าง	43
4.10 ผลการทดสอบการหาค่ารับแรงดึงดูดของอิฐมวล 2 รูไหญ	44
4.11 ผลการทดสอบการหาค่ารับแรงดึงดูดของอิฐมวลตัน	45
4.12 ผลการทดสอบการหาค่ารับแรงดึงดูดของอิฐมวล 4 รู	46
4.13 ผลการทดสอบกำลังของตัวอย่าง WB-2H/M <sub>1</sub> -01	68
4.14 ผลการทดสอบกำลังของตัวอย่าง WB-2H/M <sub>1</sub> -02	70
4.15 ผลการทดสอบกำลังของตัวอย่าง WB-2HR/M <sub>2</sub> -01	72
4.16 ผลการทดสอบกำลังของตัวอย่าง WB-2HR/M <sub>2</sub> -02	74
4.17 ผลการทดสอบกำลังของตัวอย่าง WB-2B/M <sub>1</sub> -01	76
4.18 ผลการทดสอบกำลังของตัวอย่าง WB-2B/M <sub>1</sub> -02	78
4.19 ผลการทดสอบกำลังของตัวอย่าง WB-2BR/M <sub>2</sub> -01	80
4.20 ผลการทดสอบกำลังของตัวอย่าง WB-2BR/M <sub>2</sub> -02	82
4.21 ผลการทดสอบกำลังของตัวอย่าง WB-F/M <sub>1</sub> -01	84
4.22 ผลการทดสอบกำลังของตัวอย่าง WB-F/M <sub>1</sub> -02	86
4.23 ผลการทดสอบกำลังของตัวอย่าง WB-FR/M <sub>2</sub> -01	88
4.24 ผลการทดสอบกำลังของตัวอย่าง WB-FR/M <sub>2</sub> -02	90
4.25 ผลการทดสอบกำลังของตัวอย่าง WB-4H/M <sub>1</sub> -01	92
4.26 ผลการทดสอบกำลังของตัวอย่าง WB-4H/M <sub>1</sub> -02	94
4.27 ผลการทดสอบกำลังของตัวอย่าง WB-4HR/M <sub>2</sub> -01	96

**สารนัยตาราง (ต่อ)**

ตารางที่	หน้า
4.28 ผลการทดสอบกำลังของตัวอย่าง WB-4HR/M <sub>2</sub> -02	98
4.29 เปรียบเทียบกำลังรับแรงอัดของกำแพงที่ได้จากการทดลองและการ	100
4.30 เปรียบเทียบความเคี้ยว (stress) ที่ได้จากการทดสอบกับผลจากการคำนวณ	101

มหาวิทยาลัยบูรพา  
Burapha University

## บทที่ 1

### บทนำ

#### 1.1 ปัญหาและที่มา

กำแพง (Walls) หรือผนังเป็นส่วนประกอบหนึ่งของอาคารที่วางตัวตามแนวคิ่ง ซึ่งอาจจะก่อขึ้นจาก canon หรือไม่ก็ได้ ซึ่งผนังสามารถแบ่งตามการใช้งานได้ 2 ประเภท คือ ผนังที่ได้แรงในแนวคิ่ง (Bearing Wall) และ ผนังที่ได้รับแรงจากด้านข้างหรือแรงเฉือน (Shear Wall) ซึ่งการคำนวณและออกแบบก็จะแตกต่างกันออกไป การออกแบบ Bearing Wall ก็จะออกแบบคล้ายคลึงกับการออกแบบเสา Shear Wall ก็จะเป็นการออกแบบของผนังที่รับแรงด้านข้าง ในงานทางด้านวิศวกรรมนั้นผนังไม่ถือเป็นส่วนหนึ่งของโครงสร้าง โดยจะเป็นส่วนหนึ่งของงานสถาปัตยกรรม

สำหรับผนังภายนอกนั้นโดยปกติองค์ประกอบที่สำคัญคือความเปลี่ยนแปลงของ อาคาร ร้อน หนาว แฉด ลม ฝน ภายนอกบ้าน ส่วนผนังภายนอกนี้ ทำหน้าที่แบ่งส่วนให้สอย ภายนอกในตัวอาคาร ให้เป็นสัดส่วน ตามการใช้สอย อย่างไรก็ได้ผนังก็สามารถทำหน้าที่เป็นโครงสร้างได้ ซึ่งผนังดังกล่าวจะต้องมีการออกแบบและทดสอบตามหลักวิศวกรรม เช่น ผนังอาคารซึ่งเชื่อมต่อกับฐาน รากสามารถทำหน้าที่รับน้ำหนักแทนเสาได้ ผนังลักษณะนี้ให้นึกภาพง่าย ๆ ว่าเป็นเสาที่ยึดขา ออกไปเป็น ผนังนั่นเอง ผนังชนิดนี้จึงมีราคาค่อนข้างแพงกว่า ผนังโดยทั่วไป

อิฐ (Brick) เป็นวัสดุก่อสร้างที่ผลิตจากดินเหนียวหรือดินเผา ตามปกติจะทำเป็นก้อน สี่เหลี่ยม กละที่ยังมีสภาพเหนียวไว้ก่อนได้ จะนำไปอบในเตาเผา ซึ่งปัจจุบันอิฐได้มีการพัฒนา แบ่งออกมานเป็นหลายประเภทเพื่อให้สอดคล้องกับความต้องการที่จะนำไปใช้งาน เพื่อให้กันเพ่งมี ความทนทานมากขึ้น

สำหรับงานสถาปัตยกรรมสามารถนำมาระบุกต์เพื่อนำไปใช้เป็นผนังรับกำลัง จึงได้มี การศึกษาผนังรับกำลังซึ่งมีการก่อแบบสลับ(Running Bond) และมีการก่อแบบตรง(Stack Bond) เพื่อเปรียบเทียบกำลังรับแรงอัดของอิฐแต่ละชนิดเพื่อนำไปใช้เป็นข้อมูลในการตัดสินใจเลือกใช้วัสดุในการออกแบบกำแพงรับแรงในแนวแกนต่อไป

## 1.2 วัตถุประสงค์

เพื่อศึกษาและเปรียบเทียบกำลังรับแรงอัดของผนังก่ออิฐในแนวแกน

เพื่อศึกษาคุณสมบัติของอิฐทางด้านวิศวกรรม

## 1.3 ขอบเขตและการศึกษา

ศึกษาがらังรับแรงอัดในแกนตั้งจากของผนังแต่ละชนิด

ศึกษาがらังรับตามแนวแกนของผนังอิฐแต่ละชนิดที่ก่อแบบลับ (Running Bond)

โดยไม่เสริมเหล็ก

ศึกษาคุณสมบัติของอิฐและความเหมาะสมการประยุกต์ใช้อิฐกับโครงสร้าง

## 1.4 แผนการดำเนินงาน

แผนการดำเนินงานประกอบด้วยขั้นตอนต่างๆ ดังนี้

ศึกษาและค้นคว้าอิฐก่อสร้าง ที่จะนำมาใช้ในงานวิจัยนี้

ศึกษาทฤษฎีและงานวิจัยที่เกี่ยวข้อง

กำหนดวัสดุประสงค์และขอบเขตการทำโครงสร้าง

ออกแบบวิธีการทำทดลอง

การทดลองในห้องปฏิบัติการ

จัดทำหัวผลการทดลอง

สรุปและวิเคราะห์ผลการทดลอง

จัดทำงานและนำเสนอโครงงาน

ตอบภาครีบยกปลายภาค

## แผนการดำเนินงาน

แผนกรดำเนินงานชั้นระดับตัวชี้วัดตามต่อไปนี้								
ลำดับ	รายการ	๑.๙.๕.๒	๔.๙.๕.๒	๕.๙.๕.๒	๖.๙.๕.๓	๗.๙.๕.๓	๘.๙.๕.๓	๙.๙.๕.๓
1	ศึกษาและค้นคว้า ท่องเที่ยวในประเทศไทย วัฒนธรรม							
2	ศึกษาและวางแผนจัดทำเชิงยั่งยืน*							
3	กำหนดวัตถุประสงค์และขอบเขตการท่องเที่ยว							
4	ออกแบบวิธีการท่องเที่ยว							
5	การทดสอบในห้องปฏิบัติการ							
6	วิเคราะห์ผลการทดสอบ							
7	สรุปแล้วิเคราะห์ผลการทดสอบ							
8	จัดทำงานนำเสนอในวงงาน							
9	ตอบเรียนบล๊อกภาค							

## บทที่ 2

### ทฤษฎีที่เกี่ยวข้อง

#### 2.1 การคำนวณออกแบบโครงสร้างกำแพง

การคำนวณตามข้อกำหนดของ American Concrete Institute ACI 530-92 แบ่งกำแพงดังกล่าวออกเป็น 2 ประเภทคือ กำแพงที่มีอัตราส่วนความชลุตมากกว่าหรือเท่ากับ 99 จะเป็นกำแพงสูง การวินิจฉัยของกำแพงประเภทนี้ภายใต้แรงกดอัดในแนวแกนจะเป็นการวินิจฉัยเสียเหลี่ยรภาพโดยเกิดการโก่งเคาะด้านข้าง (lateral buckling) ถ้ากำแพงที่มีอัตราส่วนความชลุตน้อยกว่า 99 จะเป็นกำแพงเตี้ย การวินิจฉัยของกำแพงประเภทนี้ภายใต้แรงกดอัดในแนวแกนจะเกิดจาก การวินิจฉัยของวัสดุ (material failure) เป็นหลัก

ในการออกแบบกำแพง มาตรฐาน ว. ส. ท. (E.I.T. Standard) ให้เสนอสมการการรับแรงกดอัดของกำแพง โดยวิธีกำลัง (ultimate strength design) ดังที่แสดงในสมการที่ 1

$$\emptyset P_{uw} = Cf_m A_g \left[ 1 - \left( \frac{kl_b}{32h} \right)^2 \right] \quad (1)$$

สัญลักษณ์ที่ใช้

$A_g$  = เนื้อที่หน้าตัดหั้งหมุด ( $\text{mm}^2$ )

$f'_m$  = กำลังซัพของชั้นส่วนของกำแพง ( $\text{kN/mm}^2$ )

$h$  = ความหนาหั้งหมุดขององค์อาคาร ( $\text{mm}$ )

$k$  = ตัวคูณความยาวสามประสิทธิผล

$l_b$  = ระยะในแนวตั้งระหว่างที่ร่องรับ ( $\text{mm}$ )

$P_{uw}$  = กำลังที่ระบุในการรับน้ำหนักบรรทุกในแนวแกนของกำแพงที่คำนวณ ( $\text{kN}$ )

$\emptyset$  = ตัวคูณลดกำลัง มีการบีบอัดเพื่อค้านการหดที่ปลายหั้งสองข้าง (บัน, ล่าง) ใช้ 0.7

C = ค่า factor ของอิฐมอญ

## 2.2 การทดสอบการดูดซึมน้ำของอิฐ (Absorption test of brick)

การดูดซึมน้ำของอิฐและการดูดซึมน้ำผ่านของอิฐ ต่อหนึ่งหน่วยเวลา เราเรียกว่าอัตราดูดซึมน้ำซึ่งความสามารถในการดูดซึมน้ำคิดได้จากสามารถดังด่อไปนี้

$$\% \text{ Absorption of brick} = \frac{(w_2)_{original} - (w_1)_{ovendry}}{(w_1)_{ovendry}} \times 100$$

โดย  $w_1$  = Weight of brick

$w_2$  = Weight wet of brick

## 2.3 การทดสอบหาค่าแรงดักของอิฐ (Flexural strength of brick)

การทดลองนี้เป็นการทดลองหากำลังรับแรงดักของอิฐ โดยประยุกต์จากการทดสอบคนคอนกรีต ที่วางบน Simple Support ( Simple Beam ) และใช้น้ำหนักกระทำแบบ Center Point Loading ผลของค่ากำลังด้านทานแรงดักจะอยู่ในรูปของโมดูลัสการแตกร้าว (Modulus of Rupture) และสำหรับการทดสอบแบบ 2 จุด (Third point loading) โดยเป็นค่าหน่วยแรงดึงสูงสุด ณ จุดแตกร้าวในคานที่ทำการทดลอง ซึ่งหาได้จากการ

### 1. สำหรับการทดสอบเคียวที่จุดกึ่งกลาง (Center point loading)

$$R = \frac{3PL}{2bd^2}$$

โดยที่

R = กำลังรับแรงดัก (กก./ซม.<sup>2</sup>)

P = แรงที่จุดวิบัติของคาน (กก.)

L = ความยาวช่วงคาน (span) (ซม.)

b = ความกว้างคานเฉลี่ยบริเวณรอยแตก (ซม.)

d = ความลึกคานเฉลี่ยบริเวณรอยแตก (ซม.)

## 2.6 วัสดุและที่น่า

### 1. อิฐมอญ

อิฐมอญเป็นวัสดุที่ผลิตมาจากการนำดินเหนียวมาเผาเพื่อให้ได้วัสดุที่คงรูปมีความแข็งแรง การใช้อิฐมอญในงานก่อสร้างมีมากหลากหลายจึงมี คุณรู้จักและใช้กันอย่างแพร่หลายในประเทศไทย เนื่องจากเชื่อมั่นในความคงทนและผลิตได้ในประเทศจากแรงงานท้องถิ่น คุณสมบัติของอิฐมอญจะยอมให้ความร้อนถ่าย-เข้าออกได้ด้วยเก็บความร้อนในตัวเองได้ด้านใน เนื่องจากอิฐมอญ มีความจุความร้อนสูง สามารถเก็บกักความร้อนไว้ในได้มาก โดยที่ค่อยๆ ถ่ายเทความร้อนจากภายในสู่ภายนอก จึงเหมาะสมแก่การใช้งานในช่วงเวลากลางวัน

## 2. การผลิตอิฐ

### 2.1 อิฐทำด้วยมือ

อิฐทำด้วยมือนั้นคุณสมบัติของอิฐแต่ละแผ่นจะไม่เท่ากันทุกแผ่นอาจมีการคลุดเคลื่อนซึ่งมาจากสาเหตุหลายประการ เช่น การอัดดินไม่แน่น แบบไม่เท่ากัน หรืออาจมาจากการหดตัวของดิน เป็นต้นฯ

#### 1. กรรมวิธีในการผลิตมีดังนี้

**1.1 การเลือกดิน** ดินที่ปูนน้ำต้องไม่มีทรัพย์สินปูนจนมากไปถ้ามีทรัพย์สินมากเกินจะทำให้อิฐร่อนและร่วน หรือไม่เป็นดินเหนียวมากเกินไปเมื่อตากแดดก็จะทำให้แตกร้าวมาก วิธีที่ดีควรมีการนำดินมาทำด้วยมือแล้วก่อเป็นรูปทรงที่ต้องการ ลักษณะดินเหนียวเกินไปก็ต้องผสมทรายหรือผสมแกรนูลไปซึ่งจะช่วยให้ดินหายเหนียวได้และจะช่วยในการเผาให้น้ำของอิฐด้วย

**1.2 การขุดดินและย่าง** ดินที่ใช้ทำอิฐยังเปียกมากๆ ยังดี บางครั้งใช้ดินที่ริมฝั่งแม่น้ำ เมื่อนำดินขึ้นมาแล้วเลือกเอาสิ่งเจือปนออกและจากนั้นนำดินมาข่านให้เข้ากันดี ใช้กรอบมาผสานปูนลงไปประมาณ 10 เปลือกซึ่งต้องปริมาตร ลักษณะแห้งเกินไปให้เดินย้ำลงไปบ้างตามสมควรให้มีความเหลวพอที่จะน้ำลงไปในแบบได้โดยสะดวก การผสมแกลบทำให้ข้างนอกของอิฐไปร่องเมื่อกรอบด้านในถูกความร้อนก็จะไหม้ไป ก็จะทำให้อิฐเบาลงและกลับเป็นอนุวนันความร้อนที่เมื่อนำไปก่อผนังอิฐตัวยัง ประโยชน์ที่ผสมแกลบอิฐอย่างหนึ่งก็เพื่อป้องกันไม่ให้อิฐแตกในเวลาที่ตากแดด

**1.3 การทำให้มีรูปแบบตามต้องการ** แบบที่ใช้ทำบนน้ำเป็นไม้ 4 ด้านเฉพาะด้านข้างไม้ที่นำมาทำแบบนี้มีคุณสมบัติที่ดีคือ มีความคงทนด้วยความชื้นเมื่อถูกน้ำแล้วจะไม่เสียรูปเดิม

ทบทวน ด้านในต้องใส่เรียบ ขนาดของแบบควร โตกว่าขนาดของอิฐที่ต้องการประมาณ 5-10 เปอร์เซ็นต์ เพราะเมื่อเวลาติดต่อหินที่ผิดสมควรแล้วเทลงแบบและตากให้แห้งแล้ว คินจะหลุดตัวลงประมาณ 5-10 เปอร์เซ็นต์นั้นเอง

**1.4 การแตกแಡคให้แห้งสนิท เมื่อถอดแบบออกแล้วต้องทิ้งตากแಡคให้แห้งสนิท การกำหนดระยะเวลาในการตากแಡคนั้นจะขึ้นอยู่กับคุณภาพและสภาพอากาศ ถ้าทำในฤดูร้อนอาจจะใช้เวลาประมาณ 3-5 วัน ในฤดูหนาวอาจจะใช้เวลาประมาณ 7-8 วัน แต่ในฤดูฝนไม่เหมาะสมในการทำอิฐ เนื่องแต่จะมีผ้าหรือวัสดุคลุมในเวลาที่ฝนตกลงมา**

**1.5 การตอกแต่งอิฐที่จะนำไปใช้ร้อย เมื่อถอดแบบออกและตากให้แห้งสนิทแล้วนั้นจะเห็นว่ามีเนื้อข้างๆ ของก้อนอิฐไม่เรียบ จึงต้องมีการตอกแต่งก้อนดินก้อนน้ำเข้าเดาเพาให้ได้รูป เท่ากันสมมำ่เสมอ จึงจะพร้อมนำไปใช้ได้**

**1.6 การเผาอิฐ เมื่ออิฐพร้อมที่จะนำไปเผาแล้วนั้นก็จะนำอิฐมาเรียงเป็นແว้วยหนึ่งจะกว้างเท่าความกว้างของอิฐ โดยจะเว้นแต่ละແว้วยอิฐไว้ ขนาดของแต่ละคินที่จะนำมาเผาที่ทำกันโดยทั่วไปคือ กองกว้างประมาณ 4 เมตร ยาวประมาณ 6-7 เมตร ความสูงของกองประมาณ 1.6 เมตร ถ้าสูงเกินจะไม่สะดวกในการเติมแกลบในส่วนบนของกองในขณะเผา เมื่อเริ่งเสร็จเรียบร้อยแล้ว ก็จะนำอิฐที่เผาสุกแล้วมากองโดยรอบเพื่อเป็นชั้นรองกันไว้ให้ความร้อนกระจายออกไป โดยส่วนบนของกอง รอบแกลบหนาประมาณ 10 เซนติเมตร แล้วจุดไฟให้ดีไฟโดยทั่วไป แกลบจะค่อยา ตามไปทั่วกอง เมื่อแกลบไหม้และยุบลงให้กอยเติมแกลบให้ได้ระยะเดินอยู่เสมอ**

## 2.1 อิฐที่ผลิตด้วยเครื่องขัด

อิฐที่อัดด้วยเครื่องมือกลเป็นอิฐที่มีความแน่นดี กรรมวิธีผลิตดีกว่าอิฐธรรมชาติที่ทำด้วยมือ เรียกในวงการก่อสร้างว่า อิฐมอยญแบบอัดของอิฐชนิดนี้เป็นแบบเหล็ก ทำให้อิฐมีขนาดสมมำ่เสมอ แรงอัดที่ใช้อัดสมมำ่เสมอทำให้มีความแน่นเสมอคืนดี

วัสดุที่ใช้ในการทำอิฐชนิดนี้เป็นคินเหนียวเร่นเดียวกับคินที่ใช้ในการทำอิฐสามัญ คินซึ่งมีคุณภาพเหมาะสมในการทำอิฐนี้มีอยู่ที่จังหวัดพระนครศรีอยุธยาและอ่างทอง ซึ่งตามเส้นทางเดินรถยกจากอยุธยา – ป่าโมก – อ่างทอง จะเห็นโรงงานทำอิฐชนิดออยู่จำนวนมาก มีเครื่องหมายการค้าต่างๆ กัน เช่น บปก. ปปก. บบก. อปท. นอท. อิฐ บปก.

## 1. กรรมวิธีในการผลิตนีดังต่อไปนี้

1.1 นำอาคินดานธรรมชาติมาผสมกับน้ำทึ้งไว้ให้ละลายตัวรวมกันประมาณ 2 วัน

1.2 กลับดินอีกครั้งหนึ่งแล้วเอาไปผึ่งไว้อีกประมาณ 2-3 วัน

1.3 เอาเข้าถ้วยแล้วผสมกับดินที่ผึ่งไว้แล้วขึ้นและกลับให้เข้ากันเป็นเนื้อเดียวกัน

1.4 นำดินที่ผสมและขึ้นแล้วเข้าเครื่องบดและรีดออกมานเป็นเส้นโดยเครื่องรีด เส้นดินที่รีดออกมานี้มีขนาดหน้าตัดเท่ากับขนาดของอิฐที่ต้องการ จากขนาดของเส้นดินนี้ต้องการอิฐขนาดใดก็สามารถเปลี่ยนหัวแบบได้ตามต้องการ ขณะที่เครื่องรีดดินนี้ออกมานี้จะมีเครื่องตัดให้ขาออกໄปเป็นก้อนๆ โดยล้วนขึ้นตึงในโครงเหล็กซึ่งติดอยู่ที่เครื่องรีด

1.5 นำดินที่รีดและตัดเป็นก้อนแล้วไปผึ่งในทรายรังนีหรือหลังคา กันแดด กันฝน ได้ โดยวางผึ่งเป็นชั้นๆ อย่างต่อเนื่อง ระยะเวลาที่ผึ่งประมาณ 3 วัน

1.6 นำอาคินที่ผึ่งแล้วไปเข้าเครื่องอัดไฮดรอลิกส์ซึ่งอัดด้วยแรงคน ใช้คนคนเดียวแบบที่อัดเป็นแบบเหล็ก แข็งแรง ขนาดสม่ำเสมอ กัน แบบที่อัดนี้จะมีตราของบริษัทผลิตหรือ漉คลายที่ต้องการอัดลงไปด้วยในคราวเดียวกับการที่อัดให้คินแน่น

1.7 นำอาอิฐ์ที่ผึ่งแล้วไปผึ่งอีกครั้งหนึ่ง ผึ่งไว้ประมาณ 7-10 วัน ในที่ที่มีหลังคา กันแดด กันฝน ได้

1.8 นำก้อนดินที่อัดแล้วไปเรียงเข้าเดาเพา โดยเรียงให้ปูร่องพอที่ความร้อนจะกระจายไปได้ทั่วระยะเวลาในการเผาประมาณ 6 วัน 6 คืน

1.9 ดับเตาโดยไม่เติมฟืนอีกต่อไป เมื่อฟืนหมดแล้วทิ้งไว้ให้ระอุและเย็นอีก 4-5 วัน

1.10 ลามเลียงอิฐออกจากเตา นำไปเข้าโถดังเก็บไว้เพื่อรอการจำหน่าย

## 2. รายละเอียดอื่นๆ ที่ควรทราบในการเพาอิฐคือ

2.1 อุณหภูมิที่ใช้การเผาประมาณ 900 – 1000 องศาเซลเซียส

2.2 ค่าใช้จ่ายในการทำอิฐเมื่อเปรียบเทียบค่าระหว่างวัสดุและเชื้อเพลิง (ฟืน) แล้วมีอัตราส่วนดังนี้ ติน 30% และฟืน 70%

2.3 เชื้อเพลิงที่ใช้คือฟืนไม่นึ่งแข็ง

2.4 การเผา 1 ครั้ง เตาเผาสามารถบรรจุอิฐได้ประมาณ 30,000 ก้อน เพาเดิมมีอิฐเสียประมาณ 1 เปอร์เซ็นต์

2.5 ฟืนที่ใช้เผานั้นต้องมีกันงันผลัดกันเดิมเป็นกำ กะละ 8 ชั่วโมงตลอดระยะเวลาที่เผา 6 วัน 6 คืน ฟืนที่บรรจุรกรถเป็น 2 ถัง 1 ถังบรรจุประมาณ 1 ลูกบาศก์เมตร เพาได้ประมาณ 20 นาที

2.6 ราคาค่าถังสร้างเตาประมาณ 100,000 บาท (ปี พ.ศ. 2526)

2.7 ขนาดอิฐ บปก. มาตรฐานสำหรับถังสร้างหัวไปลิตจากเครื่องออกนามีดังนี้ ขนาดยาว 9 นิ้ว กว้าง 4 นิ้ว หนา 3 นิ้ว นอกจากนี้ขนาดอื่นๆ ที่ตามเอกสารของโรงงานผู้ผลิต

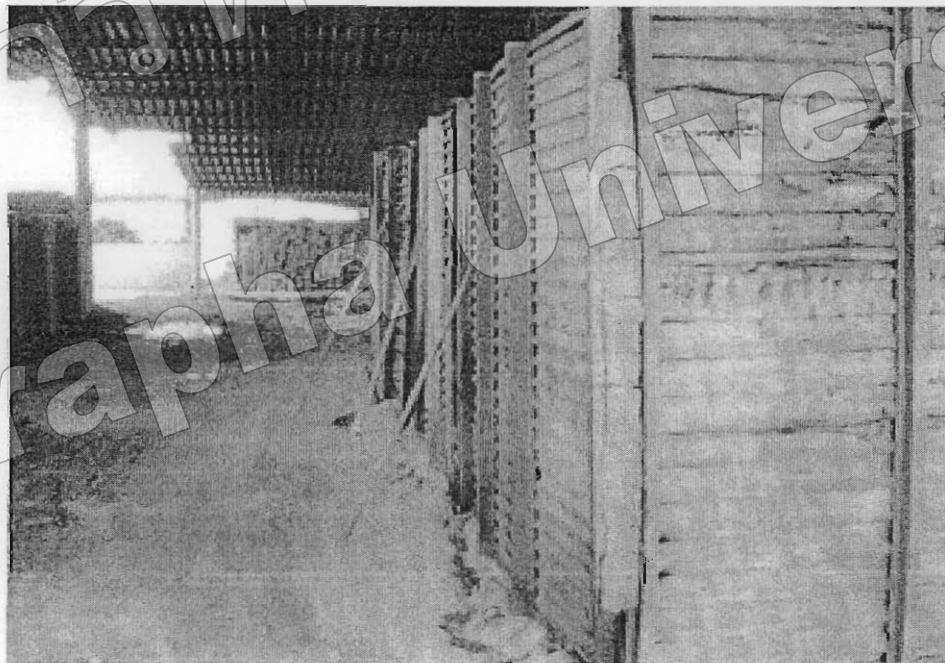
2.8 รถ 10 ล้อ (ปริมาตรประมาณ 10 ลูกบาศก์เมตร สามารถบรรจุอิฐได้ประมาณ 4,800 – 5,000 ก้อน)

2.9 หนักอิฐ บปก. ขนาด  $9 \times 4 \times 3$  นิ้ว ก้อนละ 0.25 กิโลกรัม

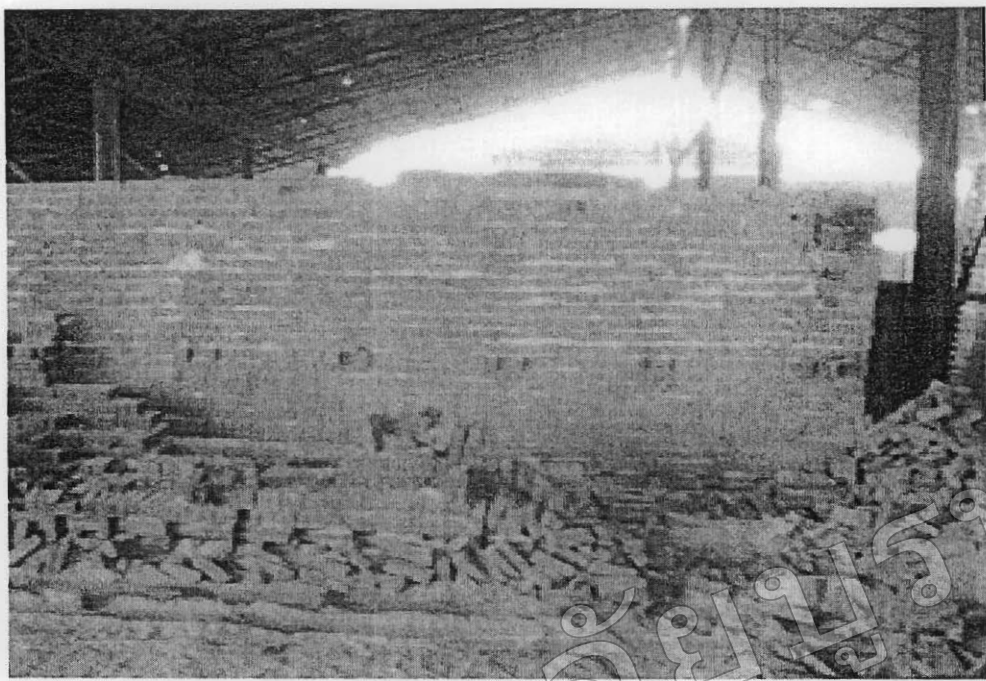
2.10 ระยะเวลาผลิตตั้งแต่ยำคินจนออกนามีเป็นอิฐประมาณ 30 วัน



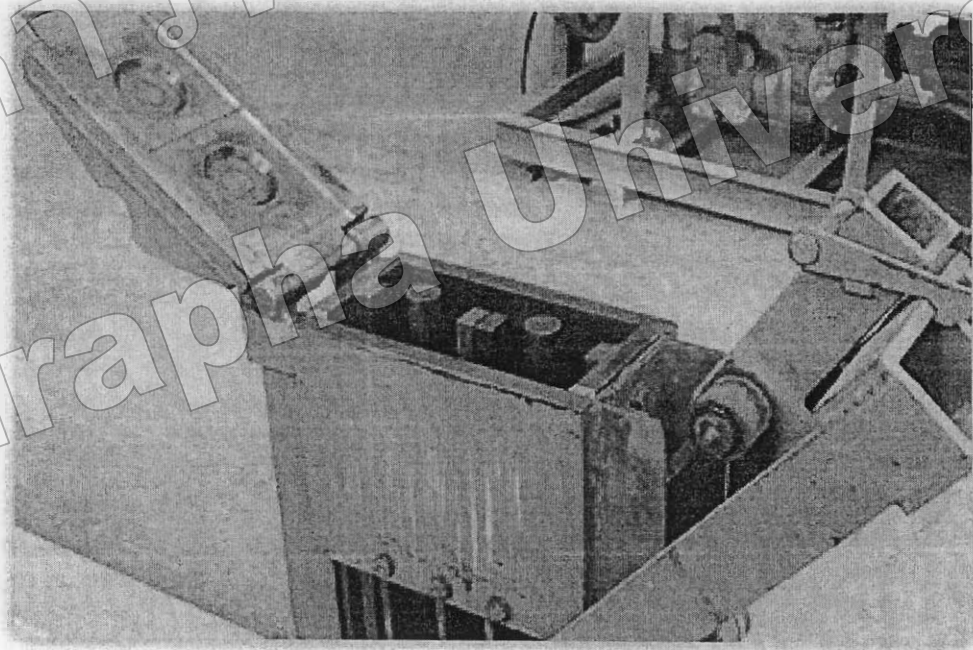
รูปที่ 2.1 เมื่อตัดแบบของมา



รูปที่ 2.2 การเรียงเครื่องการเพา



รูปที่ 2.3 เมื่อทำการเผาเสร็จ



รูปที่ 2.4 เครื่ององอัดไชครอติกส์

## มาตรฐานผลิตภัณฑ์อุตสาหกรรม อิฐก่อสร้างสามัญ

### 1. ขอบข่าย

1.1 มาตรฐานผลิตภัณฑ์อุตสาหกรรมนี้ครอบคลุมเฉพาะอิฐที่ทำจากดิน มีลักษณะเป็น ก้อนสี่เหลี่ยมตัน ใช้ในงานก่อสร้างทั่วไป เช่น งานก่อผนังหรือกำแพง และต้องมีการเคลือบปูน

### 2. บทนิยาม

ความหมายของคำที่ใช้ในมาตรฐานผลิตภัณฑ์อุตสาหกรรมนี้ มีดังต่อไปนี้

2.1 อิฐก่อสร้างสามัญ หมายถึง อิฐที่ใช้ในงานโครงสร้างและไม่ใช้ในงานโครงสร้าง โดยไม่มีวัตถุประสงค์จะเผยแพร่ผ่านเนื้อหรือผิว อิฐทำจากดิน คินคาน อาจมีส่วนผสมของวัสดุอื่น ต้องมีการเผาเพื่อให้เกิดความแข็งแรง และความทนทาน

2.2 ผิวร่อง หมายถึง ผิวน้ำของก้อน ซึ่งทำเป็นร่องโดยแม่พิมพ์

2.3 ผิวเรียบ หมายถึง ผิวน้ำของก้อน ซึ่งทำเป็นรอยบุด หรือแนวค่อนข้างบนนานกัน

2.4 ผิวหยาบ หมายถึง ผิวน้ำของก้อนมีลักษณะหยาบ โดยแม่พิมพ์หรือโดยวิธีกด หรือ โดยส่วนผสมของเนื้ออิฐ

### 3. ขั้นคุณภาพและสัญลักษณ์

3.1 อิฐก่อสร้างสามัญแบ่งตามความด้านแรงขัด เป็น 3 ขั้นคุณภาพ คือ

3.1.1 ขั้นคุณภาพ ก ใช้สัญลักษณ์ ก

3.1.2 ขั้นคุณภาพ ข ใช้สัญลักษณ์ ข

3.1.3 ขั้นคุณภาพ ค ใช้สัญลักษณ์ ค

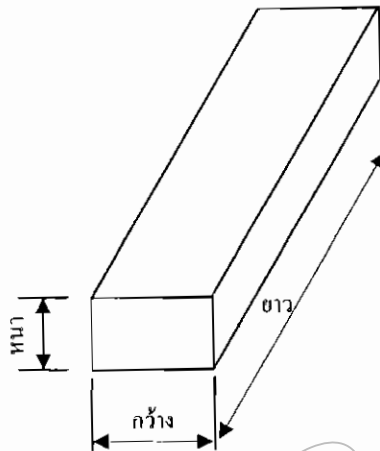
### 4. ขนาดและเกณฑ์ความคลาดเคลื่อน

4.1 ขนาดของอิฐก่อสร้างสามัญต้องเป็นไปตามตารางที่ 1 โดยแต่ละมิติจะมีเกณฑ์ความคลาดเคลื่อนໄດ້ไม่เกินเกณฑ์ที่กำหนดในตารางที่ 2

การทดสอบให้ทำโดยการวัดด้วยเครื่องวัดที่วัดได้ละเอียดถึง 0.5 มิลลิเมตร

**ตารางที่ 1 ขนาดของอิฐก่อสร้างสามัญ**

(ข้อ 4.1)



ชั้นคุณภาพ		หน่วยเป็นมิลลิเมตร
ก ข แดะ ค		ขนาด (ยาว x กว้าง x หนา)
		140 x 65 x 40
		190 x 90 x 40
		190 x 90 x 65
		190 x 90 x 90

**ตารางที่ 2 เกณฑ์ความคลาดเคลื่อนของมิติ**

(ข้อ 4.1)

หน่วยเป็นมิลลิเมตร	
มิติ	เกณฑ์ความคลาดเคลื่อน
40	± 2
65 ถึง 90	± 3
140 ถึง 190	± 5

## 5. คุณลักษณะที่ต้องการ

### 5.1 ลักษณะทั่วไป

5.1.1 ต้องแข็งแรงปราศจากอยร้าว หรือส่วนเสียอื่นใดที่เป็นอุปสรรคต่อการก่ออิฐก่อสร้างสามัญอย่างถูกต้อง หรือทำให้สิ่งก่อสร้างเสียกำลังหรือความคงทนถาวร

5.1.2 ต้องมีผิวเรียบ ผิวเรียบเรียบ หรือผิวขรุขระ ในด้านที่มีการก่อหรือสถาปนา

5.1.3 ต้องมีสี ลวดลาย และแบบ ไม่ผิดแยกไปจากตัวอย่างที่ใช้เป็นตัวแทนการทดสอบให้ทำโดยการตรวจพินิจ

### 5.2 ความต้านแรงอัด

ต้องเป็นไปตามตารางที่ 3

การทดสอบให้ปฏิบัติตาม มอก.243

### 5.3 การดูดกลืนน้ำ

ต้องเป็นไปตามตารางที่ 3

การทดสอบให้ปฏิบัติตาม มอก.243

## ตารางที่ 3 ความต้านแรงอัดและการดูดกลืนน้ำ

(ข้อ 5.2 และ 5.3)

ชั้นคุณภาพ	ความต้านแรงอัด		การดูดกลืนน้ำ	
	ต่ำสุด MPa	สูงสุด %	ต่ำสุด %	สูงสุด %
ก	เนลลี่ 5 ก้อน	แต่ละก้อน	เนลลี่ 5 ก้อน	แต่ละก้อน
ก	21.0	17.0	17.0	20.0
ข	17.0	15.0	22.0	25.0
ค	10.0	9.0	ไม่กำหนด	ไม่กำหนด

## 6. เครื่องหมายและผลลัพธ์

6.1 ให้ทำเครื่องหมายและผลลัพธ์ตามข้อ 6.1.1 หรือข้อ 6.1.2 ดังต่อไปนี้

6.1.1 ในการษีที่ไม่มีการผูก/มัดอิฐเข้าเป็นหน่วยเดียวกัน ที่กองอิฐทุกกองอย่างน้อยต้องมีเอกสารกำกับแสดงเลขอักษร หรือเครื่องหมายแจ้งรายละเอียดต่อไปนี้ให้เห็นได้เจ้ายชัดเจน

(1) ชั้นคุณภาพ

(2) ชื่อผู้ทำหรือโรงงานที่ทำ หรือเครื่องหมายการค้าที่จดทะเบียน

6.1.2 ในกรณีที่มีการผูก/มัดอิฐเข้าด้วยกันเป็นหน่วยเดียวกัน และแต่ละหน่วยต้องขนข้ายากได้ทั้งหน่วยโดยไม่แยกจากกัน ให้ทำเครื่องหมายและฉลากตามข้อ 6.1.2.1 และข้อ 6.1.2.2 ดังต่อไปนี้

6.1.2.1 ที่แนบสุดที่ใช้ผูก/มัดเข้าด้วยกัน อย่างน้อยต้องมีเลข อักษร หรือ เครื่องหมาย แจ้งรายละเอียดต่อไปนี้ให้เห็นได้ชัดเจน

(1) ชั้นคุณภาพ

(2) ความยาว x ความกว้าง x ความหนา เป็นมิลลิเมตร x มิลลิเมตร x

มิลลิเมตร

(3) จำนวน

(4) รหัสรุ่นที่ทำ

(5) ชื่อผู้ทำหรือโรงงานที่ทำ หรือเครื่องหมายการค้าที่จดทะเบียน

6.1.2.2 ที่อิฐซึ่งอยู่ด้านข้างทุกด้าน อย่างน้อย 1 ก้อน จะต้องมีเลข อักษร หรือเครื่องหมายแจ้งรายละเอียดต่อไปนี้ให้เห็นได้ชัดเจน ชัดเจน

(1) ชั้นคุณภาพ

(2) ชื่อผู้ทำหรือโรงงานที่ทำ หรือเครื่องหมายการค้าที่จดทะเบียน

6.2 ในกรณีที่ใช้ภาษาต่างประเทศ ต้องมีความหมายตรงกับภาษาไทยที่กำหนดไว้ข้างต้น

## ภาคผนวก ก.

### การซักด้วยย่างและเกณฑ์ตัดสิน

ก.1 รุ่นในที่นี้ หมายถึง อิฐก่อสร้างสามัญ ชั้นคุณภาพ และขนาดเดียวกันที่ทำหรือส่งมอบ หรือซื้อขายในระยะเวลาเดียวกัน

ก.2 การซักด้วยย่างและเกณฑ์ตัดสิน ให้เป็นไปตามแผนการซักด้วยย่างที่กำหนดต่อไปนี้ หรืออาจใช้แผนการซักด้วยย่างอื่นที่เทียบเท่ากันทางวิชาการกันแผนที่กำหนดไว้

#### ก.2.1 การซักด้วยย่าง

ให้ซักด้วยไฟฟ้าสูญจากรุ่นเดียวกัน จำนวน 10 ก้อน จากทุก ๆ 250,000 ก้อน หรือเศษของ 250,000 ก้อน

#### ก.2.2 เกณฑ์ตัดสิน

ตัวอย่างอิฐก่อสร้างสามัญต้องเป็นไปตามข้อ 4. และข้อ 5. จึงจะถือว่า อิฐก่อสร้างสามัญรุ่นนี้เป็นไปตามมาตรฐานผลิตภัณฑ์อุตสาหกรรมนี้ ในกรณีที่มีตัวอย่างใดไม่เป็นไปตามข้อ 4. ข้อ 5.1 ข้อ 5.2 ข้อ 5.3 รายการโดยรายการหนึ่งให้ซักด้วยย่างจากรุ่นเดียวกัน จำนวน 2 ชุดตัวอย่างมาทดสอบซ้ำในรายการนี้ ผลการทดสอบซ้ำ ตัวอย่างทั้ง 2 ชุดตัวอย่าง

ต้องเป็นไปตามข้อ 4. ข้อ 5.1 ข้อ 5.2 ข้อ 5.3 แล้วแต่กรณี ซึ่งจะถือว่าอิฐก่อสร้างสามัญ รุ่นนี้ เป็นไปตามมาตรฐานผลิตภัณฑ์อุตสาหกรรมนี้

มหาวิทยาลัยบูรพา  
Burapha University

### 3.ปูนก่อ (mortar)

เป็นวัสดุประسانซึ่งทำหน้าที่ยึดอิฐหรือวัสดุก่อให้ติดกัน มีหน้าที่ดังนี้คือ

1. กระจายความกดดันซึ่งมีมากให้ลงไปทั่วแผ่นอิฐ
2. ทำหน้าที่เป็นอนวนป้องกันการถ่ายเทความร้อน ความชื้น จากกำแพงด้านหนึ่งออกไป อีกด้านหนึ่ง

### 1.ส่วนผสมและวิธีผสม

ส่วนผสมของปูนก่อประกอบด้วยปูนซีเมนต์ ทราย ปูนขาว และน้ำ ปูนซีเมนต์น้ำอาจใช้ปูนซีเมนต์ปอร์ตแลนด์ตามมาตรฐาน มอก.ปูนซีเมนต์ปอร์ตแลนด์ เล่ม 1 มาตรฐานเลขที่ มอก.15 เล่ม 1 หรือปูนซีเมนต์ผสมตามมาตรฐาน มอก. ปูนซีเมนต์ผสม มาตรฐานเลขที่ มอก.80 ส่วนปูนขาวนี้ใช้ตาม มอก. ปูนขาวธรรมชาติเพื่อการก่อสร้าง ตามมาตรฐานเลขที่ มอก.214 ส่วนทราย หินานี้จะต้องเป็นทรายที่มีขนาดลดป่าแต่ละแกร่งร่องขนาด 4.75 มิลลิเมตร และต้องมีลักษณะ เช่น แน่น สะอาด ไม่มีวัชพืชเจือปน หักไม่ควรมีลักษณะยาวหรือแบนหรือพรุนที่มองเห็นได้ด้วยตา

สำหรับส่วนผสมนั้นปริมาณของทรายหินานี้ไม่อัดแน่นจะต้องไม่น้อยกว่า 2.5 เท่า ของปริมาณปูนซีเมนต์ที่ใช้ผสม และต้องไม่นากกว่า 3 เท่าของปริมาณปูนซีเมนต์ที่ใช้ผสม ส่วนปูนขาวนี้ใช้เป็นปริมาณ 0.25 - 4 ของซีเมนต์ตามลักษณะการใช้งาน

ส่วนผสมของปูนก่อนนี้ ตามมาตรฐาน มอก.598-2528 เรื่องปูนก่อได้แบ่งไว้เป็น 5 ชนิด ซึ่งมีส่วนผสมแตกต่างกันซึ่งมาตรฐานตาม มอก.598-2528 ตามตารางดังนี้

ตารางแสดงส่วนผสมของปูนก่อตามมาตรฐาน มอก.598-2528

ชนิด	ซีเมนต์	ปูนขาว	ทรายหินานี้ไม่อัดแน่น	ความต้านทานแรงอัดเฉียบเมื่ออายุ 20 วัน
05	1 ส่วน	0.25 ส่วน	ไม่น้อยกว่า $2\frac{1}{4}$ เท่า	0.5
25	1 ส่วน	มากกว่า 0.25 – 0.5	และไม่นากกว่า 3 เท่า	2.5
50	1 ส่วน	มากกว่า 0.5-1.25	ของผลบวกของปริมาณ	5.0
125	1 ส่วน	มากกว่า 1.25-1.5	ปูนซีเมนต์และปูนขาว	12.5
170	1 ส่วน	มากกว่า 2.5 -4	รวมกัน	17.0

## 2. ปูนฉาบ

บางครั้งเรียกว่า ปูนฉือ ประกอบด้วยปูนซีเมนต์ ปูนขาว และทรายในปัจจุบันมีบริษัทนำเข้า  
ผสมปูนก่ออกราก่อนแล้วทำให้ไม่ต้องผสมปูนขาว เพียงแค่ใช้น้ำยาหนึ่งผสมแทนก็ทำให้ปูนฉาบนี้  
ความเหนียวที่เหมาะสมในการฉาบได้เป็นอย่างดี ปูนฉาบนี้ประทับใจดังต่อไปนี้

1. เป็นเครื่องป้องกันผิวอิฐก่อหรือวัสดุก่อไม้ให้ได้รับอันตรายจากภัยธรรมชาติ เช่น ฝน  
డಡ หิมะ ฯลฯ เพราะอิฐบางชนิด เช่น อิฐมอญเมื่อถูกน้ำฝนอาจชื้นและขึ้นราได้ถ้าไม่ฉาบปูน
2. เป็นเครื่องช่วยในการป้องกันความร้อนที่จะผ่านกำแพงเข้ามายังใน
3. เป็นเครื่องประดับให้ผิวกำแพงมีลักษณะต่าง ๆ กัน

### 2.1 สารเคมีที่ใช้แทนปูนขาวในการผสมปูนก่อหรือปูนฉาบ

ในปัจจุบันมีสารเคมีที่ใช้ผสมปูนก่อผสมหรือปูนฉาบโดยไม่ต้องใช้ปูนขาวเลยชนิด  
เพาะการใช้ปูนขาวนั้นจะต้องเสียเวลาในการร่อนหรือหมักให้ละเอียด อีกทั้งราคาของปูนขาวถ้า  
เทียบตามน้ำหนักแล้วก็ใกล้เคียงกับราคาของปูนซีเมนต์ สารเคมีดังกล่าวอาจมาในรูปของเหลว  
หรือในรูปที่เป็นผลละเอียดก็ได้ดังนี้

### 2.2 ผงเซม (sem)

ผงเซมเป็นผงเคมีที่ผลิตในสหรัฐอเมริกา ผงชนิดนี้จะเป็นดั้งกระดาษให้น้ำแทรกซึมเข้าไป  
ในเนื้อปูนอย่างทั่วถึง เมื่ออยู่ของน้ำผสมกับอัญเชงอาทิตย์ที่เกิดจากการผสมปูนจะทำหน้าที่เป็น  
ดั้งหล่อลื่นช่วยให้ทำงานได้ง่ายขึ้น งานที่ทำเสร็จแล้วจะเรียบสม่ำเสมอเป็นเนื้อดีกวัน โดยตลอด

ความแข็งแรงของวัสดุที่มีปูนซีเมนต์หรืออิปซัมเป็นส่วนผสมนั้น ต้องอาศัยน้ำเป็นตัวทำ  
ให้เกิดปฏิกิริยา ดังนั้นถ้ามีน้ำระเหยไปก่อนถึงกำหนด ปฏิกิริยาของน้ำกับปูนซีเมนต์จะได้เกิดเดิมที่  
ทำให้เกิดแรงขีดเคาะ ได้สูงสุดและผงเซมขึ้น มีคุณสมบัติช่วยให้ปูนแข็งด้วยช้าลง ทำให้มีเวลาทำงาน  
ได้ประติภัยยิ่งขึ้น อัตราส่วนผสมของปูนฉาบที่ใช้ผงเซมนี้ดังนี้

สำหรับปูนรองพื้นผิวคอนกรีต ใช้ปูนซีเมนต์ 1 ส่วน (50 กิโลกรัม) ทราย 3 ส่วน ผง  
เซม 20-40 กรัม (ครึ่งถุง)

สำหรับปูนฉาบทับหน้า ใช้ปูนซีเมนต์ 1 ส่วน (50 กิโลกรัม) ทรายละเอียด 7 ส่วน ผง  
เซม 40-80 กรัม

ผงเซมน้ำรุ่งสูง 80 กิโลกรัม

### 2.3 น้ำยาเฟบมิกซ์แอดมิกซ์ (febmix admix)

น้ำยาเฟบมิกซ์แอดมิกซ์เป็นน้ำยาที่ผลิตจากประเทศอังกฤษ ได้มีการค้นคว้าและทดลองใช้ตั้งแต่ปี พ.ศ. 2495 และใช้แพร่หลายทั่วโลก ในปัจจุบันเมื่อใช้น้ำยานี้ผสมเป็นปูนหรือปูนฉาบจะทำให้น้ำที่แทนปูนขาวและไม่ต้องใช้ปูนขาวในส่วนผสม ใช้ปูนซีเมนต์น้อยลงซึ่งทำให้ปูนก่อฉาบถูกลงด้วย นอกจากนี้ยังทำให้การขัดหยุ่นของปูนก่อหรือปูนฉาบเพิ่มขึ้น ทำให้ห่างสามารถทำงานก่ออิฐได้มากขึ้นในวันหนึ่ง ๆ

หน้าที่สำคัญของปูนก่ออิฐคือ จะต้องให้รอยต่อระหว่างอิฐมีเด่นและกันน้ำ ปูนก่อที่ผสมน้ำยาเนี้ยแล้วจะมีคุณสมบัติดังนี้

1. ทำให้ปูนก่อ กันน้ำได้และไม่มีการแตกร้าว
2. ทำให้ปูนก่อ มีความยืดหยุ่นดี ให้ลดตัวได้ดี และแพร่กระจายไปทั่วหน้าของอิฐได้ทั่ว
3. ทำให้ปูนก่อ อุ่มน้ำไว้ได้มากและนาน ไม่ให้อิฐดูดน้ำไปมากปูนก่อจะหมด ทำให้ห่างก่ออิฐมีเวลาไม่พอที่จะทำงานให้เรียบร้อย ได้แนว แต่งแนวได้เรียบร้อยในกรณีที่ก่ออิฐแบบต้องแค่แนวปูนก่อ

น้ำยาเฟบมิกซ์แอดมิกซ์ผลิตออกจำหน่ายเป็นลักษณะของเหลว กระป๋องหนึ่งบรรจุ 5 ลิตร พร้อมที่จะใช้ได้ทันที เมื่อจะใช้ให้เทน้ำยาในน้ำยาที่จะผสมน้ำแล้วผสมปูนก่อหรือปูนฉาบโดยไม่ต้องใช้ปูนขาวเลย การใช้น้ำยานี้จะทำให้ลดการใช้น้ำในการผสมปูนก่อหรือปูนฉาบไปถึง 50 เปอร์เซ็นต์ น้ำยานี้ไม่มีผลทำให้สีของปูนก่อหรือปูนฉาบเปลี่ยนไป เพราะมีสีใสเหมือนน้ำและไม่มีปฏิกิริยาทางเคมี การทำงานของน้ำยาเป็นไปทางฟิสิกส์ ถึงแม้จะใช้น้ำยานี้มากกว่าที่กำหนดไปบ้างก็ไม่มีผลเสียหรือไม่เกิดอันตรายแต่อย่างใด

### 2.4 ส่วนผสมทั่วไป

ในการผสมปูนก่อหรือปูนฉาบโดยทั่วไปนั้นใช้น้ำยาเฟบมิกซ์แอดมิกซ์ 50-100 ลูกบาศก์ เช่นติเมตรต่อปูนซีเมนต์ 1 ถุง (50 กิโลกรัม) น้ำยา 5 ลิตรที่บรรจุกระป๋องมาผสมน้ำได้ประมาณ 1,600 ลิตร ใช้ผสมปูนซีเมนต์ได้ไม่น้อยกว่า 1.5 ตัน เพื่อให้ง่ายต่อการทำงานในสนาม อาจใช้สูตรดังนี้คือ ใช้น้ำยานี้ 2 กระป๋อง/mm (1 กระป๋อง/mm มีปริมาตร 320 ลูกบาศก์เซนติเมตร) ผสมกับน้ำ 200 ลิตร เมื่อผสมเข้ากันดีแล้วนำส่วนผสมดังกล่าวไปผสมกับปูนซีเมนต์และทรายได้ทันที

ส่วนผสมของปูนก่อที่ใช้ในงานต่าง ๆ กันเมื่อเทียบกับปูนก่อเคลือบที่ใช้ปูนขาว แสดงดังนี้  
ส่วนผสมของปูนก่อที่ใช้ในงานต่าง ๆ (ส่วนผสมนี้ใช้ตามปริมาตร)

ส่วนผสมปูนก่อที่ ใช้ปูนขาว*	ส่วนผสมที่ใช้น้ำยาเฟบมิกซ์แอดมิกซ์		
	ปูนซีเมนต์ปอร์ตแลนด์	ทราย	น้ำยาเฟบมิกซ์แอดมิกซ์
1 : 1 : 6	1	6	
1 : 2 : 9	1	8	
1 : 1/4 : 3	1	3	50-100 ลบ.ช.m. ค่าปูนซีเมนต์ 1 ถุง
1 : 3**	1	3	สำหรับคอนกรีตบล็อก อิฐขาว
	1	8	
ส่วนผสมปูนฉาบ*			
1 : 1 : 6	1	6	50-100 ลบ.ช.m. ค่าปูนซีเมนต์ 1 ถุง
		4.5	สำหรับฉาบภายในอาคาร
			50-100 ลบ.ช.m. ค่าปูนซีเมนต์ 1 ถุง
			สำหรับฉาบภายนอก

\* ส่วนผสมที่ใช้คือ ซีเมนต์ : ปูนขาว : ทราย

\*\* ส่วนผสมคือ ซีเมนต์ : ทราย

หมายเหตุ เมื่อผสมปูนก่อหรือปูนฉาบคุณภาพเครื่องผสมคอนกรีต ต้องเตรียมน้ำยาน้ำผสมน้ำไว้  
ในภาชนะให้เพียงพอค่าการผสมไม่หนึ่งจังสามารถตัดกماใช้ได้โดยสะดวก

#### 4. ทราย

ทราย (sand) เป็นหินแข็งที่แตกแยกออกจากก้อนหินใหญ่ โดยทรายจะแยกตัวออกจากมาได้เองตามธรรมชาติ ทรายมีขนาดระหว่าง 1/12 นิ้วถึง 1/400 นิ้ว ถ้ามีขนาดเล็กกว่านี้จะมีสภาพเป็นผุนทราย จะประกอบด้วยแร่ควอตซ์หรือหินบะซอลต์ ทรายแบ่งออกเป็น 2 ชนิด ได้แก่ ทรายบก และทรายแม่น้ำ

#### 1. ทรายบก

ทรายบกเกิดจากหินทรายที่แตกแยกชำรุดออกมามาเป็นเม็ดทรายตามสภาพภูมิอากาศ สั่งแวดล้อม และจะฝังในพื้นดินเป็นแห่ง ๆ ทรายชนิดนี้จะมีคินชาตพืชและชาตสัตว์ปะปันอยู่ด้วย ในการใช้งานจึงต้องนำทรายมาล้างแยกดินชาตพืชและชาตสัตว์ออกให้สะอาด ทรายจากทะเลทรายก็จัดเป็นทรายบกด้วย

#### 2. ทรายแม่น้ำ

ทรายชนิดนี้มีอยู่ทั่ว ๆ ไปในที่ร่วนคลุ่มของแม่น้ำ ทรายชนิดนี้เกิดจากปรากฏการณ์ตามธรรมชาติ โดยกระแสน้ำได้พัดพาทรายจากที่ต่าง ๆ มาตกตะกอนรวมกันในแหล่งที่ร่วนคลุ่มที่เป็นที่รวมของทราย

#### 3. ขนาดของทราย

ในการก่อสร้างทั่ว ๆ ไป ทรายแบ่งออกเป็น 3 ชนิด ได้แก่

1. ทรายหยาบ เป็นทรายที่มีเม็ดใหญ่ มีเหลี่ยมคม และแข็งแรงคีมาก เหมาะสมสำหรับงานคอนกรีตที่ต้องการความแข็งแรงมาก ๆ
2. ทรายกลาง เป็นทรายที่มีขนาดเล็กกว่าทรายหยาบ มาก เป็นทรายที่เหมาะสมสำหรับงานปูนทั่วไป เช่น งานก่ออิฐถือปูน พื้นบ้าน ทางเท้า
3. ทรายละเอียด เป็นทรายที่มีขนาดเม็ดเล็กมาก เหมาะสมสำหรับงานปูนฉาบ ทำบัว

### บทที่ 3

## อุปกรณ์และวิธีการทดสอบ

### 3.1 การทดสอบการดูดซึมน้ำของอิฐ (Absorption test of brick)

#### 1. ขอบเขต

การศึกษาการดูดซึมน้ำของอิฐเป็นการสอบทานถาวรภาพเพื่อหาสมบัติของอิฐตัวอย่างค้านปริมาณความชื้นหรือน้ำที่แฝงอยู่ในอิฐ และศึกษาวิเคราะห์สภาพของตัวอย่างหลังการทดสอบในด้านความสามารถในการดูดซึม การอุ่มน้ำ การแปรเปลี่ยนสภาพของเนื้ออิฐหลังจากถูกผลกระทบจากความชื้น

#### 2. วัตถุประสงค์

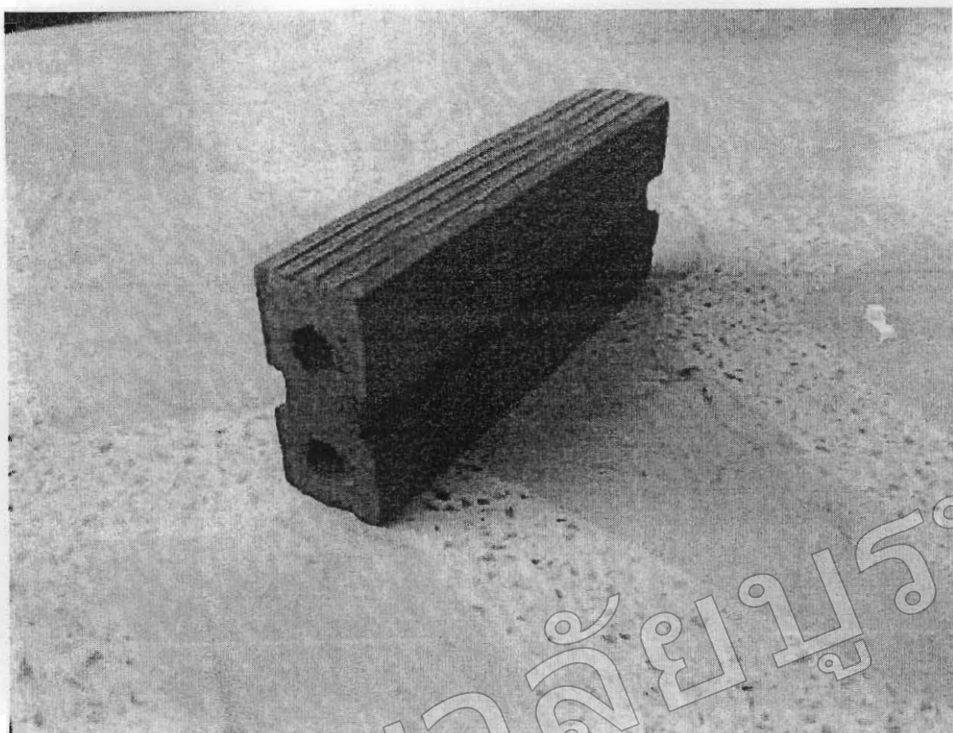
1. เพื่อหาความสามารถการดูดซึมน้ำของอิฐในแต่ละประเภทตัวอย่าง
2. เพื่อศึกษาผลกระทบของอิฐที่มีความสามารถการดูดซึมน้ำ จะมีผลต่อโครงสร้างและ性能นำไปใช้งานประเภทอื่น

#### 3. วัสดุตัวอย่างสำหรับทดสอบ

1. อิฐก่อสร้างสามัญ จำนวน 30 ก้อน
2. น้ำกลั่นหรือน้ำสะอาด

#### 4. เครื่องมือและอุปกรณ์การทดสอบ

1. เครื่องมือชั่งที่สามารถอ่านได้ละเอียดถึง 0.01 กรัม
2. เครื่องมือวัด อาทิ คลิบเมตร, ไม้บรรทัดเหล็ก
3. ตู้อบไฟฟ้าควบคุมอุณหภูมิได้ 110 องศาเซนเชียล
4. ภาชนะที่สามารถแข็งตัวอย่าง
5. ผ้าเนื้อนุ่มชั้นนำ ขนาด 15x 15 ซม. (ควรเป็นผ้าขนหนู)



รูปที่ 3.1 อิฐก่อสร้างสามัญ



รูปที่ 3.2 เครื่องมือชั่งที่สามารถอ่านได้ละเอียดถึง 0.01 กรัม



รูปที่ 3.3 ภาชนะที่สามารถแข็งตัวอย่าง



รูปที่ 3.4 ตู้อบ

### 5. วิธีการทดสอบ

1. คัดเลือกขนาดตัวอย่างที่ใช้ทดสอบจำนวนตัวอย่างละ 30 ก้อน โดยเลือกขนาดก้อนที่สมบูรณ์มากที่สุด
2. วัดขนาด และชั่งตัวอย่างพร้อมทำสัญญาลักษณ์ หรือหมายเลขไว้ในแต่ละชุดต่อตัวอย่างเพื่อป้องกันข้อมูลคลาดเคลื่อน
3. นำตัวอย่างมาแห้งในภาชนะที่มีน้ำก้น (ในการทดสอบอาจใช้น้ำสะอาดทดสอบได้) โดยแห้งให้ทั่วถึงก้อนอิฐทุกอันตัวอย่าง แห้งทิ้งไว้ 48 ชั่วโมง
4. นำตัวอย่างที่แห้งแล้วชั่งอยู่ในลักษณะอิ่มตัวผิวแห้ง แล้วนำมาชั่งในแล้วเสร็จภายใน 5 นาทีหลังจากที่ชั่งน้ำแล้วเสร็จ
5. นำตัวอย่างที่ผ่านขั้นตอนในข้อ 4 นำเข้าครุภัณฑ์ไปปรับอุณหภูมิ 110 องศาเซนติเกรด ใช้เวลาในการอบเป็นเวลา 24 ชั่วโมง แล้วจึงนำออกมาน้ำหนักในแต่ละก้อนตัวอย่าง เป็นอันแล้ว เสร็จขั้นตอนการทดสอบ

### 6. การคำนวณและการเขียนรายงาน

1. ทำการบันทึกข้อมูลของผลการวัดขนาด และการชั่งน้ำหนักของตัวอย่างทุกชุดลงในตารางบันทึกผลการทดสอบให้ครบสมบูรณ์
2. ทำการคำนวณ  
ความสามารถในการดูดซึมน้ำของตัวอย่างจากความสัมพันธ์ของอิฐ

$$\% \text{ Absorption of brick} = \frac{(W_2) \text{ Original Weight} - (W_1) \text{ Oven dry Weight}}{(W_1) \text{ Oven dry Weight}} \times 100$$

หรือถ้า  $W_1$  = Weight of brick       $W_2$  = Weight wet of brick

3. การเขียนรายงานจะต้องนำเสนอข้อมูลเชิงเปรียบเทียบของข้อมูลการดูดซึมน้ำของอิฐแต่ละก้อน และในแต่ละประเภทของชุดตัวอย่าง สรุปสาเหตุสำคัญที่ทำให้อิฐแต่ละชนิดมีความสามารถในการดูดซึมน้ำได้มากน้อยต่างกัน

### 8. ข้อสังเกต

การสังเกตคุณลักษณะของอิฐแต่ละก้อนโดยเปรียบเทียบกับน้ำหนักในการซึ่งแต่ละขั้นตอน การทดสอบและดูลักษณะของเนื้อ ความแน่นของอิฐ ซึ่งจะหาสาเหตุที่ทำให้อิฐแต่ละก้อนตัวอย่าง ดูคนนำได้ต่างกัน



### 3.2 การทดสอบกำลังอัดอิฐ (Compressive test of brick)

#### 1. ขอบเขต

การทดสอบแรงอัดของอิฐ เป็นการทดสอบอิฐที่ลักษณะ

#### 2. วัตถุประสงค์

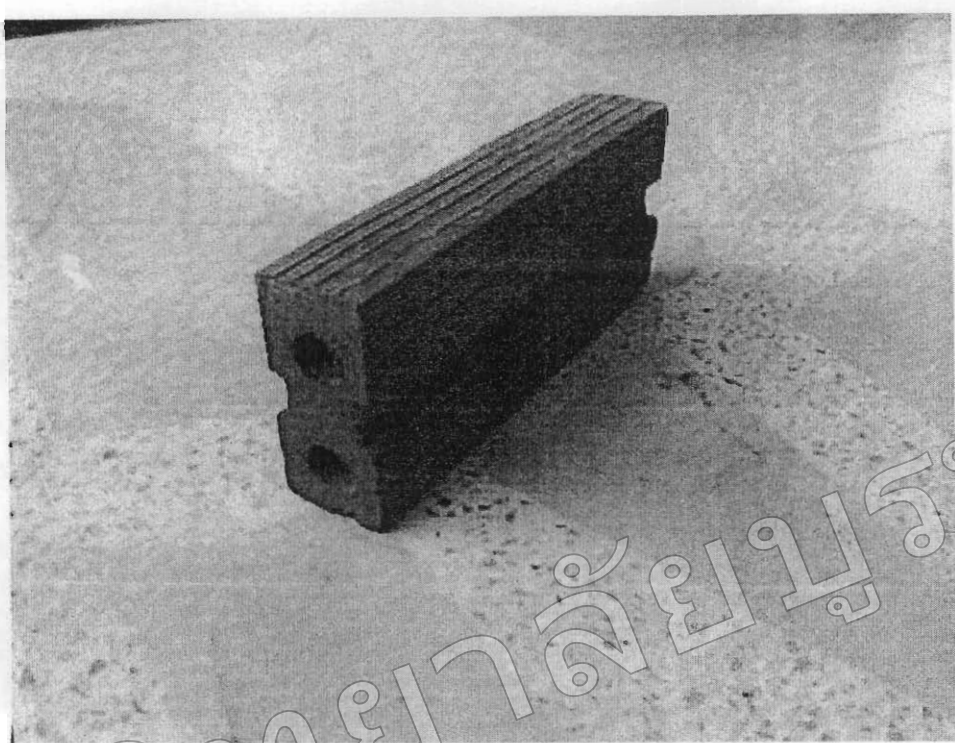
1. เพื่อการศึกษาพฤติกรรมของอิฐเมื่อมีน้ำหนักกระทำในลักษณะแรงอัด
2. เพื่อต้องการหาค่าความด้านทานแรงอัดของอิฐ
3. เพื่อต้องการหาค่าความสามารถในการดูดซึมน้ำ

#### 3. ขั้นตอนการทดสอบ

1. เครื่อง Universal testing machine
2. เครื่องมือช่างที่สามารถอ่านได้ละเอียดถึง 0.01 กรัม
3. เครื่องมือวัดความยาวหรือไม้บรรทัดเหล็ก
4. ตู้อบไฟฟ้าสามารถควบคุมอุณหภูมิได้
5. ภาชนะหรือถาดเช่าตัวอย่าง ควรมีขนาด  $15 \times 15 \times 3$  นิ้ว
6. แผ่นเหล็ก 2 แผ่น

#### 4. วัสดุตัวอย่างสำหรับการทดสอบ

1. อิฐก่อสร้างสามัญ จำนวน 30 ตัว
2. เครื่องมือช่างที่สามารถอ่านได้ละเอียดถึง 0.01 กรัม
3. เครื่องมือวัด อาทิ ตัวบันเมตร, ไม้บรรทัดเหล็ก
4. เครื่องทดสอบกำลังรับแรงอัด



รูปที่ 3.5 อิฐก่อสร้างสามัญ



รูปที่ 3.6 เครื่องมือชั่งที่สามารถอ่านได้ละเอียดถึง 0.01 กรัม



รูปที่ 3.7 เครื่องทดสอบกำลังรับแรงอัด

### 5. ลำดับขั้นการทดสอบ

1. นำอิฐก่อสร้างสามัญประเกทที่หนึ่ง จำนวน 30 ก้อน ชั้งน้ำหนัก และวัดขนาด
2. นำตัวอย่างในข้อ 1 เข้าเครื่องทดสอบแรงกำลังรับแรงอัด
3. เตรียมตัวอ่องอึก 2 ชุด โดยปฏิบัติเช่นเดียวกับตัวอย่างชุดแรก ตามข้อ 1-2
4. ชั่งและวัดขนาดตัวอย่างอึกรัง ก่อนนำตัวอย่างแต่ละชุดเข้าเครื่องทดสอบหาความต้านทานแรงอัดทางค้านอิฐ จนตัวอย่างวินาศีแตก แรงอัดลดลงอย่างต่อเนื่อง
5. ตั้งเกตตัวอย่างในขณะทดสอบหากำลังต้านทานแรงกด จนกระหั่งตัวอย่างเสียหาย
6. เก็บภาพถ่ายขณะการเสียหายของตัวอย่างและบันทึกผลแรงสูงสุด

### 3.3 การทดสอบแรงดัดของอิฐ (Flexural strength of brick)

#### 1. ขอบเขต

การศึกษาการดูดซึมน้ำของอิฐเป็นการสอบทานถาวรภาพเพื่อหาสมบัติของอิฐด้วยวิธีที่ง่ายด้านปริมาณความชื้นหรือน้ำที่แฝงอยู่ในอิฐ และศึกษาวิเคราะห์สภาพของตัวอย่างหลังการทดสอบในด้านความสามารถในการรับแรงดัด

#### 2. วัตถุประสงค์

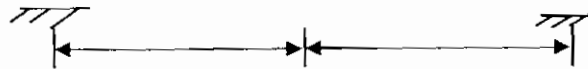
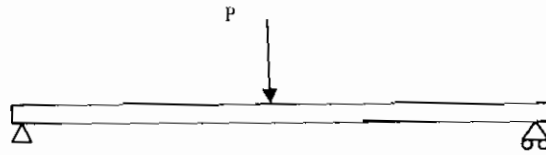
เพื่อหาค่าโมดูลัสของการชำรุด(modulus of rupture)ของอิฐดินเหนียวเพาท์ใช้ในงานก่อสร้าง (building clay brick)

#### 3. อุปกรณ์การทดสอบ

1. ชิ้นตัวอย่าง อิฐก่อสร้างสามัญผู้เรียน 30 ก้อน
2. เครื่องทดสอบ (testing machine) ที่ดัดแปลงเข้ากับการทดลองให้ได้ตามวัตถุประสงค์
3. เครื่องมือชั่งที่สามารถอ่านได้ละเอียดถึง 0.01 กรัม
4. ตู้อบไฟฟ้าควบคุมอุณหภูมิได้ 110 องศาเซนเซียน
5. ถ้วย
6. เหล็กคั้ด
7. ไม้บรรทัด

#### 4. วิธีการทดสอบสำหรับการต้านทานการดัดโค้ง

1. ทำเครื่องหมายที่อิฐ วัดขนาดเป็นมิลลิเมตร (กว้างxหนา xยาว) และชั่งน้ำหนัก โดยอ่านละเอียดถึง 0.01 กรัม
2. ติดตั้ง Support เข้ากับเครื่องทดสอบ โดยมีระยะห่าง (Span Length) 15 เซนติเมตร
3. ให้น้ำหนักกระทำให้ลงกึ่งกลางช่วงความยาวโดยคืนผิวสัมผัสนั้น ปรับโหลดให้ชี้ที่เลข 0
4. ให้น้ำหนักกระทำอย่างสม่ำเสมอในอัตราไม่เกิน 10,000 N/min หรือใช้ความเร็วไม่เกิน 1.0 mm/min
5. จดบันทึกค่าน้ำหนักที่ทำให้อิฐแตก
6. สเก็ตซ์ภาพรอยอิฐหัก
7. คำนวณ โมดูลัสของการชำรุดจากสูตร



“โค้งแกรมแรงเฉือน



“โค้งแกรมโมเมนต์



รูปที่ 2.11 แสดงแรงเฉือนและโมเมนต์จากแรงกระทำ

โมเมนต์สูงสุดที่เกิดขึ้นในการผิวนี้คือ

จากความแข็งแรงของวัสดุ

หรือ

$$\begin{aligned} M &= \frac{PS}{4} \\ \sigma &= \frac{MC}{I} \\ F_b &= \frac{\sigma I}{bd^2} \end{aligned}$$

$$\text{เมื่อ } C = \frac{d}{2}$$

$$I = \text{โมเมนต์ของความเฉื่อย} = \frac{bd^3}{12}$$

โมดูลัสของการชารุด = หน่วยแรงคัดสูงสุดที่เกิดขึ้นในเนื้อวัสดุประจำ =  $F_b$

$$\text{โมดูลัสของการชารุด} = \frac{\left(\frac{PS}{4}\right) \times \left(\frac{d}{2}\right)}{\frac{bd^3}{12}} = \frac{3PS}{2bd^2} (\text{N/mm}^2)$$

โดยที่  $P$  = น้ำหนักกระทำที่กึ่งกลาง (N)

$S$  = ช่วงความยาว (mm)

$b$  = ความกว้างอิฐ (mm)

$d$  = ความลึกอิฐ (mm)

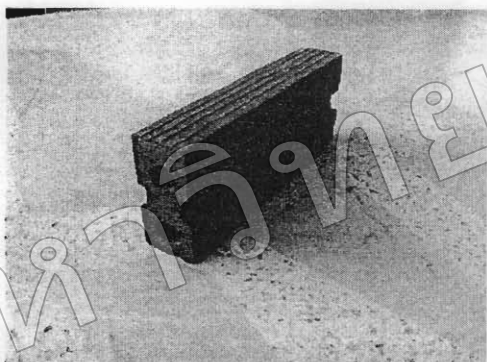
## 6. ข้อสังเกต

1. การวางแผนอิฐด้านที่เราจะทดสอบต้องเป็นด้านที่เราจะนำไปใช้งานจริง
2. การอ่านค่าการรับแรงอัดของตัวอย่างในระยะแรกๆ ควรอ่านในช่วงที่มีความถี่มาก ๆ กว่าช่วงอื่นเพื่อการนำไปเขียนกราฟความสัมพันธ์ของผลการทดสอบและทราบถึงพฤติกรรมการรับแรงอัดในช่วงแรกถ้าไม่ เช่นนั้นเส้นกราฟในช่วงนี้จะขาดหายไป

## บทที่ 4

### ผลการทดสอบ

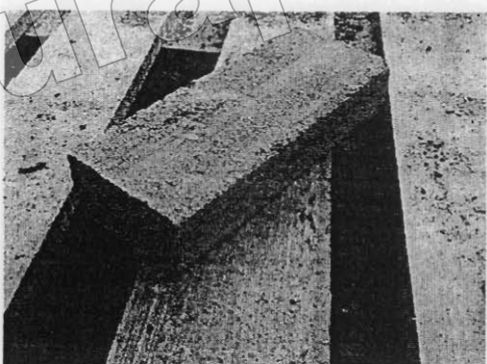
การทดสอบนี้ ได้ทำการทดสอบคุณสมบัติในการรับกำลังอัดของกำแพงอิฐมอญตามแนวแกน ซึ่ง  
อิฐมอญ (Brick) จะต้องมีการทดสอบหาคุณสมบัติเชิงกลของอิฐมอญ (Brick) และซีเมนต์มอร์ตาร์ (Cement  
Mortar) ที่ใช้เป็นปูนก่อ ต้องทดสอบหาทำลังรับแรงอัด (Compressive strength) แรงดึง (Tensile strength)  
แรงดึง (Flexural strength) ด้วย ก่อนที่จะทำการก่อกำแพงอิฐมอญรับแรงอัดตามแนวแกน เมื่อทำการ  
ทดสอบว่าสุดต่างๆแล้ว ก็จะนำวัสดุนั้นมา ก่อเป็นกำแพงอิฐมอญแต่ละชนิดได้ผลดังนี้



อิฐมอญ 2 รูลายข้าง



อิฐมอญ 2 รูไขฟู่



อิฐมอญ ตัน



อิฐมอญ 4 รู

#### 4.1 ผลการทดสอบการดูดซึมน้ำของอิฐมวล (Absorption test of brick)

การทดสอบการดูดซึมน้ำเป็นปัจจัยบ่งชี้ถึงความทนทาน (Durability) ปัจจัยหนึ่งของอิฐมวล เนื่องจากเป็นปัจจัยที่แสดงถึงความพรุนของอิฐ ถ้าอิฐมวลมีการดูดซึมน้ำมากแล้ว อิฐจะมีความพรุนและจะผุกร่อนจากการกระทำของสภาพแวดล้อมและการเสียดสีได้ง่าย

**ตารางที่ 4.1** ผลการทดสอบการดูดซึมน้ำของอิฐมวล 2 รูลายข้าง

NO.	เปอร์เซ็นต์การดูดซึมน้ำของอิฐมวล			
	น้ำหนักที่สภาพ อิ่มคัว kg ( $w_1$ )	น้ำหนักอิฐอบแห้ง kg ( $w_2$ )	น้ำหนักน้ำ kg	% การดูดซึมน้ำ $((w_1 - w_2)/ w_2) \times 100$
1	0.341	0.294	0.047	15.98
2	0.351	0.297	0.054	18.18
3	0.349	0.296	0.053	17.09
4	0.346	0.296	0.050	16.98
5	0.356	0.301	0.055	18.27
6	0.354	0.302	0.052	17.21
7	0.352	0.303	0.049	16.17
8	0.346	0.298	0.048	16.10
9	0.364	0.308	0.056	18.18
10	0.348	0.294	0.054	18.36
11	0.343	0.298	0.045	15.10
12	0.352	0.294	0.058	19.72
13	0.344	0.300	0.044	14.66
14	0.348	0.291	0.057	19.58
15	0.341	0.294	0.047	15.98
ค่าเฉลี่ยเปอร์เซ็นต์การดูดซึมน้ำ				17.17

**ตารางที่ 4.2 ผลการทดสอบการคูดซึมน้ำของอิฐมวล 2 รูไหง**

NO.	เบอร์เซ็นต์การคูดซึมน้ำของอิฐมวล			
	น้ำหนักที่สภาพ อิมตัว kg (w <sub>1</sub> )	น้ำหนักอิฐองแห้ง kg (w <sub>2</sub> )	น้ำหนักน้ำ kg	% การคูดซึมน้ำ $((w_1 - w_2) / w_2) \times 100$
1	0.467	0.398	0.069	17.33
2	0.473	0.421	0.052	12.35
3	0.470	0.408	0.062	15.19
4	0.490	0.425	0.065	15.29
5	0.433	0.381	0.052	13.64
6	0.474	0.410	0.064	15.60
7	0.466	0.412	0.054	13.10
8	0.483	0.413	0.070	16.94
9	0.452	0.491	0.061	12.42
10	0.456	0.385	0.071	18.44
11	0.464	0.414	0.050	12.07
12	0.478	0.412	0.066	16.02
13	0.488	0.416	0.072	17.30
14	0.471	0.388	0.083	21.39
15	0.467	0.418	0.049	11.72
ค่าเฉลี่ยเบอร์เซ็นต์การคูดซึมน้ำ				15.25

**ตารางที่ 4.3 ผลการทดสอบการคัดซึมน้ำของอิฐมวลตัน**

NO.	เปอร์เซ็นต์การคัดซึมน้ำของอิฐมวลตัน			
	น้ำหนักที่สภาพ อิ่มตัว kg (w <sub>1</sub> )	น้ำหนักอิฐอบแห้ง kg (w <sub>2</sub> )	น้ำหนักน้ำ	% การคัดซึมน้ำ $((w_1 - w_2) / w_2) \times 100$
1	0.546	0.464	0.082	17.67
2	0.549	0.466	0.083	17.81
3	0.545	0.464	0.081	17.46
4	0.562	0.482	0.080	16.60
5	0.547	0.450	0.097	21.56
6	0.532	0.458	0.074	16.16
7	0.544	0.464	0.080	17.24
8	0.542	0.468	0.074	15.81
9	0.534	0.462	0.074	16.16
10	0.538	0.462	0.076	16.45
11	0.520	0.450	0.070	15.56
12	0.544	0.466	0.078	16.74
13	0.556	0.478	0.078	16.32
14	0.554	0.478	0.076	15.90
15	0.562	0.482	0.080	16.60
ค่าเฉลี่ยเปอร์เซ็นต์การคัดซึมน้ำ				16.93

**ตารางที่ 4.4 ผลการทดสอบการคุณซึ่มน้ำของอิฐมวล 4 กก.**

NO.	เปลอร์เซ็นต์การคุณซึ่มน้ำของอิฐมวล			
	น้ำหนักที่สภาพ อิ่มตัว kg ( $w_1$ )	น้ำหนักอิฐอบแห้ง kg ( $w_2$ )	น้ำหนักน้ำ kg	% การคุณซึ่มน้ำ $((w_1 - w_2) / w_2) \times 100$
1	0.841	0.762	0.079	10.36
2	0.838	0.751	0.087	11.58
3	0.842	0.755	0.087	11.22
4	0.851	0.761	0.090	11.82
5	0.871	0.778	0.093	11.95
6	0.842	0.765	0.077	10.06
7	0.832	0.757	0.075	9.90
8	0.836	0.753	0.083	11.02
9	0.827	0.742	0.085	11.45
10	0.829	0.748	0.081	10.82
11	0.834	0.768	0.066	8.59
12	0.862	0.773	0.089	11.51
13	0.871	0.785	0.086	10.95
14	0.897	0.802	0.095	11.84
15	0.821	0.756	0.065	8.59
ค่าเฉลี่ยเปลอร์เซ็นต์การคุณซึ่มน้ำ				9.98

## 4.2 ผลการทดสอบการรับแรงอัดของอิฐมวล (Compressive strength of brick)

การทดสอบการรับแรงอัดของอิฐมวลทั้งสี่ชนิดคือ อิฐมวล 2 รูลายห้าง, อิฐมวล 2 รูไหญ์, อิฐมวลดัน, อิฐมวล 4 รู โดยการสุ่มตัวอย่างมาทำการศึกษากำลังรับแรงอัดจำนวนชนิดละ 15 ตัวอย่าง พนว่า กำลังรับแรงอัดเฉลี่ย

**ตารางที่ 4.5 ผลการทดสอบการหาค่ารับแรงอัดของอิฐมวล 2 รูลายห้าง**

No.	Load (kN)	กว้าง (mm)	ยาว (mm)	Area (mm <sup>2</sup> )	Stress (N/mm <sup>2</sup> )
1	24.20	57.73	143.77	8,296.95	2.91
2	14.90	59.90	140.55	8,418.95	1.79
3	25.40	59.90	141.70	8,487.83	2.99
4	26.40	58.92	142.83	8,415.54	3.13
5	25.40	57.70	142.18	8,203.79	3.09
6	35.60	60.53	142.87	8,647.92	4.14
7	29.20	60.33	142.09	8,572.29	3.34
8	24.00	53.28	141.32	7,529.53	3.18
9	26.50	53.35	143.80	7,671.73	3.45
10	24.50	58.00	141.97	8,234.26	2.97
11	25.90	59.63	142.13	8,475.21	3.05
12	24.30	59.60	143.32	8,541.87	2.84
13	29.70	59.63	146.93	8,761.44	3.40
14	31.90	59.67	141.97	8,471.35	3.77
15	33.60	59.10	142.30	8,409.93	3.98
ค่าเฉลี่ย					3.24

ตารางที่ 4.6 ผลการทดสอบการหาค่ารับแรงอัดของอิฐมอญ 2 รูใหญ่

No.	Load (kN)	กว้าง (mm)	ยาว (mm)	Area (mm <sup>2</sup> )	Stress (N/mm <sup>2</sup> )
1	48.20	66.91	162.86	10,896.96	4.42
2	51.50	64.18	157.86	10,131.45	5.08
3	40.50	65.98	162.62	10,729.66	3.77
4	46.80	63.84	158.46	10,116.08	4.62
5	49.70	65.38	160.09	10,465.74	4.74
6	52.10	61.54	161.47	9,936.86	5.24
7	55.10	64.81	163.62	10,604.21	5.19
8	46.20	63.78	162.52	10,365.52	4.45
9	42.30	64.76	163.12	10,563.65	4.00
10	40.60	65.41	162.31	10,616.69	3.82
11	52.50	65.24	163.82	10,687.61	4.91
12	45.10	65.08	161.52	10,511.72	4.29
13	46.50	67.14	162.66	10,920.99	4.25
14	52.30	65.71	163.49	10,742.92	4.86
15	46.10	66.34	161.89	10,739.78	4.29
ค่าเฉลี่ย					4.52

**ตารางที่ 4.7 ผลการทดสอบการหาค่ารับแรงอัดของอิฐมอญดัน**

No.	Load (kN)	กว้าง (mm)	ยาว (mm)	Area (mm <sup>2</sup> )	Stress (N/mm <sup>2</sup> )
1	145.30	67.23	159.28	10,708.39	13.56
2	135.40	66.73	158.13	10,552.01	12.83
3	130.10	66.80	159.18	10,633.22	12.23
4	156.10	67.33	161.50	10,873.80	14.35
5	147.10	67.40	159.82	10,771.87	13.65
6	137.63	67.63	160.07	10,825.53	12.71
7	128.07	68.07	160.27	10,909.58	11.73
8	138.37	68.37	162.43	11,105.34	12.45
9	148.10	68.10	158.70	10,807.47	13.70
10	167.37	67.37	157.17	10,588.54	15.80
11	147.13	67.13	161.27	10,826.06	13.59
12	137.53	67.53	160.23	10,820.33	12.59
13	137.73	67.73	161.20	10,918.08	12.61
14	147.93	67.93	162.17	11,016.21	13.42
15	146.60	66.60	160.27	10,673.98	13.73
ค่าเฉลี่ย					13.26

**ตารางที่ 4.8** ผลการทดสอบการหาค่ารับแรงอัดของอิฐมอญ 4 รู

No.	Load (kN)	กว้าง (mm)	ยาว (mm)	Area (mm <sup>2</sup> )	Stress (N/mm <sup>2</sup> )
1	42.42	63.23	163.83	10,826.06	3.91
2	45.20	56.07	161.33	10,820.33	4.17
3	46.60	58.13	162.68	10,918.08	4.26
4	42.40	62.70	163.51	11,016.21	3.84
5	46.00	60.33	161.90	10,673.98	4.30
6	48.20	63.84	159.82	10,708.39	4.50
7	41.50	62.38	160.07	10,552.01	3.93
8	40.50	61.54	160.27	10,633.22	3.80
9	46.80	64.81	162.43	10,873.80	4.30
10	49.70	60.78	158.70	10,771.87	4.61
11	46.20	57.13	160.09	10,825.53	4.26
12	42.30	58.53	161.47	10,909.58	3.87
13	40.60	58.73	163.62	11,105.34	3.65
14	42.50	59.93	162.52	10,807.47	3.93
15	45.10	57.60	163.12	10,588.54	4.25
ค่าเฉลี่ย					4.10

#### 4.3 ผลการทดสอบแรงดัดของอิฐมอญ (Flexural strength of brick)

การทดสอบการรับแรงดัดของอิฐมอญทั้งสี่ชนิดคือ อิฐมอญ 2 รูลายข้าง อิฐมอญ 2 รูใหญ่ อิฐมอญตัน อิฐมอญ 4 รู โดยการสุ่มตัวอย่างมาทำการศึกษากำลังรับแรงดัดจำนวนชนิดละ 15 ตัวอย่าง พนว่า กำลังรับแรงดัดเฉลี่ย

**ตารางที่ 4.9** ผลการทดสอบการหาค่ารับแรงดัดของอิฐมอญ 2 รูลายข้าง

No.	ขนาด ( $b \times d \times l$ )(mm.)			ช่วง SUPPORT, S(mm.)	MAX LOAD P (N)	ค่าโมดูลัส ( $N/mm^2$ ) $3PS/2bd^2$
	กว้าง , b (mm.)	หนา , d (mm.)	ยาว , l (mm.)			
1	58.01	30.54	143.78	13.00	1,519.42	0.5476
2	59.54	29.19	140.56	13.00	1,119.42	0.4302
3	59.96	28.51	141.71	13.00	1,919.42	0.7679
4	58.93	29.59	142.81	13.00	1,319.42	0.4986
5	58.21	28.27	142.19	13.00	1,519.42	0.6368
6	59.62	28.69	142.14	13.00	619.42	0.2461
7	59.61	28.72	143.33	13.00	1,419.42	0.5628
8	59.64	29.09	146.94	13.00	819.42	0.3168
9	59.68	28.59	141.96	13.00	2,119.42	0.8469
10	59.11	29.06	142.29	13.00	1,919.42	0.7496
11	58.41	28.89	144.12	13.00	1,819.42	0.7276
12	60.54	28.82	142.86	13.00	1,219.42	0.4728
13	60.31	28.66	142.02	13.00	919.42	0.3619
14	53.29	28.67	141.31	13.00	919.42	0.4093
15	53.36	29.02	143.79	13.00	519.42	0.2254
ค่าเฉลี่ยโมดูลัส						0.5200

**ตารางที่ 4.10** ผลการทดสอบการหาค่ารับแรงคัดของอิฐมอย 2 รูใหญ่

**ตารางที่ 4.11** ผลการทดสอบการหาค่ารับแรงดึงของอิฐมวลตัน

ตารางที่ 4.12 ผลการทดสอบการหาค่ารับแรงดึงของอิฐมอญ 4 รู

#### 4.4 ผลการทดสอบกำลังรับแรงอัดของซีเมนต์มอร์ตาร์ (Compressive strength of cement mortar)

จากการศึกษากำลังรับแรงอัดของซีเมนต์มอร์ตาร์ (Compressive strength of cement mortar) ที่ใช้ใน การก่อกำแพงอิฐมอญ โดยเลือกใช้ซีเมนต์มอร์ตาร์สมสมเร็จและผสมเองตัวอย่าง 3 ชุดการทดสอบ 7 , 14 , 28 วันตามลำดับ ชุดละ 3 ตัวอย่าง ได้ผลดังนี้

##### แบบที่ 1 ซีเมนต์มอร์ตาร์แบบผสมเสร็จ

ที่อายุ 7 วัน กำลังรับแรงอัดของซีเมนต์มอร์ตาร์ค่าเฉลี่ยเท่ากับ 73.75 กก./ตร.ซม.

ที่อายุ 14 วัน กำลังรับแรงอัดของซีเมนต์มอร์ตาร์ค่าเฉลี่ยเท่ากับ 112.32 กก./ตร.ซม.

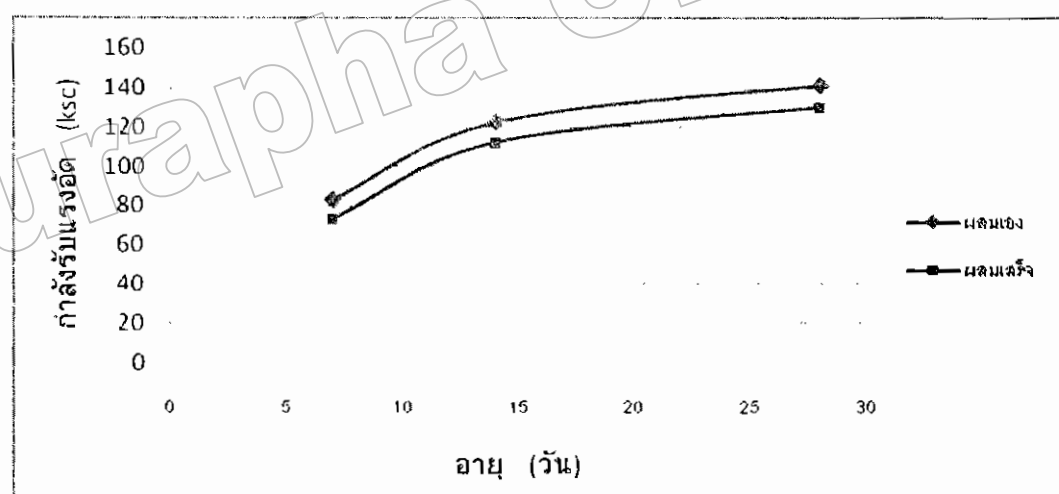
ที่อายุ 28 วัน กำลังรับแรงอัดของซีเมนต์มอร์ตาร์ค่าเฉลี่ยเท่ากับ 129.96 กก./ตร.ซม.

##### แบบที่ 2 ซีเมนต์มอร์ตาร์แบบผสมเอง

ที่อายุ 7 วัน กำลังรับแรงอัดของซีเมนต์มอร์ตาร์ค่าเฉลี่ยเท่ากับ 83.51 กก./ตร.ซม.

ที่อายุ 14 วัน กำลังรับแรงอัดของซีเมนต์มอร์ตาร์ค่าเฉลี่ยเท่ากับ 122.68 กก./ตร.ซม.

ที่อายุ 28 วัน กำลังรับแรงอัดของซีเมนต์มอร์ตาร์ค่าเฉลี่ยเท่ากับ 141.31 กก./ตร.ซม.



**รูปที่ 4.1** กราฟความสัมพันธ์ระหว่างกำลังอัด(Compressive strength) กับอายุ (Age) ของซีเมนต์ มอร์ตาร์ (Cement Mortar)

จากรูปที่ 4.1 จะพบว่ากำลังอัดของซีเมนต์มอร์ต้าร์ (Cement Mortar) ที่ใช้อัตราส่วนของน้ำต่อวัสดุ ประสานแบบผสมเมือง(w/c) เท่ากับ 0.40 มีกำลังรับแรงอัดมากกว่าซีเมนต์มอร์ต้าร์ (Cement Mortar) แบบผสมเสร็จ ในทุกช่วงอายุและมีกำลังรับแรงอัดมากที่สุดที่ 28 วัน

#### **4.5 ผลการทดสอบแรงดัดของซีเมนต์มอร์ต้าร์ (Flexural strength of cement mortar)**

จากการศึกษากำลังรับแรงดัดของซีเมนต์มอร์ต้าร์ (Flexural strength of cement mortar) ที่ใช้ในการ ก่อกำแพงอิฐมอญ โดยเลือกใช้ซีเมนต์มอร์ต้าร์ผสมเสร็จและผสมเมืองตัวอย่าง 3 ชุดการทดสอบ 7 , 14 , 28 วันตามลำดับ ชุดละ 3 ตัวอย่าง ได้ผลดังนี้

##### **แบบที่ 1 ซีเมนต์มอร์ต้าร์แบบผสมเสร็จ**

ที่อายุ 7 วัน กำลังรับแรงดัดของซีเมนต์มอร์ต้าร์ค่าเฉลี่ยเท่ากับ 40.03 กก./ตร.ซม.

ที่อายุ 14 วัน กำลังรับแรงดัดของซีเมนต์มอร์ต้าร์ค่าเฉลี่ยเท่ากับ 56.81 กก./ตร.ซม.

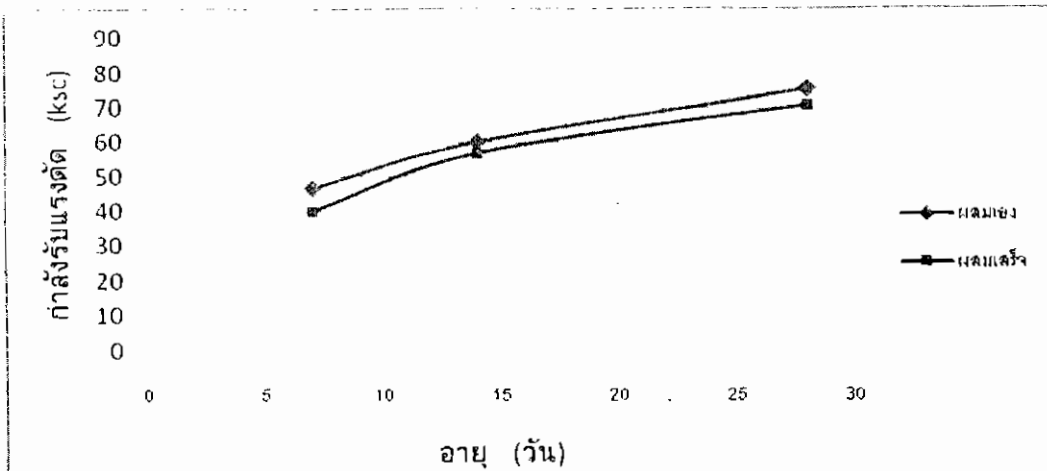
ที่อายุ 28 วัน กำลังรับแรงดัดของซีเมนต์มอร์ต้าร์ค่าเฉลี่ยเท่ากับ 70.62 กก./ตร.ซม.

##### **แบบที่ 2 ซีเมนต์มอร์ต้าร์แบบผสมเมือง**

ที่อายุ 7 วัน กำลังรับแรงดัดของซีเมนต์มอร์ต้าร์ค่าเฉลี่ยเท่ากับ 46.63 กก./ตร.ซม.

ที่อายุ 14 วัน กำลังรับแรงดัดของซีเมนต์มอร์ต้าร์ค่าเฉลี่ยเท่ากับ 60.19 กก./ตร.ซม.

ที่อายุ 28 วัน กำลังรับแรงดัดของซีเมนต์มอร์ต้าร์ค่าเฉลี่ยเท่ากับ 75.21 กก./ตร.ซม.



รูปที่ 4.2 กราฟความสัมพันธ์ระหว่างแรงดึง(Flexural strength)กับอายุ (Age) ของซีเมนต์มอร์ตาร์ (Cement Mortar)

#### 4.5 ผลการทดสอบแรงดึงของซีเมนต์มอร์ตาร์ (Tensile strength of cement mortar)

จากการศึกษากำลังรับแรงดึงของซีเมนต์มอร์ตาร์ (Tensile strength of cement mortar) ที่ใช้ในการก่อกำแพงอิฐมอญ โดยเลือกใช้ซีเมนต์มอร์ตาร์ผสมเสร็จและผสมอ่องตัวอย่าง 3 ชุดทดสอบ 7 , 14 , 28 วันตามลำดับ ชุดละ 3 ตัวอย่าง ได้ผลดังนี้

##### แบบที่ 1 ซีเมนต์มอร์ตาร์แบบผสมเสร็จ

ที่อายุ 7 วัน กำลังรับแรงดึงของซีเมนต์มอร์ตาร์ค่าเฉลี่ยเท่ากับ 21.22 กก./ตร.ซม.

ที่อายุ 14 วัน กำลังรับแรงดึงของซีเมนต์มอร์ตาร์ค่าเฉลี่ยเท่ากับ 30.93 กก./ตร.ซม.

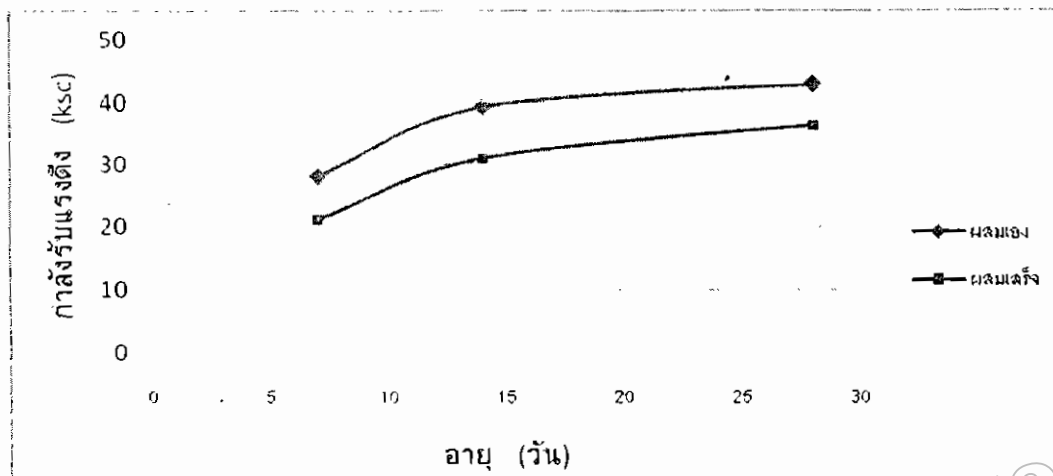
ที่อายุ 28 วัน กำลังรับแรงดึงของซีเมนต์มอร์ตาร์ค่าเฉลี่ยเท่ากับ 36.18 กก./ตร.ซม.

##### แบบที่ 2 ซีเมนต์มอร์ตาร์แบบผสมเอง

ที่อายุ 7 วัน กำลังรับแรงดึงของซีเมนต์มอร์ตาร์ค่าเฉลี่ยเท่ากับ 28.13 กก./ตร.ซม.

ที่อายุ 14 วัน กำลังรับแรงดึงของซีเมนต์มอร์ตาร์ค่าเฉลี่ยเท่ากับ 39.27 กก./ตร.ซม.

ที่อายุ 28 วัน กำลังรับแรงดึงของซีเมนต์มอร์ตาร์ค่าเฉลี่ยเท่ากับ 42.87 กก./ตร.ซม.

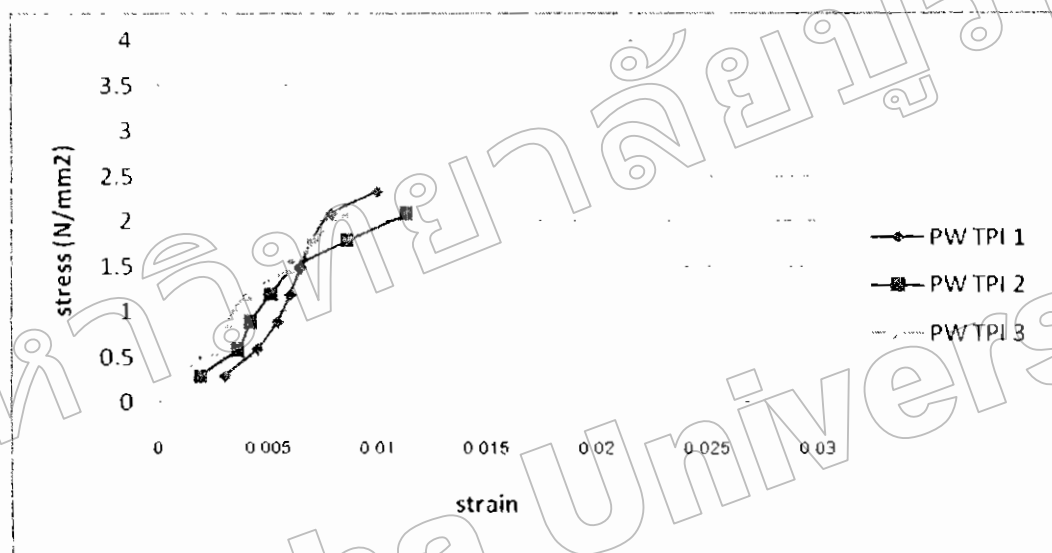


รูปที่ 4.3 กราฟความสัมพันธ์ระหว่างแรงดึง (Tensile strength) กับอายุ (Age) ของซีเมนต์มอร์ตาร์

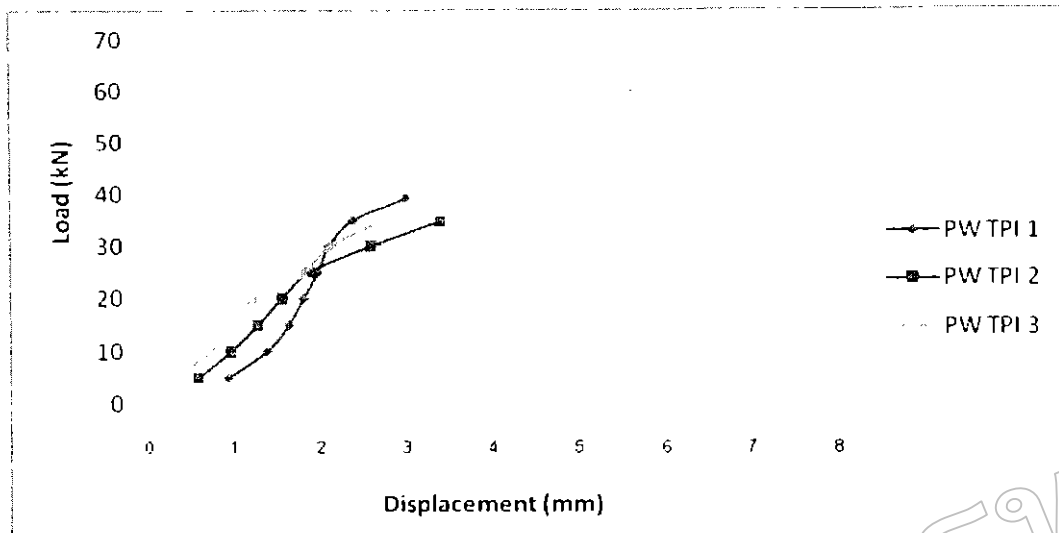
#### 4.6 ผลการทดสอบกำลังรับแรงอัดชิ้นส่วนของกำแพงอิฐมอญ (Compressive strength of parts brick wall)

การทดลองเพื่อหากำลังอัดชิ้นส่วนของกำแพงอิฐมอญ โดยชิ้นส่วนของกำแพงที่ก่อมีขนาด 30 x 30 ตร.ซม. ก่อแบบสลับ (Running Bond) โดยใช้อิฐมอญ 4 ชนิด อิฐมอญ 2 รูข้างลาย อิฐมอญ 2 รูใหญ่ อิฐมอญดัน อิฐมอญ 4 รู อย่างละ 3 ตัวอย่าง โดยแบ่งความหนาของชิ้นส่วนเป็น 1, 1.5, 2 ตามลำดับ

ผลการทดสอบกำลังอัดชิ้นส่วนของกำแพงอิฐมอญ 2 รูลายข้าง โดยใช้ชิ้นส่วนที่ก่อสำเร็จรูปที่พีไอ M 300 ความหนา 1.5 ซม. จำนวน 3 ตัวอย่าง ได้ผลดังนี้

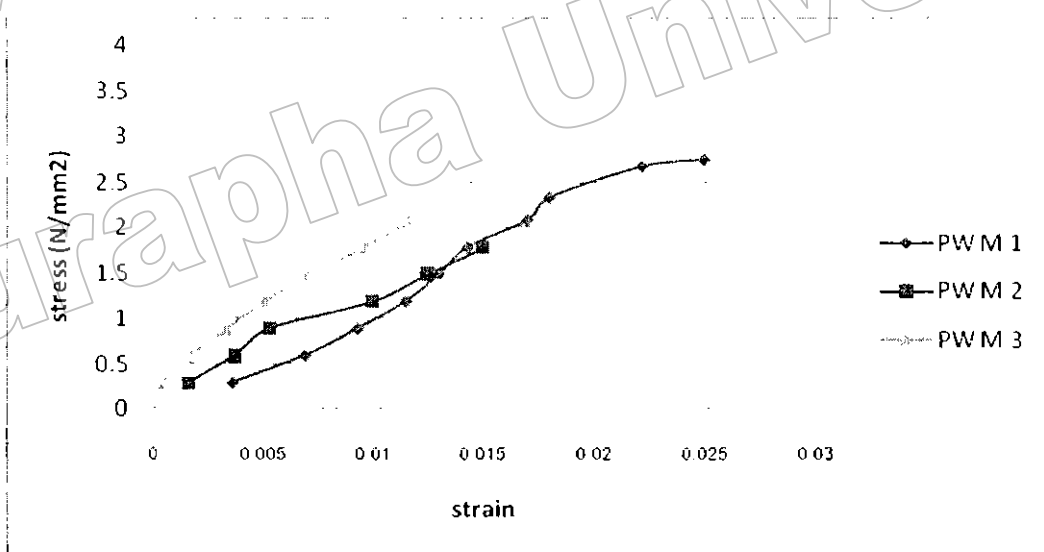


รูปที่ 4.4 กราฟความสัมพันธ์ระหว่าง Stress และ Strain ของชิ้นส่วนของกำแพงที่ก่อแบบสลับ (Running Bond) ที่ความหนาของชิ้นส่วนที่ตัวที่ 1 เช่นติเมตรทั้ง 3 ตัวอย่าง

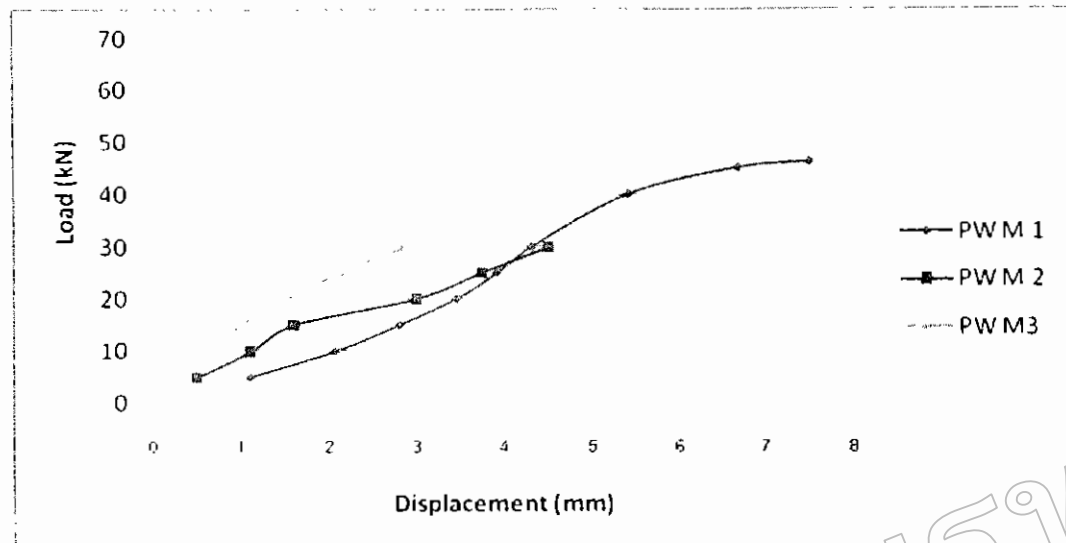


รูปที่ 4.5 กราฟความสัมพันธ์ระหว่าง Load และ Displacement ของชิ้นส่วนของกำแพงที่ก่อแบบสลับ (Running Bond) ที่ความหนาของชีเมนต์มอร์ต้าร์ที่ 1 เซนติเมตรทั้ง 3 ด้านอย่าง

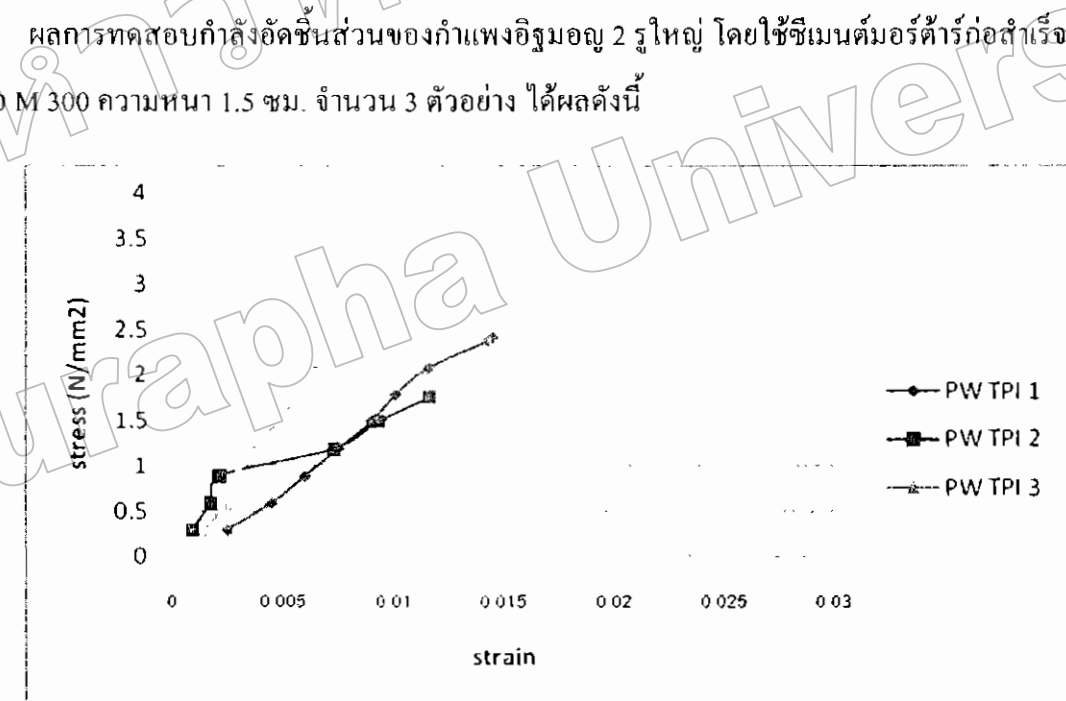
ผลการทดสอบกำลังอัดชิ้นส่วนของกำแพงอิฐมอญ 2 รูลายข้าง โดยใช้ชีเมนต์มอร์ต้าร์ เสื่อมความหนา 1 ซม. จำนวน 3 ด้านอย่าง ได้ผลดังนี้



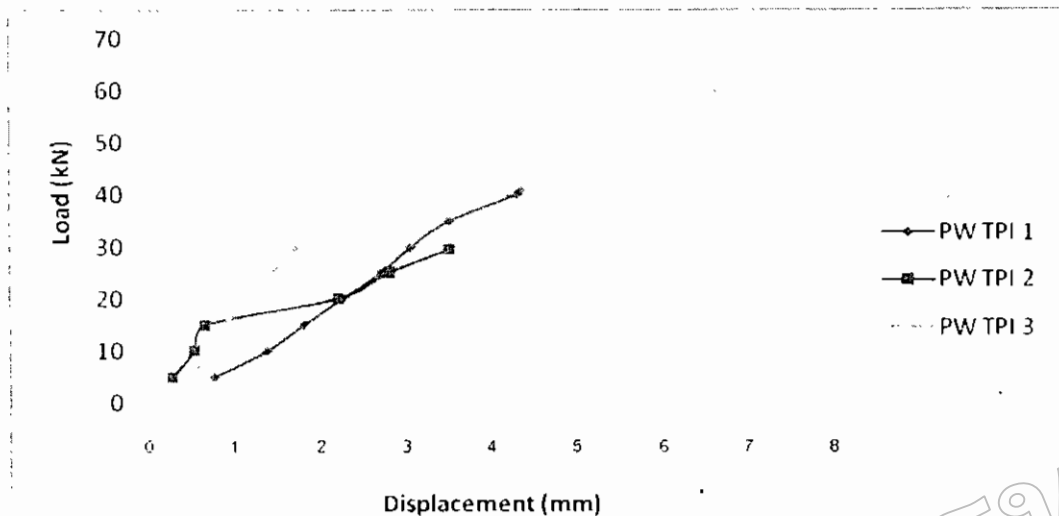
รูปที่ 4.6 กราฟความสัมพันธ์ระหว่าง Stress และ Strain ของชิ้นส่วนของกำแพงที่ก่อแบบสลับ (Running Bond) ที่ความหนาของชีเมนต์มอร์ต้าร์ที่ 1 เซนติเมตรทั้ง 3 ด้านอย่าง



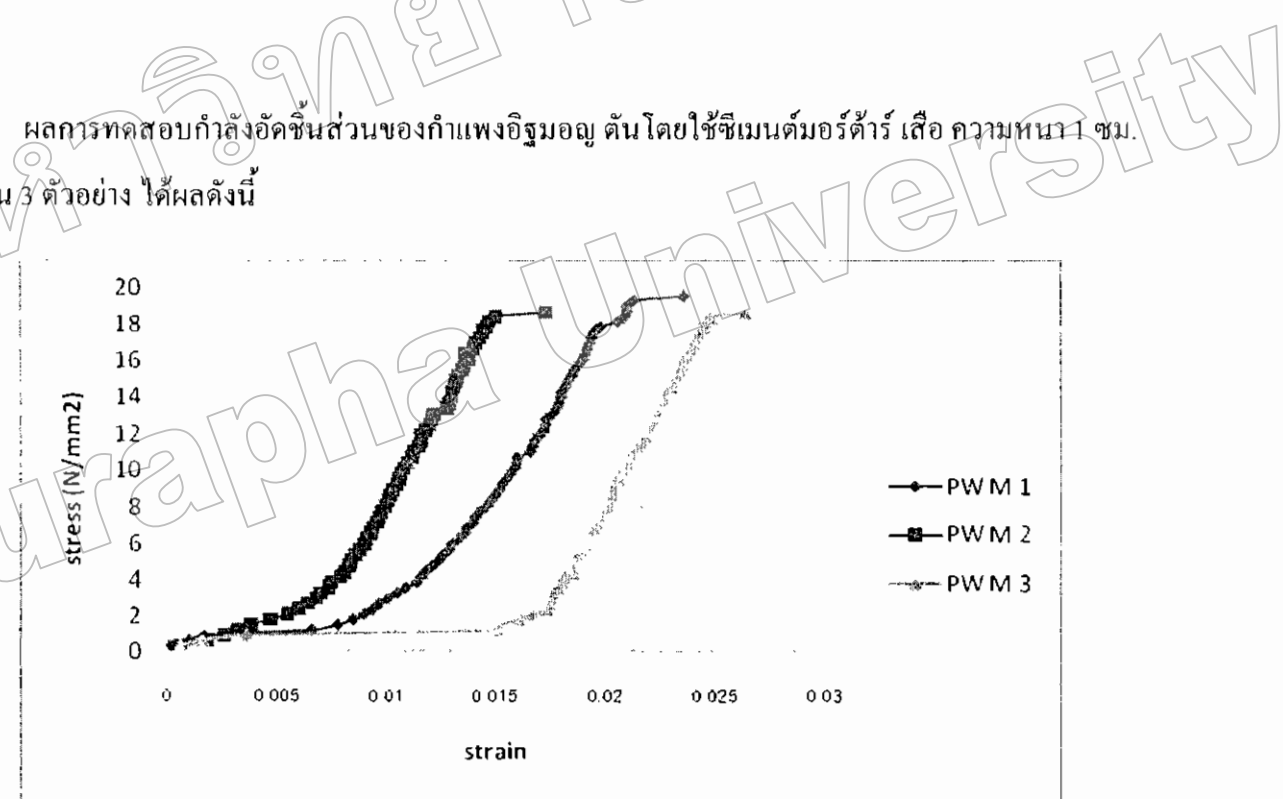
รูปที่ 4.7 กราฟความสัมพันธ์ระหว่าง Load และ Displacement ของชิ้นส่วนของกำแพงที่ก่อแบบลับ (Running Bond) ที่ความหนาของชีเมนต์มอร์ตาร์ที่ 1 เซนติเมตรทั้ง 3 ตัวอย่าง



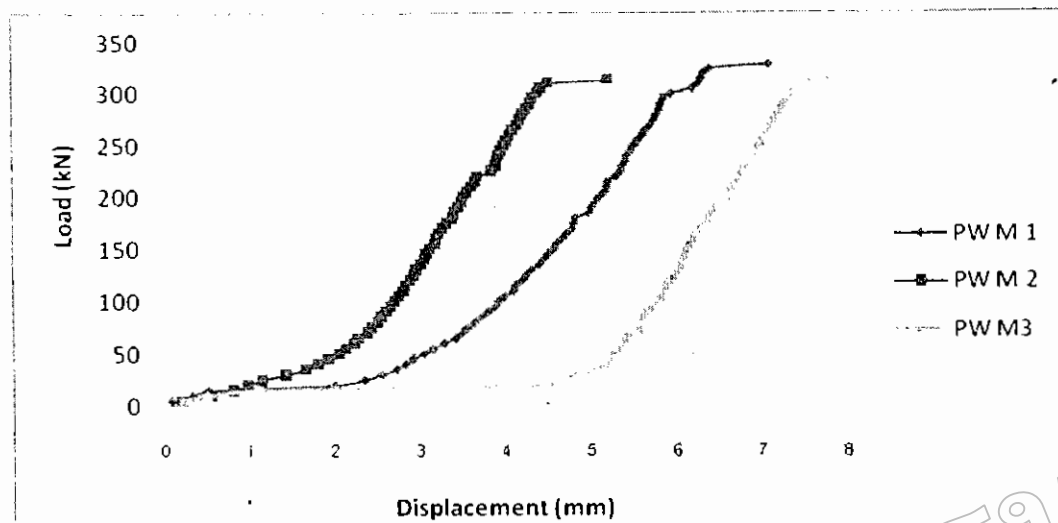
รูปที่ 4.8 กราฟความสัมพันธ์ระหว่าง Stress และ Strain ของชิ้นส่วนของกำแพงที่ก่อแบบลับ (Running Bond) ที่ความหนาของชีเมนต์มอร์ตาร์ที่ 1 เซนติเมตรทั้ง 3 ตัวอย่าง



รูปที่ 4.9 กราฟความสัมพันธ์ระหว่าง Load และ Displacement ของชิ้นส่วนของกำแพงที่ก่อแบบสลับ (Running Bond) ที่ความหนาของซีเมนต์มอร์ต้าร์ที่ 1 เชนติเมตรทั้ง 3 ด้านอย่างจำนวน 3 ด้านอย่าง ได้ผลดังนี้

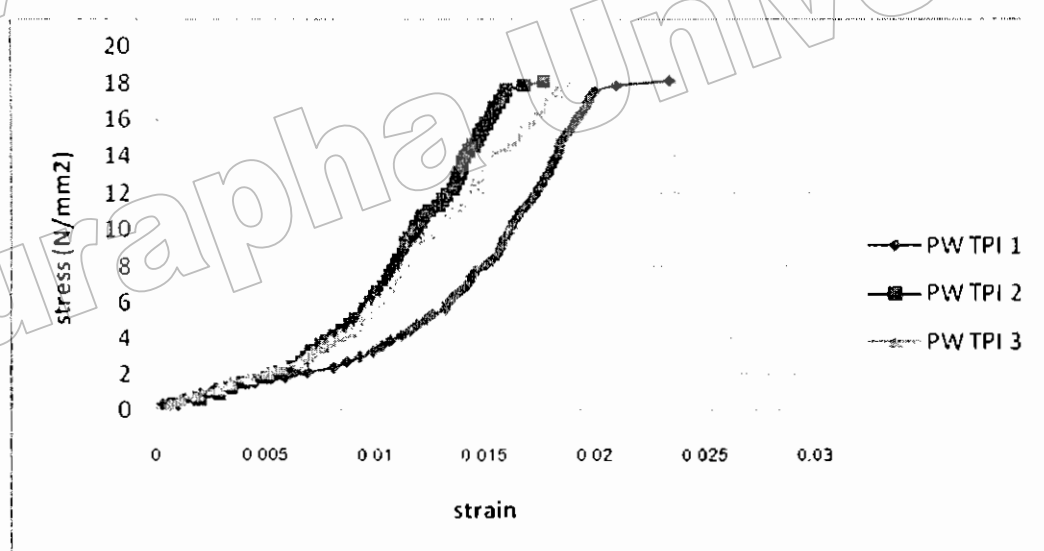


รูปที่ 4.10 กราฟความสัมพันธ์ระหว่าง Stress และ Strain ของชิ้นส่วนของกำแพงที่ก่อแบบสลับ (Running Bond) ที่ความหนาของซีเมนต์มอร์ต้าร์ที่ 1 เชนติเมตรทั้ง 3 ด้านอย่าง

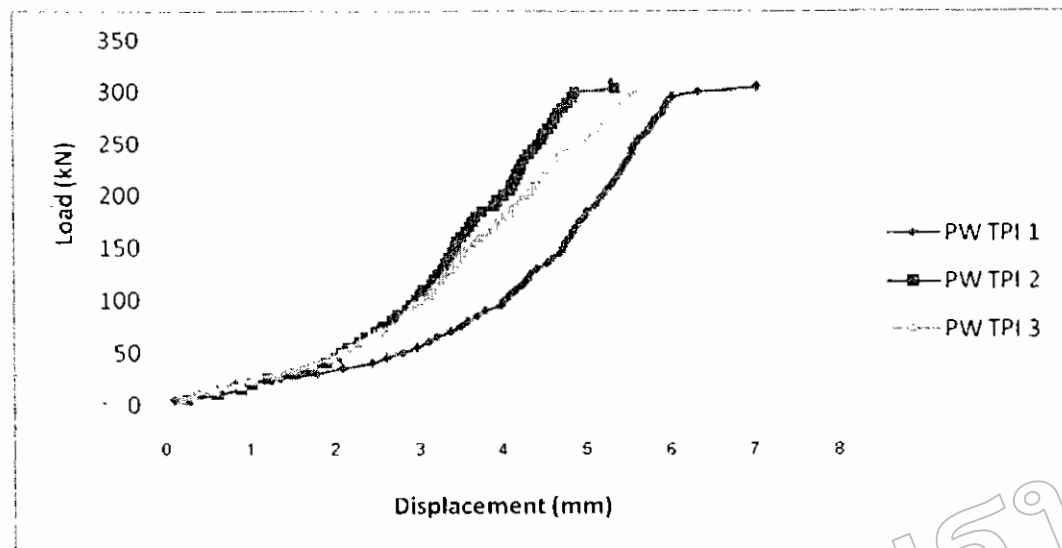


รูปที่ 4.11 กราฟความสัมพันธ์ระหว่าง Load และ Displacement ของชิ้นส่วนของกำแพงที่ก่อแบบสลับ (Running Bond) ที่ความหนาของชิ้นเม็ดมอร์ตาร์ที่ 1 เซนติเมตรทั้ง 3 ตัวอย่าง

ผลการทดสอบกำลังอัดชิ้นส่วนของกำแพงอิฐมอญ ดัน โดยใช้ชิ้นเม็ดมอร์ตาร์ก่อสำเร็จรูปที่พิทีโอ M 300 ความหนา 1 ซม. จำนวน 3 ตัวอย่าง ได้ผลดังนี้



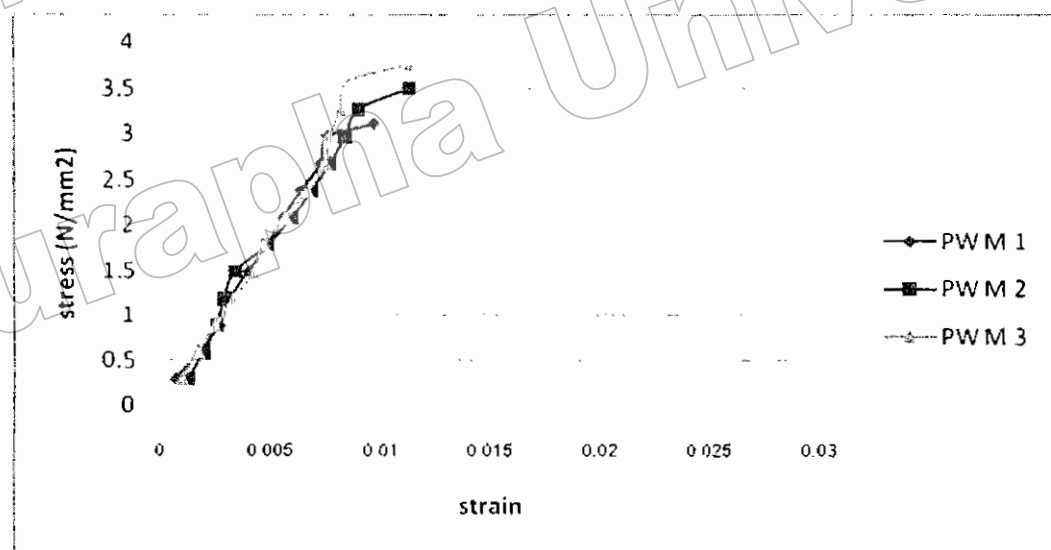
รูปที่ 4.12 กราฟความสัมพันธ์ระหว่าง Stress และ Strain ของชิ้นส่วนของกำแพงที่ก่อแบบสลับ (Running Bond) ที่ความหนาของชิ้นเม็ดมอร์ตาร์ที่ 1 เซนติเมตรทั้ง 3 ตัวอย่าง



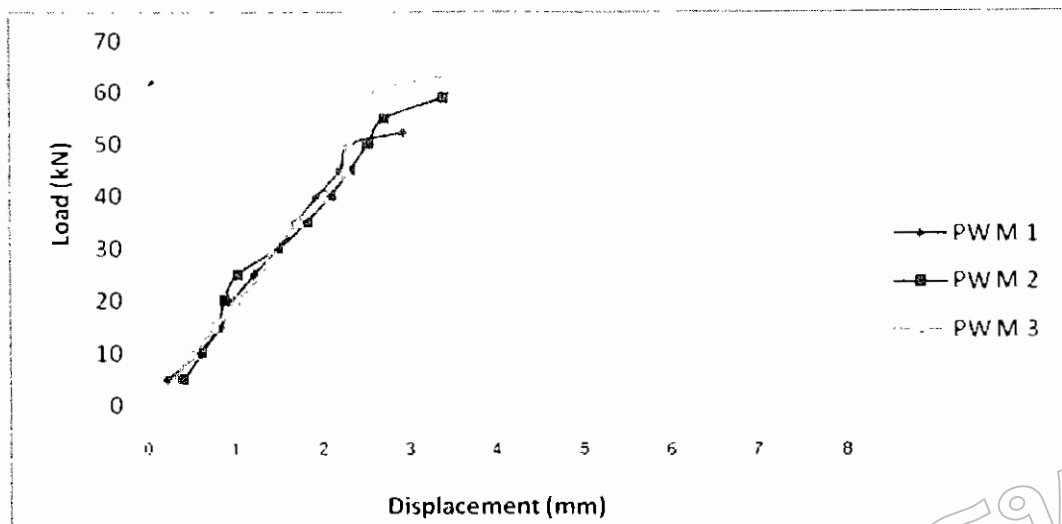
รูปที่ 4.13 กราฟความสัมพันธ์ระหว่าง Load และ Displacement ของชิ้นส่วนของกำแพงที่ก่อแบบสลับ (Running Bond) ที่ความหนาของชีเมนต์มอร์ต้าร์ที่ 1 เช่นเดิมครึ่งทั้ง 3 ตัวอย่าง

ผลการทดสอบกำลังอัดชิ้นส่วนของกำแพงอิฐมวล 4 รู โดยใช้ชีเมนต์มอร์ต้าร์ เสือ ความหนา 1 ซม.

จำนวน 3 ตัวอย่าง ได้ผลดังนี้

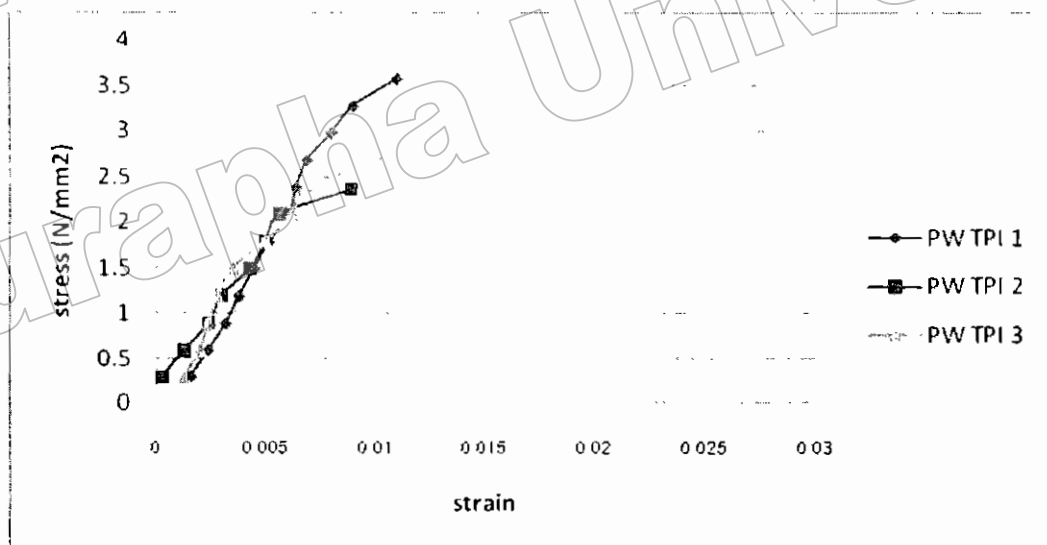


รูปที่ 4.14 กราฟความสัมพันธ์ระหว่าง Stress และ Strain ของชิ้นส่วนของกำแพงที่ก่อแบบสลับ (Running Bond) ที่ความหนาของชีเมนต์มอร์ต้าร์ที่ 1 เช่นเดิมครึ่งทั้ง 3 ตัวอย่าง

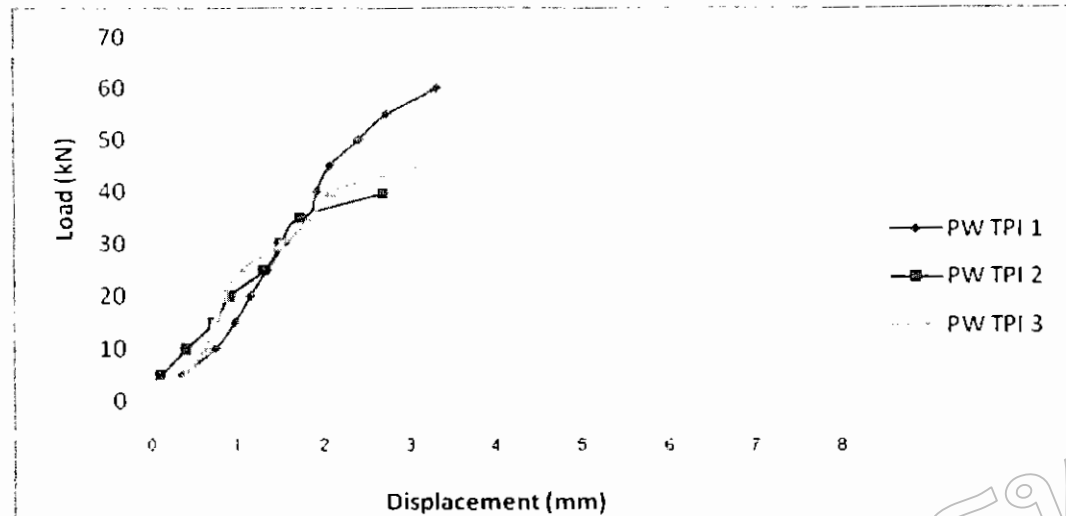


รูปที่ 4.15 กราฟความสัมพันธ์ระหว่าง Load และ Displacement ของชิ้นส่วนของกำแพงที่ก่อแบบ สลับ (Running Bond) ที่ความหนาของซีเมนต์มอร์ตาร์ที่ 1 เซนติเมตรทั้ง 3 ตัวอย่าง

ผลการทดสอบกำลังอัดชิ้นส่วนของกำแพงอิฐมอญ 4 รู โดยใช้ซีเมนต์มอร์ตาร์ก่อสำเร็จรูปที่พิทีโอ M 300 ความหนา 1 ซม. จำนวน 3 ตัวอย่าง ได้ผลดังนี้

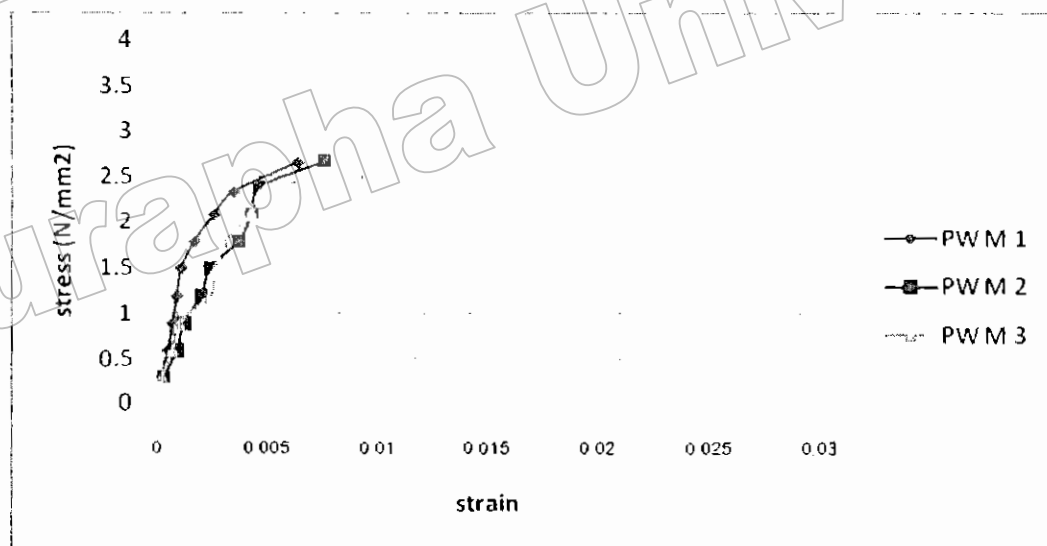


รูปที่ 4.16 กราฟความสัมพันธ์ระหว่าง Stress และ Strain ของชิ้นส่วนของกำแพงที่ก่อแบบสลับ (Running Bond) ที่ความหนาของซีเมนต์มอร์ตาร์ที่ 1 เซนติเมตรทั้ง 3 ตัวอย่าง

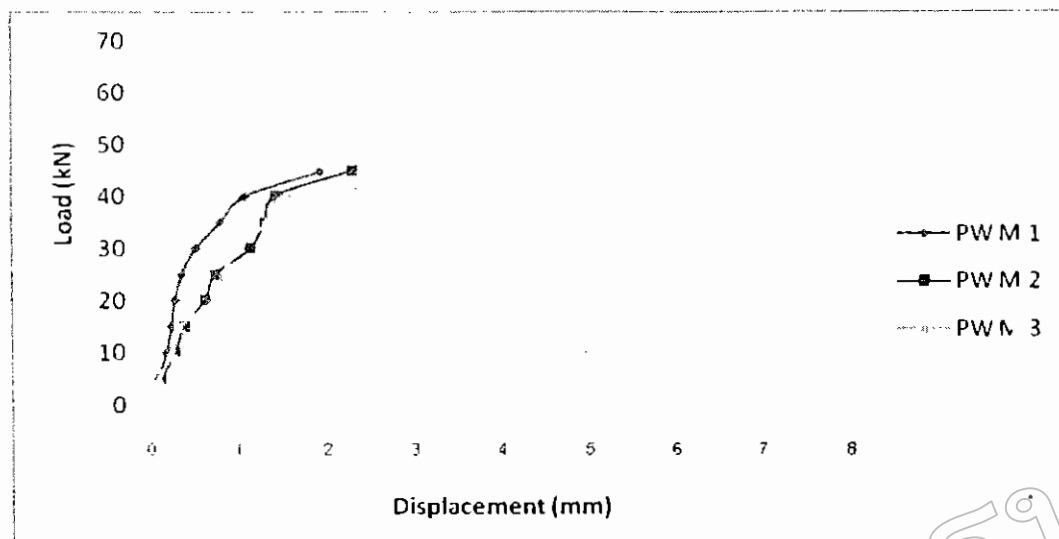


รูปที่ 4.17 กราฟความสัมพันธ์ระหว่าง Load และ Displacement ของชิ้นส่วนของกำแพงที่ก่อแบบสลับ (Running Bond) ที่ความหนาของชีเมนต์มอร์ตาร์ที่ 1 เซนติเมตรทั้ง 3 ตัวอย่าง

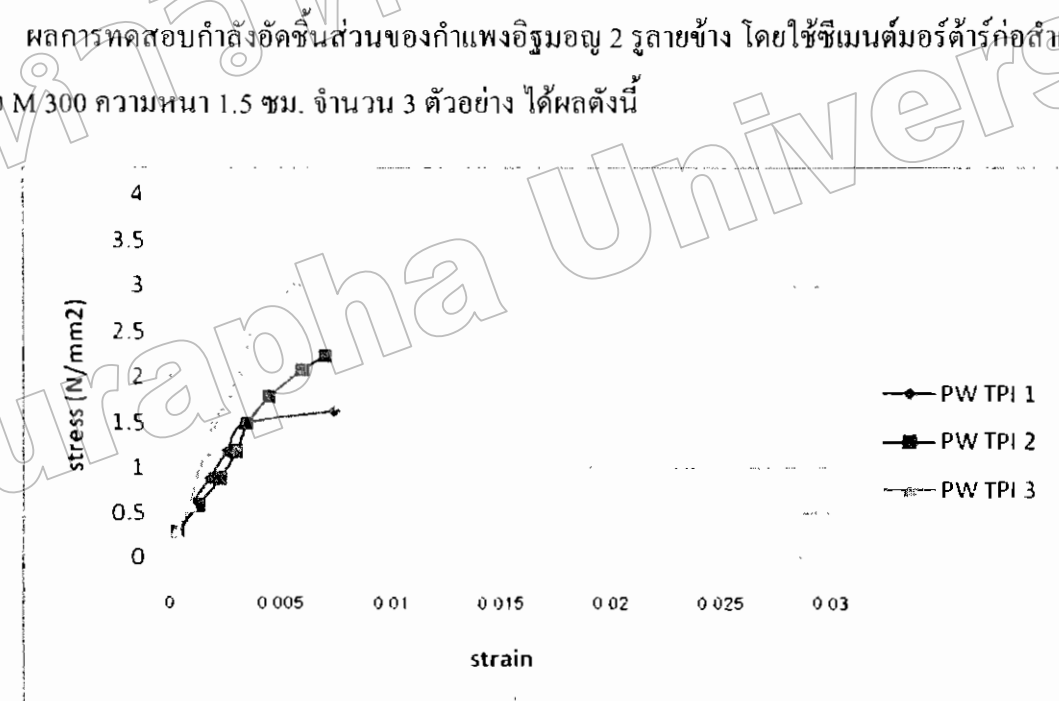
ผลการทดสอบกำลังอัดชิ้นส่วนของกำแพงอิฐมอยุ 2 รูถ่ายข้าง โดยใช้ชีเมนต์มอร์ตาร์ เสื่อความหนา 1.5 ซม. จำนวน 3 ตัวอย่าง ได้ผลดังนี้



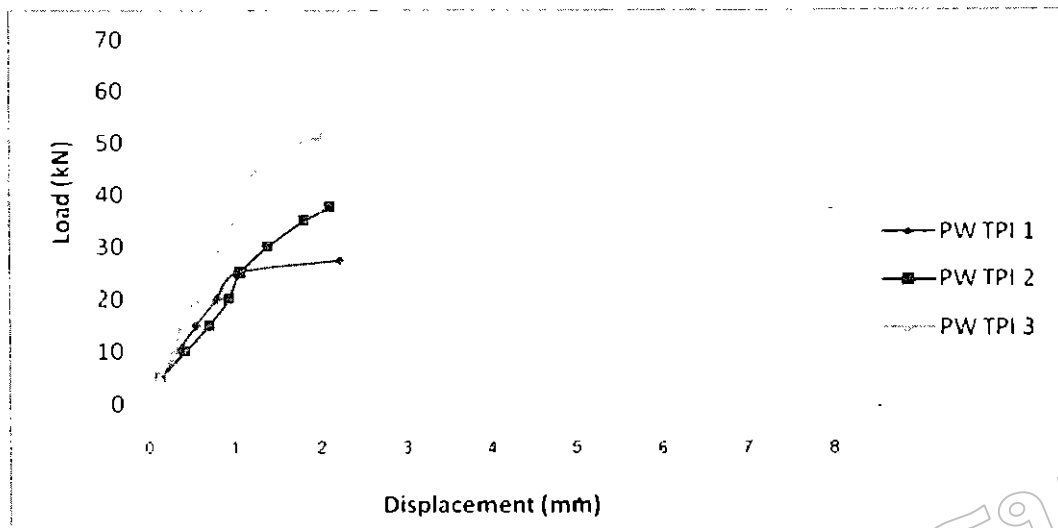
รูปที่ 4.18 กราฟความสัมพันธ์ระหว่าง Stress และ Strain ของชิ้นส่วนของกำแพงที่ก่อแบบสลับ (Running Bond) ที่ความหนาของชีเมนต์มอร์ตาร์ที่ 1.5 เซนติเมตรทั้ง 3 ตัวอย่าง



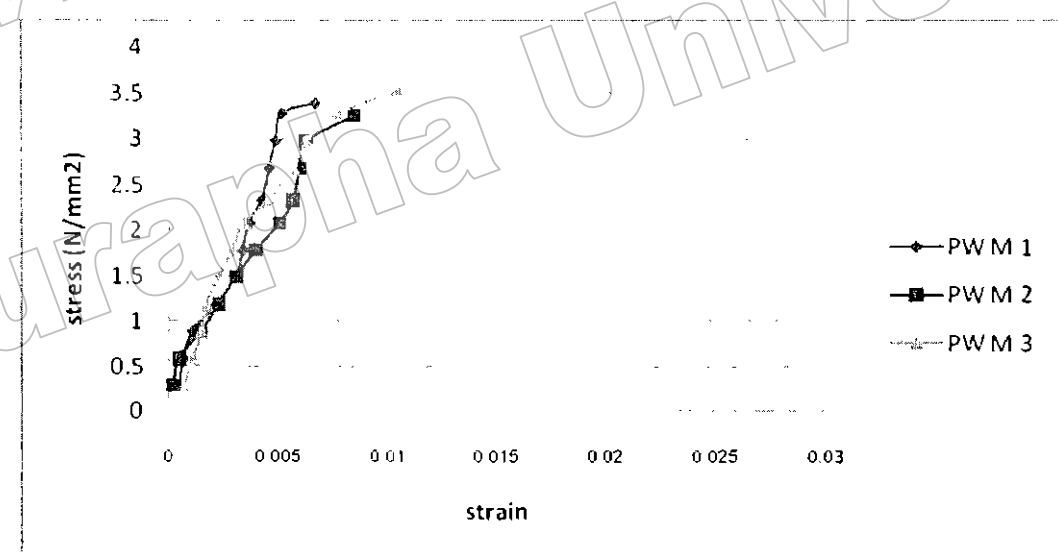
รูปที่ 4.19 กราฟความสัมพันธ์ระหว่าง Load และ Displacement ของชิ้นส่วนของกำแพงที่ก่อแบบ สลับ (Running Bond) ที่ความหนาของชีเมนต์มอร์ตาร์ที่ 1.5 เซนติเมตรทั้ง 3 ตัวอย่าง



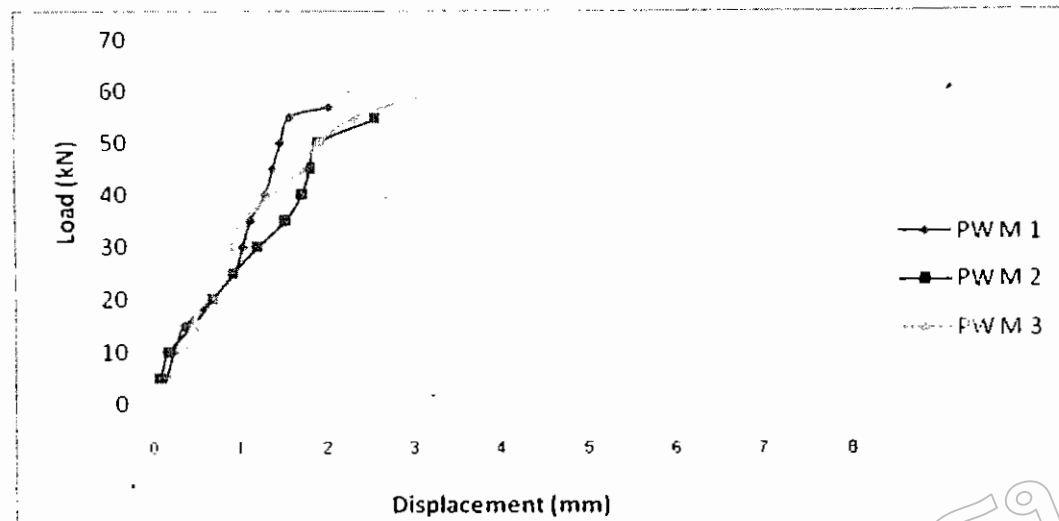
รูปที่ 4.20 กราฟความสัมพันธ์ระหว่าง Stress และ Strain ของชิ้นส่วนของกำแพงที่ก่อแบบสลับ (Running Bond) ที่ความหนาของชีเมนต์มอร์ตาร์ที่ 1.5 เซนติเมตรทั้ง 3 ตัวอย่าง



รูปที่ 4.21 กราฟความสัมพันธ์ระหว่าง Load และ Displacement ของชิ้นส่วนของกำแพงที่ก่อแบบสลับ (Running Bond) ที่ความหนาของชิ้นส่วนต่ำร์ที่ 1.5 เซนติเมตรทั้ง 3 ตัวอย่าง

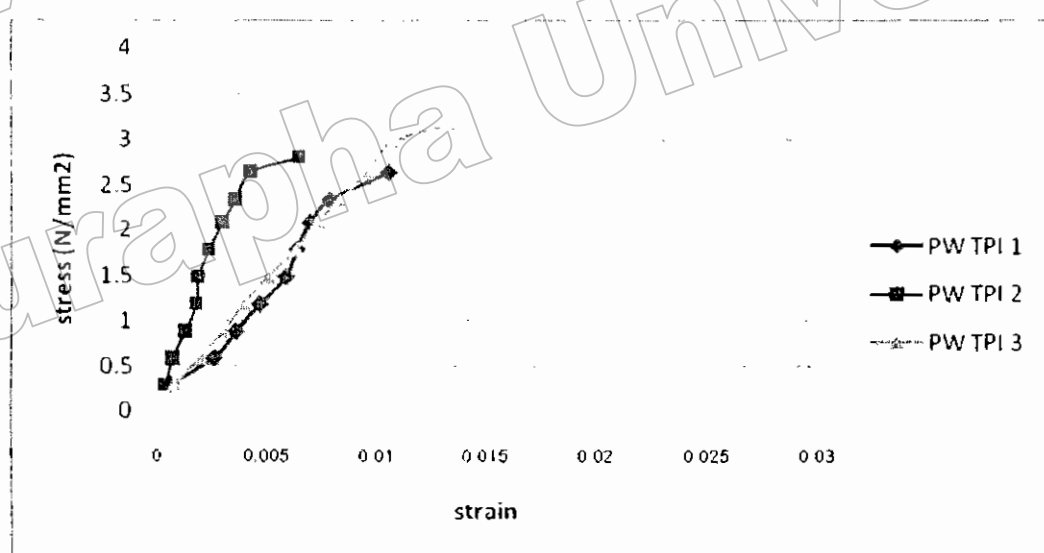


รูปที่ 4.22 กราฟความสัมพันธ์ระหว่าง Stress และ Strain ของชิ้นส่วนของกำแพงที่ก่อแบบสลับ (Running Bond) ที่ความหนาของชิ้นส่วนต่ำร์ที่ 1.5 เซนติเมตรทั้ง 3 ตัวอย่าง

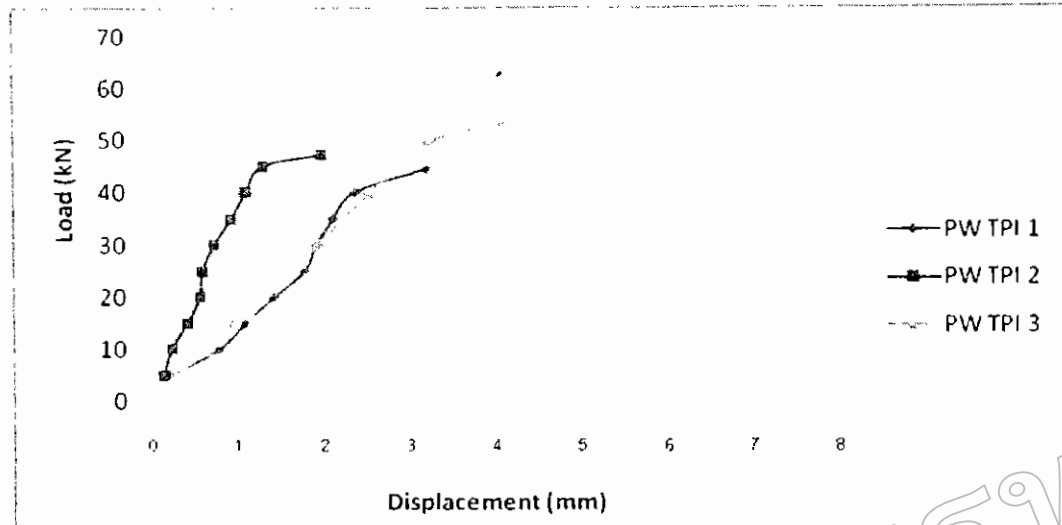


รูปที่ 4.23 กราฟความสัมพันธ์ระหว่าง Load และ Displacement ของชิ้นส่วนของกำแพงที่ก่อแบบสลับ (Running Bond) ที่ความหนาของซีเมนต์มอร์ตาร์ที่ 1.5 เซนติเมตรทั้ง 3 ตัวอย่าง

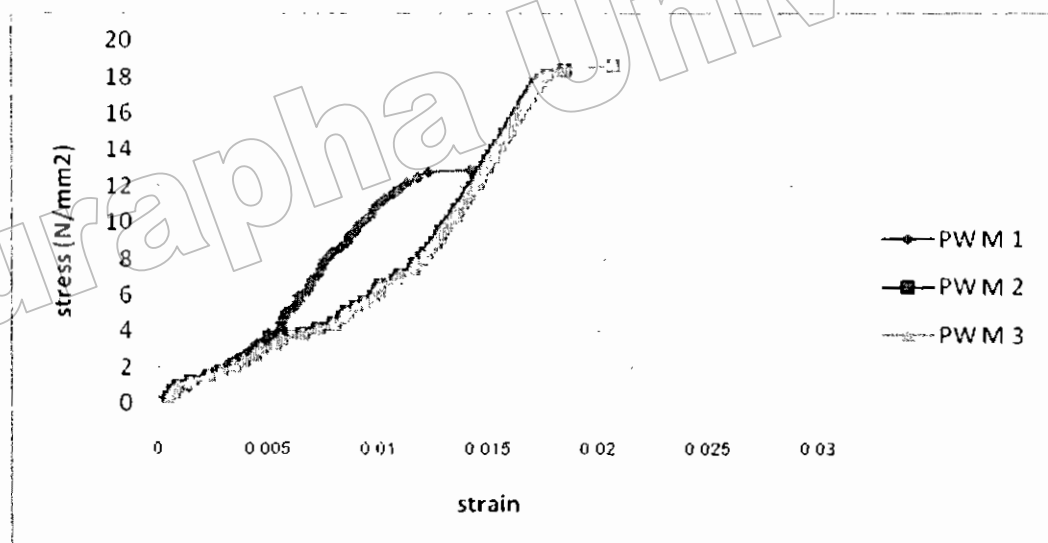
ผลการทดสอบกำลังอัดชิ้นส่วนของกำแพงอิฐมอญ 2 รูใหญ่ โดยใช้ซีเมนต์มอร์ตาร์ก่อสำเร็จรูปที่พีไอ M 300 ความหนา 1.5 ซม. จำนวน 3 ตัวอย่าง ได้ผลดังนี้



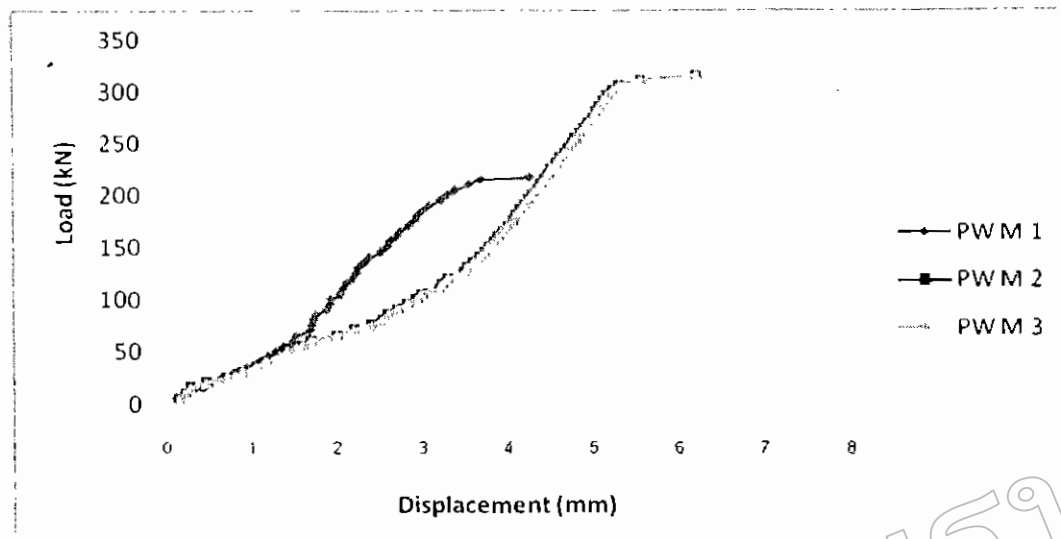
รูปที่ 4.24 กราฟความสัมพันธ์ระหว่าง Stress และ Strain ของชิ้นส่วนของกำแพงที่ก่อแบบสลับ (Running Bond) ที่ความหนาของซีเมนต์มอร์ตาร์ที่ 1.5 เซนติเมตรทั้ง 3 ตัวอย่าง



รูปที่ 4.25 กราฟความสัมพันธ์ระหว่าง Load และ Displacement ของชิ้นส่วนของกำแพงที่ก่อแบบสลับ (Running Bond) ที่ความหนาของชิ้เมนต์มอร์ตาร์ที่ 1.5 เซนติเมตรทั้ง 3 ตัวอย่าง

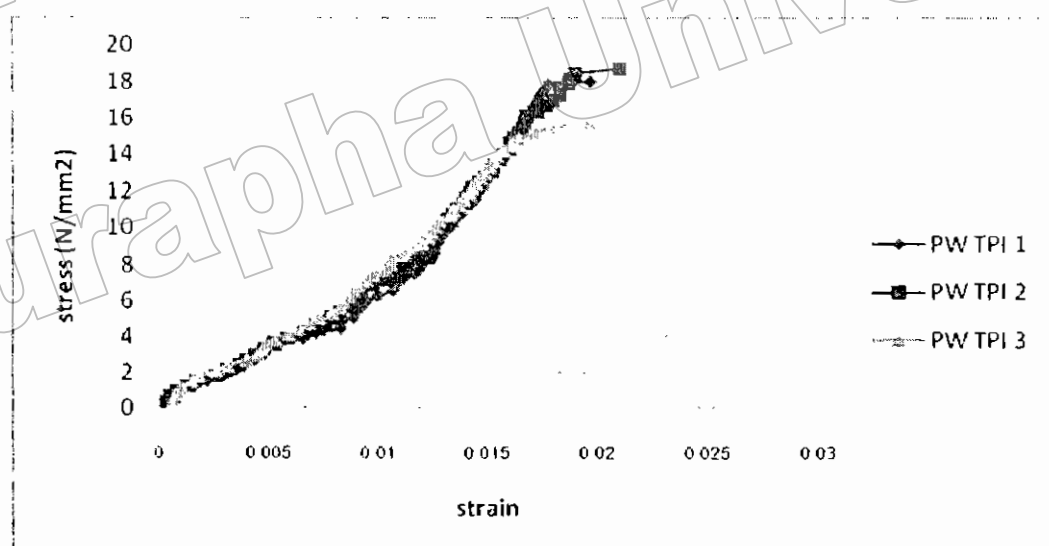


รูปที่ 4.26 กราฟความสัมพันธ์ระหว่าง Stress และ Strain ของชิ้นส่วนของกำแพงที่ก่อแบบสลับ (Running Bond) ที่ความหนาของชิ้เมนต์มอร์ตาร์ที่ 1.5 เซนติเมตรทั้ง 3 ตัวอย่าง

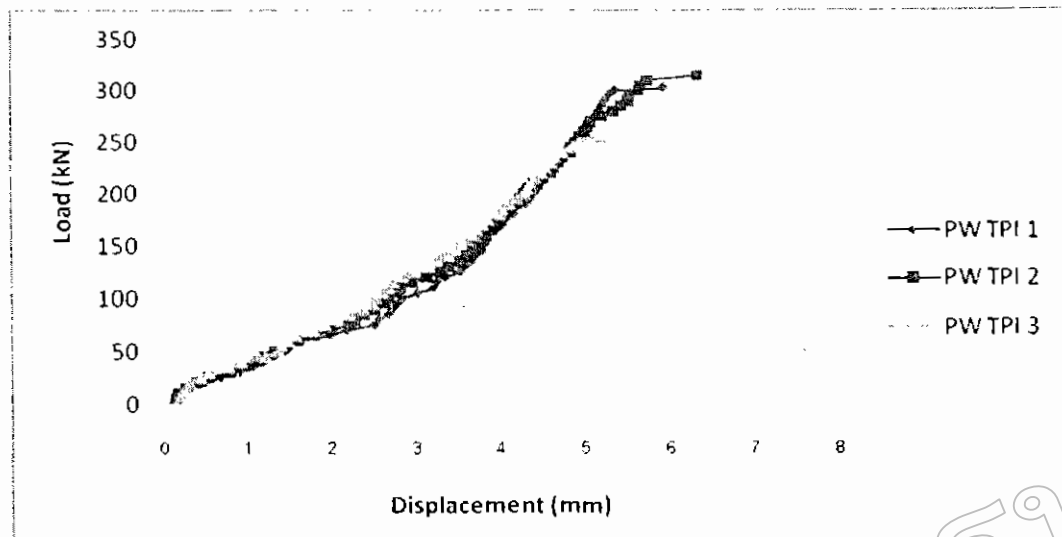


รูปที่ 4.27 กราฟความสัมพันธ์ระหว่าง Load และ Displacement ของชิ้นส่วนของกำแพงที่ก่อแบบสลับ (Running Bond) ที่ความหนาของชีเมนต์มอร์ตาร์ที่ 1.5 เซนติเมตรทั้ง 3 ตัวอย่าง

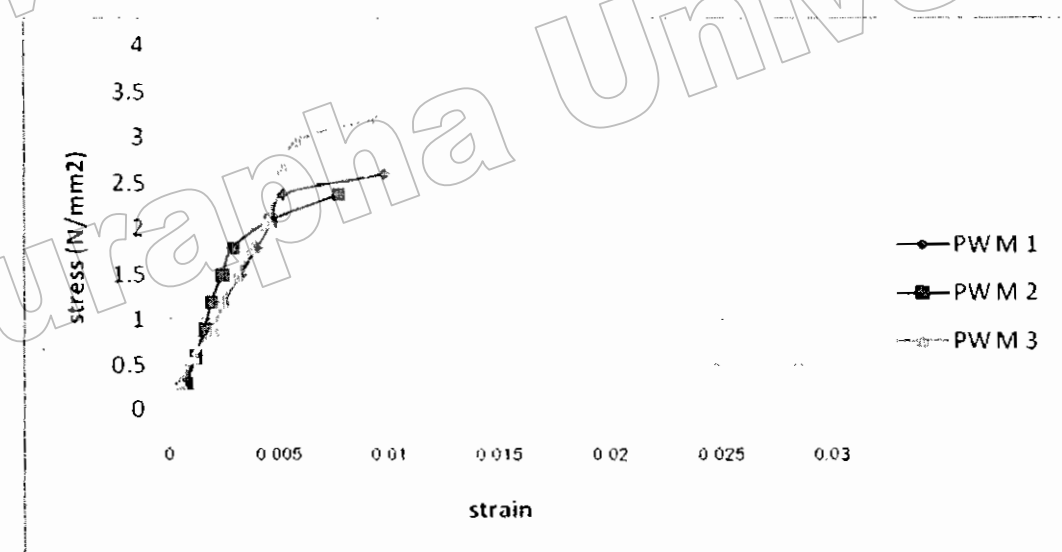
ผลการทดสอบกำลังขัดชิ้นส่วนของกำแพงอิฐมอญ ดัน โดยใช้ชีเมนต์มอร์ตาร์ก่อสำเร็จรูปที่ 4.27 300 ความหนา 1.5 ซม. จำนวน 3 ตัวอย่าง ได้ผลดังนี้



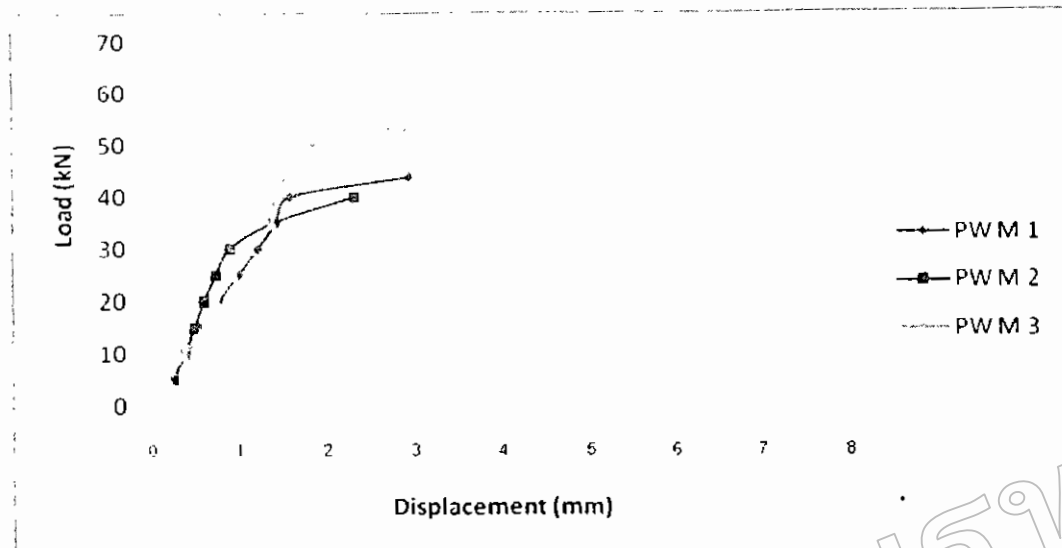
รูปที่ 4.28 กราฟความสัมพันธ์ระหว่าง Stress และ Strain ของชิ้นส่วนของกำแพงที่ก่อแบบสลับ (Running Bond) ที่ความหนาของชีเมนต์มอร์ตาร์ที่ 1.5 เซนติเมตรทั้ง 3 ตัวอย่าง



รูปที่ 4.29 กราฟความสัมพันธ์ระหว่าง Load และ Displacement ของชิ้นส่วนของกำแพงที่ก่อแบบสลับ (Running Bond) ที่ความหนาของชีเมนต์มอร์ตาร์ที่ 1.5 เซนติเมตรทั้ง 3 ด้านอย่าง

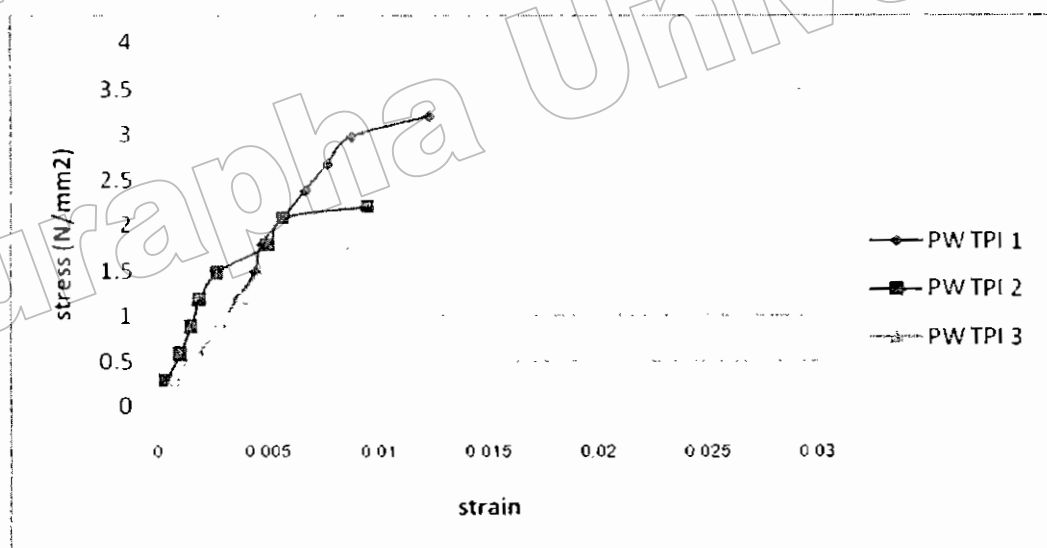


รูปที่ 4.30 กราฟความสัมพันธ์ระหว่าง Stress และ Strain ของชิ้นส่วนของกำแพงที่ก่อแบบสลับ (Running Bond) ที่ความหนาของชีเมนต์มอร์ตาร์ที่ 1.5 เซนติเมตรทั้ง 3 ด้านอย่าง

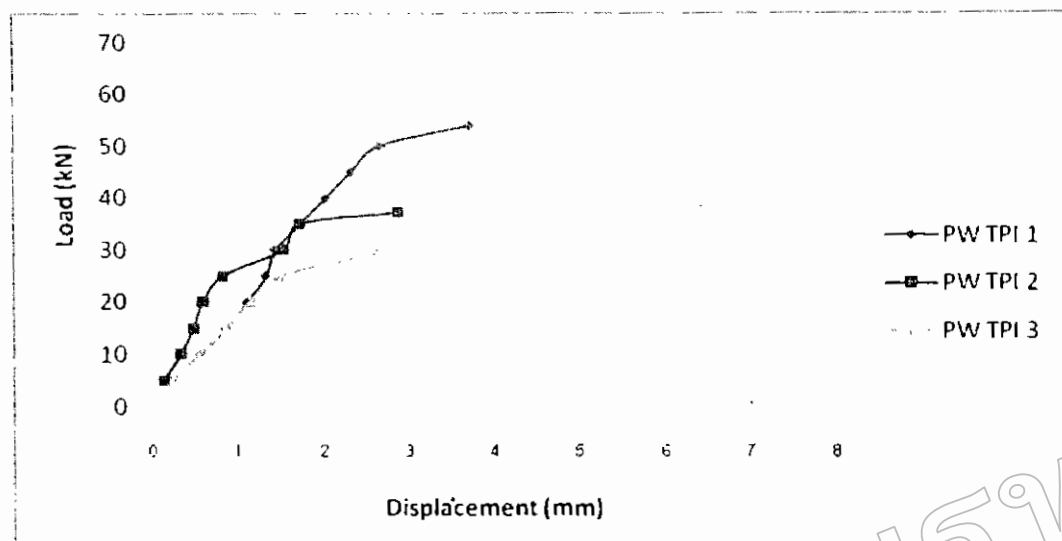


รูปที่ 4.31 กราฟความสัมพันธ์ระหว่าง Load และ Displacement ของชิ้นส่วนของกำแพงที่ก่อแบบ สลับ (Running Bond) ที่ความหนาของชิ้นเม่นต์มอร์ต้าร์ที่ 1.5 เซนติเมตรหัง 3 ตัวอย่าง

ผลการทดสอบกำลังอัดขั้ดชิ้นส่วนของกำแพงอิฐมอญ 4 รู โดยใช้ชิ้นเม่นต์มอร์ต้าร์ก่อสำเร็จรูปที่พีไอ M-300 ความหนา 1.5 ซม. จำนวน 3 ตัวอย่าง ได้ผลดังนี้



รูปที่ 4.32 กราฟความสัมพันธ์ระหว่าง Stress และ Strain ของชิ้นส่วนของกำแพงที่ก่อแบบสลับ (Running Bond) ที่ความหนาของชิ้นเม่นต์มอร์ต้าร์ที่ 1.5 เซนติเมตรหัง 3 ตัวอย่าง



รูปที่ 4.33 กราฟความสัมพันธ์ระหว่าง Load และ Displacement ของชนส่วนของกำแพงที่ก่อแบบ สลับ (Running Bond) ที่ความหนาของชิ้นต่อมอร์ตาร์ที่ 1.5 เซนติเมตรทั้ง 3 ตัวอย่าง

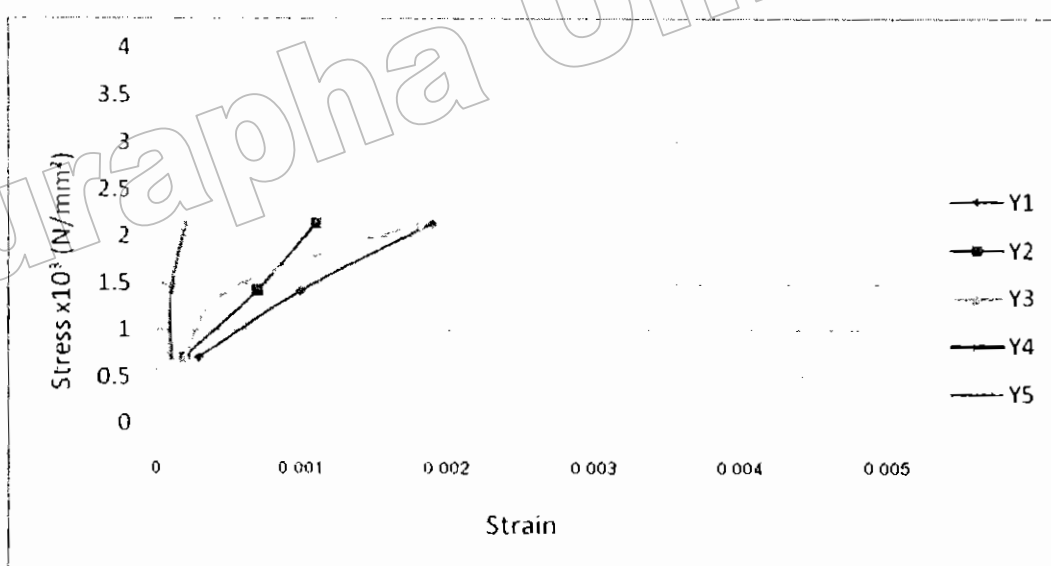
#### 4.7 ผลการทดสอบกำลังรับแรงอัดของกำแพงอิฐมอญ (Compressive strength of brick wall)

การทดสอบเพื่อหากำลังอัดซึ่งส่วนของกำแพงอิฐมอญ โดยใช้บล็อกขนาด  $1 \times 1 \text{ ตร.ม.}$

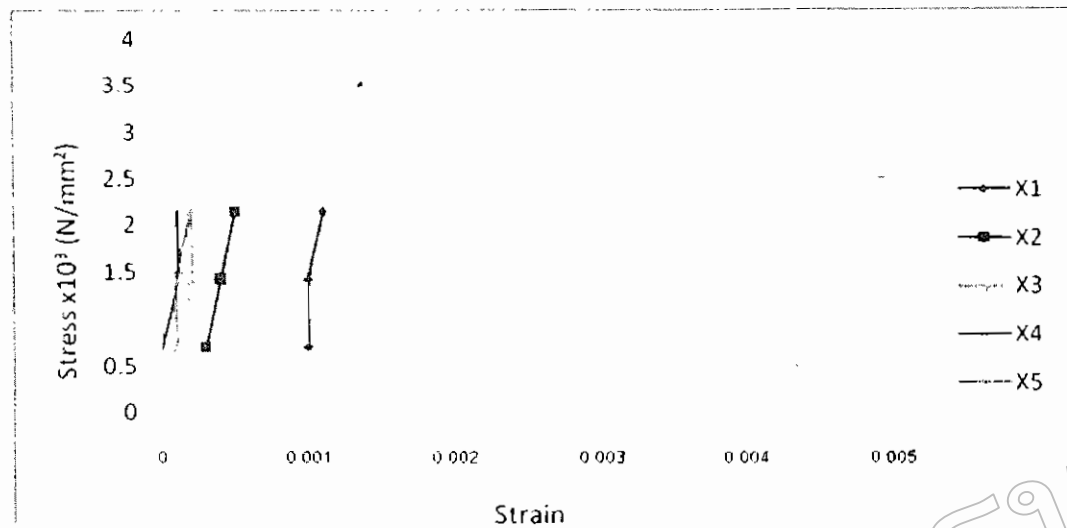
ก่อแบบสลับ (Running Bond) โดยใช้อิฐมอญ 4 ชนิด อิฐมอญ 2 รูข้างล่าง อิฐมอญ 2 รูใหญ่ อิฐมอญตัน อิฐมอญ 4 รู อย่างละ 2 ตัวอย่าง โดยการใช้ชีเมนต์อร์ต้าร์ 2 ชนิด คือ ปูนก่อสำเร็จ และ ปูนก่อที่ผสมอัตราส่วน ปูนต่อ石膏 1:3

**ตารางที่ 4.13** ผลการทดสอบกำลังของกำแพงอิฐมอญ 2 รูข้างข้าง โดยใช้ชีเมนต์อร์พสนอัตราส่วน ปูนต่อ石膏 1:3 ได้ผลดังนี้

Load (ton)	แกน $X_1$ (mm)	แกน $Y_1$ (mm)	แกน $X_2$ (mm)	แกน $Y_2$ (mm)	แกน $X_3$ (mm)	แกน $Y_3$ (mm)	แกน $X_4$ (mm)	แกน $Y_4$ (mm)	แกน $X_5$ (mm)	แกน $Y_5$ (mm)
0	101.8	106.4	102.2	102.3	103.4	106.1	103.8	108.5	103.6	111.8
4	102.8	106.1	102.5	102.1	103.5	105.9	103.8	108.4	103.7	111.7
8	102.8	106.0	102.6	102.0	103.6	105.4	103.9	108.4	103.7	111.7
12	102.9	104.5	102.7	101.2	103.6	104.3	103.9	108.3	103.8	111.5



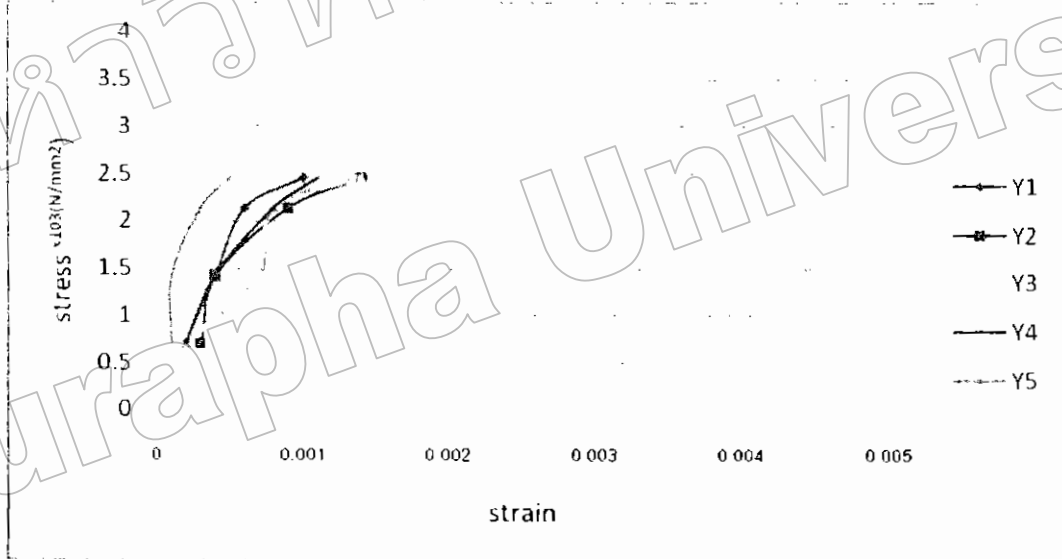
รูปที่ 4.34 กราฟความสัมพันธ์ระหว่าง Stress และ Strain ในแกน Y ของกำแพงอิฐมอญ 2 รูข้างข้างที่ ก่อแบบสลับ (Running Bond) ชีเมนต์อร์พสนอัตราส่วน ปูนต่อ石膏 1:3 จำนวน



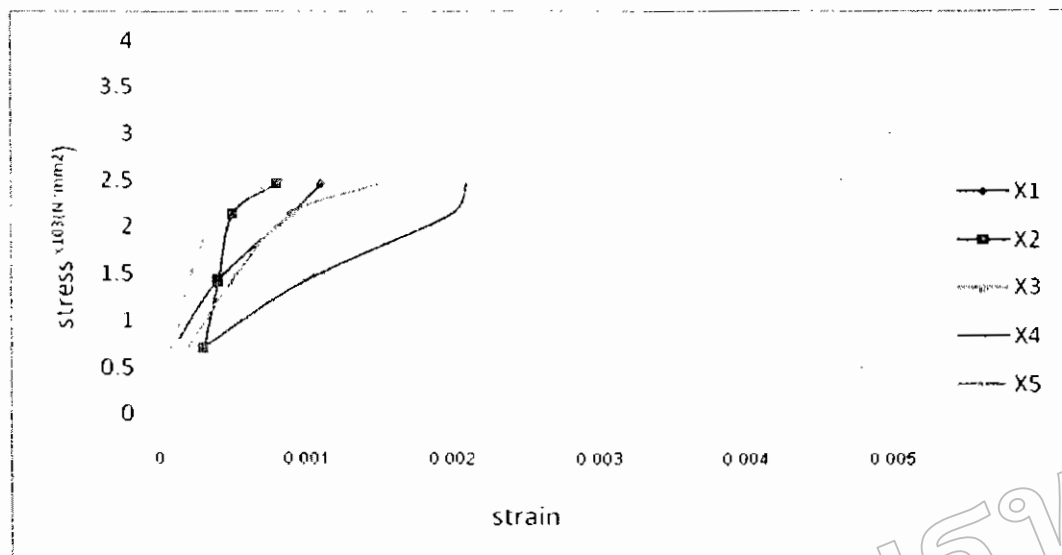
รูปที่ 4.35 กราฟความสัมพันธ์ระหว่าง Stress และ Strain ในแกน X ของก้ามเพงอิฐมอญ 2 รูถ่ายชั้งที่ ก่อแบบสลับ (Running Bond) ซึ่งเม่นต์มอร์ฟสมอัตราส่วน บูนต่อทราย 1:3 จำนวน

ตารางที่ 4.14 ผลการทดสอบกำลังของกำแพงอิฐมอญ 2 รูลายข้าง โดยใช้ซีเมนต์มอร์ฟสมอัตราส่วน ปูนต่อทราย 1:1:3 ได้ผลดังนี้

Load (ton)	แกน X <sub>1</sub> (mm)	แกน Y <sub>1</sub> (mm)	แกน X <sub>2</sub> (mm)	แกน Y <sub>2</sub> (mm)	แกน X <sub>3</sub> (mm)	แกน Y <sub>3</sub> (mm)	แกน X <sub>4</sub> (mm)	แกน Y <sub>4</sub> (mm)	แกน X <sub>5</sub> (mm)	แกน Y <sub>5</sub> (mm)
0	101.8	106.4	101.2	102.3	102.4	103.1	101.9	103.6	103.4	106.2
4	101.9	106.2	101.5	102.0	102.5	102.9	102.5	103.4	103.6	106.1
8	102.2	106.0	101.6	101.8	102.6	102.4	102.9	103.2	103.9	106.1
12	102.7	105.8	101.7	101.4	102.8	102.3	103.9	102.8	104.3	105.9
13.2	102.9	105.4	102.0	100.9	103.1	101.7	104.0	102.5	104.9	105.7



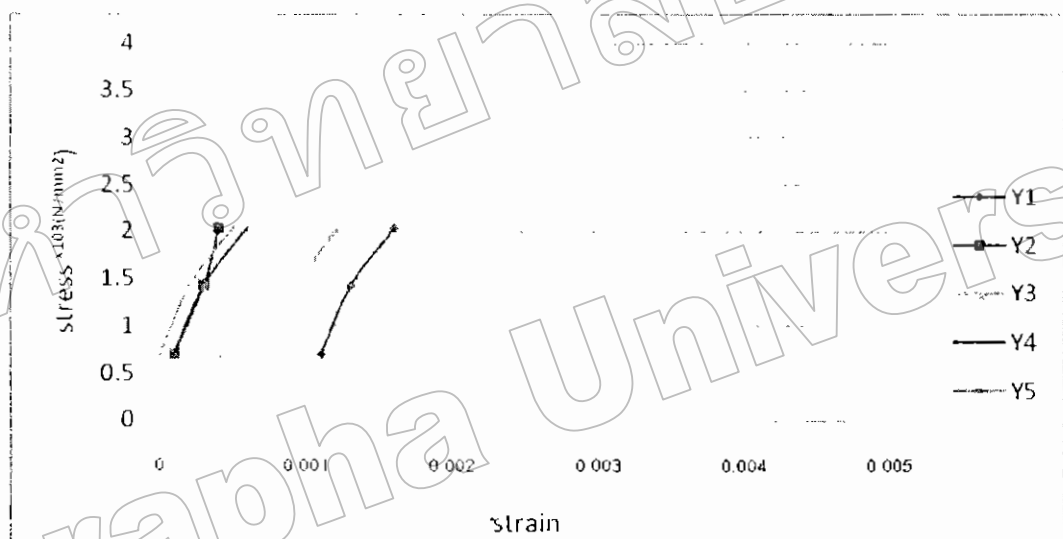
รูปที่ 4.36 กราฟความสัมพันธ์ระหว่าง Stress และ Strain ในแกน Y ของกำแพงอิฐมอญ 2 รูลายข้างที่ ก่อแบบสลับ (Running Bond) ซีเมนต์มอร์ฟสมอัตราส่วน ปูนต่อทราย 1:3 จำนวน



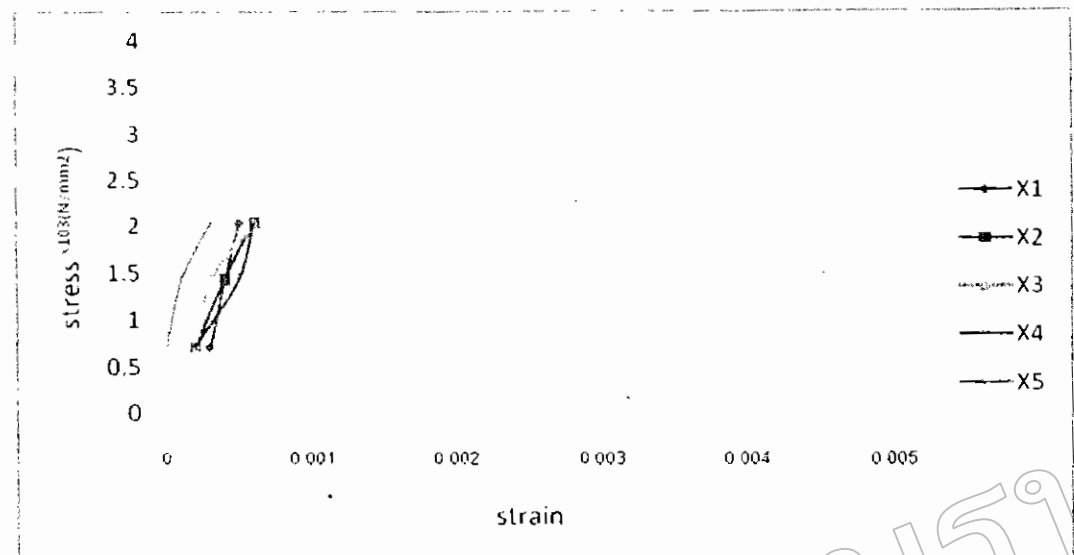
รูปที่ 4.37 グラฟความสัมพันธ์ระหว่าง Stress และ Strain ในแกน X ของกำแพงอิฐมอญ 2 รุ่ลายข้างที่ ก่อแบบสถาบัน (Running Bond) ซึ่งเน้นต์มอร์ผอมอัตราส่วน ปูนต่อทราย 1:3

ตารางที่ 4.15 ผลการทดสอบกำลังของกำแพงอิฐมอญ 2 รูลายข้าง โดยใช้ชีเมนต์มอร์ก่อสำเร็จ ได้ผลดังนี้

Load (ton)	แกน X <sub>1</sub> (mm)	แกน Y <sub>1</sub> (mm)	แกน X <sub>2</sub> (mm)	แกน Y <sub>2</sub> (mm)	แกน X <sub>3</sub> (mm)	แกน Y <sub>3</sub> (mm)	แกน X <sub>4</sub> (mm)	แกน Y <sub>4</sub> (mm)	แกน X <sub>5</sub> (mm)	แกน Y <sub>5</sub> (mm)
0	101.2	101.8	103.5	108.5	102.3	103.3	102.3	103.5	103.8	102.4
4	101.5	100.7	103.7	108.4	102.5	102.9	102.5	103.4	103.8	102.4
8	101.6	100.5	103.9	108.2	102.6	102.4	102.8	103.2	103.9	102.2
11.4	101.7	100.2	104.3	108.1	102.9	102.1	103.9	102.9	104.1	101.9



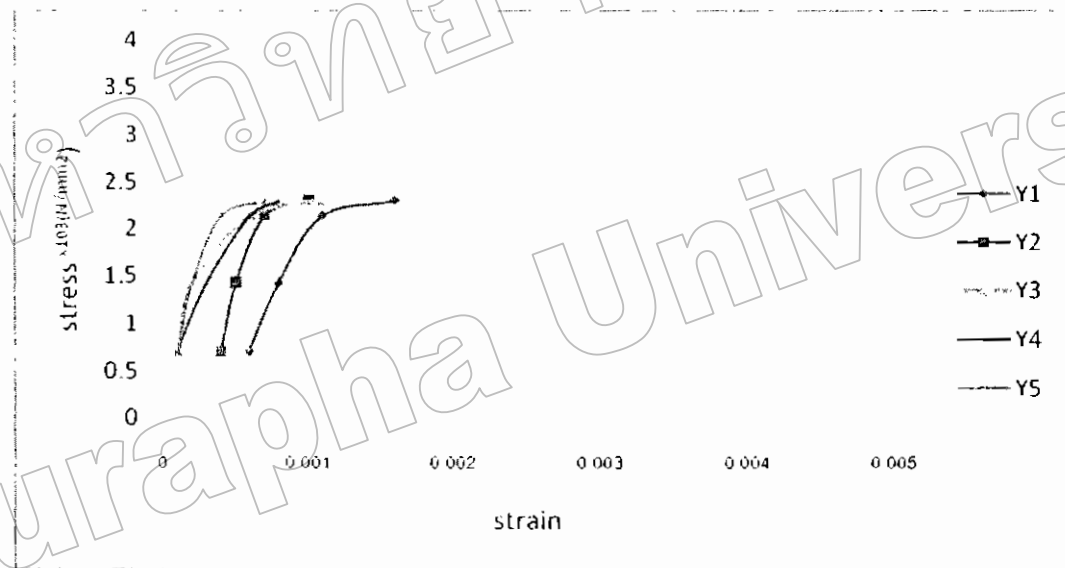
รูปที่ 4.38 กราฟความสัมพันธ์ระหว่าง Stress และ Strain ในแกน Y ของกำแพงอิฐมอญ 2 รูลายข้างที่ ก่อแบบสลับ (Running Bond) ชีเมนต์มอร์ค้าร์ปูนก่อสำเร็จ



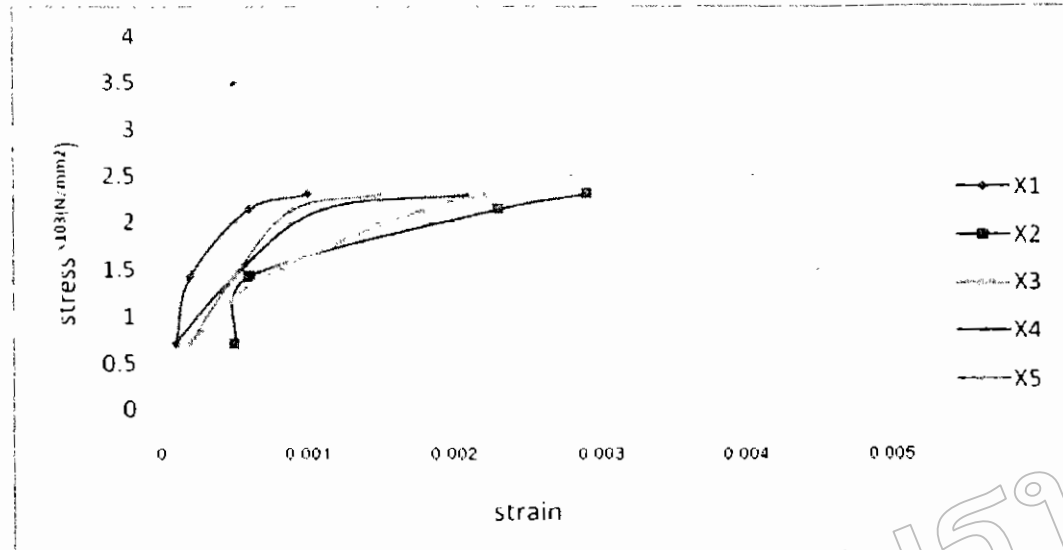
รูปที่ 4.39 กราฟความสัมพันธ์ระหว่าง Stress และ Strain ในแกน X ของกำแพงอิฐมอญ 2 รูลายข้างที่ ก่อแบบสลับ (Running Bond) ซึ่งมีตัวอย่างที่ตัวร์บุนก่อสำเร็จ

ตารางที่ 4.16 ผลการทดสอบกำลังของกำแพงอิฐมอญ 2 รูลายข้าง โดยใช้ชีเมนต์มอร์ก่อสำเร็จ ได้ผลดังนี้

Load (ton)	แกน X <sub>1</sub> (mm)	แกน Y <sub>1</sub> (mm)	แกน X <sub>2</sub> (mm)	แกน Y <sub>2</sub> (mm)	แกน X <sub>3</sub> (mm)	แกน Y <sub>3</sub> (mm)	แกน X <sub>4</sub> (mm)	แกน Y <sub>4</sub> (mm)	แกน X <sub>5</sub> (mm)	แกน Y <sub>5</sub> (mm)
0	103.7	103.0	102.2	102.9	102.1	102.5	102.7	103.5	103.2	103.6
4	103.8	102.4	102.7	102.5	102.3	102.4	102.8	103.4	103.2	103.5
8	103.9	102.2	102.8	102.4	102.8	102.2	103.2	103.2	103.4	103.4
12	104.3	101.9	104.5	102.2	103.9	101.9	103.8	102.9	103.5	103.2
12.9	104.7	101.4	105.1	101.9	104.3	101.4	104.1	102.7	103.6	102.9



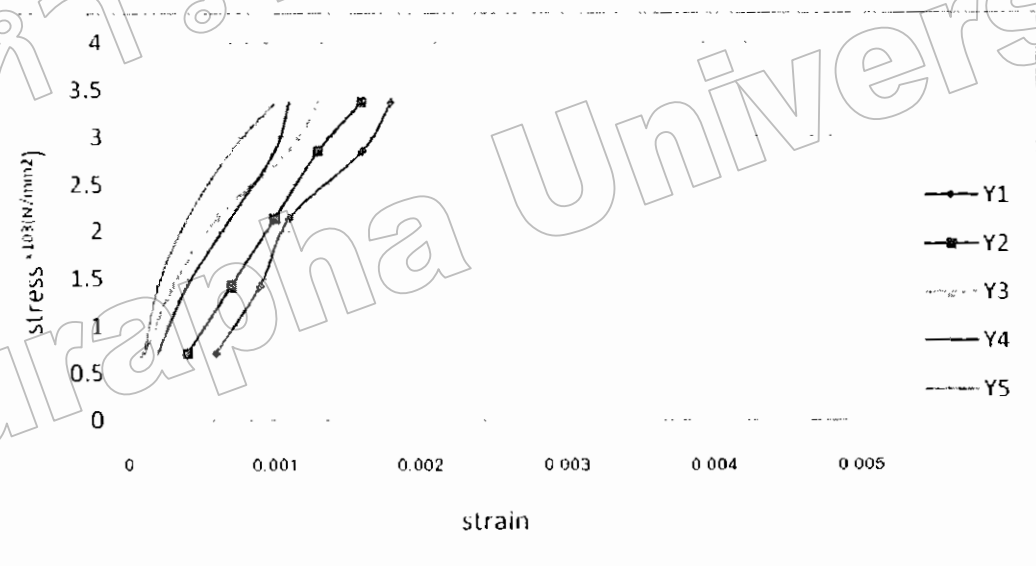
รูปที่ 4.40 กราฟความสัมพันธ์ระหว่าง Stress และ Strain ในแกน Y ของกำแพงอิฐมอญ 2 รูลายข้างที่ ก่อแบบสลับ (Running Bond) ชีเมนต์มอร์ตาร์ปูนก่อสำเร็จ



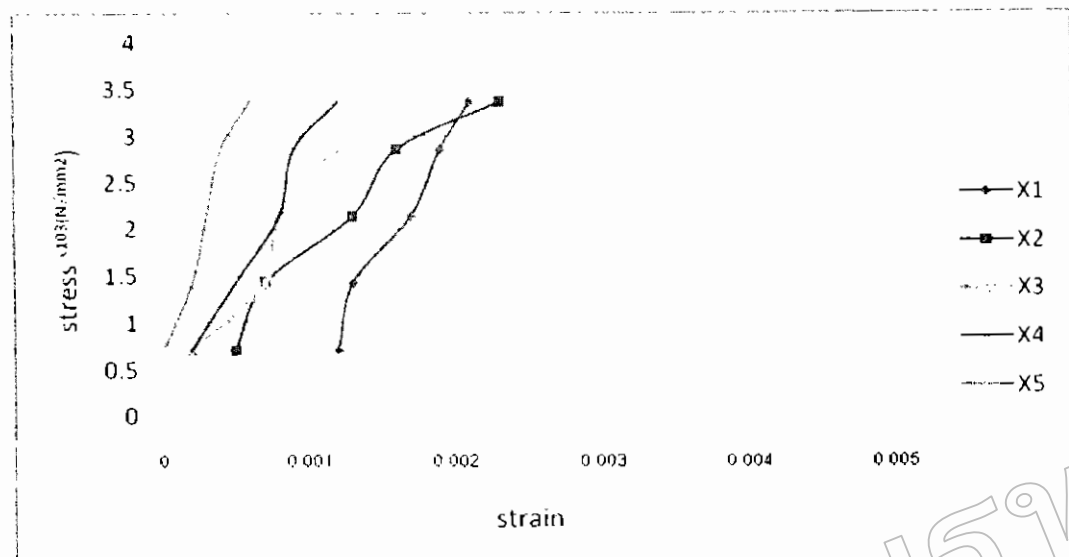
รูปที่ 4.41 กราฟความสัมพันธ์ระหว่าง Stress และ Strain ในแกน X ของกำแพงอิฐมอญ 2 รุลายข้างที่ ก่อแบบสลับ (Running Bond) ซึ่งมีตัวอย่างที่แสดงในรูปที่ 4.40

ตารางที่ 4.17 ผลการทดสอบกำลังของกำแพงอิฐมอญ 2 รูใหญ่ โดยใช้ชีเมนต์อิร์ฟสมอัตราส่วน ปูนต่อ  
ทราย 1:1:3 ได้ผลดังนี้

Load (ton)	แกน X <sub>1</sub> (mm)	แกน Y <sub>1</sub> (mm)	แกน X <sub>2</sub> (mm)	แกน Y <sub>2</sub> (mm)	แกน X <sub>3</sub> (mm)	แกน Y <sub>3</sub> (mm)	แกน X <sub>4</sub> (mm)	แกน Y <sub>4</sub> (mm)	แกน X <sub>5</sub> (mm)	แกน Y <sub>5</sub> (mm)
0	102.6	103.0	102.2	102.8	102.1	102.5	102.7	102.6	103.2	103.6
4	103.8	102.4	102.7	102.4	102.3	102.4	102.9	102.4	103.2	103.5
8	103.9	102.1	102.9	102.1	102.8	102.2	103.2	102.2	103.4	103.4
12	104.3	101.9	103.5	101.8	102.9	101.9	103.5	101.9	103.5	103.2
16	104.5	101.4	103.8	101.5	103.3	101.4	103.6	101.6	103.6	102.9
18.9	104.7	101.2	104.5	101.2	103.9	101.2	103.9	101.5	103.8	102.6



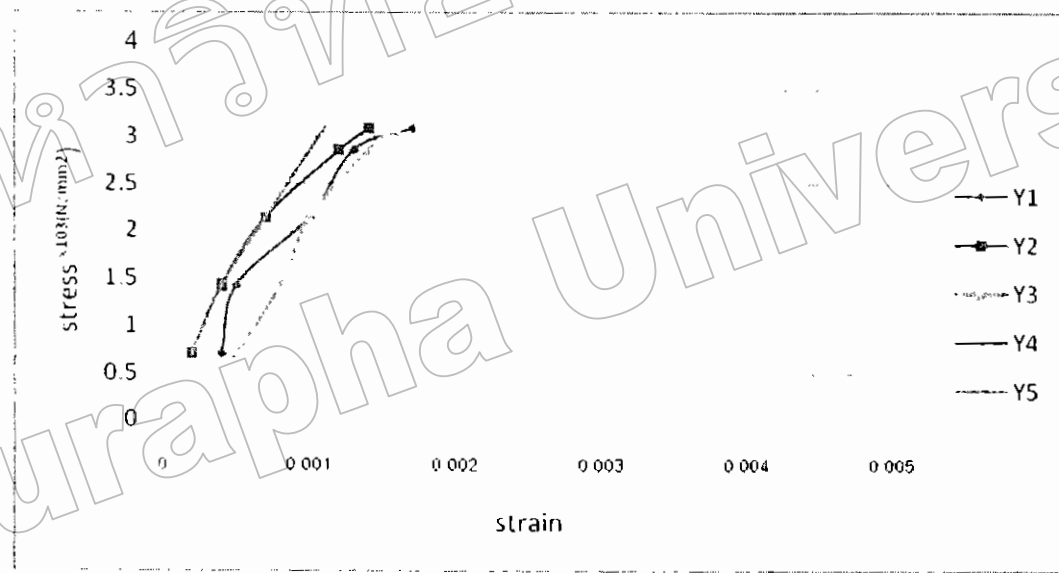
รูปที่ 4.42 กราฟความสัมพันธ์ระหว่าง Stress และ Strain ในแกน Y ของกำแพงอิฐมอญ 2 รูใหญ่ที่ก่อแบบสลับ (Running Bond) ชีเมนต์อิร์ฟสมอัตราส่วน ปูนต่อทราย 1:3 จำนวน



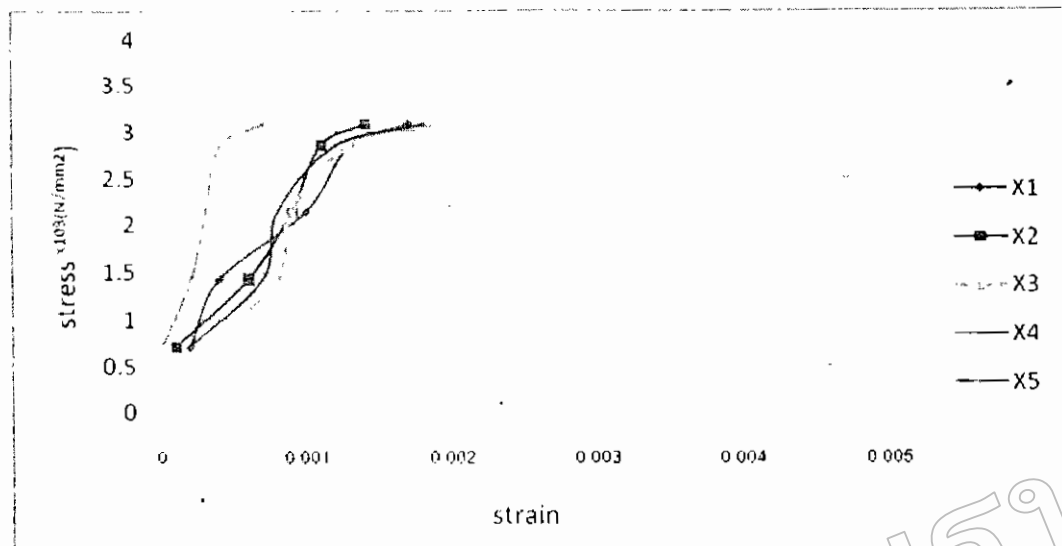
รูปที่ 4.43 กราฟความสัมพันธ์ระหว่าง Stress และ Strain ในแกน Y ของกำแพงอิฐมวล 2 รู ใหญ่ที่ก่อแบบสลับ (Running Bond) ซึ่งมีค่าน้ำหนักตัวอย่าง 1:3 จำนวน

ตารางที่ 4.18 ผลการทดสอบกำลังของกำแพงอิฐมวล 2 รูใหญ่ โดยใช้ชิ้นต์มอร์สมอัตราส่วน ปูนต่อทราย 1:1:3 ได้ผลดังนี้

Load (ton)	แกน X <sub>1</sub> (mm)	แกน Y <sub>1</sub> (mm)	แกน X <sub>2</sub> (mm)	แกน Y <sub>2</sub> (mm)	แกน X <sub>3</sub> (mm)	แกน Y <sub>3</sub> (mm)	แกน X <sub>4</sub> (mm)	แกน Y <sub>4</sub> (mm)	แกน X <sub>5</sub> (mm)	แกน Y <sub>5</sub> (mm)
0	102.5	103.9	103.6	102.6	102.0	102.9	102.1	102.6	103.2	102.6
4	102.7	103.5	103.7	102.4	102.3	102.4	102.3	102.4	103.2	102.4
8	102.9	103.4	104.2	102.2	102.8	102.1	102.8	102.2	103.4	102.2
12	103.5	103.2	104.5	101.9	102.9	101.9	102.9	101.9	103.5	101.9
16	103.8	102.9	104.7	101.4	103.3	101.5	103.3	101.6	103.6	101.6
17.3	104.2	102.4	105.0	101.2	103.9	101.3	103.9	101.5	103.8	101.5



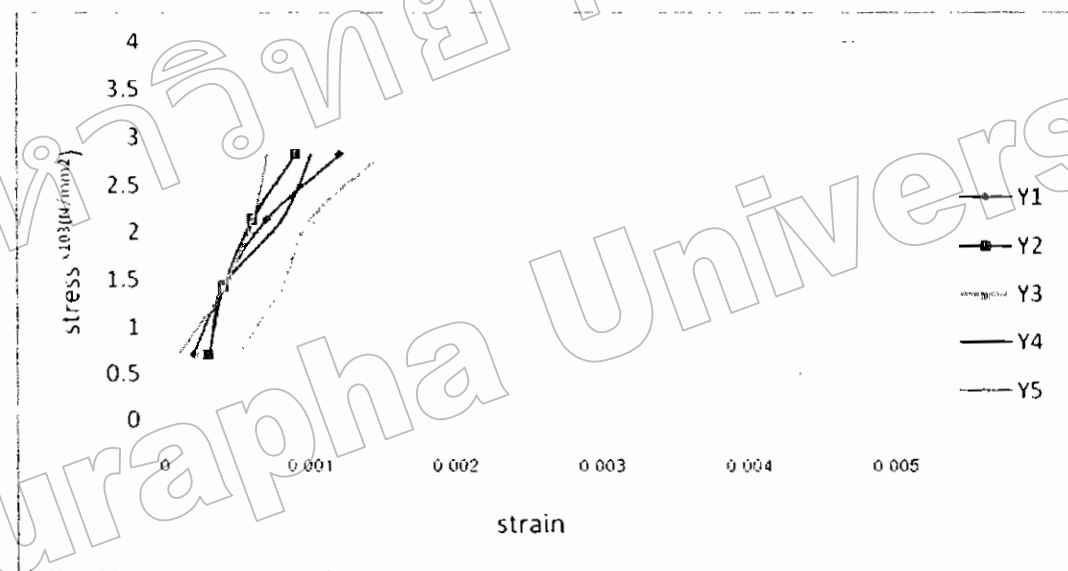
รูปที่ 4.44 กราฟความสัมพันธ์ระหว่าง Stress และ Strain ในแกน Y ของกำแพงอิฐมวล 2 รูใหญ่ที่ก่อแบบสลับ (Running Bond) ชิ้นต์มอร์สมอัตราส่วน ปูนต่อทราย 1:3 จำนวน



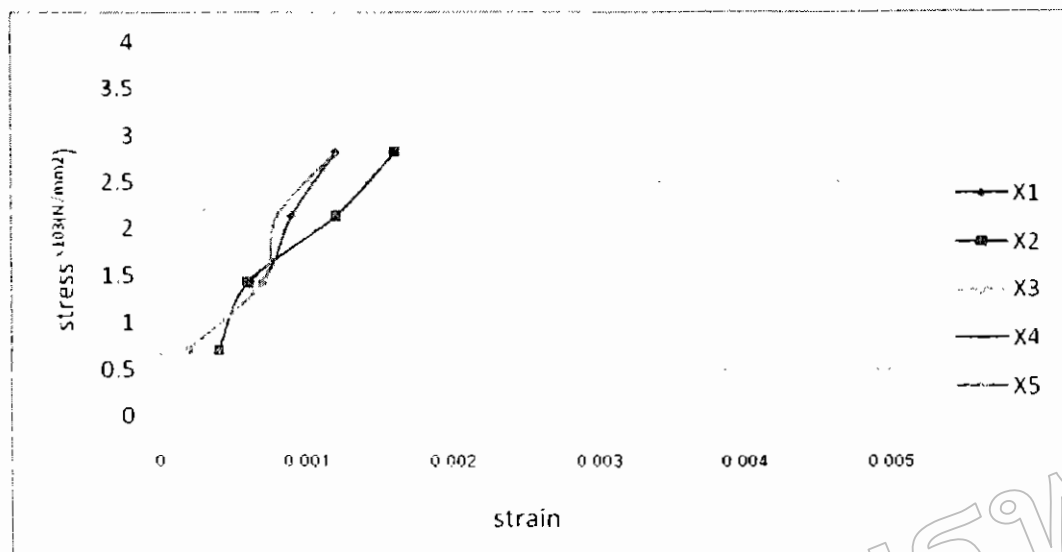
รูปที่ 4.45 กราฟความสัมพันธ์ระหว่าง Stress และ Strain ในแกน-X ของกำแพงอิฐมวล 2 รูใหญ่ที่ก่อแบบลัดับ (Running Bond) ซึ่งมีค่าคงร่องสมอัตราส่วน บูนต่อหินราย 1:3 จำนวน

ตารางที่ 4.19 ผลการทดสอบกำลังของกำแพงอิฐมอญ 2 รูใหญ่โดยใช้ซีเมนต์มอร์กอสสำเร็จ ได้ผลดังนี้

Load (ton)	แกน X <sub>1</sub> (mm)	แกน Y <sub>1</sub> (mm)	แกน X <sub>2</sub> (mm)	แกน Y <sub>2</sub> (mm)	แกน X <sub>3</sub> (mm)	แกน Y <sub>3</sub> (mm)	แกน X <sub>4</sub> (mm)	แกน Y <sub>4</sub> (mm)	แกน X <sub>5</sub> (mm)	แกน Y <sub>5</sub> (mm)
0	103.5	102.6	102.3	103.8	103.2	102.8	102.1	102.6	102.1	102.5
4	103.7	102.4	102.7	103.5	103.2	102.3	102.3	102.3	102.3	102.4
8	104.2	102.2	102.9	103.4	103.4	102.0	102.8	102.2	102.8	102.1
12	104.4	101.9	103.5	103.2	103.5	101.8	102.9	101.8	102.9	101.9
15.8	104.7	101.4	103.9	102.9	103.6	101.3	103.3	101.6	103.3	101.8



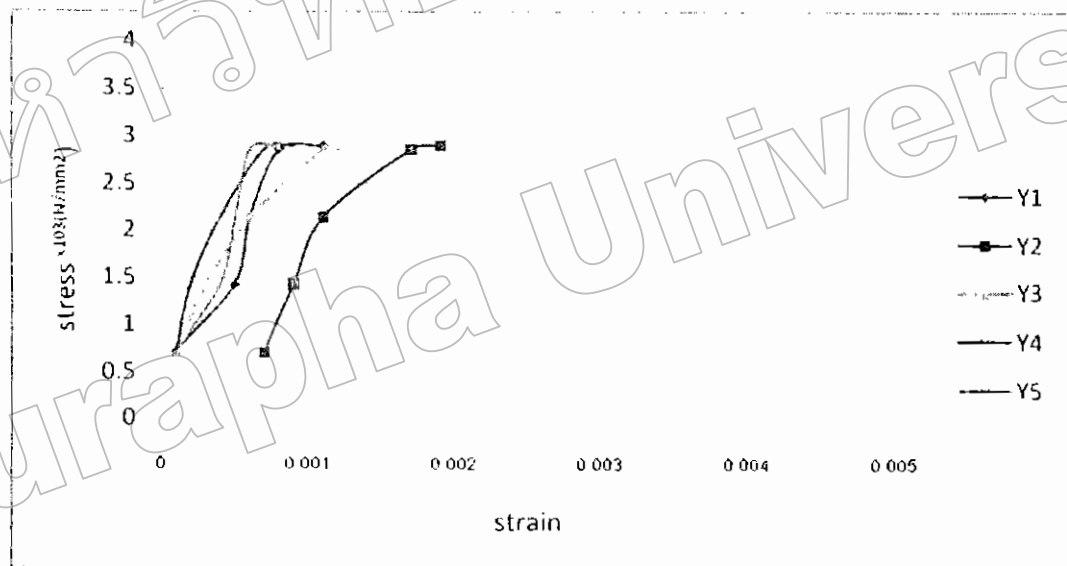
รูปที่ 4.46 กราฟความสัมพันธ์ระหว่าง Stress และ Strain ในแกน Y ของกำแพงอิฐมอญ 2 รูใหญ่ที่ก่อแบบสลับ (Running Bond) ซีเมนต์มอร์ตาร์ปูนก่อสำเร็จ



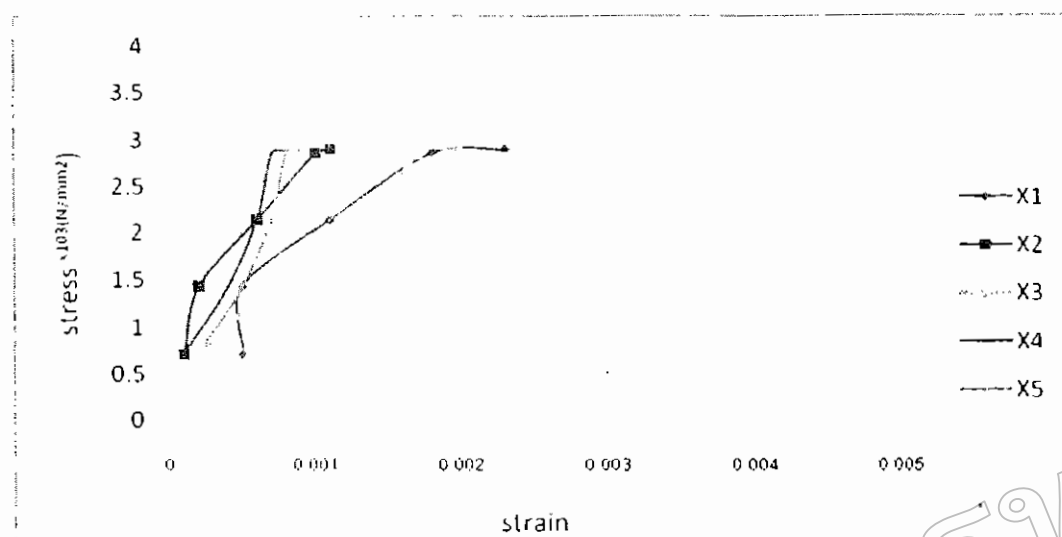
รูปที่ 4.47 กราฟความสัมพันธ์ระหว่าง Stress และ Strain ในแกน Y ของกำแพงอิฐมวล 2 วู ใหญ่ที่ก่อแบบลับ (Running Bond) ซีเมนต์มอร์ต้าร์ปูนก่อสำเร็จ

ตารางที่ 4.20 ผลการทดสอบกำลังของกำแพงอิฐมอญ 2 รู ใหญ่โดยใช้ชีเมนต์มอร์ก่อสำเร็จ ได้ผลดังนี้

Load (ton)	แกน X <sub>1</sub> (mm)	แกน Y <sub>1</sub> (mm)	แกน X <sub>2</sub> (mm)	แกน Y <sub>2</sub> (mm)	แกน X <sub>3</sub> (mm)	แกน Y <sub>3</sub> (mm)	แกน X <sub>4</sub> (mm)	แกน Y <sub>4</sub> (mm)	แกน X <sub>5</sub> (mm)	แกน Y <sub>5</sub> (mm)
0	101.7	103.0	102.7	103.1	102.1	102.5	102.8	103.6	102.6	103.5
4	102.2	102.9	102.8	102.4	102.3	102.4	102.9	103.5	102.8	103.4
8	102.7	102.5	102.9	102.2	102.8	102.2	103.2	103.4	103.1	103.1
12	102.8	102.4	103.3	101.9	103.5	101.9	103.4	103.2	103.3	103.0
16	103.5	102.2	103.7	101.4	103.8	101.4	103.5	102.9	103.4	102.9
16.2	104.0	101.9	103.8	101.2	104.1	101.3	103.6	102.7	103.5	102.7



รูปที่ 4.48 กราฟความสัมพันธ์ระหว่าง Stress และ Strain ในแกน Y ของกำแพงอิฐมอญ 2 รูใหญ่ที่ก่อแบบสลับ (Running Bond) ชีเมนต์มอร์ตาร์ปูนก่อสำเร็จ

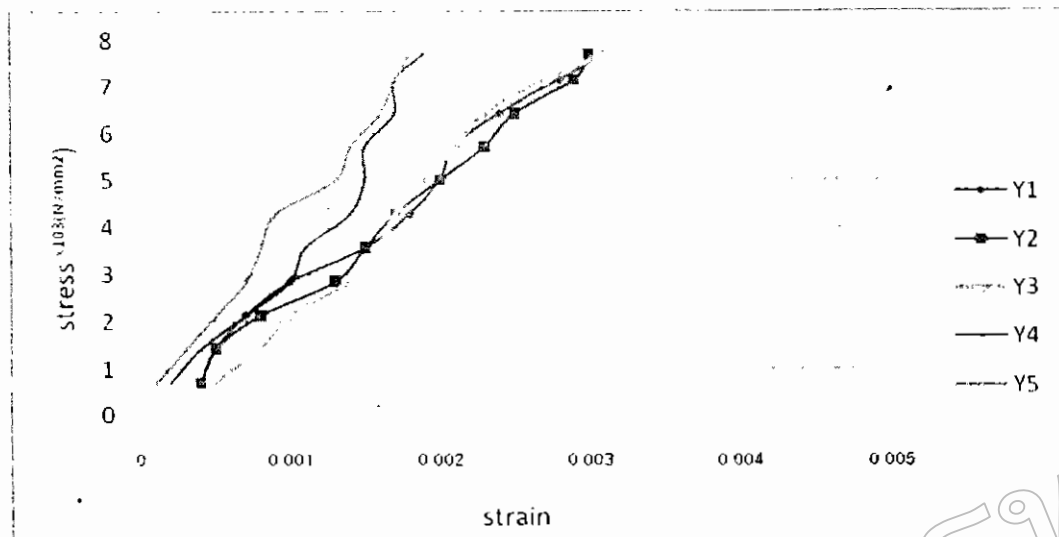


รูปที่ 4.49 กราฟความสัมพันธ์ระหว่าง Stress และ Strain ในเกณฑ์ X ของกำแพงอิฐมวล 2 รูใหญ่ที่ก่อแบบสลับ (Running Bond) ซึ่งเมนต์มอร์ต้าร์ปูนก่อสีขาว

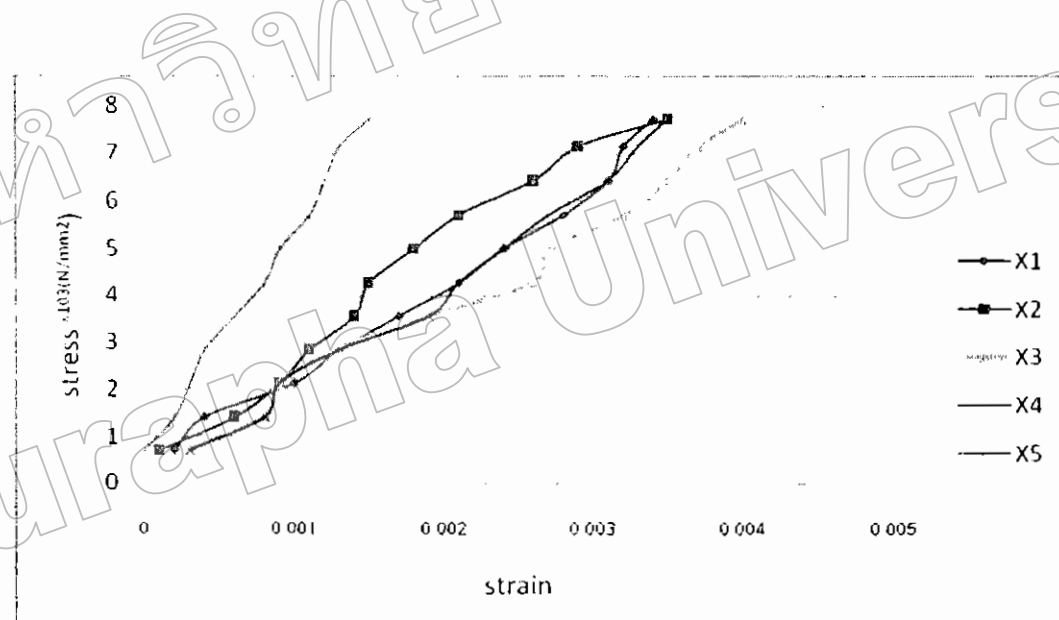
ตารางที่ 4.22 ผลการทดสอบกำลังของกำแพงอิฐมวลตัน โดยใช้ซีเมนต์มอร์พอสอัตราส่วนปูนต่อทราย

1:1:3 ได้ผลดังนี้

Load (ton)	แกน X <sub>1</sub> (mm)	แกน Y <sub>1</sub> (mm)	แกน X <sub>2</sub> (mm)	แกน Y <sub>2</sub> (mm)	แกน X <sub>3</sub> (mm)	แกน Y <sub>3</sub> (mm)	แกน X <sub>4</sub> (mm)	แกน Y <sub>4</sub> (mm)	แกน X <sub>5</sub> (mm)	แกน Y <sub>5</sub> (mm)
0	101.5	102.9	103.6	102.7	102.0	102.9	101.0	102.6	103.2	102.5
4	101.7	102.5	103.7	102.3	102.3	102.4	101.3	102.4	103.2	102.4
8	101.9	102.4	104.2	102.2	102.8	102.1	101.8	102.2	103.4	102.2
12	102.5	102.2	104.5	101.9	102.9	101.9	101.9	101.9	103.5	101.9
16	102.8	101.9	104.7	101.4	103.3	101.5	102.3	101.6	103.6	101.7
20	103.2	101.4	105.0	101.2	103.9	101.3	102.9	101.5	103.8	101.6
24	103.6	101.2	105.1	101.0	104.6	101.2	103.1	101.2	103.9	101.5
28	103.9	99.9	105.4	100.7	104.7	100.9	103.4	101.1	104.1	101.1
32	104.3	99.8	105.7	100.4	105.2	100.7	103.7	101.1	104.2	100.0
36	104.6	99.5	106.2	100.2	105.5	100.5	104.1	100.9	104.4	99.8
40	104.7	99.1	106.5	99.8	105.7	100.1	104.3	100.9	104.5	99.7
43.2	104.9	98.8	107.1	99.7	106.0	99.7	104.5	100.7	104.7	99.6



รูปที่ 4.50 กราฟความสัมพันธ์ระหว่าง Stress และ Strain ในเกณ Y ของกำแพงอิฐมอญตันที่ก่อแบบ สลับ (Running Bond) ชิ้นเม็ดมอร์สบนอัตราส่วน ปูนต่อทราย 1:3 จำนวน

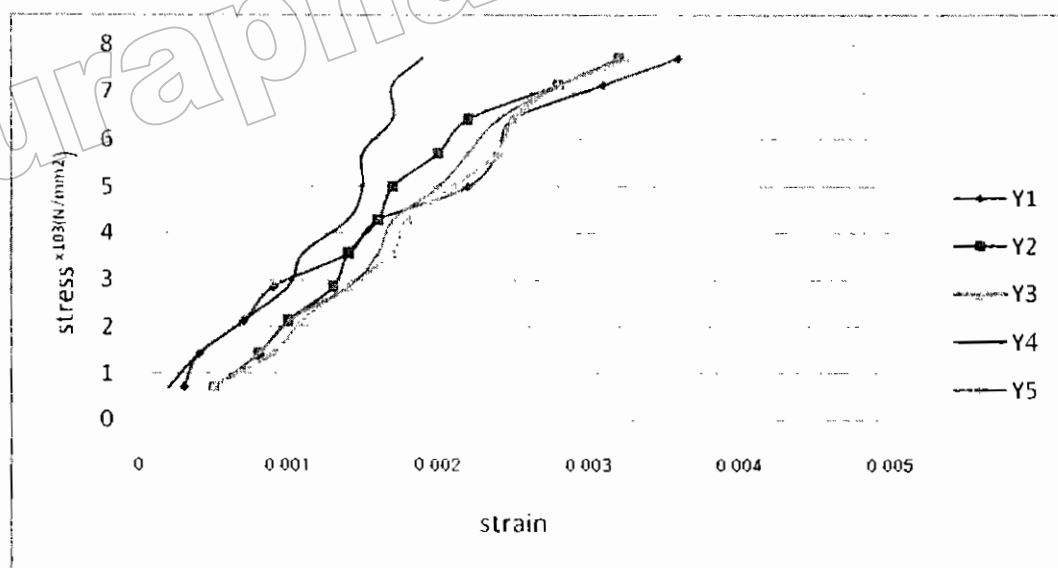


รูปที่ 4.51 กราฟความสัมพันธ์ระหว่าง Stress และ Strain ในเกณ Y ของกำแพงอิฐมอญตันก่อแบบ สลับ (Running Bond) ชิ้นเม็ดมอร์สบนอัตราส่วน ปูนต่อทราย 1:3 จำนวน

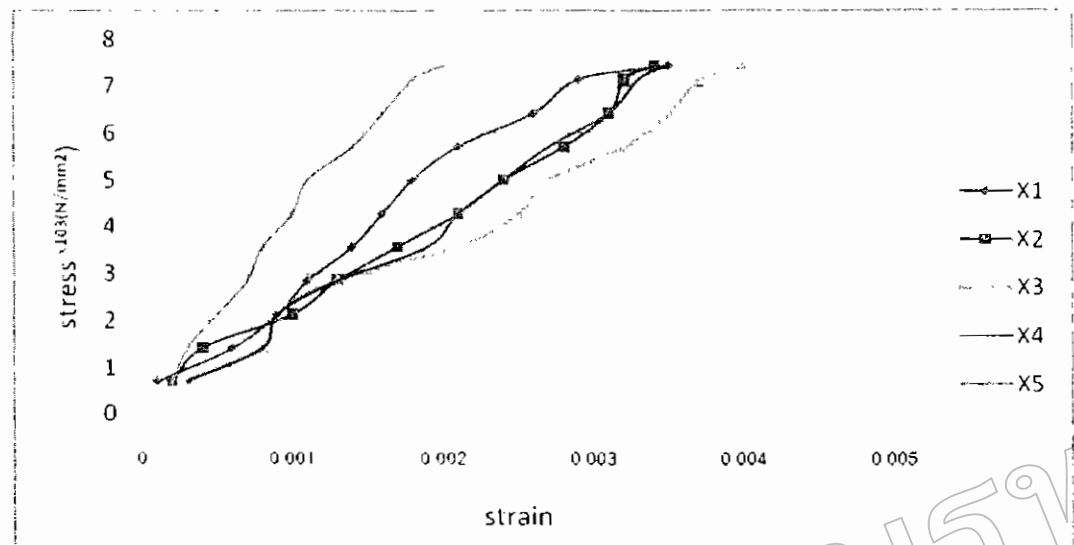
ตารางที่ 4.23 ผลการทดสอบกำลังของกำแพงอิฐมอญ ตัน โดยใช้ซีเมนต์มอร์พอสมอัตราส่วน ปูนต่อทราย

1:1:3 ได้ผลดังนี้

Load (ton)	แกน X <sub>1</sub> (mm)	แกน Y <sub>1</sub> (mm)	แกน X <sub>2</sub> (mm)	แกน Y <sub>2</sub> (mm)	แกน X <sub>3</sub> (mm)	แกน Y <sub>3</sub> (mm)	แกน X <sub>4</sub> (mm)	แกน Y <sub>4</sub> (mm)	แกน X <sub>5</sub> (mm)	แกน Y <sub>5</sub> (mm)
0	102.5	102.8	101.4	102.9	101.0	103.9	102.0	102.6	102.1	102.9
4	102.6	102.5	101.6	102.4	101.3	103.4	102.3	102.4	102.3	102.4
8	103.1	102.4	101.8	102.1	101.8	103.0	102.8	102.2	102.6	102.1
12	103.4	102.1	102.4	101.9	101.9	102.8	102.9	101.9	102.7	101.9
16	103.6	101.9	102.7	101.5	102.3	102.5	103.3	101.6	102.8	101.5
20	103.9	101.4	103.1	101.3	102.9	102.2	103.9	101.5	103.1	101.3
24	104.0	101.2	103.5	101.2	103.6	102.1	104.1	101.2	103.2	101.2
28	104.3	100.6	103.8	100.9	103.7	101.8	104.4	101.1	103.4	100.9
32	104.6	100.4	104.2	100.7	104.2	101.5	104.7	101.1	103.6	100.7
36	105.1	100.3	104.5	100.5	104.5	101.4	105.1	100.9	103.9	100.5
40	105.4	99.7	104.6	100.1	104.7	101.1	105.3	100.9	104.1	100.1
41.7	106.0	99.2	104.8	99.7	105.0	100.6	105.5	100.7	104.3	99.7



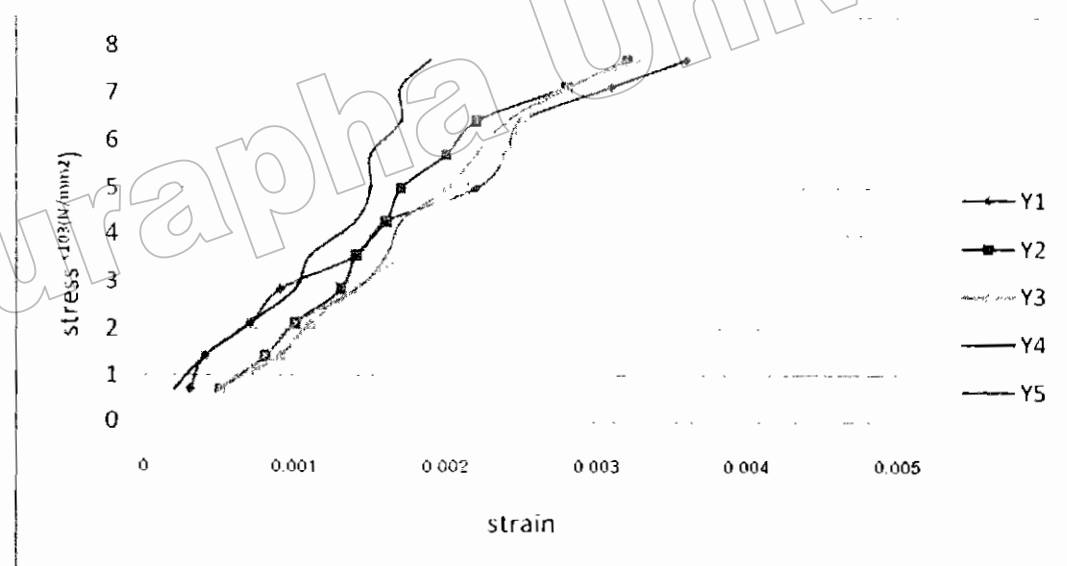
รูปที่ 4.52 กราฟความสัมพันธ์ระหว่าง Stress และ Strain ในแกน Y ของกำแพงอิฐมอญตันที่ก่อแบบสลับ (Running Bond) ซีเมนต์มอร์พอสมอัตราส่วน ปูนต่อทราย 1:3 จำนวน



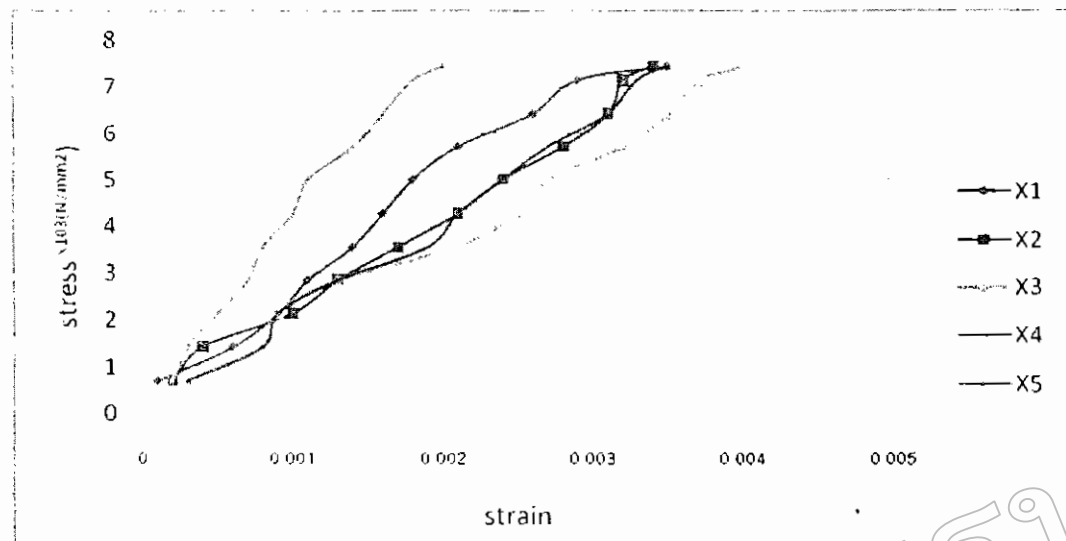
รูปที่ 4.53 กราฟความสัมพันธ์ระหว่าง Stress และ Strain ในแกน Y ของกำแพงอิฐมวลตันที่ก่อแบบ  
สลับ (Running Bond) ซีเมนต์มอร์พอสมอัตราส่วน ปูนคือทราย 1;3 จำนวน

ตารางที่ 4.24 ผลการทดสอบกำลังของกำแพงอิฐมอญ ตัน โดยใช้ชีเมนต์มอร์ก่อสำเร็จ ได้ผลดังนี้

Load (ton)	แกน X <sub>1</sub> (mm)	แกน Y <sub>1</sub> (mm)	แกน X <sub>2</sub> (mm)	แกน Y <sub>2</sub> (mm)	แกน X <sub>3</sub> (mm)	แกน Y <sub>3</sub> (mm)	แกน X <sub>4</sub> (mm)	แกน Y <sub>4</sub> (mm)	แกน X <sub>5</sub> (mm)	แกน Y <sub>5</sub> (mm)
0	102.5	102.8	101.4	102.9	101.0	103.9	102.0	102.6	102.1	102.9
4	102.6	102.5	101.6	102.4	101.3	103.4	102.3	102.4	102.3	102.4
8	103.1	102.4	101.8	102.1	101.8	103.0	102.8	102.2	102.6	102.1
12	103.4	102.1	102.4	101.9	101.9	102.8	102.9	101.9	102.7	101.9
16	103.6	101.9	102.7	101.5	102.3	102.5	103.3	101.6	102.8	101.5
20	103.9	101.4	103.1	101.3	102.9	102.2	103.9	101.5	103.1	101.3
24	104.0	101.2	103.5	101.2	103.6	102.1	104.1	101.2	103.2	101.2
28	104.3	100.6	103.8	100.9	103.7	101.8	104.4	101.1	103.4	100.9
32	104.6	100.4	104.2	100.7	104.2	101.5	104.7	101.1	103.6	100.7
36	105.1	100.3	104.5	100.5	104.5	101.4	105.1	100.9	103.9	100.5
39.2	105.4	99.7	104.6	100.1	104.7	101.1	105.3	100.9	104.1	100.1



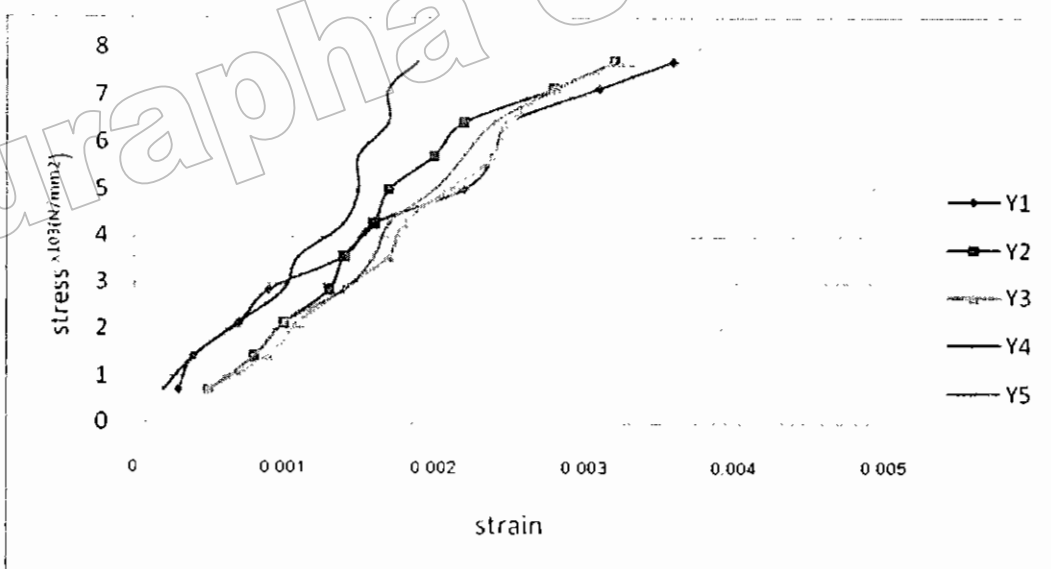
รูปที่ 4.54 กราฟความสัมพันธ์ระหว่าง Stress และ Strain ในแกน Y ของกำแพงอิฐมอญตันที่ก่อแบบสลับ (Running Bond) ชีเมนต์มอร์ตาร์ปูนก่อสำเร็จ



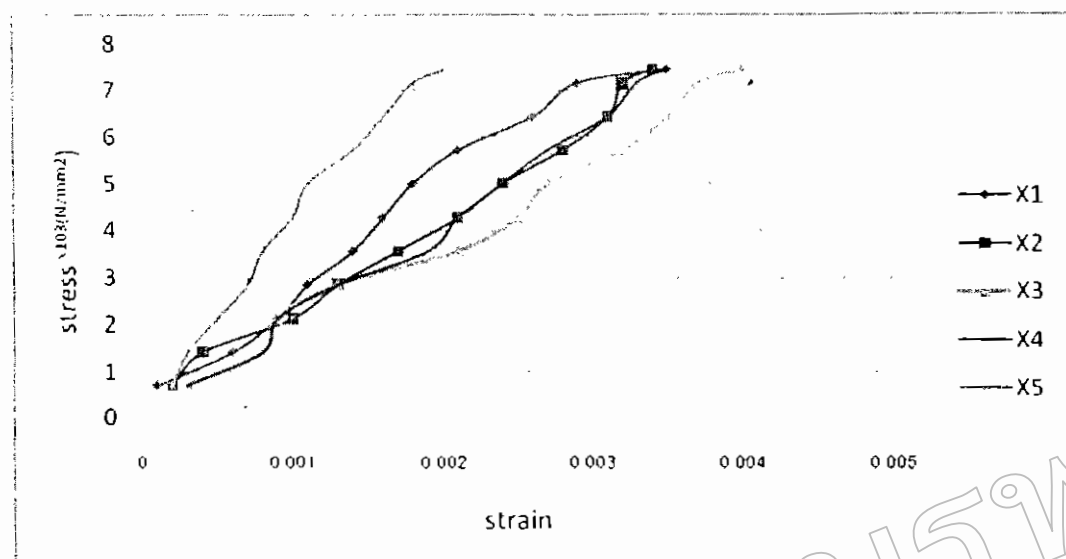
รูปที่ 4.55 กราฟความสัมพันธ์ระหว่าง Stress และ Strain ในแกน Y ของกำแพงอิฐมอญตันที่ก่อแบบ  
สลับ (Running Bond) ซึ่งมีตัวอย่างต่อไปนี้

ตารางที่ 4.25 ผลการทดสอบกำลังของกำแพงอิฐมอญ ตัน โดยใช้ชีเมนต์มอร์ก่อสำเร็จ ได้ผลดังนี้

Load (ton)	แกน X <sub>1</sub> (mm)	แกน Y <sub>1</sub> (mm)	แกน X <sub>2</sub> (mm)	แกน Y <sub>2</sub> (mm)	แกน X <sub>3</sub> (mm)	แกน Y <sub>3</sub> (mm)	แกน X <sub>4</sub> (mm)	แกน Y <sub>4</sub> (mm)	แกน X <sub>5</sub> (mm)	แกน Y <sub>5</sub> (mm)
0	102.5	102.8	101.4	102.9	101.0	103.9	102.0	102.6	102.1	102.9
4	102.6	102.5	101.6	102.4	101.3	103.4	102.3	102.4	102.3	102.4
8	103.1	102.4	101.8	102.1	101.8	103.0	102.8	102.2	102.6	102.1
12	103.4	102.1	102.4	101.9	101.9	102.8	102.9	101.9	102.7	101.9
16	103.6	101.9	102.7	101.5	102.3	102.5	103.3	101.6	102.8	101.5
20	103.9	101.4	103.1	101.3	102.9	102.2	103.9	101.5	103.1	101.3
24	104.0	101.2	103.5	101.2	103.6	102.1	104.1	101.2	103.2	101.2
28	104.3	100.6	103.8	100.9	103.7	101.8	104.4	101.1	103.4	100.9
32	104.6	100.4	104.2	100.7	104.2	101.5	104.7	101.1	103.6	100.7
36	105.1	100.3	104.5	100.5	104.5	101.4	105.1	100.9	103.9	100.5
39.5	105.4	99.7	104.6	100.1	104.7	101.1	105.3	100.9	104.1	100.1



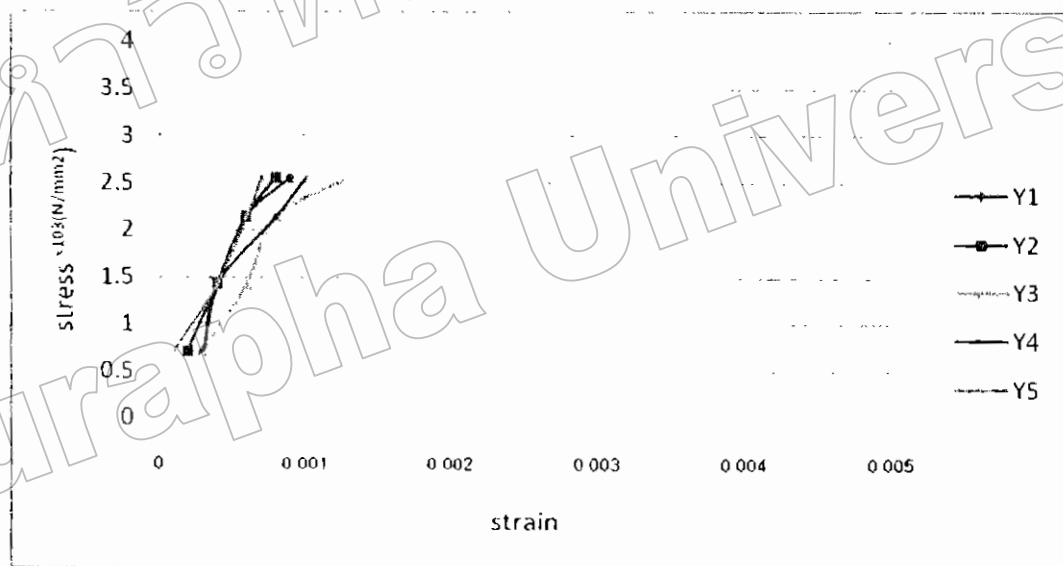
รูปที่ 4.56 กราฟความสัมพันธ์ระหว่าง Stress และ Strain ในแกน Y ของกำแพงอิฐมอญตันที่ก่อแบบสลับ (Running Bond) ชีเมนต์มอร์ต้าร์ปูนก่อสำเร็จ



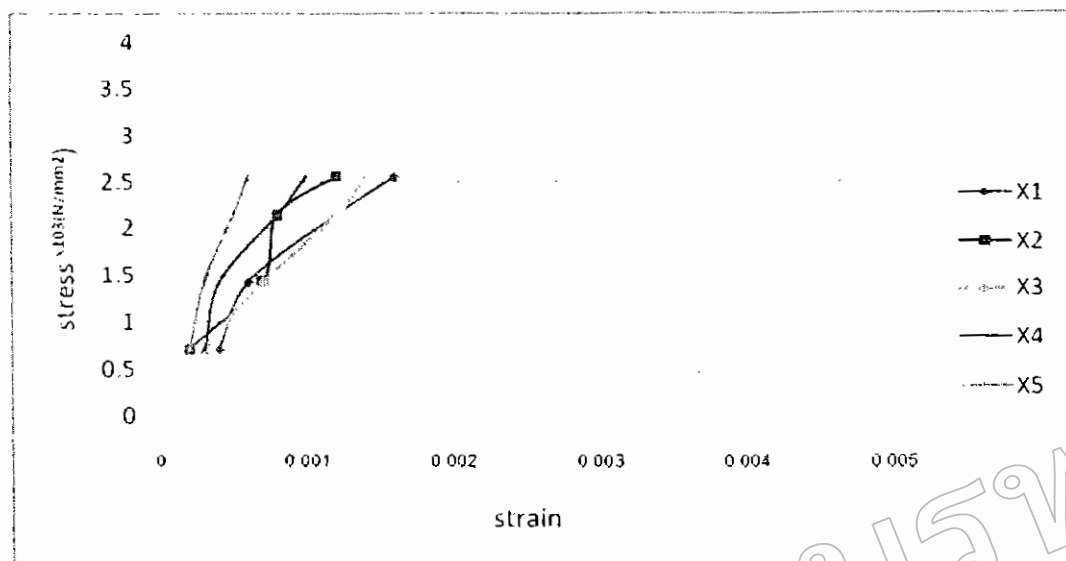
รูปที่ 4.57 กราฟความสัมพันธ์ระหว่าง Stress และ Strain ในแกน-Y ของกำแพงอิฐมอญตัน ที่ก่อแบบ สลับ (Running Bond) ซีเมนต์มอร์ตาร์ปูนก่อสำเร็จ

**ตารางที่ 4.26** ผลการทดสอบกำลังของกำแพงอิฐมอญ 4 รู โดยใช้ซีเมนต์มอร์สก์สมอัตราส่วน ปูนต่อทราย 1:1.3 ได้ผลดังนี้

Load (ton)	แกน X <sub>1</sub> (mm)	แกน Y <sub>1</sub> (mm)	แกน X <sub>2</sub> (mm)	แกน Y <sub>2</sub> (mm)	แกน X <sub>3</sub> (mm)	แกน Y <sub>3</sub> (mm)	แกน X <sub>4</sub> (mm)	แกน Y <sub>4</sub> (mm)	แกน X <sub>5</sub> (mm)	แกน Y <sub>5</sub> (mm)
0	102.3	103.8	103.5	102.6	102.1	101.6	102.1	102.6	103.2	102.5
4	102.7	103.5	103.7	102.4	102.4	101.3	102.4	102.3	103.4	102.4
8	102.9	103.4	104.2	102.2	102.8	101.0	103.0	102.2	103.5	102.1
12	103.5	103.2	104.4	101.9	103.3	100.8	103.1	101.8	103.7	101.9
14.3	103.9	102.9	104.7	101.4	103.5	100.3	103.3	101.6	103.8	101.8



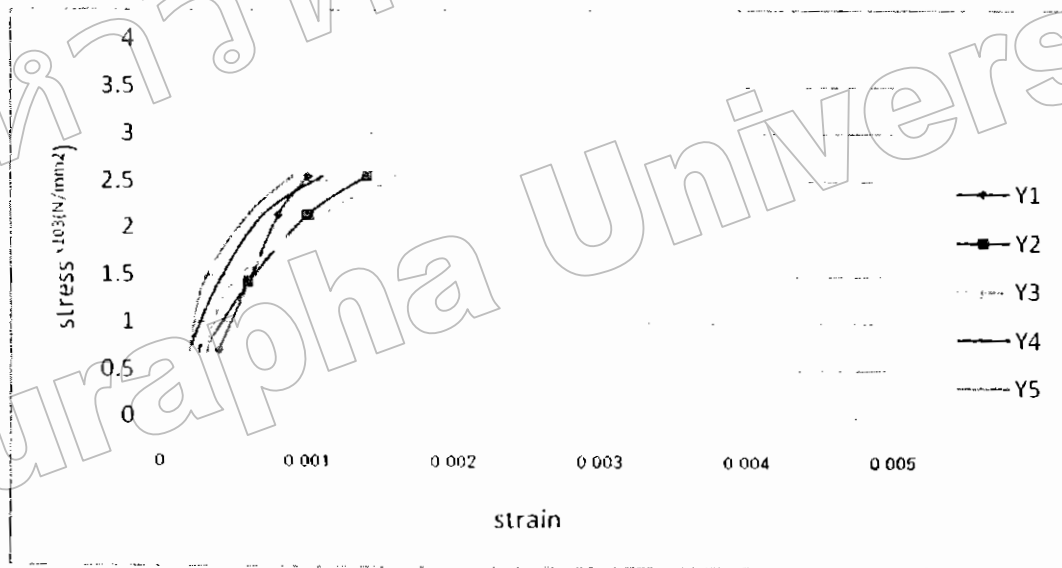
รูปที่ 4.58 กราฟความสัมพันธ์ระหว่าง Stress และ Strain ในแกน Y ของกำแพงอิฐมอญ 4 รู ที่ก่อแบบ สลับ (Running Bond) ซึ่งมีอัตราส่วนปูนต่อทราย 1:3 จำนวน



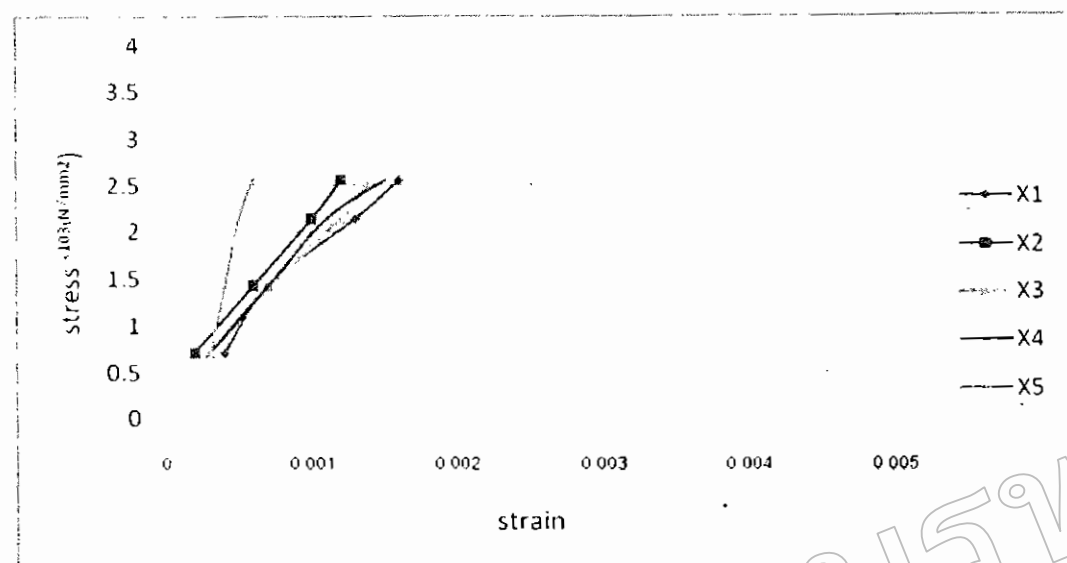
รูปที่ 4.59 กราฟความสัมพันธ์ระหว่าง Stress และ Strain ในแกน Y ของกำแพงอิฐมวล 4 รู ที่ก่อแบบสลับ (Running Bond) ซึ่งมีค่าคงร่องสมอัตราส่วนปูนต่อหินราย 1:3 จำนวน

ตารางที่ 4.27 ผลการทดสอบกำลังของกำแพงอิฐมอญตัน โดยใช้ชีเมนต์มอร์สแมตตราส่วน ปูนต่อทราย 1:1:3 ได้ผลดังนี้

Load (ton)	แกน X <sub>1</sub> (mm)	แกน Y <sub>1</sub> (mm)	แกน X <sub>2</sub> (mm)	แกน Y <sub>2</sub> (mm)	แกน X <sub>3</sub> (mm)	แกน Y <sub>3</sub> (mm)	แกน X <sub>4</sub> (mm)	แกน Y <sub>4</sub> (mm)	แกน X <sub>5</sub> (mm)	แกน Y <sub>5</sub> (mm)
0	101.2	103.9	103.5	102.8	101.2	101.7	102.1	102.5	101.2	101.5
4	101.6	103.5	103.7	102.5	101.5	101.4	102.4	102.3	101.5	101.3
8	101.9	103.3	104.1	102.2	101.9	101.2	102.8	102.1	101.6	101.1
12	102.5	103.2	104.5	101.8	102.4	100.6	103.2	101.8	101.7	100.9
14.1	102.8	102.9	104.7	101.4	102.6	100.1	103.6	101.4	101.8	100.6



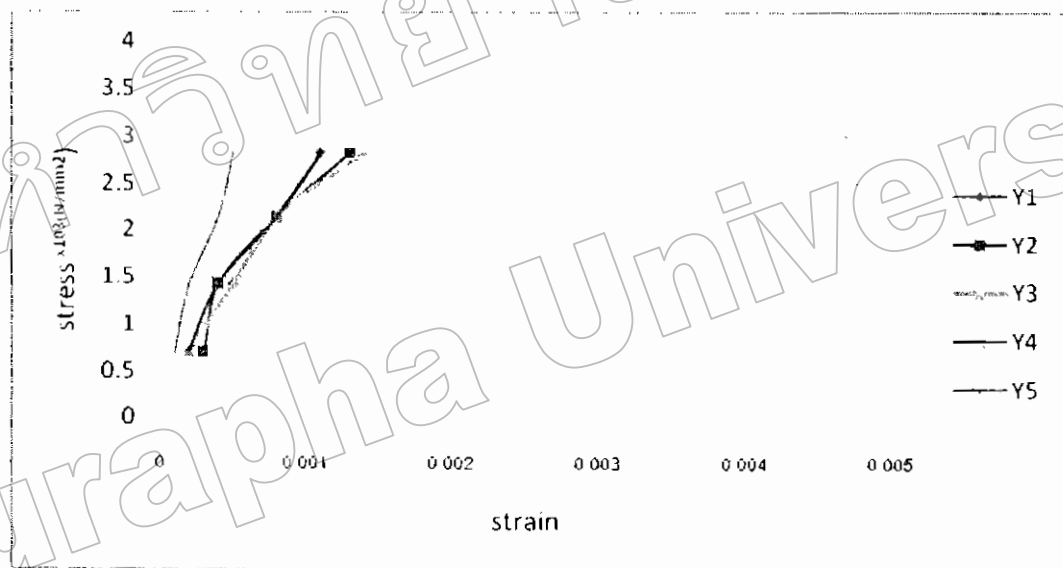
รูปที่ 4.61 กราฟความสัมพันธ์ระหว่าง Stress และ Strain ในแกน Y ของกำแพงอิฐมอญ 4 รู ที่ก่อแบบสลับ (Running Bond) ชีเมนต์มอร์สแมตตราส่วน ปูนต่อทราย 1:3 จำนวน



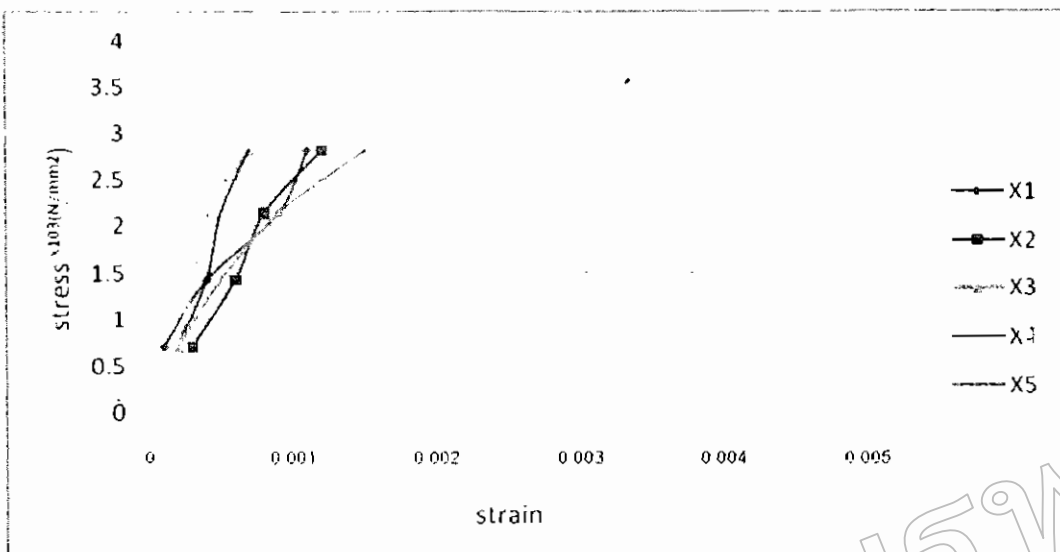
รูปที่ 4.62 กราฟความสัมพันธ์ระหว่าง Stress และ Strain ในแกน Y ของกำแพงอิฐอุบล 4 ruk ที่ก่อแบบสลับ (Running Bond) ซีเมนต์มอร์สมอัตราส่วน ปูนต่อทราย 1:3 จำนวน

ตารางที่ 4.28 ผลการทดสอบกำลังของกำแพงอิฐมอญ 4 รู โดยใช้ชีเมนต์มอร์ก่อสำเร็จ ได้ผลดังนี้

Load (ton)	แกน X <sub>1</sub> (mm)	แกน Y <sub>1</sub> (mm)	แกน X <sub>2</sub> (mm)	แกน Y <sub>2</sub> (mm)	แกน X <sub>3</sub> (mm)	แกน Y <sub>3</sub> (mm)	แกน X <sub>4</sub> (mm)	แกน Y <sub>4</sub> (mm)	แกน X <sub>5</sub> (mm)	แกน Y <sub>5</sub> (mm)
0	102.8	103.5	101.2	102.3	102.4	103.1	101.9	101.6	103.4	102.2
4	102.9	103.3	101.5	102.0	102.6	102.9	102.1	101.4	103.6	102.1
8	103.2	103.0	101.8	101.8	102.7	102.6	102.3	101.2	103.9	102.0
12	103.7	102.7	102.0	101.5	102.8	102.3	102.4	100.8	104.3	101.8
15.8	103.9	102.4	102.4	100.7	103.1	101.7	102.6	100.5	104.9	101.7



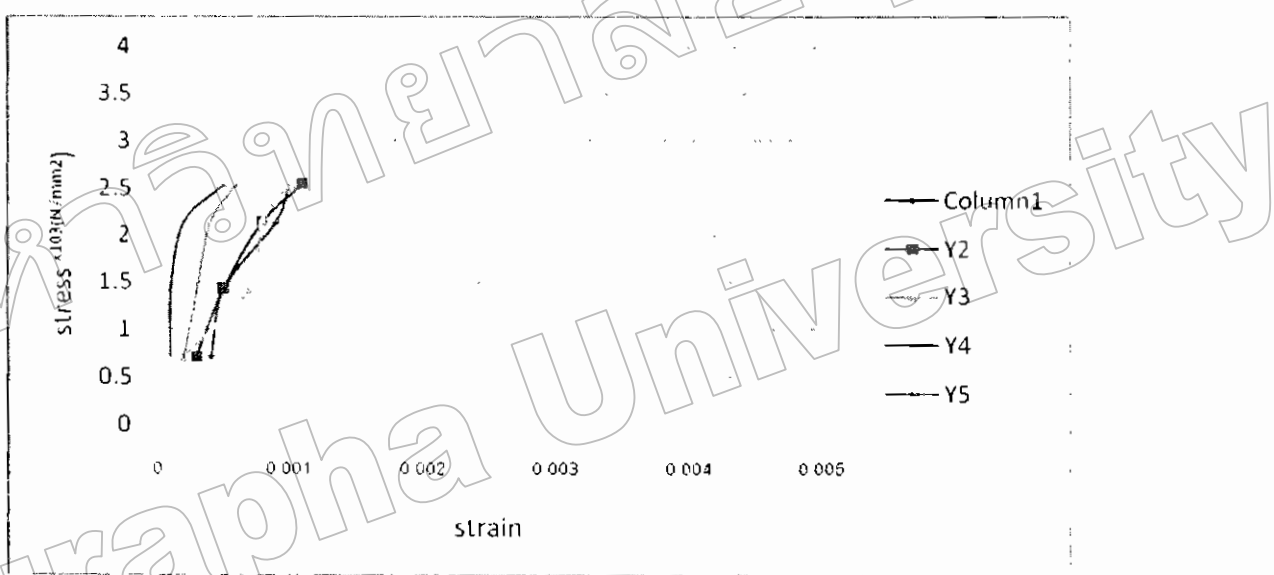
รูปที่ 4.62 กราฟความสัมพันธ์ระหว่าง Stress และ Strain ในแกน Y ของกำแพงอิฐมอญ 4 รู ที่ก่อแบบสลับ (Running Bond) ชีเมนต์มอร์ต้าร์ปูนก่อสำเร็จ



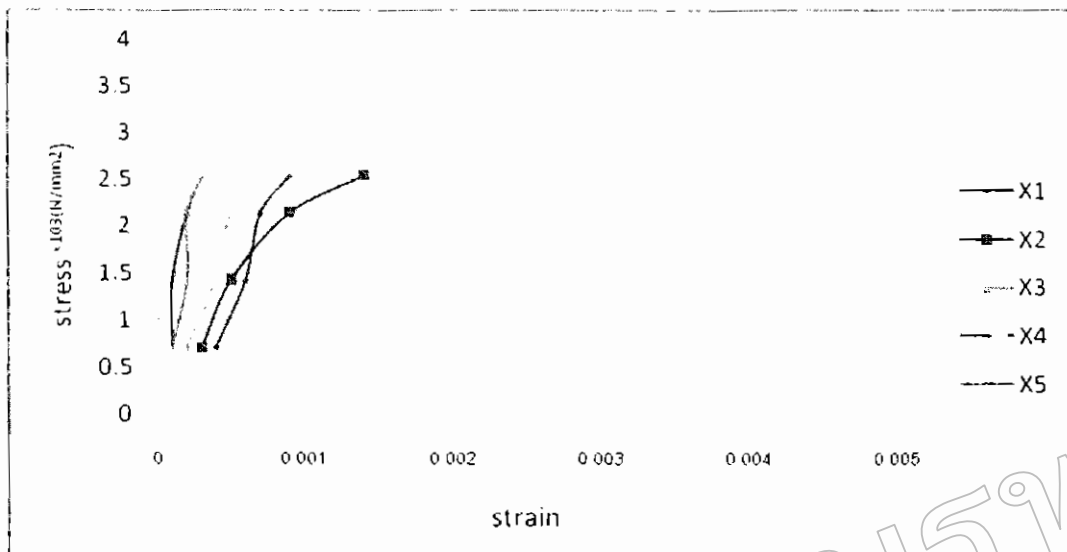
รูปที่ 4.63 กราฟความสัมพันธ์ระหว่าง Stress และ Strain ในเกณ X ของกำแพงอิฐมอย 4 รู ที่ก่อแบบสลับ (Running Bond) ซึ่งมีค่าน้ำหนักตัวร์ปูนก่อสำเร็จ

ตารางที่ 4.29 ผลการทดสอบกำลังของกำแพงอิฐมอญ 4 รู โดยใช้ชีเมนต์มอร์ก่อสำเร็จ ได้ผลดังนี้

Load (ton)	แกน X <sub>1</sub> (mm)	แกน Y <sub>1</sub> (mm)	แกน X <sub>2</sub> (mm)	แกน Y <sub>2</sub> (mm)	แกน X <sub>3</sub> (mm)	แกน Y <sub>3</sub> (mm)	แกน X <sub>4</sub> (mm)	แกน Y <sub>4</sub> (mm)	แกน X <sub>5</sub> (mm)	แกน Y <sub>5</sub> (mm)
0	101.2	102.1	101.3	102.3	103.2	105.1	102.6	102.5	101.4	101.6
4	101.6	101.7	101.6	102.0	103.5	104.9	102.7	102.4	101.5	101.4
8	101.8	101.6	101.8	102.8	103.6	104.4	102.7	102.4	101.6	101.3
12	101.9	101.2	102.2	101.5	103.7	104.3	102.8	102.3	101.6	101.2
14.2	102.1	101.1	102.7	101.1	103.9	104.1	102.9	102.0	101.7	101.0



รูปที่ 4.64 กราฟความสัมพันธ์ระหว่าง Stress และ Strain ในแกน Y ของกำแพงอิฐมอญ 4 รู ที่ก่อแบบ สลับ (Running Bond) ชีเมนต์มอร์ต้าร์ปูนก่อสำเร็จ



รูปที่ 4.65 กราฟความสัมพันธ์ระหว่าง Stress และ Strain ในเกณ X ของกำแพงอิฐมวล 4 รู ที่ก่อแบบสลับ (Running Bond) ซึ่งมีค่าน้ำหนักตัวร์ปูนก่อสำเร็จ

ตารางที่ 4.30 เปรียบเทียบกำลังรับแรงดึงของก่อแ朋ที่ได้จากการทดลองและผลจากการคำนวณ ได้ผลดังนี้

Item	Wall Type	C	Type		Test Result kN	Theory (eq-1) kN	Different %
			brick	mortar			
1	WB-2H/M <sub>1</sub> -01	0.641	2 รูลาย ช่อง	Mix	133.61	98.21	+47.83
2	WB-2H/M <sub>1</sub> -02			(Proportion 1:1:3)	127.90		+41.51
3	WB-2HR/M <sub>2</sub> -01			TPI	117.61		+30.12
4	WB-2HR/M <sub>2</sub> -02			(Ready for use)	116.69		-29.11
5	WB-2B/M <sub>1</sub> -01	0.614	2 ไหง	Mix	158.90	121.62	+30.65
6	WB-2B/M <sub>1</sub> -02			(Proportion 1:1:3)	179.51		+47.59
7	WB-2BR/M <sub>2</sub> -01			TPI	154.99		+27.43
8	WB-2BR/M <sub>2</sub> -02			(Ready for use)	143.80		+18.23
9	WB-F/M <sub>1</sub> -01	0.502	ตัน	Mix	423.79	408.01	+3.86
10	WB-F/M <sub>1</sub> -02			(Proportion 1:1:3)	409.07		+0.36
11	WB-FR/M <sub>2</sub> -01			TPI	387.49		-5.02
12	WB-FR/M <sub>2</sub> -02			(Ready for use)	384.55		-5.74
13	WB-4H/M <sub>1</sub> -01	0.590	4 รู	Mix	140.28	122.71	+14.31
14	WB-4H/M <sub>1</sub> -02			(Proportion 1:1:3)	148.50		+21.01
15	WB-4HR/M <sub>2</sub> -01			TPI	156.00		+27.12
16	WB-4HR/M <sub>2</sub> -02			(Ready for use)	133.41		+8.71

\*ตัวอย่างการคำนวณดูได้จากภาคผนวก

#### Symbols description

2H      Brick with 2 holes

4H      Brick with 4 holes

2B      Big brick

F      Full brick

M<sub>1</sub>      Mix proportion 1:1:3

M<sub>2</sub>      TPI (Ready for use)

## บทที่ 5

### การวิเคราะห์และสรุปผลการทดสอบ

#### 5.1 ผลการทดสอบการดูดซึมน้ำของอิฐมวล (Absorption test of brick)

ผลการทดสอบการดูดซึมน้ำของอิฐมวลจากเหล็กผลิตในจังหวัดชลบุรี อย่างละ 15 ตัวอย่าง ได้ผลดังนี้ อิฐมวล 2 รูลายข้าง, อิฐมวล 2 รูใหญ่, อิฐมวลตัน, อิฐมวล 4 รู ให้ค่าเฉลี่ยการดูดซึมน้ำในแต่ละชนิดร้อยละ 17.17, ร้อยละ 15.25, ร้อยละ 12.10 และร้อยละ 19.97 ตามลำดับ รวมค่าเฉลี่ยทั้ง 4 ชนิดเท่ากับร้อยละ 16.12

อิฐที่มีการดูดซึมน้ำสูงแสดงว่าอิฐมีความพรุนอยู่สูง อิฐที่มีความพรุนสูงนั้นมีความเปราะมาก หักได้ง่าย ความแข็งแรงก็จะน้อยตามไปด้วย จากการทดสอบจะเห็นว่าอิฐมวล 4 รู มีการดูดซึมน้ำมากกว่าอิฐมวลอีก 3 ชนิด ดังนั้นจึงสามารถสรุปได้ว่าอิฐมวล 4 รู มีความแข็งแรงน้อยที่สุด

#### 5.2 ผลการทดสอบการรับแรงอัดของอิฐมวล (Compressive strength of brick)

ผลการทดสอบการรับแรงอัดของอิฐมวลจากเหล็กผลิตในจังหวัดชลบุรี อย่างละ 15 ตัวอย่าง ให้ผลดังนี้ อิฐมวล 2 รูลายข้าง, อิฐมวล 2 รูใหญ่, อิฐมวลตัน, อิฐมวล 4 รู โดยอิฐมวลตันมีค่าถ่วงอัดแรงสูงสุดเฉลี่ยเท่ากับ 143.36 กิโลนิวตัน, 26.76 กิโลนิวตัน, 47.70 กิโลนิวตัน, ตามลำดับ ส่วนค่า stress ดังนี้ อิฐมวล 2 รูลายข้าง, อิฐมวล 2 รูใหญ่, อิฐมวลตัน, อิฐมวล 4 รู เมลี่เท่ากับ 3.20 นิวตันต่อตารางมิลลิเมตร, 4.52 นิวตันต่อตารางมิลลิเมตร, 13.26 นิวตันต่อตารางมิลลิเมตร, นิวตันต่อตารางมิลลิเมตร ในขณะที่อิฐมวลตันให้ค่าเฉลี่ยกำลังอัดประดับสูงสุดเท่ากับ 156 กิโลนิวตัน และมีค่าเฉลี่ย stress เท่ากับ 13.26 นิวตันต่อตารางมิลลิเมตร

จากการทดสอบจะเห็นว่าอิฐที่มีกำลังอัดสูงสุดก็คือ อิฐมวลตัน รองลงมา ก็คือ อิฐมวล 2 รูใหญ่, อิฐมวล 4 รู และอิฐมวล 2 รูลายข้าง ตามลำดับ

#### 5.3 ผลการทดสอบแรงดัดของอิฐมวล (Flexural strength of brick)

ผลการทดสอบรับแรงดัดของอิฐมวลจากเหล็กผลิตในจังหวัดชลบุรี อย่างละ 15 ตัวอย่าง ให้ผลดังนี้ อิฐมวล 2 รูลายข้าง, อิฐมวล 2 รูใหญ่, อิฐมวลตัน, อิฐมวล 4 รู มีค่าเฉลี่ย Modulus of rupture เท่ากับ 0.5200 นิวตันต่อตารางมิลลิเมตร, 0.7493 นิวตันต่อตารางมิลลิเมตร, 1.1141 นิวตันต่อตารางมิลลิเมตร, นิวตันต่อตารางมิลลิเมตร ตามลำดับ

อิฐมวลที่มีค่า Modulus of rupture สูงยิ่งมีความแข็งแรงสูงตามไปด้วย จากผลการทดสอบจะเห็นว่า อิฐมวลตันมีค่า Modulus of rupture สูงสุด และอิฐมวล 2 รูลายข้างมีค่า Modulus of rupture ต่ำสุด

ดังนั้น จึงพอสรุปได้ว่า อิฐมอญดันมีความแข็งแรงทนทานมากกว่า อิฐมอญอีกสามชนิด จึงเหมาะสมที่สุดที่จะเลือกใช้ทำกำแพงที่รับแรงเบกทาง

#### 5.4 ผลการทดสอบกำลังรับแรงอัดของซีเมนต์มอร์ตาร์ (Compressive strength of hydraulic cement mortar)

การทดสอบการร้าว กำลังรับแรงอัดของซีเมนต์มอร์ตาร์ (Compressive strength of hydraulic cement mortar) ตามมาตรฐาน ASTM C 109 โดยใช้อัตราส่วนผสานซีเมนต์มอร์ตาร์ ( $w/c = 0.45$ ) พนว่าที่อายุ 7 วัน กำลังรับแรงอัดของซีเมนต์มอร์ตาร์ค่าเฉลี่ยเท่ากับ 83.51 กก./ตร.ซม. ที่อายุ 14 วัน กำลังรับแรงอัดของซีเมนต์มอร์ตาร์ค่าเฉลี่ยเท่ากับ 122.68 กก./ตร.ซม. และที่อายุ 28 วัน กำลังรับแรงอัดของซีเมนต์มอร์ตาร์ค่าเฉลี่ยเท่ากับ 141.31 กก./ตร.ซม. เมื่อพิจารณาค่ากำลังรับแรงอัดที่ได้ใช่วงอายุต่าง ๆ พนว่า กำลังรับแรงอัดที่อายุ 28 วันนี้มีค่ากำลังรับแรงอัดที่สูงที่สุดของทุกช่วงเวลา

เมื่อใช้ซีเมนต์มอร์ตาร์ก่อสำเร็จ TPI M300 อัตราส่วนผสานน้ำ方才าด 4.5 : 1 หน่วยปริมาตร พนว่าที่อายุ 7 วัน กำลังรับแรงอัดของซีเมนต์มอร์ตาร์ค่าเฉลี่ยเท่ากับ 73.75 กก./ตร.ซม. ที่อายุ 14 วัน กำลังรับแรงอัดของซีเมนต์มอร์ตาร์ค่าเฉลี่ยเท่ากับ 112.32 กก./ตร.ซม. ที่อายุ 28 วัน กำลังรับแรงอัดของซีเมนต์มอร์ตาร์ค่าเฉลี่ยเท่ากับ 129.96 กก./ตร.ซม. เมื่อพิจารณาค่ากำลังรับแรงอัดที่ได้ใช่วงอายุต่าง ๆ พนว่า กำลังรับแรงอัดที่อายุ 28 วันนี้มีค่ากำลังรับแรงอัดที่สูงที่สุดของทุกช่วงเวลา

เมื่อพิจารณาเปรียบเทียบระหว่างค่ากำลังรับแรงอัดของซีเมนต์มอร์ตาร์ที่อัตราส่วนผสานของซีเมนต์มอร์ตาร์ที่ผสมเองและอัตราส่วนของปูนก่อสำเร็จ TPI M300 พนว่า อัตราส่วนซีเมนต์มอร์ตาร์ที่ผสมเองมีค่ากำลังรับแรงอัดที่สูงกว่าค่ากำลังรับแรงอัดของซีเมนต์มอร์ตาร์ปูนก่อสำเร็จฐาน ในทุกช่วงอายุ

#### 5.5 ผลการทดสอบแรงดัดของซีเมนต์มอร์ตาร์ (Flexural strength of hydraulic cement mortar)

ผลการทดสอบแรงดัดของซีเมนต์มอร์ตาร์ (Flexural strength of hydraulic cement mortar) ตาม มาตรฐาน ASTM C270 โดยใช้อัตราส่วนผสานซีเมนต์มอร์ตาร์ ( $w/c = 0.45$ ) พนว่าที่อายุ 7 วัน กำลังรับแรงดัดของซีเมนต์มอร์ตาร์ค่าเฉลี่ยเท่ากับ 46.63 กก./ตร.ซม. ที่อายุ 14 วัน กำลังรับแรงดัดของซีเมนต์มอร์ตาร์ค่าเฉลี่ยเท่ากับ 60.19 กก./ตร.ซม. ที่อายุ 28 วัน กำลังรับแรงดัดของซีเมนต์มอร์ตาร์ค่าเฉลี่ยเท่ากับ 75.21 กก./ตร.ซม. เมื่อพิจารณาค่ากำลังรับแรงดัดที่ได้ใช่วงอายุต่าง ๆ พนว่า กำลังรับแรงดัดที่อายุ 28 วัน นี้มีค่ากำลังรับแรงดัดที่สูงที่สุดของทุกช่วงเวลา

เมื่อใช้ซีเมนต์มอร์ตาร์ปูนก่อสำเร็จ TPI M300 อัตราส่วนผสานน้ำ方才าด 4.5 : 1 หน่วยปริมาตร พนว่าที่อายุ 7 วัน กำลังรับแรงดัดของซีเมนต์มอร์ตาร์ค่าเฉลี่ยเท่ากับ 40.03 กก./ตร.ซม. ที่อายุ 14 วัน กำลังรับแรงดัดของซีเมนต์มอร์ตาร์ค่าเฉลี่ยเท่ากับ 56.81 กก./ตร.ซม. ที่อายุ 28 วัน กำลังรับแรงดัดของซีเมนต์มอร์ตาร์ค่าเฉลี่ยเท่ากับ 70.62 กก./ตร.ซม. เมื่อพิจารณาค่ากำลังรับแรงดัดที่ได้ใช่วงอายุต่าง ๆ พนว่า กำลังรับแรงดัดที่อายุ 28 วัน นี้มีค่ากำลังรับแรงดัดที่สูงที่สุดของทุกช่วงเวลา

เมื่อพิจารณาเปรียบเทียบระหว่างค่ากำลังรับแรงดึงของซีเมนต์มอร์ตาร์ที่อัตราส่วนผสมของซีเมนต์มอร์ตาร์ที่ผสมเองและอัตราส่วนของซีเมนต์มอร์ตาร์ปูนก่อสำเร็จ TPI M300 พบว่าอัตราส่วนซีเมนต์มอร์ตาร์ที่ผสมเองมีค่ากำลังรับแรงดึงที่สูงกว่าค่ากำลังรับแรงดึงของซีเมนต์มอร์ตาร์ปูนก่อสำเร็จรูป ในทุกช่วงอายุ

### 5.6 ผลการทดสอบแรงดึงของซีเมนต์มอร์ตาร์ (Tensile strength of cement mortar)

ผลการทดสอบแรงดึงของซีเมนต์มอร์ตาร์ (Tensile strength of cement mortar) ตามมาตรฐาน ASTM C 190 โดยใช้อัตราส่วนผสมซีเมนต์มอร์ตาร์ ( $w/c = 0.45$ ) พบว่าที่อายุ 7 วัน กำลังรับแรงดึงของซีเมนต์มอร์ตาร์ค่าเฉลี่ยเท่ากับ 28.13 กก./ตร.ซม. ที่อายุ 14 วัน กำลังรับแรงดึงของซีเมนต์มอร์ตาร์ค่าเฉลี่ยเท่ากับ 39.27 กก./ตร.ซม. ที่อายุ 28 วัน กำลังรับแรงดึงของซีเมนต์มอร์ตาร์ค่าเฉลี่ยเท่ากับ 42.87 กก./ตร.ซม. เมื่อพิจารณาค่ากำลังรับแรงดึงที่ได้ใช้ว่องอายุต่าง ๆ พบว่ากำลังรับแรงดึงที่อายุ 28 วันนั้นมีค่ากำลังรับแรงดึงที่สูงที่สุดของทุกช่วงเวลา

เมื่อใช้ซีเมนต์มอร์ตาร์ปูนก่อสำเร็จ TPI M300 อัตราส่วนผสมน้ำสะอาด 4.5 : 1 หน่วยปริมาตร พบว่าที่อายุ 7 วัน กำลังรับแรงดึงของซีเมนต์มอร์ตาร์ค่าเฉลี่ยเท่ากับ 21.22 กก./ตร.ซม. ที่อายุ 14 วัน กำลังรับแรงดึงของซีเมนต์มอร์ตาร์ค่าเฉลี่ยเท่ากับ 30.93 กก./ตร.ซม. ที่อายุ 28 วัน กำลังรับแรงดึงของซีเมนต์มอร์ตาร์ค่าเฉลี่ยเท่ากับ 36.18 กก./ตร.ซม. เมื่อพิจารณาค่ากำลังรับแรงดึงที่ได้ใช้ว่องอายุต่าง ๆ พบว่ากำลังรับแรงดึงที่อายุ 28 วันนั้นมีค่ากำลังรับแรงดึงที่สูงที่สุดของทุกช่วงเวลา

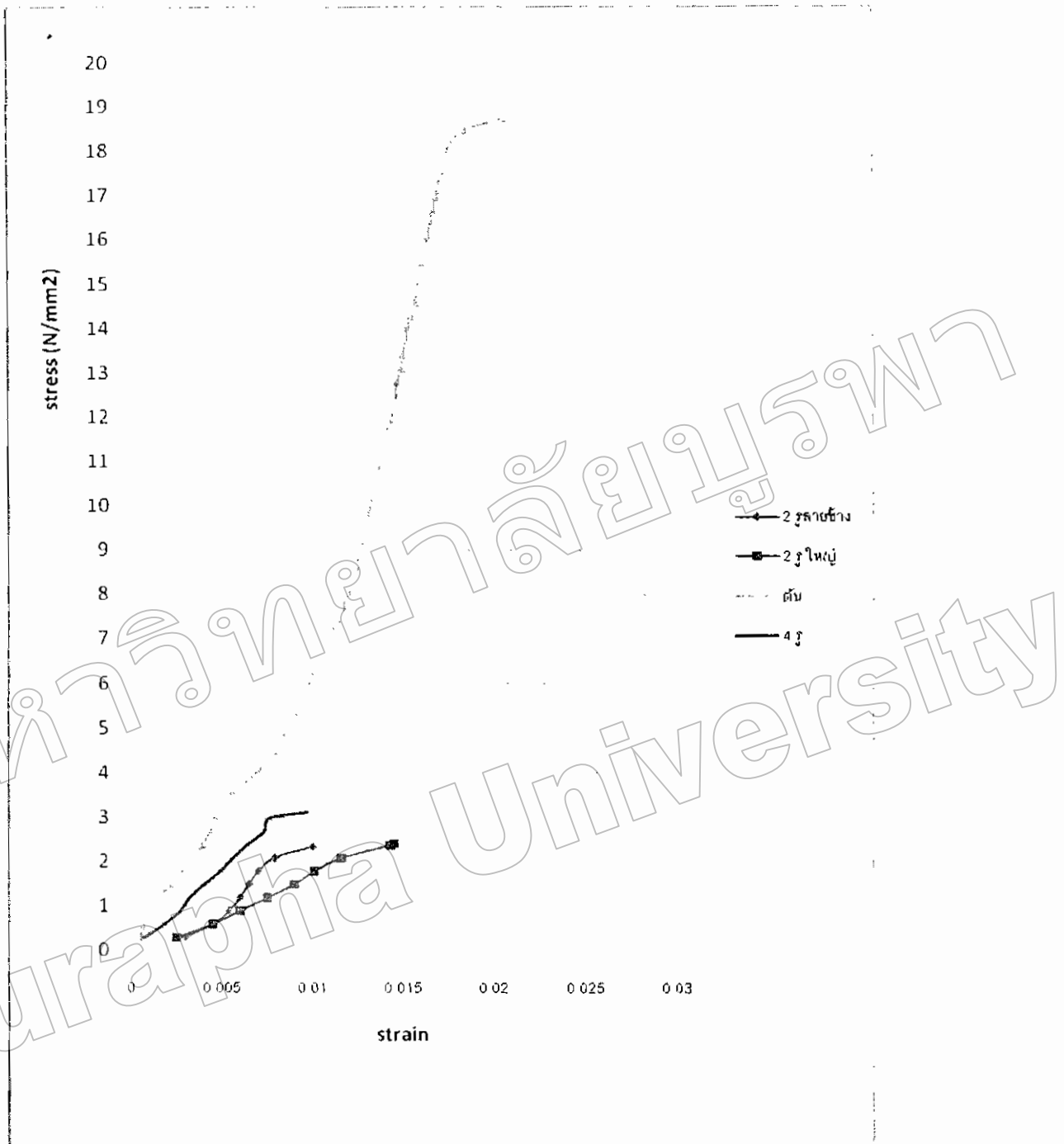
เมื่อพิจารณาเปรียบเทียบระหว่างค่ากำลังรับแรงดึงของอัตราส่วนผสมของซีเมนต์มอร์ตาร์ที่ผสมเองและอัตราส่วนของซีเมนต์มอร์ตาร์ปูนก่อสำเร็จ TPI M300 พบว่าอัตราส่วนซีเมนต์มอร์ตาร์ที่ผสมเองมีค่ากำลังรับแรงดึงที่สูงกว่าค่ากำลังรับแรงดึงของซีเมนต์มอร์ตาร์ปูนก่อสำเร็จรูปในทุกช่วงอายุ

ดังนั้นค่ากำลังรับแรงดึงของซีเมนต์มอร์ตาร์ สามารถพัฒนากำลังรับแรงดึงให้กำเพงได้เมื่อเกิดแรงดึงในกำเพง

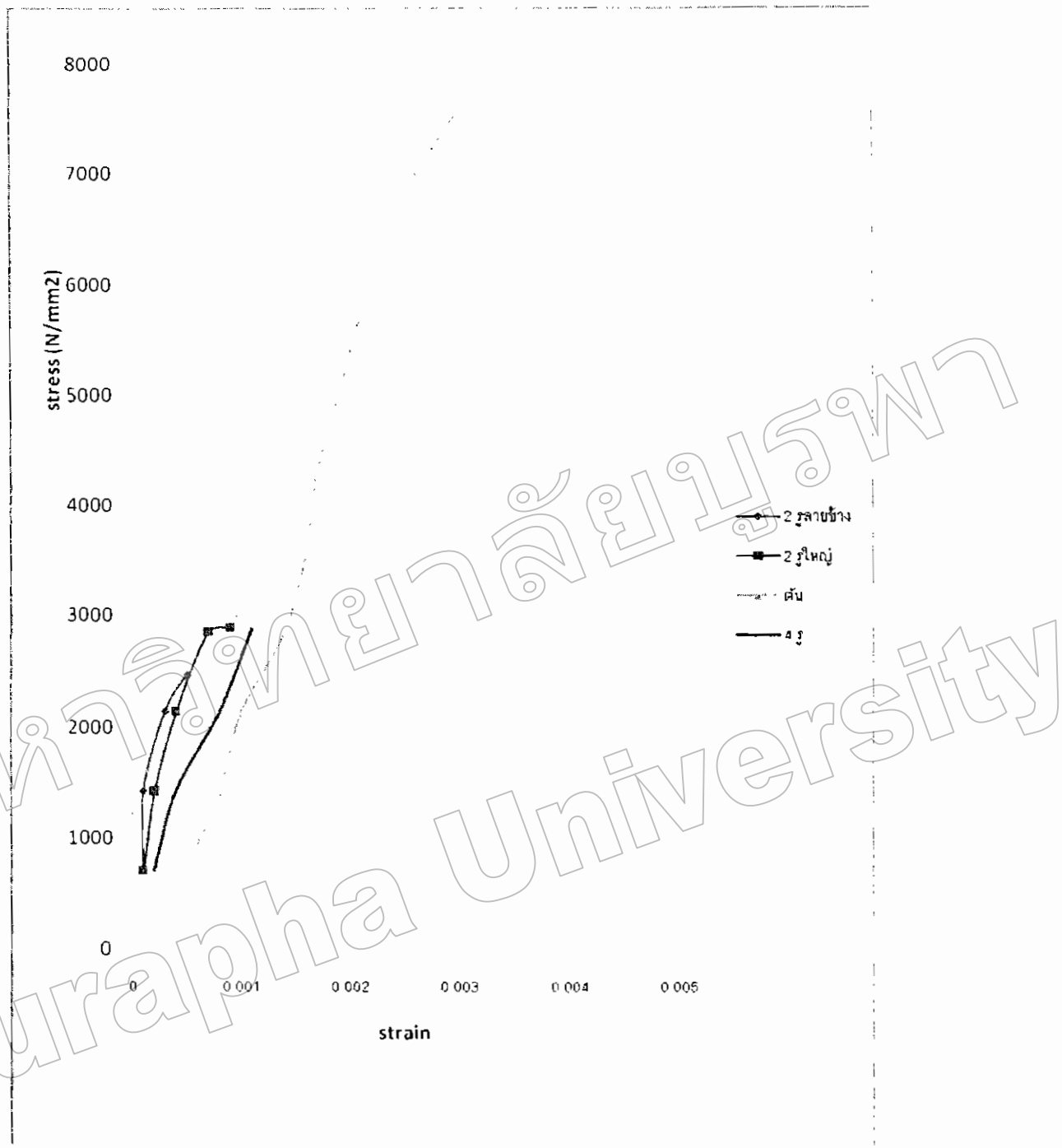
### 5.7 ผลการทดสอบกำลังรับแรงดึงอัคชินส่วนของกำแพงอิฐมอย (Compressive strength of brick wall prism)

ผลการทดสอบกำลังรับแรงดึงอัคชินส่วนของกำแพงอิฐมอย (Compressive strength of brick wall prism) พบว่าชิ้นส่วนของกำแพงอิฐมอยดันให้ค่ากำลังการหักแรงแบกหามากกว่าด้วยอย่างที่ใช้อิฐมอยประเภทอื่นๆ ดังนั้นจึงสรุปได้ว่า ถ้าต้องการให้กำแพงอิฐมอยเป็นส่วนของโครงสร้างที่รับน้ำหนักแบกหาม จะต้องใช้อิฐมอยแบบดันเท่านั้นจึงจะให้กำลังสูงสุด

เมื่อเปรียบเทียบกำลังอัคของชิ้นส่วนกำแพงอิฐมอยพบว่าหน่วยแรงดึงของกำแพงอิฐมอยดันมีค่าสูงกว่ากำลังอัคของชิ้นส่วนกำแพงอิฐมอยที่ใช้อิฐมอยแบบอื่นๆ หลายเท่า ดังแสดงในกราฟรูปที่ 5.1 และรูปที่ 5.2 ดังต่อไปนี้



รูปที่ 5.1 กราฟค่าเฉลี่ยความสัมพันธ์ระหว่าง Stress และ Strain ของชิ้นส่วนของกำแพงที่ก่อแบบ  
สลับ (Running Bond) ของอิฐมอญ 2 รูลายข้าง อิฐมอญ 2 รูไหลุ อิฐมอญตัน อิฐมอญ 4 รู



รูปที่ 5.2 กราฟค่าเฉลี่ยความสัมพันธ์ระหว่าง Stress และ Strain ของกำแพงที่ก่อแบบสลับ (Running Bond) ของอิฐมอญ 2 รูลายข้าง อิฐมอญ 2 รูไข่หมู อิฐมอญตัน อิฐมอญ 4 รู

จากตารางที่ 4.30 และตารางที่ 4.31 เมื่อเปรียบเทียบกำลังรับแรงอัดที่ได้จากการทดสอบและการคำนวณแล้วมีความแตกต่างกันในอิฐแต่ละชนิดไม่เท่ากัน โดยมีส่วนเบี่ยงเบน (Mean Deviation หรือ Average Deviation : M.D.) ของอิฐแต่ละชนิดดังนี้

อิฐมวล 2 รูลายข้าง โดยมีส่วนเบี่ยงเบน 37.11 เปอร์เซ็นต์

อิฐมวล 2 รูใหญ่ โดยมีส่วนเบี่ยงเบน 30.97 เปอร์เซ็นต์

อิฐมวลดัน โดยมีส่วนเบี่ยงเบน 14.67 เปอร์เซ็นต์

อิฐมวล 4 รู โดยมีส่วนเบี่ยงเบน 17.78 เปอร์เซ็นต์

พบว่าสูตรการคำนวณทางคณิตศาสตร์ของกำแพงอิฐมวลสามารถนำมาใช้ในการออกแบบกำแพงในการใช้งานจริงได้อย่างเช่น อิฐมวลดัน มีค่าเบี่ยงเบนน้อยมากเพียง 14.67 เปอร์เซ็นต์ โดยค่า factor C เฉลี่ยในการคำนวณสมการออกแบบกำแพงใช้เท่ากับ 0.6 ซึ่งสัมพันธ์กับค่า factor C ของกำแพงคอนกรีตเมื่อวัสดุรับกำลังอัดได้มากขึ้นค่าของ factor C จะลดลง ดังนั้นในการออกแบบกำแพงในการรับแรงเบกท่านควรใช้อิฐมวลดันในการออกแบบไม่ควรใช้อิฐมวลชนิดอื่นในการออกแบบกำแพงรับแรงเบกท่าน เพราะอิฐชนิดอื่นรับแรงเบกท่านได้ค่อนข้างน้อยกว่าอิฐมวลดันคืออิฐมวลมาก ดังนั้นจึงสรุปได้ว่า ถ้าต้องการให้กำแพงอิฐมวลเป็นส่วนของโครงสร้างที่รับน้ำหนักเบกท่านจะต้องใช้อิฐมวลแบบดันเท่านั้นจึงจะรับกำลังอัดได้สูง

#### ข้อเสนอแนะ

จากการสังเกตการวิบัติของตัวอย่างของก้อนอิฐมวล พบร่วมกับความสามารถแบ่งลักษณะของการ

วิบัติของก้อนอิฐมวลออกได้เป็น 2 แบบหลักคือ

##### 1. การวิบัติเนื่องจากแรงดึง (Tensile Splitting Failure)

เมื่อก้อนอิฐมวลรับแรงกดอัดอยู่ในแนวตั้งแล้ว แรงดึงจะเกิดขึ้นในก้อนอิฐเนื่องจากมีการขยายตัวทางค้านข้างในแนวตั้งจากกับแนวกระทำของแรงกดอัด เมื่อก้อนอิฐมวลมีความประดิษฐ์สูงหรือมีกำลังรับแรงดึงที่ต่ำมาก เมื่อเทียบกับกำลังรับแรงอัดประดิษฐ์แล้ว ก้อนอิฐมวลจะเกิดการวิบัติหรือแตกครัวในแนวกระทำของแรงกดอัดในแนวตั้ง

##### 2. การวิบัติเนื่องจากแรงดึงและแรงเฉือน (Combined Tensile Splitting and Shear Failure)

การวิบัติเนื่องจากแรงดึงและแรงเฉือนจะมีลักษณะที่เหมือนกับการวิบัติเนื่องจากแรงดึงแต่รอยแตกครัวแทนที่จะอยู่ในแนวตั้งเท่านั้น ที่จะมีรอยแตกครัวในแนวกระแทกร่วมด้วยแต่การแตกแบบทะแยงจะพนน้อยในการทดสอบ

เมื่อพิจารณาจากตัวอิฐมวลแล้วพบว่าอิฐมวลที่มีรูสองช่องการทำอิฐมวลใหม่มีรูสองช่องนั้นจะช่วยในการลดน้ำหนักของก้อนอิฐมวลเพื่อลดน้ำหนักของโครงสร้าง และเพื่อลดระยะเวลาในการเผาอิฐให้น้อยลงแต่ข้อเสียคือ อิฐที่มีรูสองช่องจะมีกำลังรับแรงกดอัดประดิษฐ์ที่ต่ำกว่าแบบไม่มีรูสอง

## บรรณานุกรม

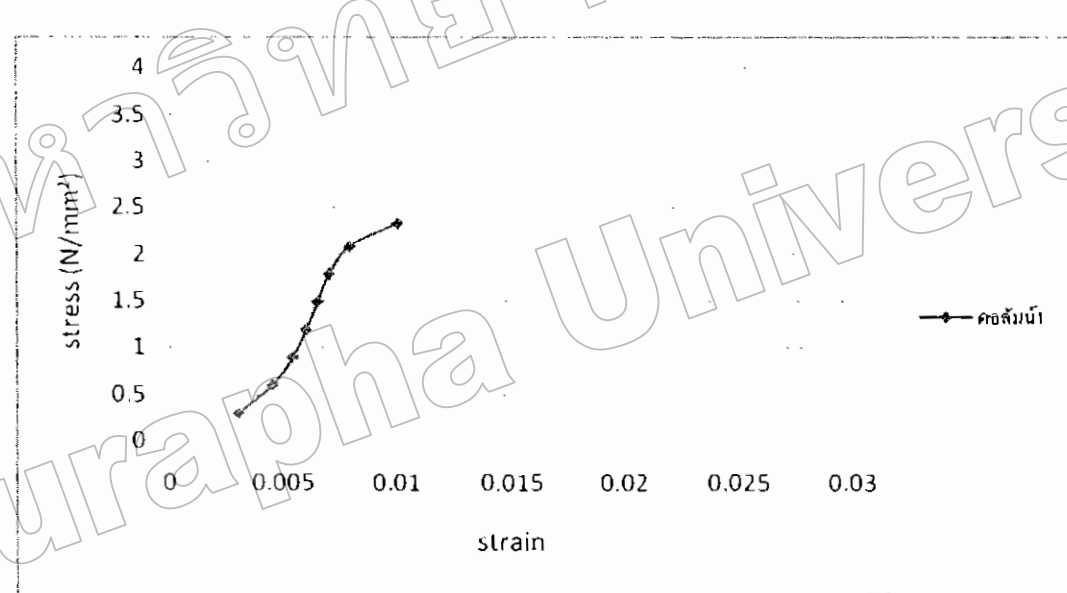
1. แผนกวิชาช่างโยธา (2543) **คู่มือปฏิบัติการทดสอบวัสดุ** (ปรับปรุงครั้งที่ 1/2543) เอกสารประกอบการเรียน แผนกวิชาช่างโยธา วิทยาลัยเทคนิคคุณสิต กรมอาชีวศึกษา กระทรวงศึกษาธิการ
2. นอ.ก.77 (2545) **มาตรฐานผลิตภัณฑ์อุตสาหกรรม อิฐก่อสร้างสามัญ** สำนักงาน มาตรฐานผลิตภัณฑ์อุตสาหกรรม กระทรวงอุตสาหกรรม
3. ผศ. ดร. สิทธิชัย แสงอาทิตย์ สาขาวิชาวิศวกรรมโยธา สำนักวิชาวิศวกรรมศาสตร์ มหาวิทยาลัยเทคโนโลยีสุรนารี มกราคม 2545
4. คู่มือการทดสอบองค์ประกอบที่ 2 การทดสอบวิศวกรรมโยธา (Materials Testing in civil Engineering.)
5. พงศ์พัน วรสุนทร สถาบันทดสอบและวิเคราะห์วัสดุ 2544. วัสดุก่อสร้าง, โครงสร้าง ซีเอ็มพี จำกัด (มหาชน), กรุงเทพฯ.
6. รศ. คำเนินกร คงพาลา และ ผศ. สรกานต์ ศรีต่องอ่อน สาขาวิชาวิศวกรรมโยธา สำนักวิชา วิศวกรรมศาสตร์ มหาวิทยาลัยเทคโนโลยีสุรนารี
7. กรรมวิธีผลิตอิฐมอยญ ฝ่ายบริการข้อมูลอุตสาหกรรม กองพัฒนาอุตสาหกรรม กรมส่งเสริมอุตสาหกรรม
8. สพธชัย เลิศวิชัย นักศึกษาระดับบัณฑิตศึกษา สาขาวิชาวิศวกรรมโยธา มหาวิทยาลัยเทคโนโลยีสุรนารี
9. มาตรฐาน ว.ส.ท. (E.I.T.Standard)
10. มาตรฐาน Australian Standard AS3700-98 การออกแบบผนังเสริมเหล็ก ด้วยวิธีกำลัง (ultimate stress design)

16. มาตรฐาน American Concrete Institute ACI 530-92 การออกแบบผนังเสริมเหล็กโดยวิธี  
หน่วยแรงใช้งาน (working stress design)

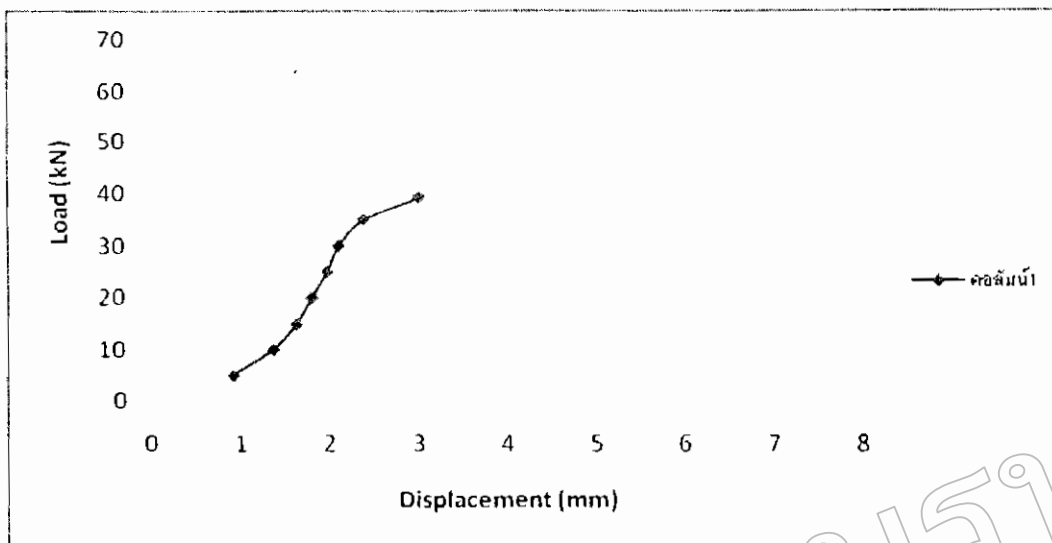


**ภาคผนวก ก**

PB-2H/M <sub>2</sub> /I-01			
Load (kN)	Stress (N/mm <sup>2</sup> )	Displacement (mm)	Strain
5	0.297	0.92	0.0030
10	0.595	1.37	0.0045
15	0.892	1.63	0.0054
20	1.190	1.80	0.0060
25	1.488	1.97	0.0065
30	1.785	2.10	0.0070
35	2.083	2.38	0.0079
39.2	2.333	3.00	0.0100

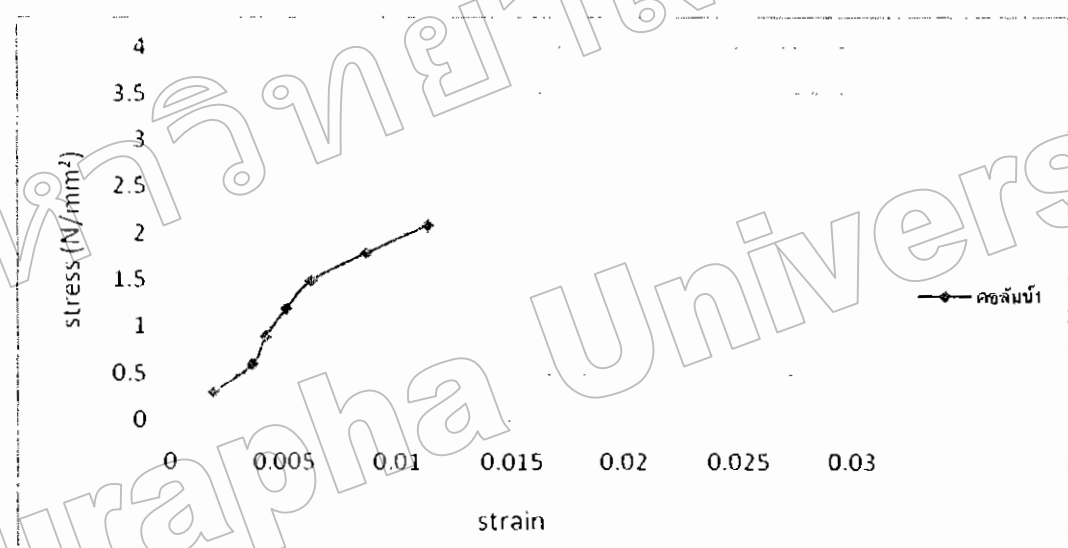


รูปที่ 1 กราฟความสัมพันธ์ระหว่าง Stress และ Strain ของชิ้นส่วนของกำแพงที่ก่อแบบสลับ (Running Bond) ที่ความหนาของชิ้นเน้นอิฐตัวที่ 1 เซ็นติเมตร



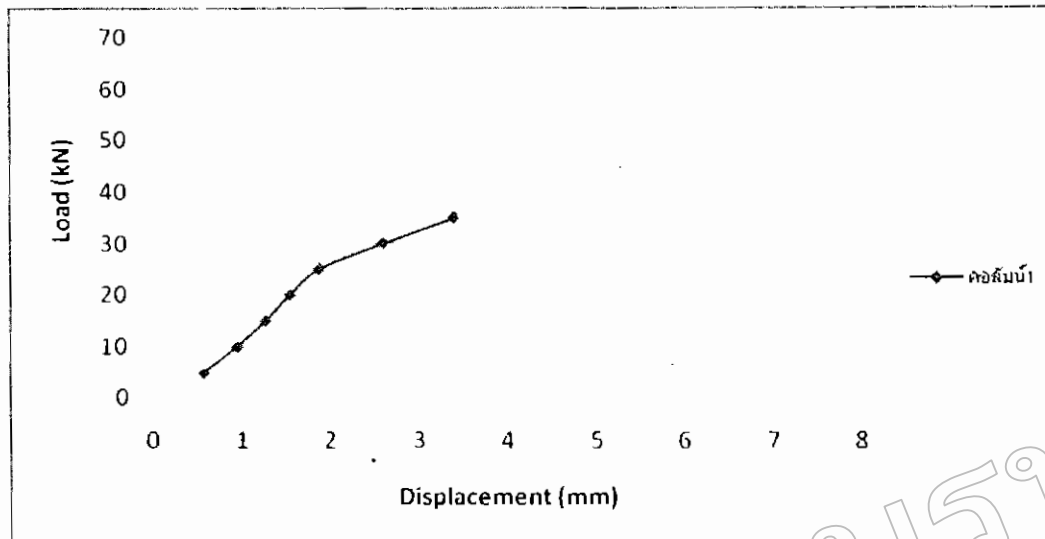
รูปที่ 2 กราฟความสัมพันธ์ระหว่าง Load และ Displacement ของชิ้นส่วนของคำม彭ที่ก่อแบบสลับ (Running Bond) ที่ความหนาของซีเมนต์มอร์ตาร์ที่ 1 เช่นเดิมคร

PB-2H/M <sub>2</sub> /I-02			
Load (kN)	Stress (N/mm <sup>2</sup> )	Displacement (mm)	Strain
5	0.297	0.57	0.0019
10	0.595	0.95	0.0036
15	0.892	1.27	0.0042
20	1.190	1.55	0.0051
25	1.488	1.88	0.0062
30	1.785	2.60	0.0086
34.7	2.083	3.40	0.0113



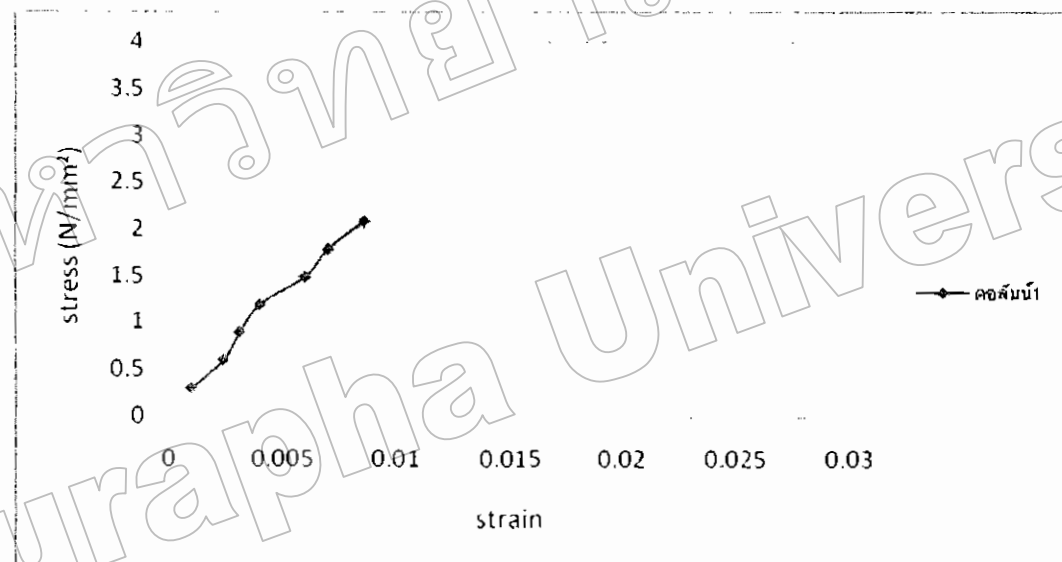
รูปที่ 3 กราฟความสัมพันธ์ระหว่าง Stress และ Strain ของชิ้นส่วนของกำแพงที่ก่อแบบสลับ

(Running Bond) ที่ความหนาของซีเมนต์มอร์ตาร์ที่ 1 เซ็นติเมตร



รูปที่ 4 กราฟความสัมพันธ์ระหว่าง Load และ Displacement ของชิ้นส่วนของกำแพงที่ก่อแบบสลับ (Running Bond) ที่ความหนาของชิ้ment ต์มอร์ต้าร์ที่ 1 เซ็นติเมตร

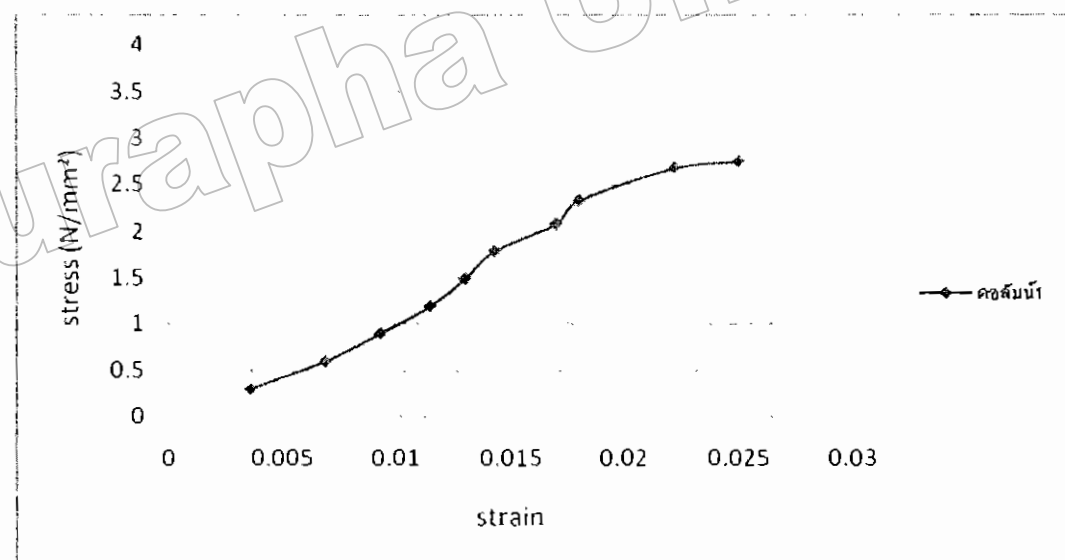
PB-2H/M <sub>2</sub> /I-03			
Load (kN)	Stress (N/mm <sup>2</sup> )	Displacement (mm)	Strain
5	0.297	0.30	0.0010
10	0.595	0.72	0.0024
15	0.892	0.95	0.0031
20	1.190	1.22	0.0040
25	1.488	1.80	0.0060
30	1.785	2.11	0.0070
33.8	2.083	2.60	0.0086



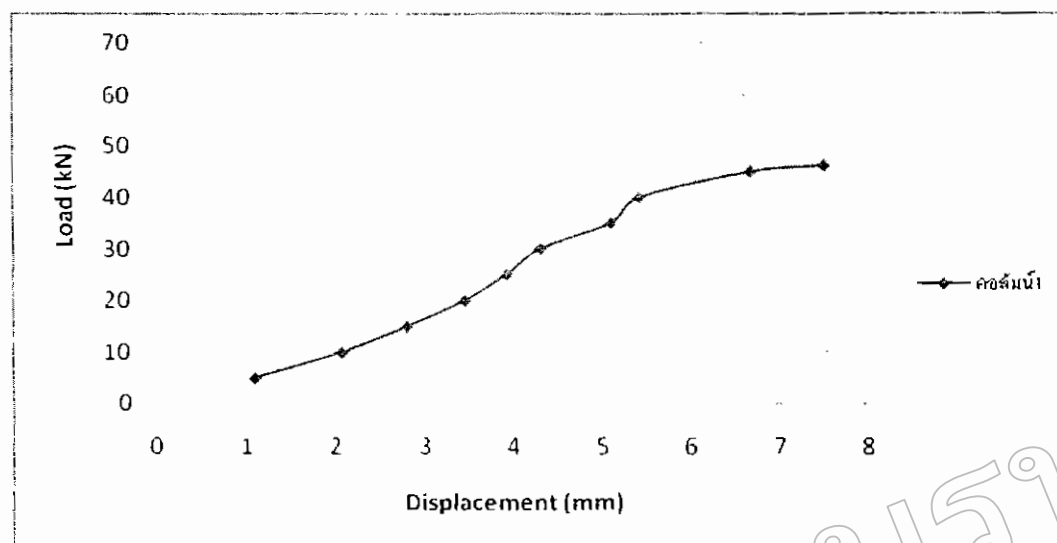
รูปที่ 5 กราฟความสัมพันธ์ระหว่าง Stress และ Strain ของชิ้นส่วนของกำแพงที่ก่อแบบลักษณะ (Running Bond) ที่ความหนาของชิ้มเนต์มอร์ตาร์ที่ 1 เซ็นติเมตร

ตารางที่ ก-3 ผลการทดสอบกำลังอัดซินส่วนของกำแพงอิฐมวล 2 รูใหญ่ โดยใช้ชีเมนต์มอร์ตาร์ เสื่อผสาน  
เอง ความหนา 1 ซม. ได้ผลดังนี้

PB-2B/M <sub>j</sub> /1-01			
Load (kN)	Stress (N/mm <sup>2</sup> )	Displacement (mm)	Strain
5	0.297	1.10	0.0036
10	0.595	2.07	0.0069
15	0.892	2.80	0.0093
20	1.190	3.45	0.0115
25	1.488	3.92	0.0130
30	1.785	4.31	0.0143
35	2.083	5.10	0.0170
40	2.333	5.42	0.0180
45	2.678	6.67	0.0222
46.2	2.75	7.50	0.0250



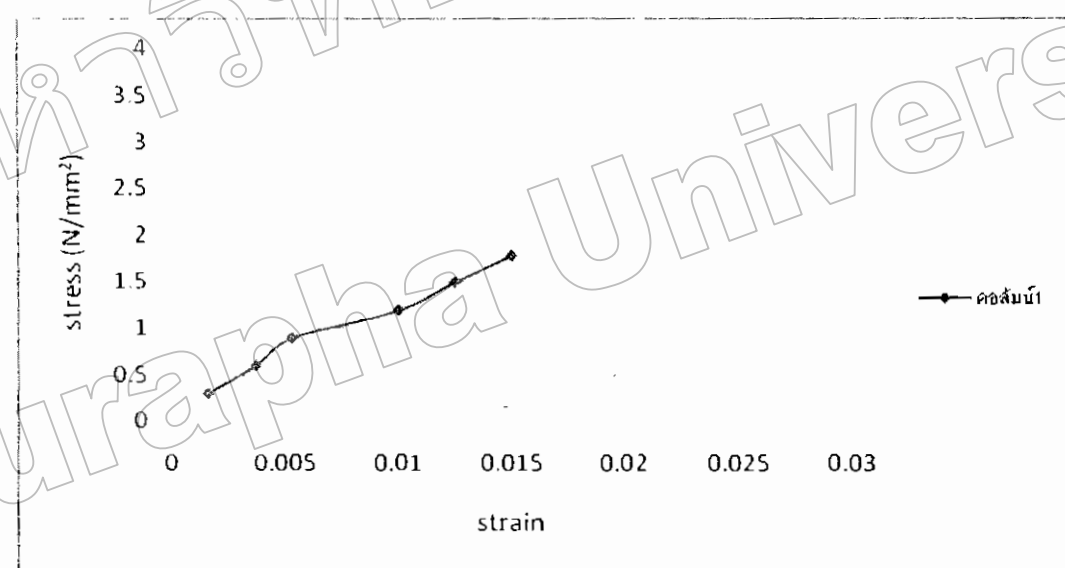
รูปที่ 7 กราฟความสัมพันธ์ระหว่าง Stress และ Strain ของซินส่วนของกำแพงที่ก่อแบบลับ (Running Bond) ที่ความหนาของชีเมนต์มอร์ตาร์ที่ 1 เซ็นติเมตร



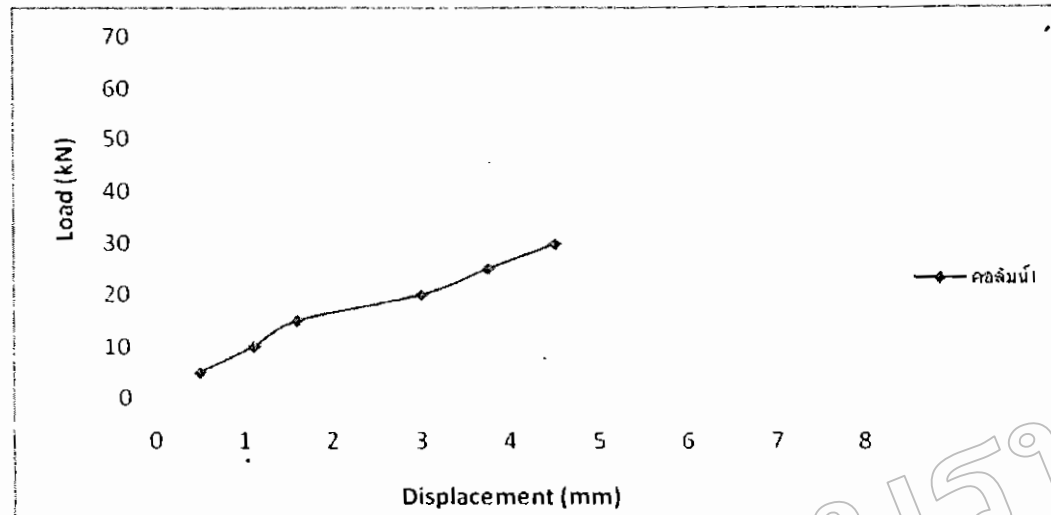
รูปที่ 8 กราฟความสัมพันธ์ระหว่าง Load และ Displacement ของชิ้นตัวนของกำแพงที่ก่อแบบสลับ (Running Bond) ที่ความหนาของชิ้นเด้มอร์ตาร์ที่ 1 เซ็นติเมตร

ตารางที่ ก-4 ผลการทดสอบกำลังอัดชิ้นส่วนของกำแพงอิฐมอญ 2 รู ใหญ่ โดยใช้ชีเมนต์อร์ด้าร์ เสือผสาน  
ของ ความหนา 1 ซม. ได้ผลดังนี้

PB-2B/M <sub>r</sub> /1-02			
Load (kN)	Stress (ksc)	Displacement (mm)	Strain
5	0.297	0.50	0.0016
10	0.595	1.11	0.0037
15	0.892	1.60	0.0053
20	1.190	3.00	0.0100
25	1.488	3.75	0.0125
29.8	1.773	4.50	0.0150



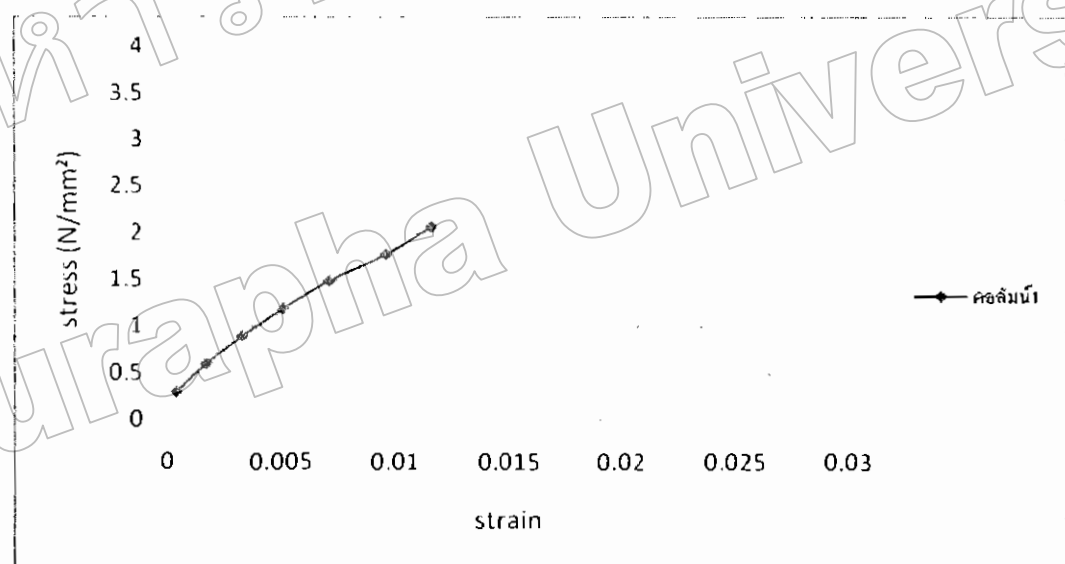
รูปที่ 9 กราฟความสัมพันธ์ระหว่าง Stress และ Strain ของชิ้นส่วนของกำแพงที่ก่อแบบสลับ (Running Bond) ที่ความหนาของชีเมนต์อร์ด้าร์ที่ 1 เซ็นติเมตร



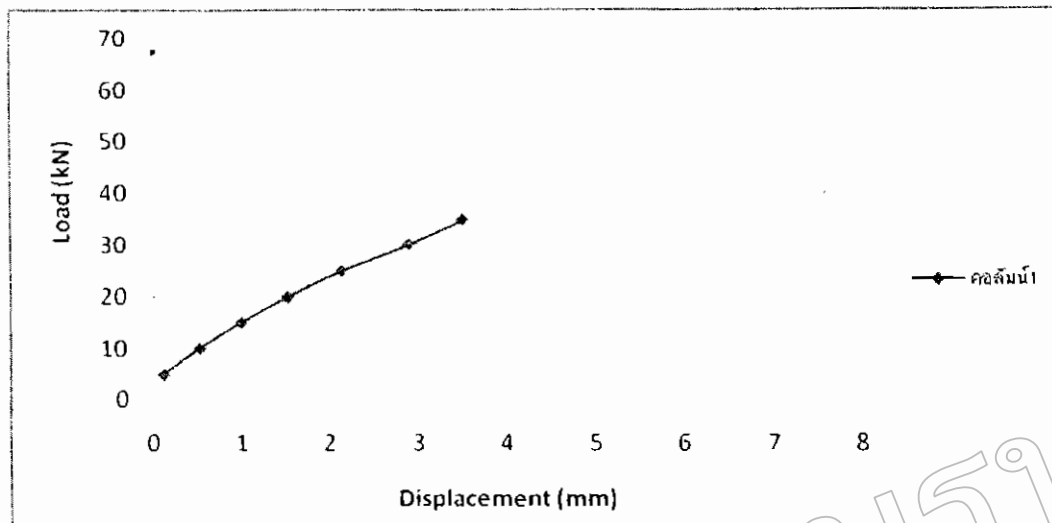
รูปที่ 10 กราฟความสัมพันธ์ระหว่าง Load และ Displacement ของชิ้นส่วนของกำแพงที่ก่อแบบสลับ (Running Bond) ที่ความหนาของชิ้นตอนต้นอยู่ที่ 1 เซนติเมตร

ตารางที่ ก-5 ผลการทดสอบกำลังอัดชิ้นส่วนของกำแพงอิฐมอญ 2 รูใหญ่ โดยใช้ชิ้nenต์มอร์ต้าร์ เสือผสาน  
ของ ความหนา 1 ซม. ได้ผลดังนี้

PB-2B/M <sub>1</sub> /1-03			
Load (kN)	Stress (ksc)	Displacement (mm)	Strain
5	0.297	0.12	0.0004
10	0.595	0.53	0.0017
15	0.892	1.00	0.0033
20	1.190	1.53	0.0051
25	1.488	2.14	0.0071
30	1.785	2.89	0.0096
34.8	2.071	3.50	0.0116



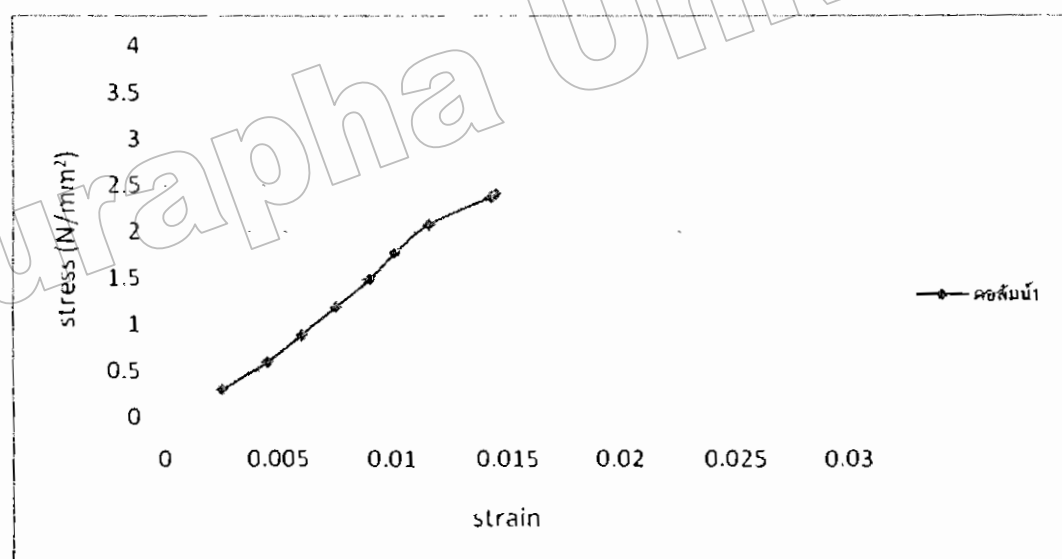
รูปที่ 11 กราฟความสัมพันธ์ระหว่าง Stress และ Strain ของชิ้นส่วนของกำแพงที่ก่อแบบสลับ (Running Bond) ที่ความหนาของชิ้nenต์มอร์ต้าร์ที่ 1 เซ็นติเมตร



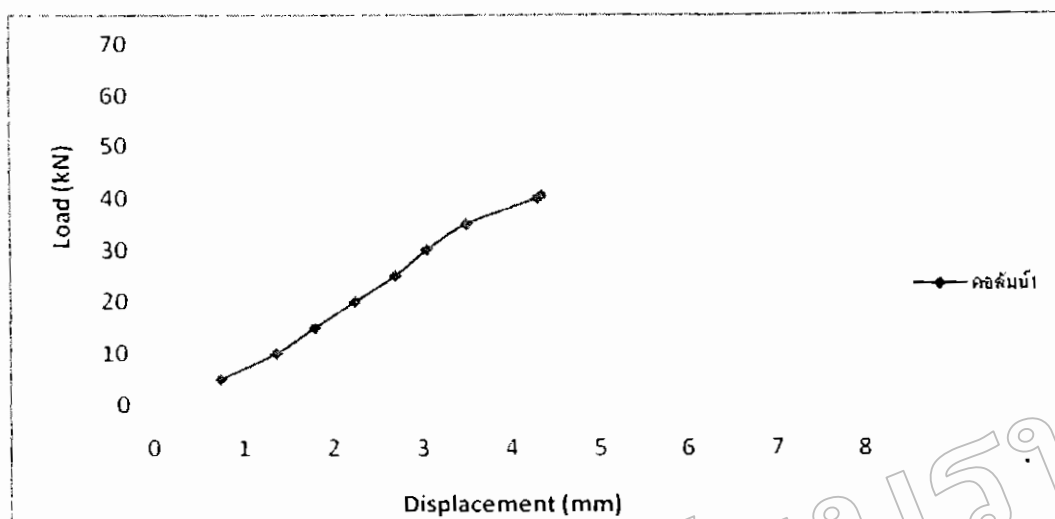
รูปที่ 12 กราฟความสัมพันธ์ระหว่าง Load และ Displacement ของชิ้นส่วนของกำแพงที่ก่อแบบสลับ (Running Bond) ที่ความหนาของชิ้มเนินตื้นอยู่ที่ 1 เซ็นติเมตร

ตารางที่ ผลการทดสอบกำลังอัคชินส่วนของกำแพงอิฐมอญ 2 รูใหญ่ โดยใช้ชีเมนต์มอร์ตาร์ TPI ความหนา 1 ซม. จำนวน 3 ตัวอย่าง ได้ผลดังนี้

PB-2B/M <sub>2</sub> /1-01			
Load (kN)	Stress (N/mm <sup>2</sup> )	Displacement (mm)	Strain
5	0.297	0.75	0.0025
10	0.595	1.37	0.0045
15	0.892	1.80	0.0060
20	1.190	2.25	0.0075
25	1.488	2.70	0.0090
30	1.785	3.05	0.0101
35	2.083	3.50	0.0116
40	2.380	4.30	0.0143
40.6	2.416	4.35	0.0145

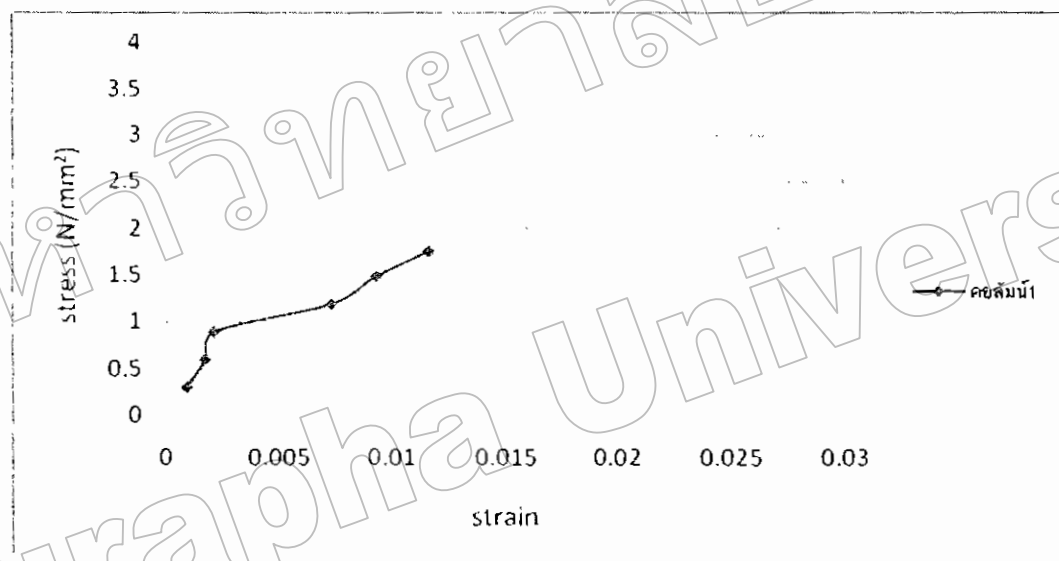


รูปที่ 13 กราฟความสัมพันธ์ระหว่าง Stress และ Strain ของชิ้นส่วนของกำแพงที่ก่อแบบสลับ (Running Bond) ที่ความหนาของชีเมนต์มอร์ตาร์ที่ 1 เซ็นติเมตร

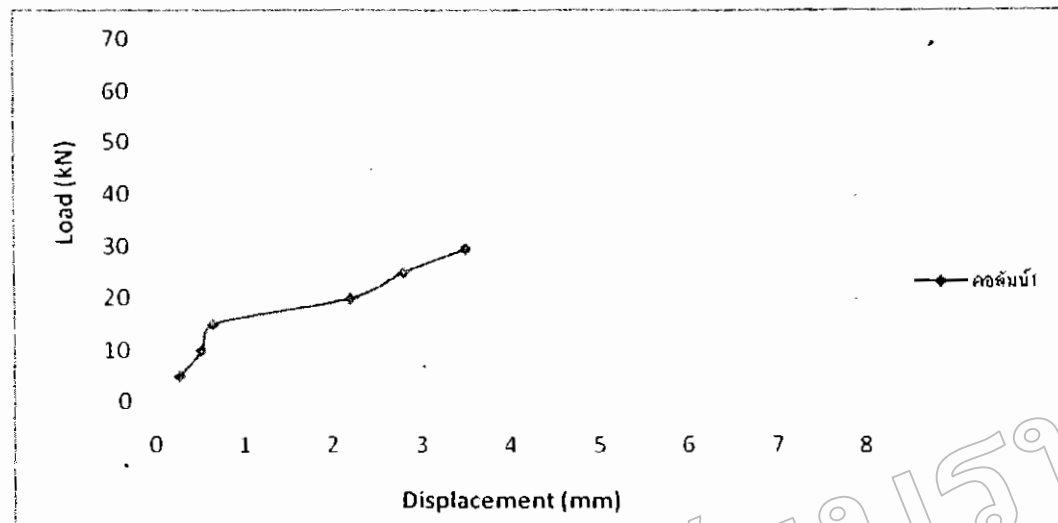


รูปที่ 14 กราฟความสัมพันธ์ระหว่าง Load และ Displacement ของชิ้นส่วนของกำแพงที่ก่อแบบสลับ (Running Bond) ที่ความหนาของชีเมนต์มอร์ตาร์ที่ 1 เซ็นtimتر

PB-2B/M <sub>2</sub> /1-02			
Load (kN)	Stress (N/mm <sup>2</sup> )	Displacement (mm)	Strain
5	0.297	0.27	0.0009
10	0.595	0.52	0.0017
15	0.892	0.65	0.0021
20	1.190	2.20	0.0073
25	1.488	2.80	0.0093
29.5	1.755	3.50	0.0116

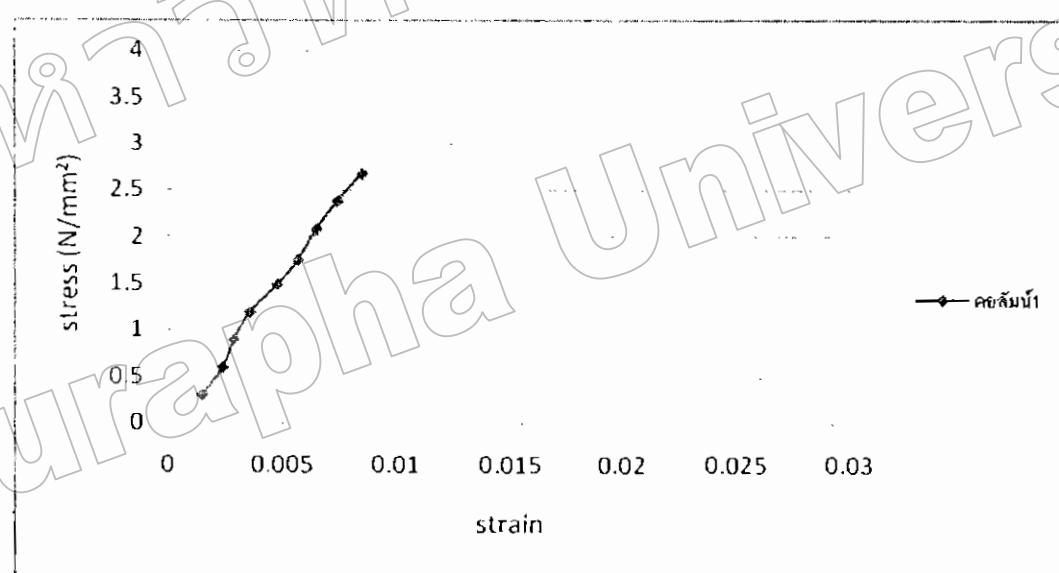


รูปที่ 15 กราฟความสัมพันธ์ระหว่าง Stress และ Strain ของชิ้นส่วนของกำแพงที่ก่อแบบสลับ (Running Bond) ที่ความหนาของชีเมนต์มอร์ตาร์ที่ 1 เซ็นติเมตร

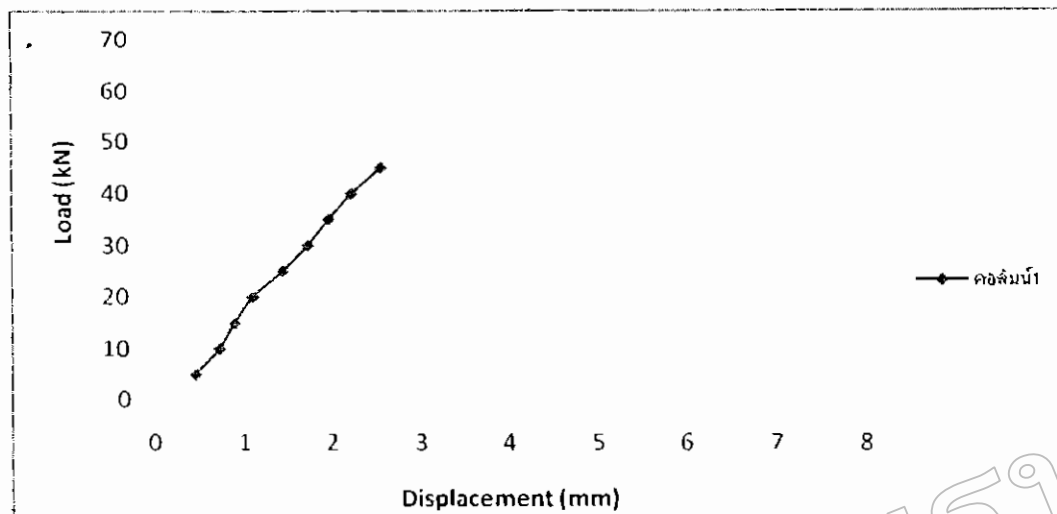


รูปที่ 16 กราฟความสัมพันธ์ระหว่าง Load และ Displacement ของชิ้นส่วนของกำแพงที่ก่อแบบสลับ (Running Bond) ที่ความหนาของชิ้นเนินต่ำอัตราที่ 1 เซ็นติเมตร

PB-2B/M <sub>2</sub> /1-03			
Load (kN)	Stress (ksc)	Displacement (mm)	Strain
5	0.297	0.45	0.0015
10	0.595	0.72	0.0024
15	0.892	0.89	0.0029
20	1.190	1.10	0.0036
25	1.488	1.44	0.0048
30	1.785	1.72	0.0057
35	2.083	1.96	0.0065
40	2.380	2.22	0.0074
45	2.678	2.55	0.0085



รูปที่ 17 กราฟความสัมพันธ์ระหว่าง Stress และ Strain ของชิ้นส่วนของกำแพงที่ก่อแบบสลับ (Running Bond) ที่ความหนาของชิ้นเม่นคืบอีร์ต้าร์ที่ 1 เซ็นติเมตร



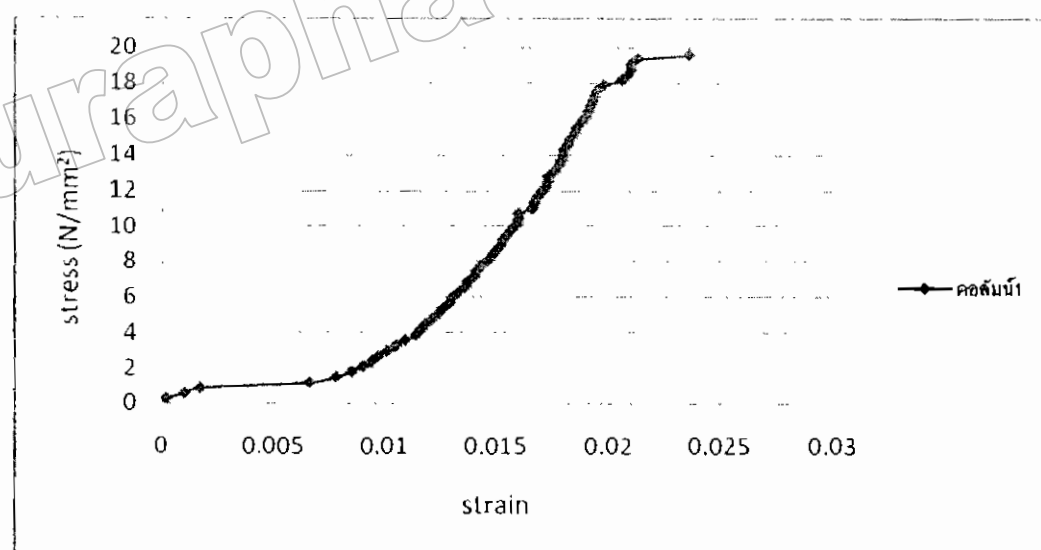
รูปที่ 18 กราฟความสัมพันธ์ระหว่าง Load และ Displacement ของชิ้นส่วนของกำแพงที่ก่อแบบสลับ (Running Bond) ที่ความหนาของชิ้มแต่ละตัวที่ 4 เซ็นติเมตร

ตารางที่ ผลการทดสอบกำลังอัดขึ้นส่วนของกำแพงอิฐมอญตัน โดยใช้ชีเมนต์มอร์ตาร์ เสื่อ ความหนา 1 ซม.  
จำนวน 3 ด้าวบ่าง ได้ผลดังนี้

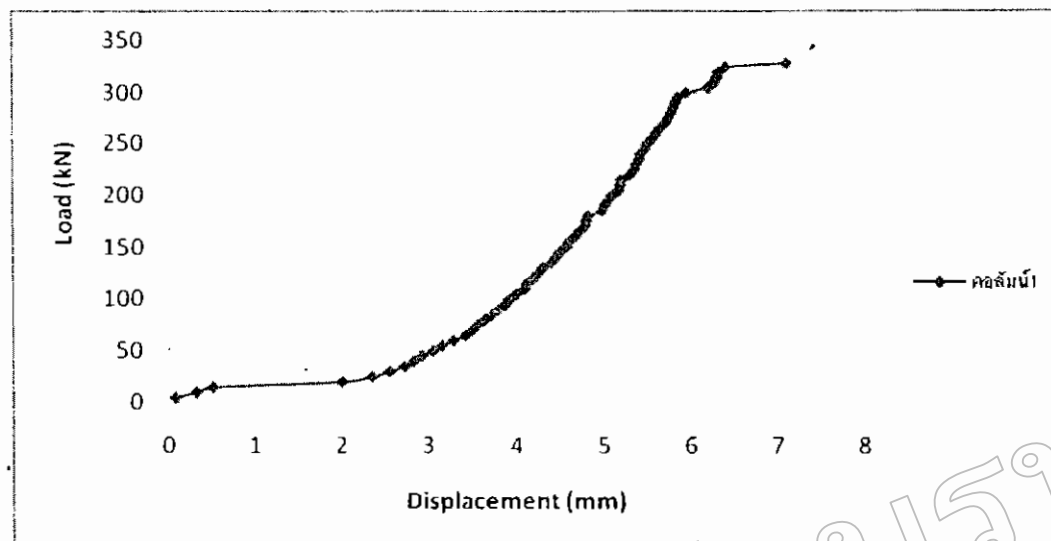
PB-F/M <sub>1</sub> /1-01			
Load (kN)	Stress (N/mm <sup>2</sup> )	Displacement (mm)	Strain
5	0.297	0.08	0.0002
10	0.595	0.32	0.0010
15	0.892	0.51	0.0017
20	1.190	2.00	0.0066
25	1.488	2.35	0.0078
30	1.785	2.55	0.0085
35	2.083	2.72	0.0090
40	2.380	2.83	0.0094
45	2.678	2.92	0.0097
50	2.976	3.05	0.0101
55	3.273	3.15	0.0105
60	3.571	3.28	0.0109
65	3.869	3.42	0.0114
70	4.166	3.50	0.0116
75	4.464	3.56	0.0118
80	4.761	3.64	0.0121
85	5.059	3.72	0.0124
90	5.357	3.80	0.0126
95	5.654	3.88	0.0129
100	5.952	3.92	0.0130
105	6.250	4.00	0.0133
110	6.547	4.10	0.0136
115	6.845	4.12	0.0137
120	7.142	4.20	0.0140
125	7.440	4.25	0.0141

PB-F/M <sub>i</sub> /1-01			
Load (kN)	Stress (N/mm <sup>2</sup> )	Displacement (mm)	Strain
130	7.738	4.30	0.0143
135	8.035	4.40	0.0146
140	8.333	4.45	0.0148
145	8.630	4.50	0.0150
150	8.928	4.57	0.0152
155	9.226	4.60	0.0153
160	9.523	4.67	0.0155
165	9.821	4.72	0.0157
170	10.119	4.79	0.0159
175	10.416	4.80	0.0160
180	10.714	4.82	0.0160
185	11.011	4.98	0.0166
190	11.309	5.01	0.0167
195	11.607	5.05	0.0168
200	11.904	5.10	0.0170
205	12.202	5.17	0.0172
210	12.500	5.19	0.0173
215	12.797	5.20	0.0173
220	13.095	5.30	0.0176
225	13.392	5.35	0.0178
230	13.690	5.37	0.0179
235	13.988	5.41	0.0180
240	14.285	5.42	0.0180
245	14.583	5.47	0.0182
250	14.880	5.50	0.0183
255	15.178	5.55	0.0185
260	15.476	5.60	0.0186

265	15.773	5.64	0.0188
PB-F/M <sub>1</sub> /1-01			
Load (kN)	Stress (N/mm <sup>2</sup> )	Displacement (mm)	Strain
270	16.071	5.70	0.0190
275	16.369	5.74	0.0191
280	16.666	5.77	0.0192
285	16.964	5.80	0.0193
290	17.261	5.82	0.0194
295	17.559	5.85	0.0195
300	17.857	5.95	0.0198
305	18.154	6.20	0.0206
310	18.452	6.27	0.0209
315	18.750	6.30	0.0210
320	19.047	6.32	0.0210
325	19.345	6.40	0.0213
328.7	19.565	7.10	0.0236



รูปที่ 19 กราฟความสัมพันธ์ระหว่าง Stress และ Strain ของชิ้นส่วนของกำแพงที่ก่อแบบสลับ (Running Bond) ที่ความหนาของชิ้มเม้นต์มอร์ตาร์ที่ 1 เซ็นติเมตร

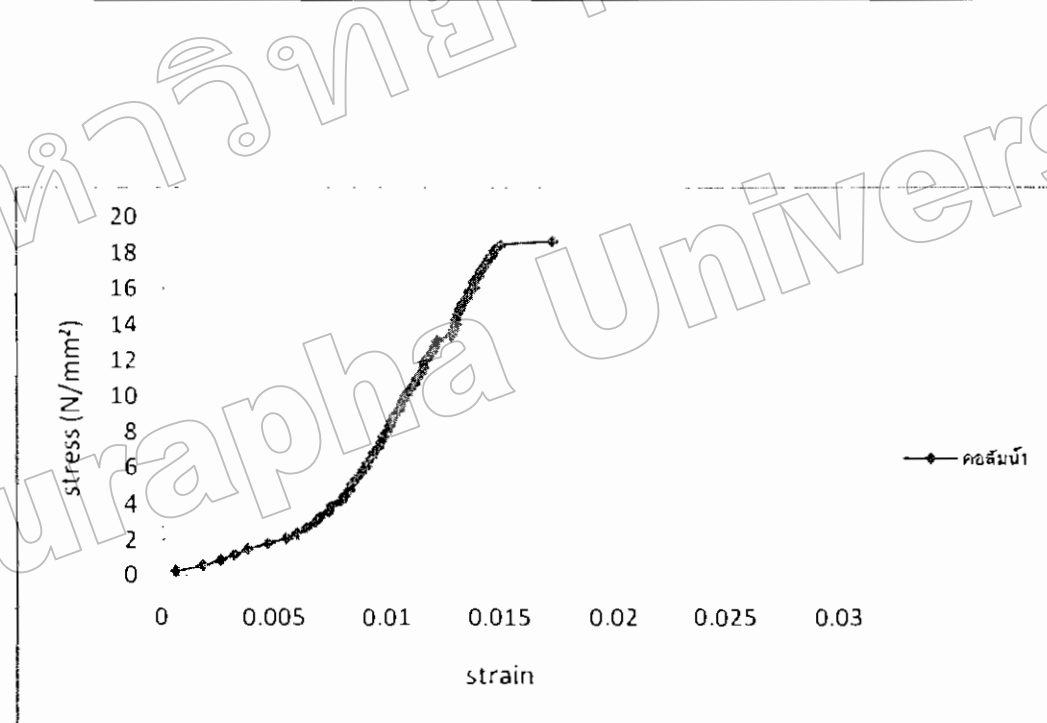


รูปที่ 20 กราฟความสัมพันธ์ระหว่าง Load และ Displacement ของชิ้นส่วนของกำแพงที่ก่อแบบสลับ (Running Bond) ที่ความหนาของชิ้นเม็ดมอร์ตาร์ที่ 1 เซ็นติเมตร

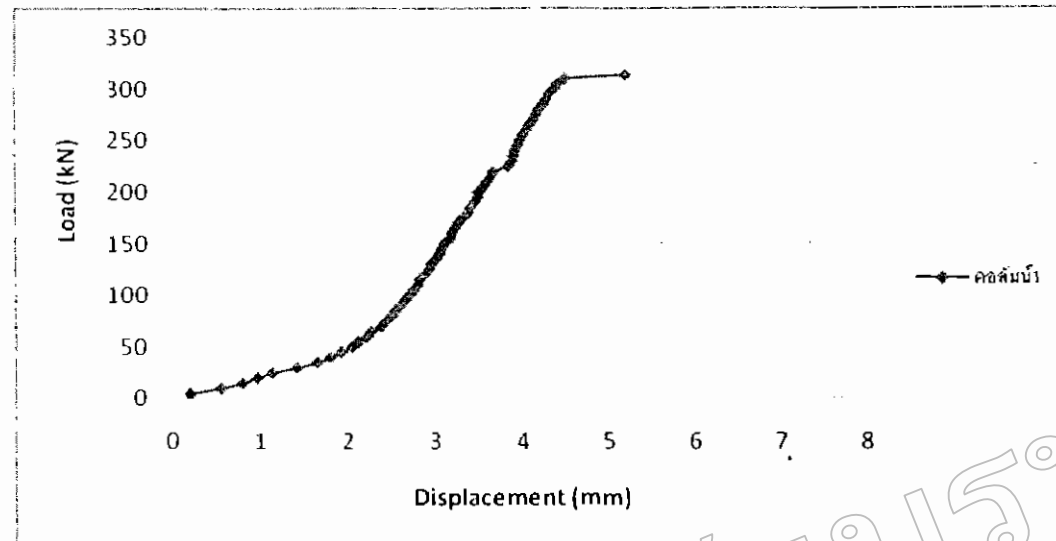
PB-F/M <sub>f</sub> /1-02			
Load (kN)	Stress (N/mm <sup>2</sup> )	Displacement (mm)	Strain
5	0.297	0.20	0.0006
10	0.595	0.55	0.0018
15	0.892	0.80	0.0026
20	1.190	0.97	0.0032
25	1.488	1.14	0.0038
30	1.785	1.42	0.0047
35	2.083	1.65	0.0055
40	2.380	1.80	0.0060
45	2.678	1.92	0.0064
50	2.976	2.05	0.0068
55	3.273	2.12	0.0070
60	3.571	2.22	0.0074
65	3.869	2.27	0.0075
70	4.166	2.38	0.0079
75	4.464	2.43	0.0081
80	4.761	2.50	0.0083
85	5.059	2.54	0.0084
90	5.357	2.60	0.0086
95	5.654	2.65	0.0088
100	5.952	2.70	0.0090
105	6.250	2.75	0.0091
110	6.547	2.80	0.0093
115	6.845	2.82	0.0094
120	7.142	2.88	0.0096
125	7.440	2.93	0.0097
130	7.738	2.95	0.0098
135	8.035	3.01	0.0100

140	8.333	3.05	0.0101
PB-F/M <sub>r</sub> /1-02			
Load (kN)	Stress (N/mm <sup>2</sup> )	Displacement (mm)	Strain
145	8.630	3.07	0.0102
150	8.928	3.11	0.0103
155	9.226	3.17	0.0105
160	9.523	3.19	0.0106
165	9.821	3.22	0.0107
170	10.119	3.26	0.0108
175	10.416	3.31	0.0110
180	10.714	3.38	0.0112
185	11.011	3.40	0.0113
190	11.309	3.45	0.0115
195	11.607	3.49	0.0116
200	11.904	3.50	0.0116
205	12.202	3.55	0.0118
210	12.500	3.60	0.0120
215	12.797	3.65	0.0121
220	13.095	3.67	0.0122
225	13.392	3.84	0.0128
230	13.690	3.89	0.0129
235	13.988	3.90	0.0130
240	14.285	3.92	0.0130
245	14.583	3.95	0.0131
250	14.880	3.98	0.0132
255	15.178	4.01	0.0133
260	15.476	4.05	0.0135
265	15.773	4.09	0.0136
270	16.071	4.14	0.0138

275	16.369	4.17	0.0136
280	16.666	4.20	0.0140
PB-F/M <sub>1</sub> /I-02			
Load (kN)	Stress (N/mm <sup>2</sup> )	Displacement (mm)	Strain
285	16.964	4.25	0.0141
290	17.261	4.29	0.0143
295	17.559	4.32	0.0144
300	17.857	4.38	0.0146
305	18.154	4.42	0.0147
310	18.452	4.50	0.0150
313.4	18.654	5.20	0.0173



รูปที่ 21 กราฟความสัมพันธ์ระหว่าง Stress และ Strain ของชิ้นส่วนของกำแพงที่ก่อแบบสลับ (Running Bond) ที่ความหนาของชิ้เม็นต์มอร์ต้าร์ที่ 1 เซ็นติเมตร

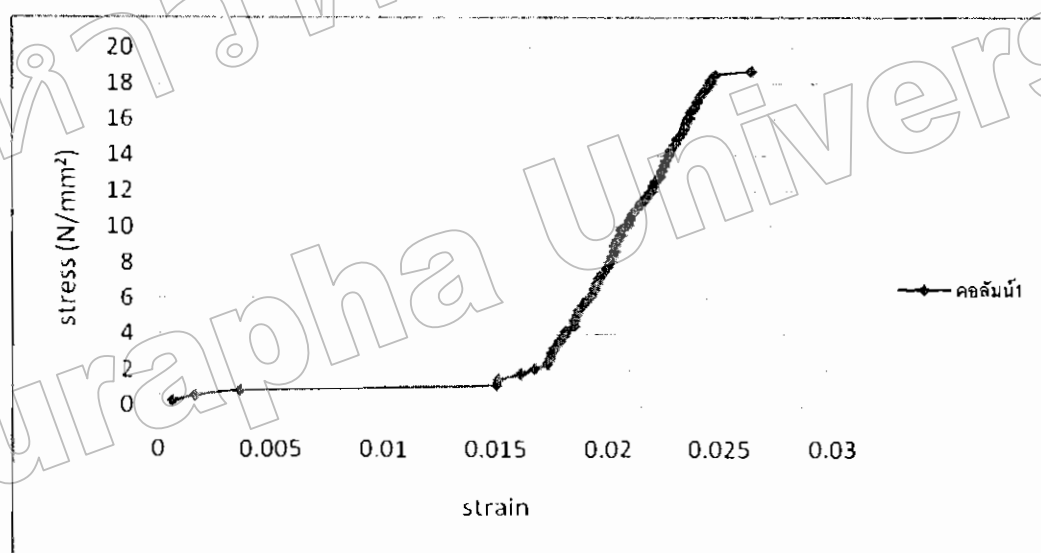


รูปที่ 22 กราฟความสัมพันธ์ระหว่าง Load และ Displacement ของชิ้นส่วนของก้าแพงที่ก่อแบบสลับ (Running Bond) ที่ความหนาของชิ้นmenต์มอร์ต้าร์ที่ 1 เซ็นติเมตร

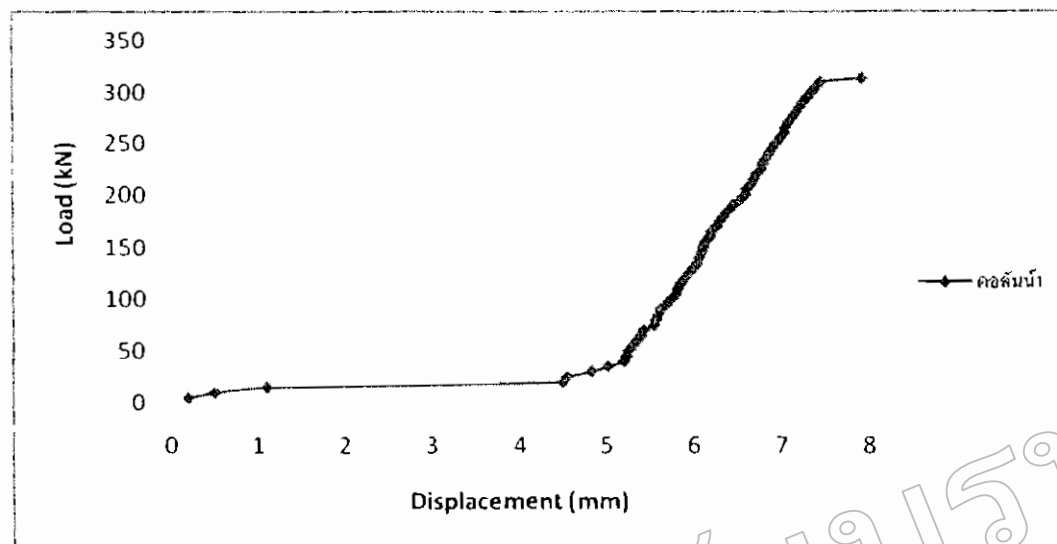
PB-F/M <sub>1</sub> /1-03			
Load (kN)	Stress (N/mm <sup>2</sup> )	Displacement (mm)	Strain
5	0.297	0.20	0.0006
10	0.595	0.50	0.0016
15	0.892	1.10	0.0036
20	1.190	4.50	0.0150
25	1.488	4.55	0.0151
30	1.785	4.83	0.0161
35	2.083	5.02	0.0167
40	2.380	5.20	0.0173
45	2.678	5.23	0.0174
50	2.976	5.25	0.0175
55	3.273	5.30	0.0176
60	3.571	5.35	0.0178
65	3.869	5.40	0.0180
70	4.166	5.43	0.0181
75	4.464	5.55	0.0185
80	4.761	5.57	0.0185
85	5.059	5.60	0.0186
90	5.357	5.62	0.0187
95	5.654	5.69	0.0189
100	5.952	5.74	0.0191
105	6.250	5.80	0.0193
110	6.547	5.82	0.0194
115	6.845	5.85	0.0195
120	7.142	5.90	0.0196
125	7.440	5.95	0.0198
130	7.738	6.00	0.0200
135	8.035	6.05	0.0201

140	8.333	6.07	0.0202
PB-F/M <sub>1</sub> /1-03			
Load (kN)	Stress (N/mm <sup>2</sup> )	Displacement (mm)	Strain
145	8.630	6.09	0.0203
150	8.928	6.11	0.0203
155	9.226	6.14	0.0204
160	9.523	6.19	0.0206
165	9.821	6.20	0.0206
170	10.119	6.27	0.0209
175	10.416	6.30	0.0210
180	10.714	6.35	0.0211
185	11.011	6.40	0.0213
190	11.309	6.45	0.0215
195	11.607	6.53	0.0217
200	11.904	6.59	0.0219
205	12.202	6.60	0.0220
210	12.500	6.65	0.0221
215	12.797	6.69	0.0223
220	13.095	6.72	0.0224
225	13.392	6.77	0.0225
230	13.690	6.79	0.0226
235	13.988	6.82	0.0227
240	14.285	6.86	0.0228
245	14.583	6.90	0.0230
250	14.880	6.94	0.0231
255	15.178	6.99	0.0233
260	15.476	7.04	0.0234
265	15.773	7.05	0.0235
270	16.071	7.08	0.0236

275	16.369	7.13	0.0237
280	16.666	7.17	0.0239
PB-F/M <sub>1</sub> /1-03			
Load (kN)	Stress (N/mm <sup>2</sup> )	Displacement (mm)	Strain
285	16.964	7.21	0.0240
290	17.261	7.25	0.0241
295	17.559	7.30	0.0243
300	17.857	7.35	0.0245
305	18.154	7.40	0.0246
310	18.452	7.45	0.0248
315	18.654	7.92	0.0264



รูปที่ 23 กราฟความสัมพันธ์ระหว่าง Stress และ Strain ของชิ้นส่วนของกำแพงที่ก่อแบบสลับ (Running Bond) ที่ความหนาของชิ้มนต์มอร์ตาร์ที่ 1 เซ็นติเมตร

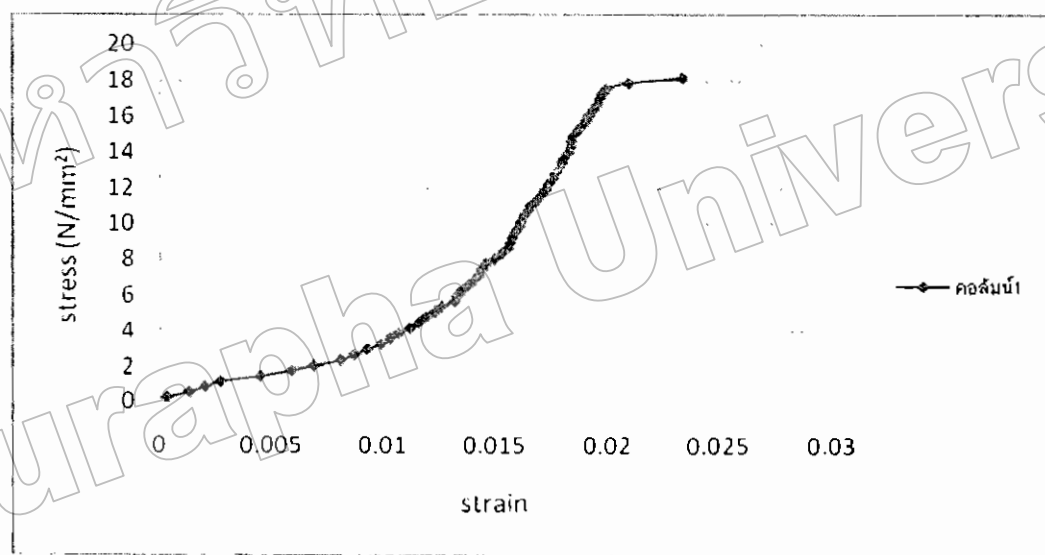


รูปที่ 24 กราฟความสัมพันธ์ระหว่าง Load และ Displacement ของชิ้นส่วนของก้าแพงที่ก่อแบบสลับ (Running Bond) ที่ความหนาของซีเมนต์มอร์ตาร์ที่ 1 เซ็นติเมตร

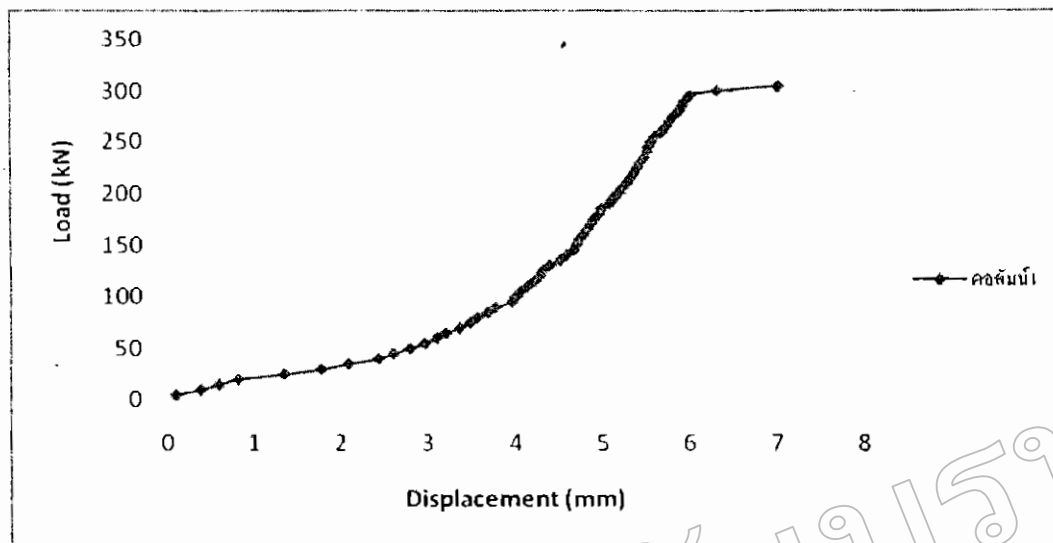
PB-F/M <sub>2</sub> /1-01			
Load (kN)	Stress (N/mm <sup>2</sup> )	Displacement (mm)	Strain
5	0.297	0.10	0.0003
10	0.595	0.39	0.0013
15	0.892	0.60	0.0020
20	1.190	0.82	0.0027
25	1.488	1.35	0.0045
30	1.785	1.78	0.0059
35	2.083	2.09	0.0069
40	2.380	2.44	0.0081
45	2.678	2.64	0.0087
50	2.976	2.80	0.0093
55	3.273	2.97	0.0099
60	3.571	3.11	0.0103
65	3.869	3.21	0.0107
70	4.166	3.37	0.0112
75	4.464	3.49	0.0116
80	4.761	3.57	0.0119
85	5.059	3.69	0.0123
90	5.357	3.78	0.0126
95	5.654	3.97	0.0132
100	5.952	4.01	0.0133
105	6.250	4.07	0.0135
110	6.547	4.15	0.0138
115	6.845	4.23	0.0141
120	7.142	4.29	0.0143
125	7.440	4.32	0.0144
130	7.738	4.40	0.0146
135	8.035	4.52	0.0150

140	8.333	4.59	0.0153
PB-F/M <sub>2</sub> /1-01			
Load (kN)	Stress (N/mm <sup>2</sup> )	Displacement (mm)	Strain
145	8.630	4.68	0.0156
150	8.928	4.71	0.0157
155	9.226	4.74	0.0158
160	9.523	4.79	0.0159
165	9.821	4.83	0.0161
170	10.119	4.87	0.0162
175	10.416	4.91	0.0163
180	10.714	4.97	0.0165
185	11.011	4.99	0.0166
190	11.309	5.09	0.0169
195	11.607	5.14	0.0171
200	11.904	5.19	0.0173
205	12.202	5.23	0.0174
210	12.500	5.29	0.0176
215	12.797	5.33	0.0177
220	13.095	5.37	0.0179
225	13.392	5.41	0.0180
230	13.690	5.44	0.0181
235	13.988	5.49	0.0183
240	14.285	5.52	0.0184
245	14.583	5.53	0.0184
250	14.880	5.57	0.0185
255	15.178	5.61	0.0187
260	15.476	5.69	0.0189
265	15.773	5.74	0.0191
270	16.071	5.78	0.0192

275	16.369	5.82	0.0194
280	16.666	5.89	0.0196
PB-F/M <sub>2</sub> /I-01			
Load (kN)	Stress (N/mm <sup>2</sup> )	Displacement (mm)	Strain
285	16.964	5.92	0.0197
290	17.261	5.95	0.0198
295	17.559	6.01	0.0200
300	17.857	6.32	0.0210
304.8	18.142	7.02	0.0234



รูปที่ 25 กราฟความสัมพันธ์ระหว่าง Stress และ Strain ของชิ้นส่วนของกำแพงที่ก่อแบบสลับ (Running Bond) ที่ความหนาของชิ้มเนินต่ำรั้วที่ 1 เซ็นติเมตร

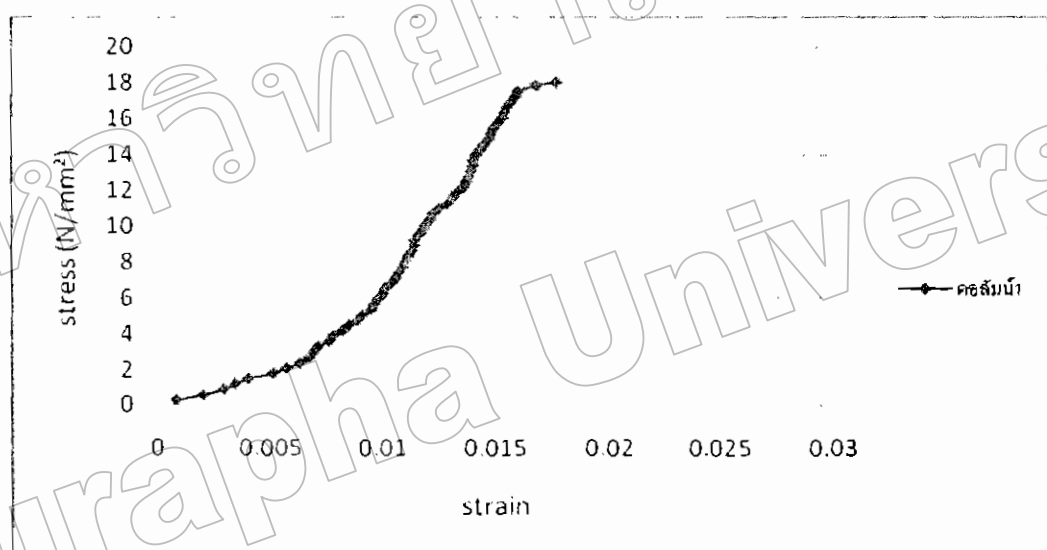


รูปที่ 26 กราฟความสัมพันธ์ระหว่าง Load และ Displacement ของชิ้นส่วนของกำแพงที่ก่อแบบสลับ (Running Bond) ที่ความหนาของซีเมนต์มอร์ตาร์ที่ 1 เซ็นติเมตร

PB-F/M <sub>2</sub> /1-02			
Load (kN)	Stress (N/mm <sup>2</sup> )	Displacement (mm)	Strain
5	0.297	0.25	0.0008
10	0.595	0.61	0.0020
15	0.892	0.89	0.0029
20	1.190	1.02	0.0034
25	1.488	1.21	0.0040
30	1.785	1.53	0.0051
35	2.083	1.71	0.0057
40	2.380	1.89	0.0063
45	2.678	2.01	0.0067
50	2.976	2.07	0.0069
55	3.273	2.15	0.0071
60	3.571	2.28	0.0076
65	3.869	2.36	0.0078
70	4.166	2.48	0.0082
75	4.464	2.56	0.0085
80	4.761	2.67	0.0089
85	5.059	2.73	0.0091
90	5.357	2.85	0.0095
95	5.654	2.90	0.0096
100	5.952	2.96	0.0098
105	6.250	3.01	0.0100
110	6.547	3.04	0.0101
115	6.845	3.14	0.0104
120	7.142	3.18	0.0106
125	7.440	3.22	0.0107
130	7.738	3.29	0.0109
135	8.035	3.31	0.0110

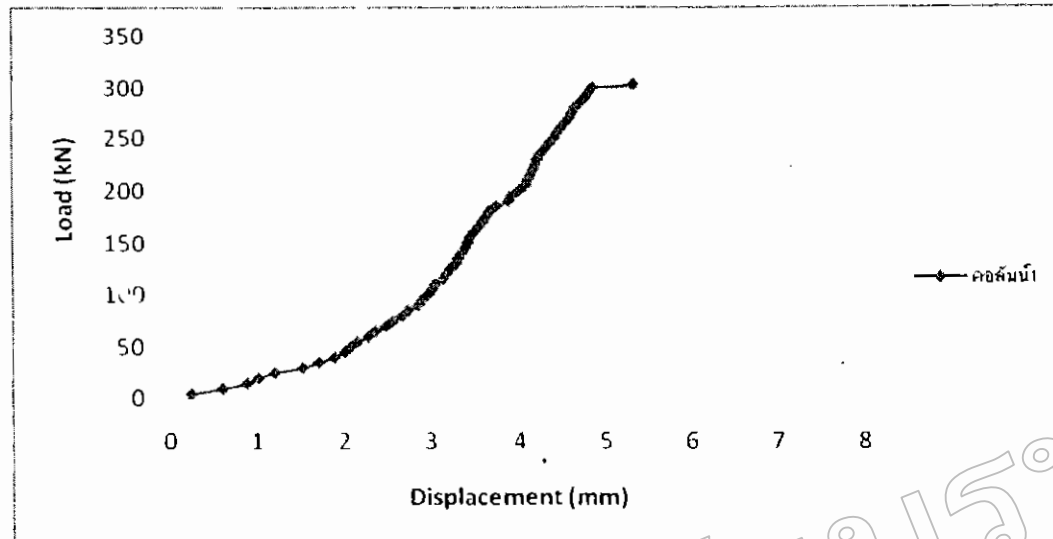
140	8.333	3.35	0.0111
PB-F/M <sub>2</sub> /1-02			
Load (kN)	Stress (N/mm <sup>2</sup> )	Displacement (mm)	Strain
145	8.630	3.39	0.0113
150	8.928	3.42	0.0114
155	9.226	3.44	0.0114
160	9.523	3.49	0.0116
165	9.821	3.54	0.0118
170	10.119	3.59	0.0119
175	10.416	3.63	0.0121
180	10.714	3.67	0.0122
185	11.011	3.75	0.0125
190	11.309	3.89	0.0129
195	11.607	3.93	0.0131
200	11.904	4.01	0.0133
205	12.202	4.08	0.0136
210	12.500	4.11	0.0137
215	12.797	4.14	0.0138
220	13.095	4.17	0.0139
225	13.392	4.20	0.0140
230	13.690	4.22	0.0140
235	13.988	4.25	0.0141
240	14.285	4.31	0.0143
245	14.583	4.36	0.0145
250	14.880	4.41	0.0147
255	15.178	4.45	0.0148
260	15.476	4.49	0.0149
265	15.773	4.54	0.0151
270	16.071	4.59	0.0153

275	16.369	4.62	0.0154
280	16.666	4.65	0.0155
PB-F/M <sub>z</sub> /I-02			
Load (kN)	Stress (N/mm <sup>2</sup> )	Displacement (mm)	Strain
285	16.964	4.71	0.0157
290	17.261	4.77	0.0159
295	17.559	4.82	0.0160
300	17.857	4.86	0.0168
303.3	18.053	5.33	0.0177



รูปที่ 27 กราฟความสัมพันธ์ระหว่าง Stress และ Strain ของชิ้นส่วนของกำแพงที่ก่อแบบสลับ (Running Bond) ที่ความหนาของซีเมนต์มอร์ตาร์ที่ 1 เซ็นติเมตร

(Running Bond) ที่ความหนาของซีเมนต์มอร์ตาร์ที่ 1 เซ็นติเมตร

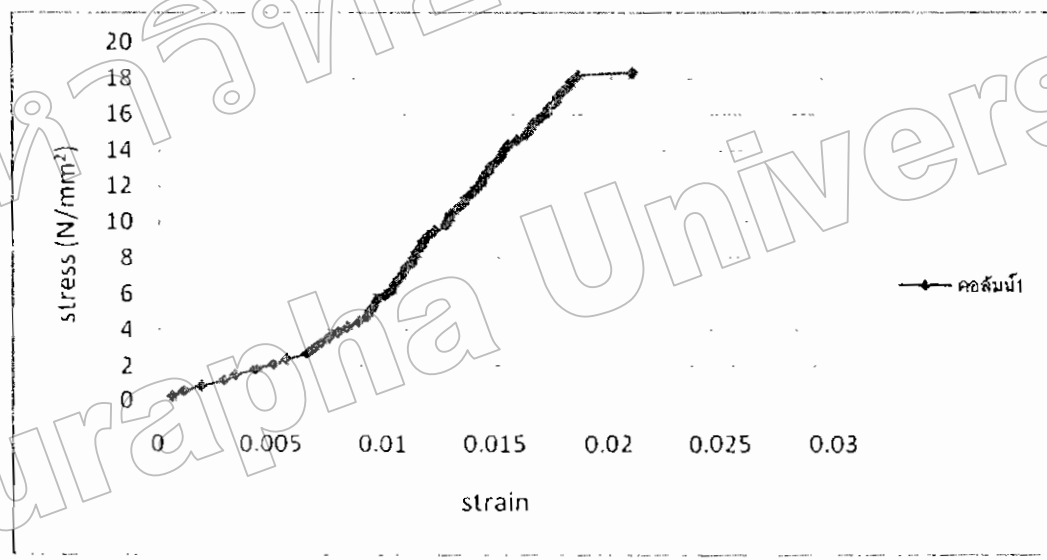


รูปที่ 28 กราฟความสัมพันธ์ระหว่าง Load และ Displacement ของชิ้นส่วนของกำแพงที่ก่อแบบสลับ (Running Bond) ที่ความหนาของชีเมนต์มอร์ตาร์ที่ 1 เซ็นติเมตร

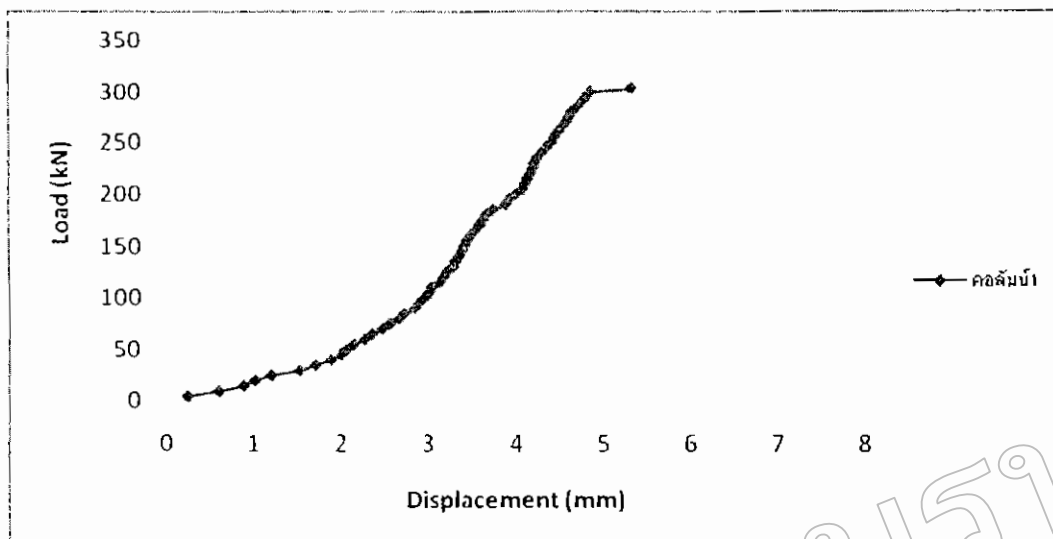
PB-F/M <sub>2</sub> /1-03			
Load (kN)	Stress (N/mm <sup>2</sup> )	Displacement (mm)	Strain
5	0.297	0.19	0.0006
10	0.595	0.33	0.0011
15	0.892	0.57	0.0019
20	1.190	0.89	0.0029
25	1.488	1.02	0.0034
30	1.785	1.31	0.0043
35	2.083	1.53	0.0051
40	2.380	1.72	0.0057
45	2.678	1.98	0.0066
50	2.976	2.07	0.0069
55	3.273	2.18	0.0072
60	3.571	2.29	0.0076
65	3.869	2.41	0.0080
70	4.166	2.53	0.0084
75	4.464	2.68	0.0089
80	4.761	2.79	0.0093
85	5.059	2.83	0.0094
90	5.357	2.89	0.0096
95	5.654	2.93	0.0097
100	5.952	3.03	0.0101
105	6.250	3.12	0.0104
110	6.547	3.16	0.0105
115	6.845	3.22	0.0107
120	7.142	3.27	0.0109
125	7.440	3.31	0.0110
130	7.738	3.39	0.0113
135	8.035	3.42	0.0114

140	8.333	3.46	0.0115
PB-F/M <sub>z</sub> /1-03			
Load (kN)	Stress (N/mm <sup>2</sup> )	Displacement (mm)	Strain
145	8.630	3.52	0.0117
150	8.928	3.55	0.0118
155	9.226	3.62	0.0120
160	9.523	3.71	0.0123
165	9.821	3.85	0.0128
170	10.119	3.89	0.0129
175	10.416	3.92	0.0130
180	10.714	3.99	0.0133
185	11.011	4.08	0.0136
190	11.309	4.13	0.0137
195	11.607	4.21	0.0140
200	11.904	4.26	0.0142
205	12.202	4.32	0.0144
210	12.500	4.35	0.0145
215	12.797	4.41	0.0147
220	13.095	4.46	0.0148
225	13.392	4.53	0.0151
230	13.690	4.59	0.0153
235	13.988	4.63	0.0154
240	14.285	4.68	0.0156
245	14.583	4.81	0.0160
250	14.880	4.92	0.0164
255	15.178	4.98	0.0166
260	15.476	5.03	0.0167
265	15.773	5.12	0.0170
270	16.071	5.19	0.0173

275	16.369	5.24	0.0174
280	16.666	5.31	0.0177
PB-F/M <sub>2</sub> /I-03			
Load (kN)	Stress (N/mm <sup>2</sup> )	Displacement (mm)	Strain
285	16.964	5.36	0.0178
290	17.261	5.42	0.0180
295	17.559	5.49	0.0183
300	17.857	5.53	0.0184
305	18.154	5.61	0.0187
307.8	18.321	6.35	0.0211



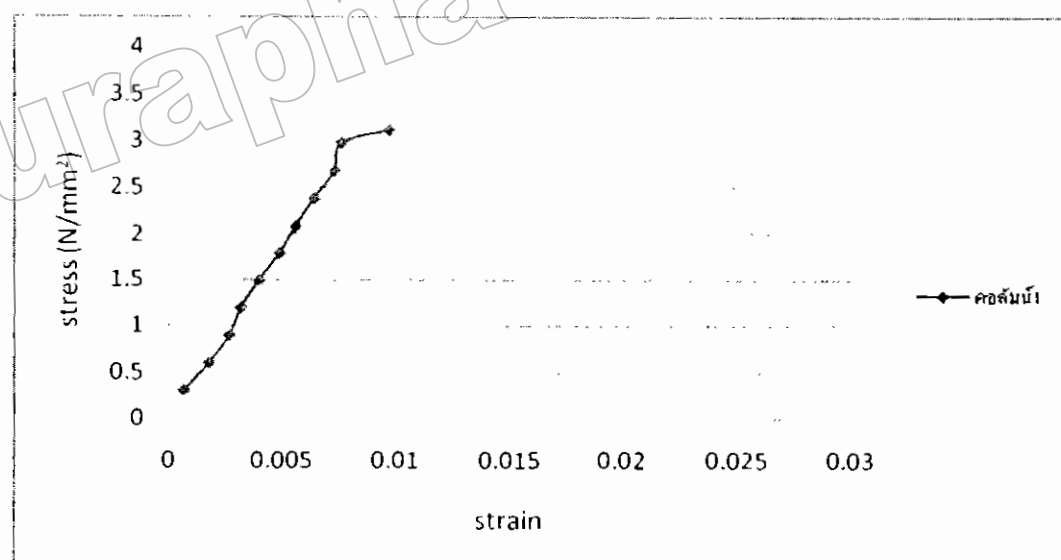
รูปที่ 29 กราฟความสัมพันธ์ระหว่าง Stress และ Strain ของชิ้นส่วนของกำแพงที่ก่อแบบสลับ (Running Bond) ที่ความหนาของชิ้nenด้มอร์ต้าร์ที่ 1 เซ็นติเมตร



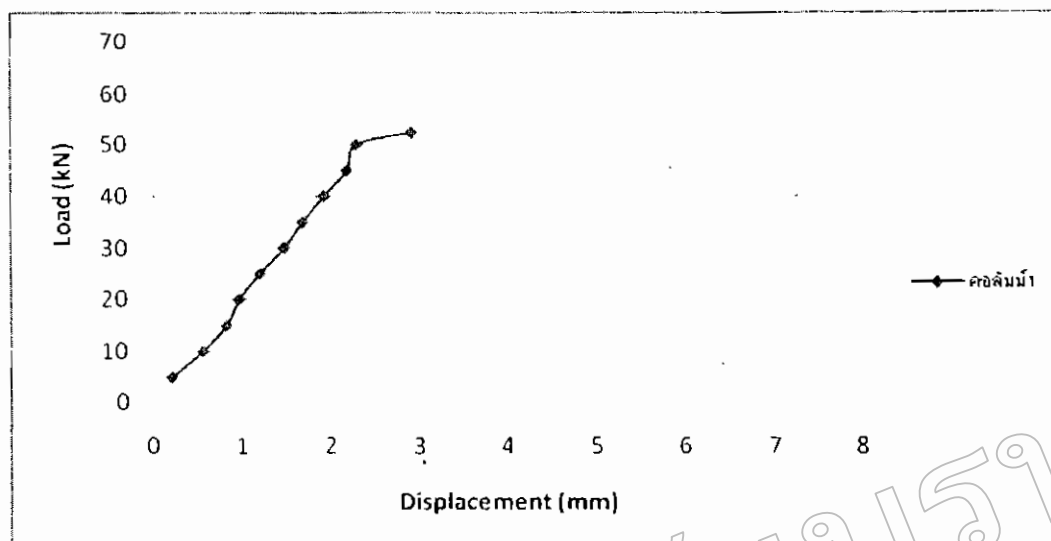
รูปที่ 30 กราฟความสัมพันธ์ระหว่าง Load และ Displacement ของชิ้นส่วนของกำแพงที่ก่อแบบลับ  
(Running Bond) ที่ความหนาของชิ้nen คือ 1 เซ็นติเมตร

ตารางที่ ผลการทดสอบกำลังอัดซึ่งส่วนของกำแพงอิฐมอญตัน โดยใช้ชีเมนต์มอร์ตาร์ เสือ ความหนา 1 ซม.  
จำนวน 3 ตัวอย่าง ได้ผลดังนี้

PB-4H/M <sub>1</sub> /l-01			
Load (kN)	Stress (N/mm <sup>2</sup> )	Displacement (mm)	Strain
5	0.297	0.21	0.0007
10	0.595	0.56	0.0018
15	0.892	0.83	0.0027
20	1.190	0.97	0.0032
25	1.488	1.21	0.0040
30	1.785	1.48	0.0049
35	2.083	1.69	0.0056
40	2.380	1.93	0.0064
45	2.678	2.19	0.0073
50	2.976	2.30	0.0076
52.3	3.113	2.92	0.0097

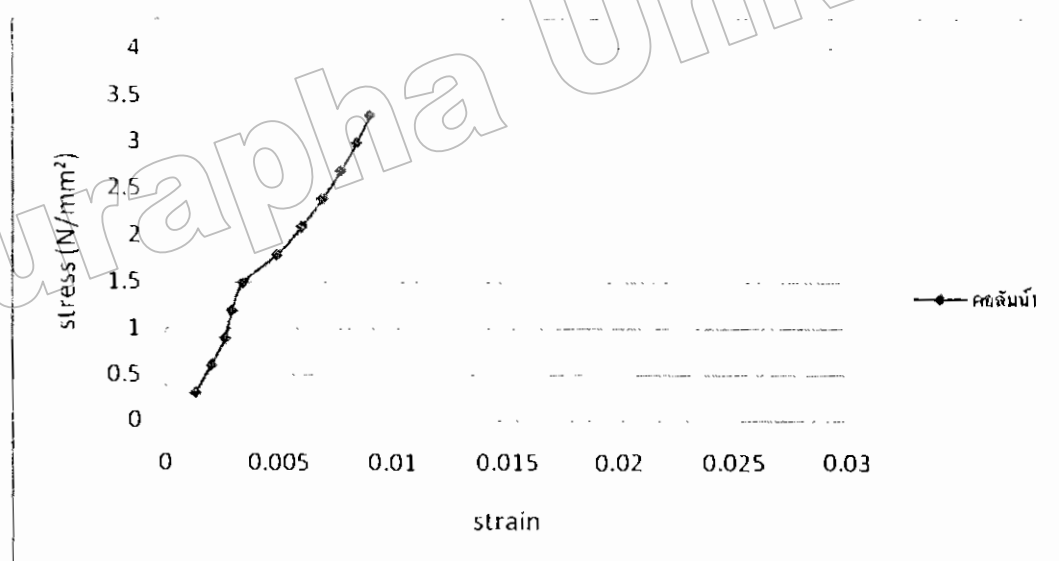


รูปที่ 31 กราฟความสัมพันธ์ระหว่าง Stress และ Strain ของชิ้นส่วนของกำแพงที่ก่อแบบสลับ (Running Bond) ที่ความหนาของชีเมนต์มอร์ตาร์ที่ 1 เซ็นติเมตร

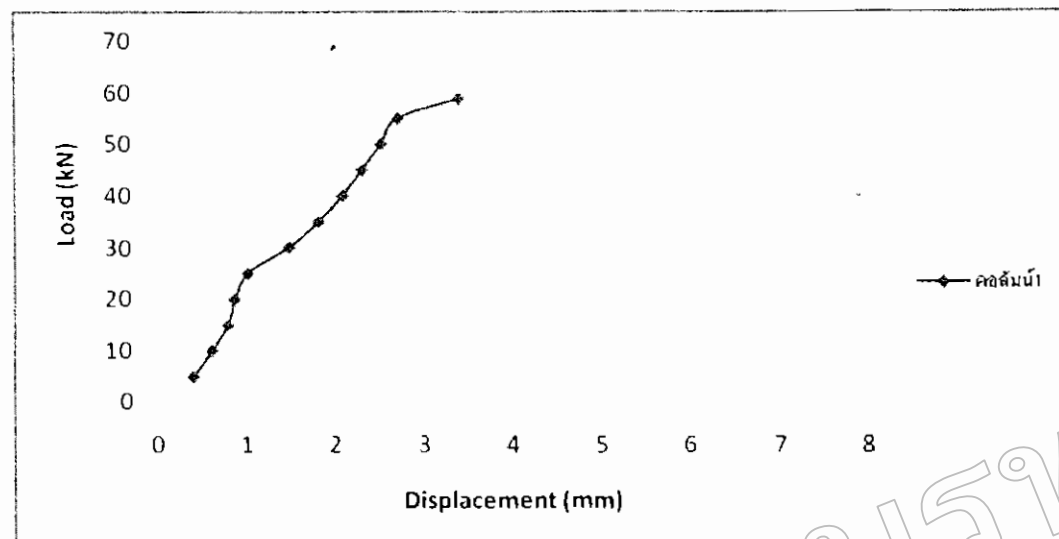


รูปที่ 31 กราฟความสัมพันธ์ระหว่าง Load และ Displacement ของชิ้นส่วนของกำแพงที่ก่อแบบสลับ (Running Bond) ที่ความหนาของชีเมนต์มอร์ตาร์ที่ 1 เซ็นติเมตร

PB-4H/M <sub>1</sub> /1-02			
Load (kN)	Stress (N/mm <sup>2</sup> )	Displacement (mm)	Strain
5	0.297	0.40	0.0013
10	0.595	0.61	0.0020
15	0.892	0.79	0.0026
20	1.190	0.87	0.0029
25	1.488	1.02	0.0034
30	1.785	1.49	0.0049
35	2.083	1.82	0.0060
40	2.380	2.09	0.0069
45	2.678	2.31	0.0077
50	2.976	2.52	0.0084
55	3.273	2.71	0.0090
58.8	3.500	3.39	0.0113

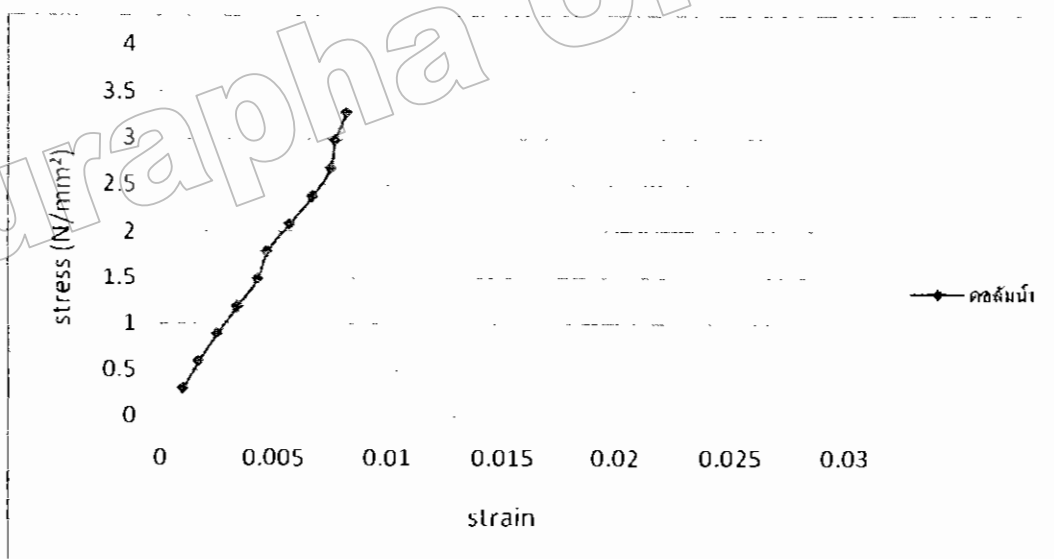


รูปที่ 33 กราฟความสัมพันธ์ระหว่าง Stress และ Strain ของชิ้นส่วนของกำแพงที่ก่อแบบสลับ (Running Bond) ที่ความหนาของชิ้มแต่ละอิฐตัวที่ 1 เซ็นติเมตร

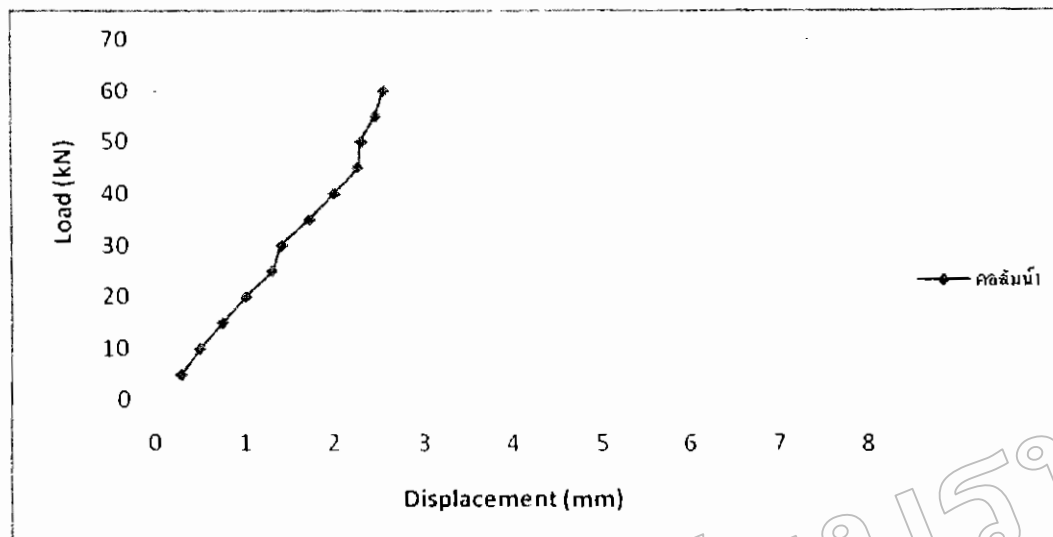


รูปที่ 34 กราฟความสัมพันธ์ระหว่าง Load และ Displacement ของชิ้นส่วนของกำแพงที่ก่อแบบสลับ (Running Bond) ที่ความหนาของชิ้nenต์มอร์ตาร์ที่ 1 เซ็นติเมตร

PB-4H/M <sub>i</sub> /1-03			
Load (kN)	Stress (N/mm <sup>2</sup> )	Displacement (mm)	Strain
5	0.297	0.30	0.0010
10	0.595	0.51	0.0017
15	0.892	0.76	0.0025
20	1.190	1.02	0.0034
25	1.488	1.31	0.0043
30	1.785	1.42	0.0047
35	2.083	1.73	0.0057
40	2.380	2.01	0.0067
45	2.678	2.27	0.0075
50	2.976	2.31	0.0077
55	3.273	2.47	0.0082
60	3.571	2.56	0.0085
63.4	3.773	3.42	0.0114

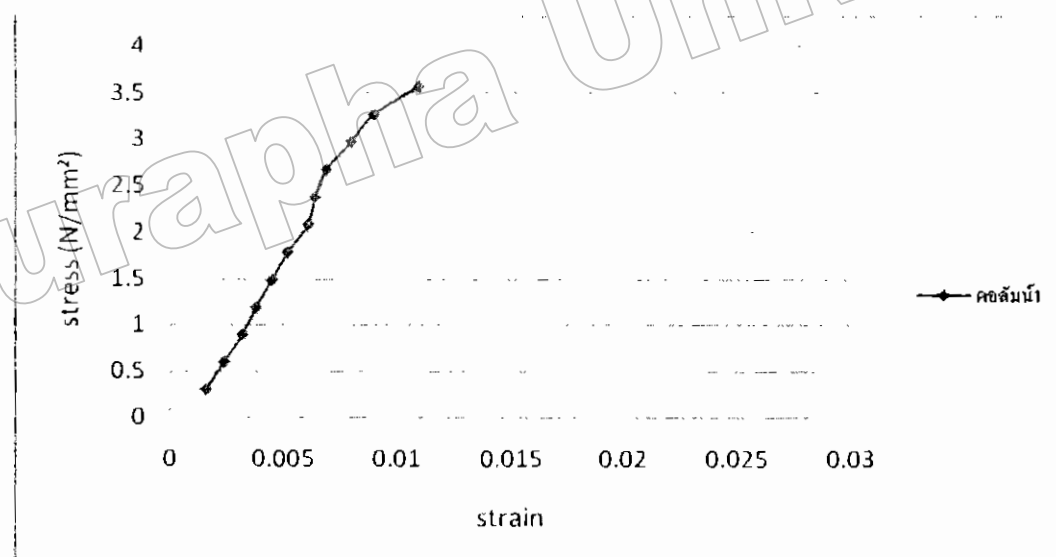


รูปที่ 35 กราฟความสัมพันธ์ระหว่าง Stress และ Strain ของชิ้นส่วนของกำแพงที่ก่อแบบสลับ (Running Bond) ที่ความหนาของชีเมนต์มอร์ตาร์ที่ 1 เซ็นติเมตร

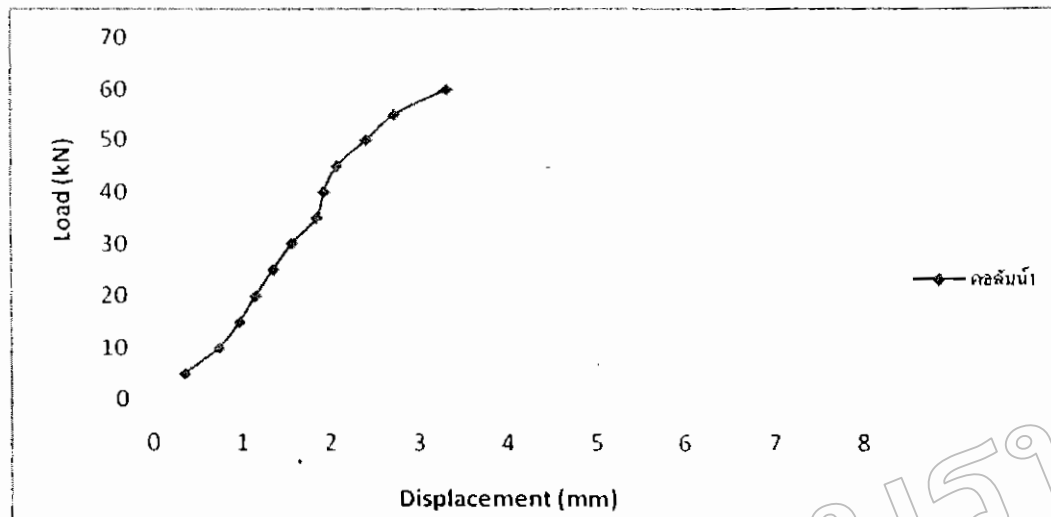


รูปที่ 36 กราฟความสัมพันธ์ระหว่าง Load และ Displacement ของชิ้นส่วนของกำแพงที่ก่อแบบลับ (Running Bond) ที่ความหนาของชิ้นเม็ดหินอ่อนต่ำที่สุด 1 เซ็นติเมตร

PB-4H/M <sub>2</sub> /1-01			
Load (kN)	Stress (N/mm <sup>2</sup> )	Displacement (mm)	Strain
5	0.297	0.35	0.0016
10	0.595	0.74	0.0024
15	0.892	0.97	0.0032
20	1.190	1.15	0.0038
25	1.488	1.35	0.0045
30	1.785	1.56	0.0052
35	2.083	1.84	0.0061
40	2.380	1.92	0.0064
45	2.678	2.07	0.0069
50	2.976	2.40	0.0080
55	3.273	2.72	0.0090
60	3.571	3.31	0.0110

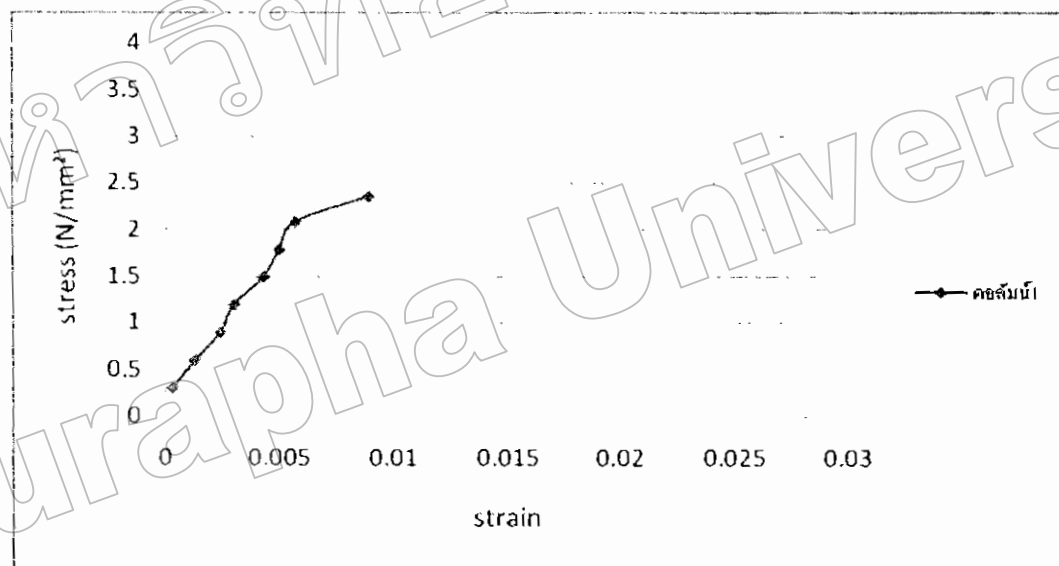


รูปที่ 37 กราฟความสัมพันธ์ระหว่าง Stress และ Strain ของชิ้นส่วนของกำแพงที่ก่อแบบสลับ (Running Bond) ที่ความหนาของชิ้menต์มอร์ตาร์ที่ 1 เซ็นติเมตร

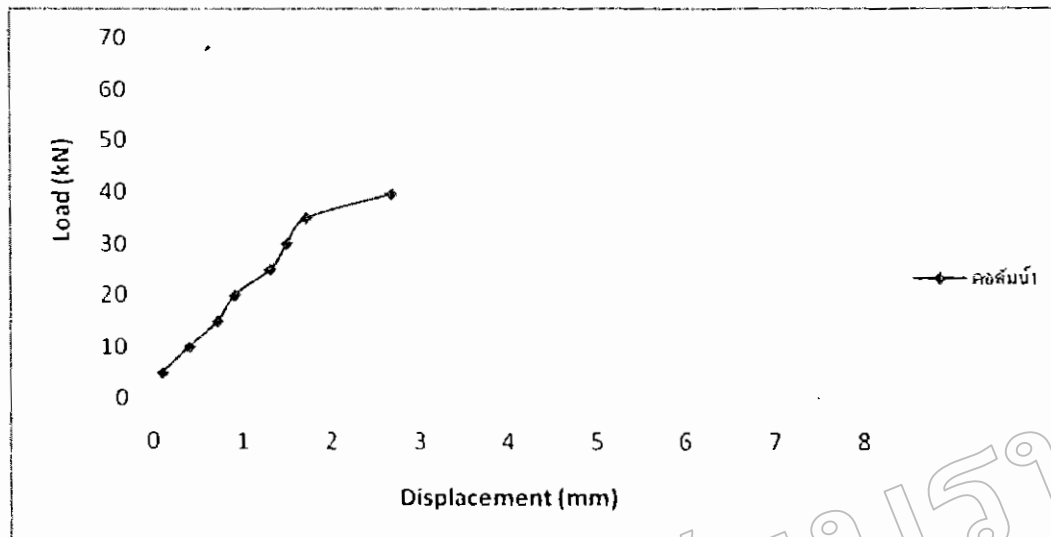


รูปที่ 38 กราฟความสัมพันธ์ระหว่าง Load และ Displacement ของชิ้นส่วนของกำแพงที่ก่อแบบสลับ (Running Bond) ที่ความหนาของซีเมนต์มอร์ตาร์ที่ 1 เซ็นติเมตร

PB-4H/M <sub>2</sub> /1-02			
Load (kN)	Stress (N/mm <sup>2</sup> )	Displacement (mm)	Strain
5	0.297	0.10	0.0003
10	0.595	0.40	0.0013
15	0.892	0.72	0.0024
20	1.190	0.91	0.0030
25	1.488	1.31	0.0043
30	1.785	1.50	0.0050
35	2.083	1.72	0.0057
39.6	2.357	2.68	0.0089

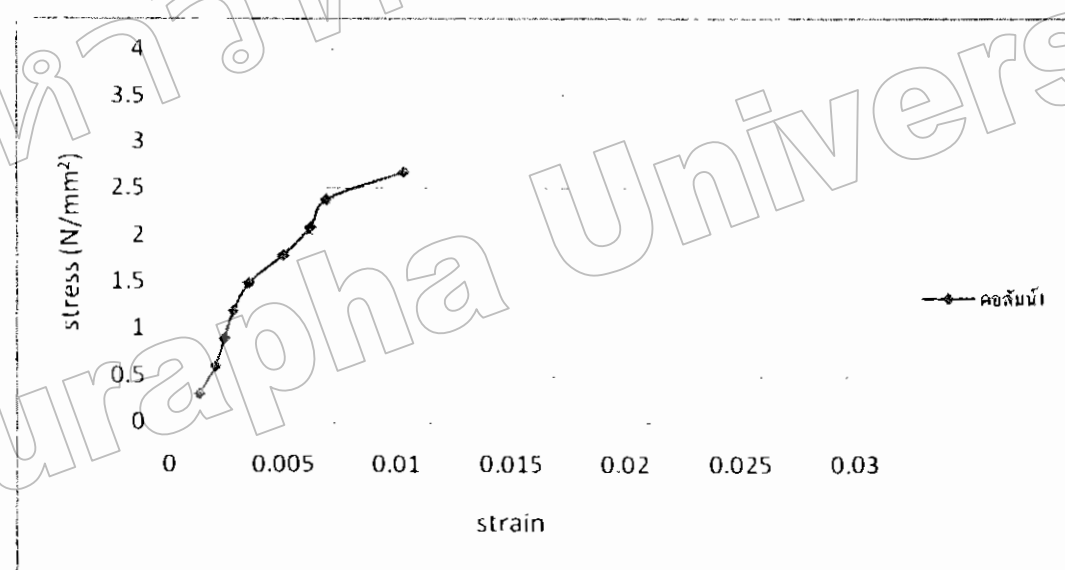


รูปที่ 39 กราฟความสัมพันธ์ระหว่าง Stress และ Strain ของชิ้นส่วนของกำแพงที่ก่อแบบสลับ (Running Bond) ที่ความหนาของชีเมนต์มอร์ตาร์ที่ 1 เซ็นติเมตร

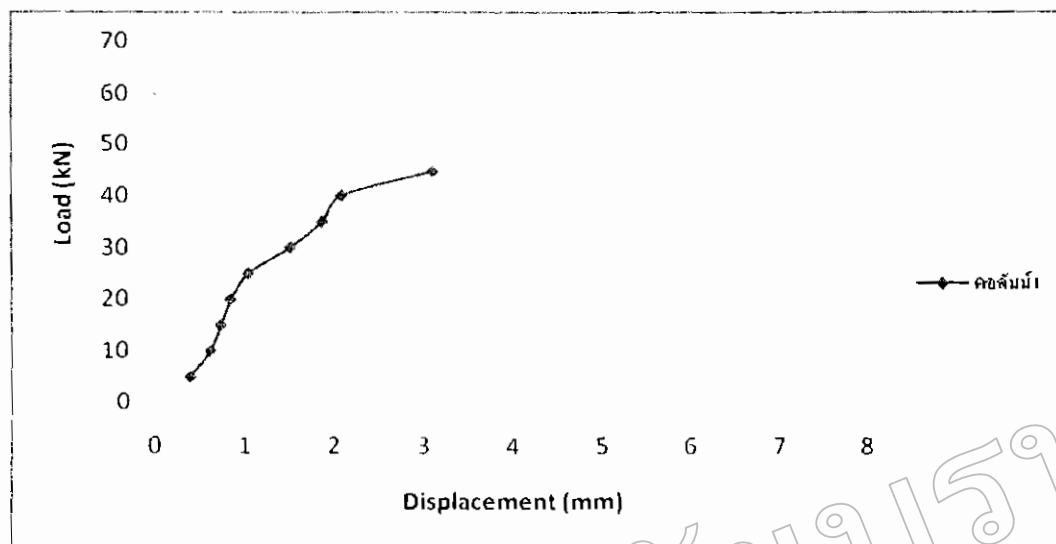


รูปที่ 40 กราฟความสัมพันธ์ระหว่าง Load และ Displacement ของชั้นด้านของกำแพงที่ก่อแบบสลับ (Running Bond) ที่ความหนาของชิ้นmenต์มอร์ตาร์ที่ 1 เซ็นติเมตร

PB-4H/M <sub>2</sub> /1-03			
Load (kN)	Stress (N/mm <sup>2</sup> )	Displacement (mm)	Strain
5	0.297	0.40	0.0013
10	0.595	0.62	0.0020
15	0.892	0.74	0.0024
20	1.190	0.85	0.0028
25	1.488	1.05	0.0035
30	1.785	1.87	0.0050
35	2.083	2.09	0.0062
40	2.380	3.11	0.0069
44.7	2.678		0.0103



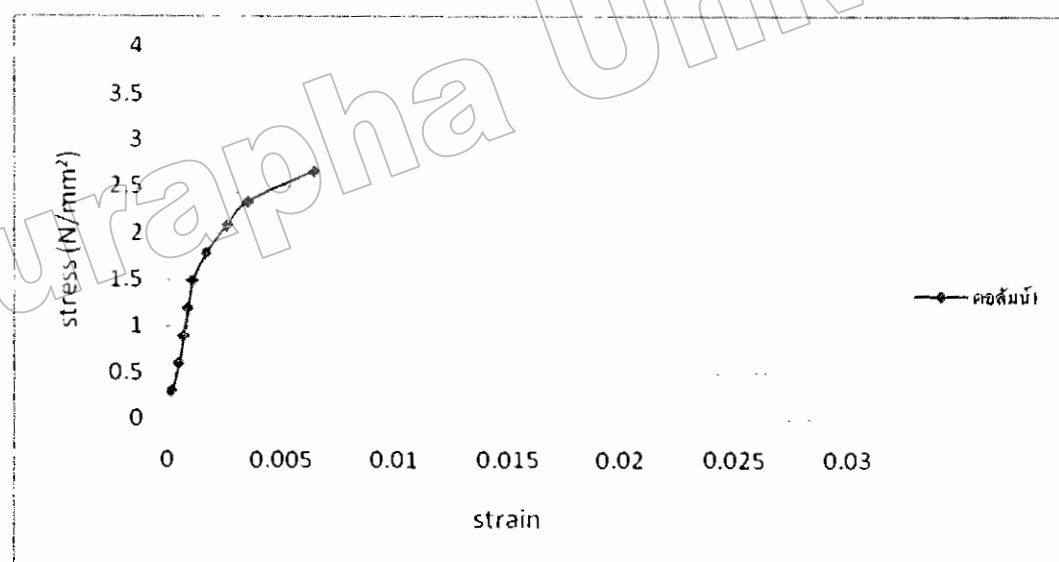
รูปที่ 41 กราฟความสัมพันธ์ระหว่าง Stress และ Strain ของชิ้นส่วนของกำแพงที่ก่อแบบสลับ (Running Bond) ที่ความหนาของชิ้มเนินคืบตัวร์ที่ 1 เซ็นติเมตร



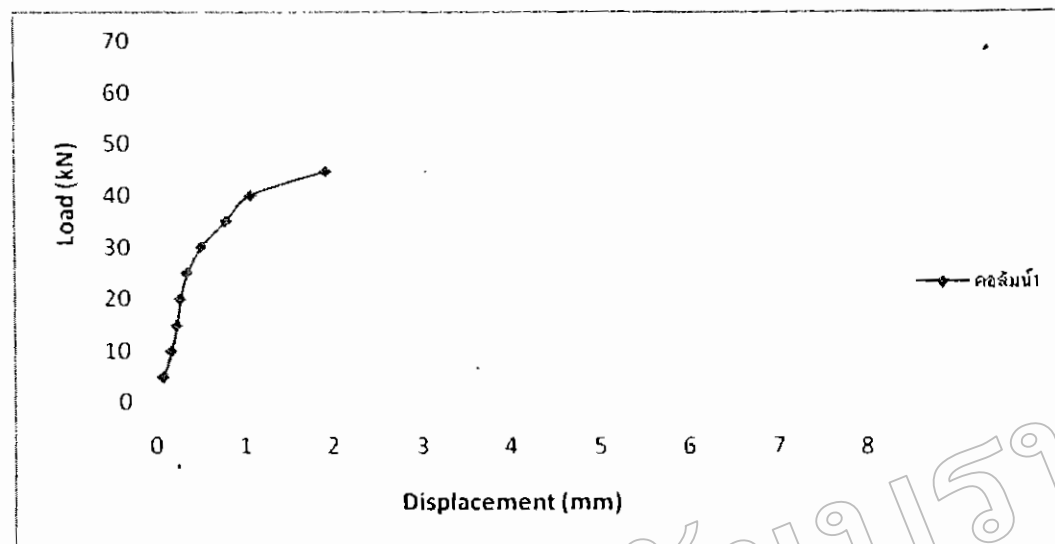
รูปที่ 42 กราฟความสัมพันธ์ระหว่าง Load และ Displacement ของชิ้นส่วนของกำแพงที่ก่อแบบสลับ (Running Bond) ที่ความหนาของซีเมนต์มอร์ตาร์ที่ 1 เซ็นติเมตร

ตารางที่ ผลการทดสอบกำลังอัดชิ้นส่วนของกำแพงอิฐมอญ 2 รูถ่ายข้าง โดยใช้ซีเมนต์มอร์ตาร์ เสื่อพื้นรองความหนา 1.5 ซม. จำนวน 3 ตัวอย่าง ได้ผลดังนี้

PB-2H/M <sub>1</sub> /1.5-01			
Load (kN)	Stress (N/mm <sup>2</sup> )	Displacement (mm)	Strain
5	0.297	0.08	0.0002
10	0.595	0.17	0.0005
15	0.892	0.23	0.0007
20	1.190	0.27	0.0009
25	1.488	0.35	0.0011
30	1.785	0.51	0.0017
35	2.083	0.79	0.0026
40	2.333	1.07	0.0035
44.7	2.660	1.92	0.0064

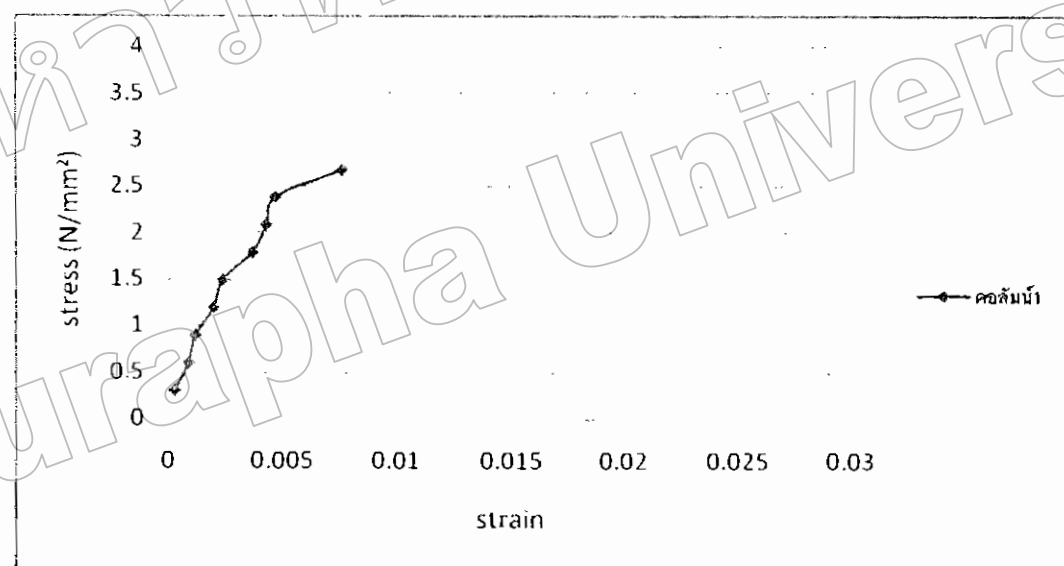


รูปที่ 43 กราฟความสัมพันธ์ระหว่าง Stress และ Strain ของชิ้นส่วนของกำแพงที่ก่อแบบสลับ (Running Bond) ที่ความหนาของซีเมนต์มอร์ตาร์ที่ 1 เซ็นติเมตร

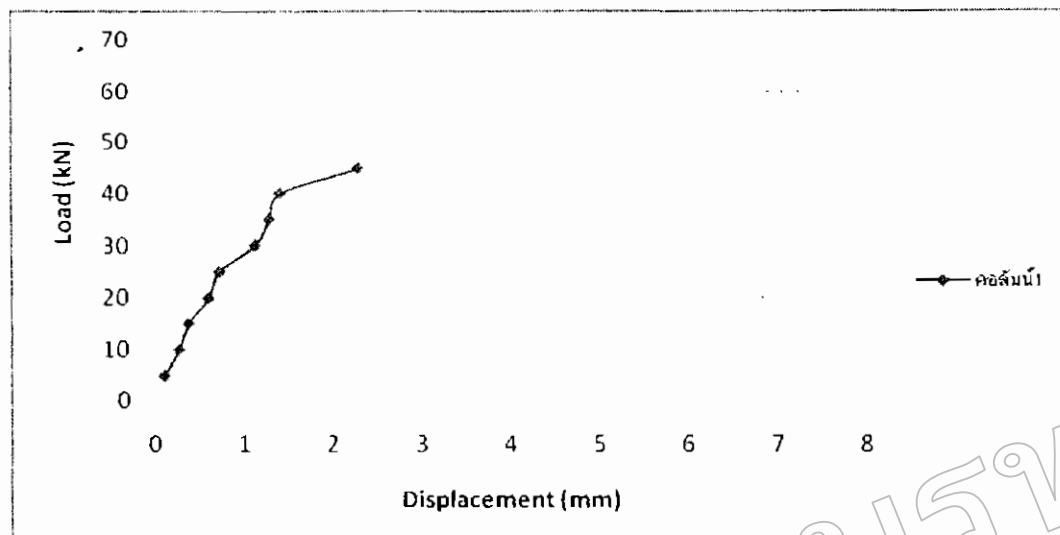


รูปที่ 44 กราฟความสัมพันธ์ระหว่าง Load และ Displacement ของชิ้นส่วนของกำแพงที่ก่อแบบสลับ (Running Bond) ที่ความหนาของซีเมนต์มอร์ตาร์ที่ 1 เซ็นติเมตร

PB-2H/M <sub>j</sub> /1.5-02			
Load (kN)	Stress (N/mm <sup>2</sup> )	Displacement (mm)	Strain
5	0.297	0.11	0.0003
10	0.595	0.27	0.0009
15	0.892	0.38	0.0012
20	1.190	0.61	0.0020
25	1.488	0.73	0.0024
30	1.785	1.13	0.0037
35	2.083	1.29	0.0043
40	2.380	1.41	0.0047
44.9	2.672	2.28	0.0076

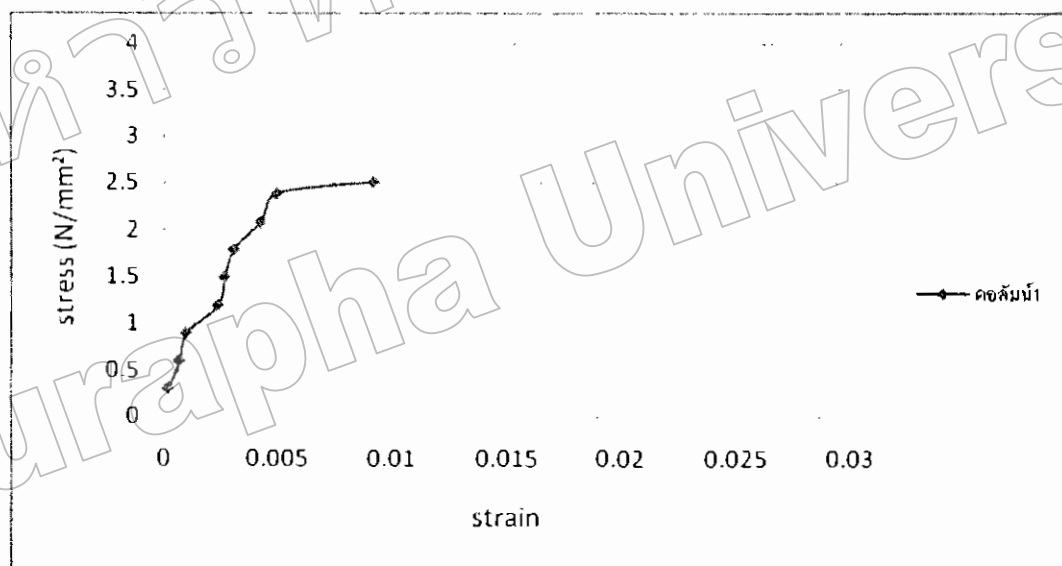


รูปที่ 45 กราฟความสัมพันธ์ระหว่าง Stress และ Strain ของชิ้นส่วนของกำแพงที่ก่อแบบสลับ (Running Bond) ที่ความหนาของซีเมนต์มอร์ตาร์ที่ 1 เซ็นติเมตร

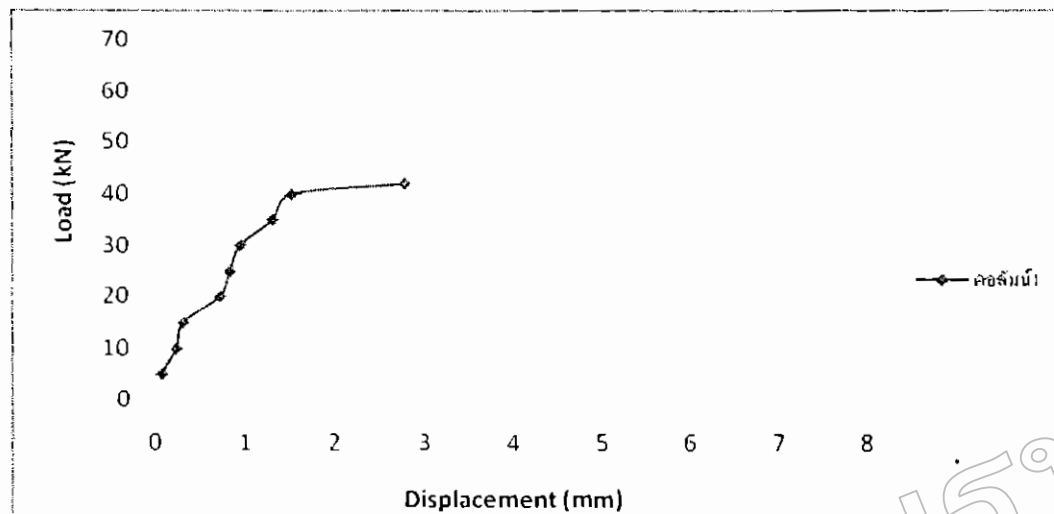


รูปที่ 46 กราฟความสัมพันธ์ระหว่าง Load และ Displacement ของชิ้นส่วนของกำแพงที่ก่อแบบลับ (Running Bond) ที่ความหนาของซีเมนต์มอร์ตาร์ที่ 1 เซ็นติเมตร

PB-2H/M <sub>j</sub> /1.5-03			
Load (kN)	Stress (N/mm <sup>2</sup> )	Displacement (mm)	Strain
5	0.297	0.07	0.0002
10	0.595	0.23	0.0007
15	0.892	0.31	0.0010
20	1.190	0.72	0.0024
25	1.488	0.83	0.0027
30	1.785	0.95	0.0031
35	2.083	1.31	0.0043
40	2.380	1.52	0.0050
42.1	2.505	2.78	0.0092

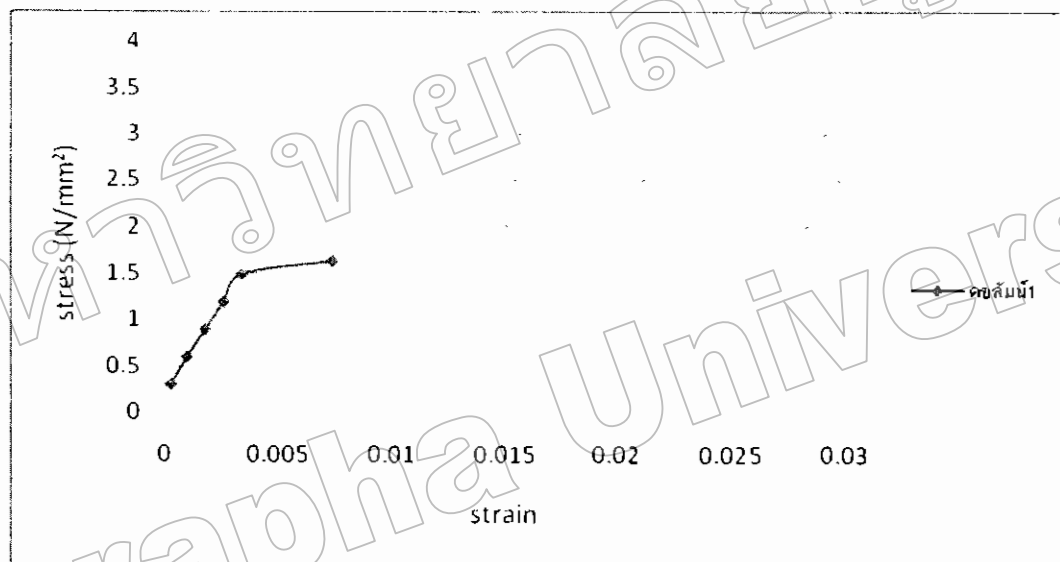


รูปที่ 47 กราฟความสัมพันธ์ระหว่าง Stress และ Strain ของชิ้นส่วนของกำแพงที่ก่อแบบสลับ (Running Bond) ที่ความหนาของซีเมนต์มอร์ตาร์ที่ 1 เซ็นติเมตร

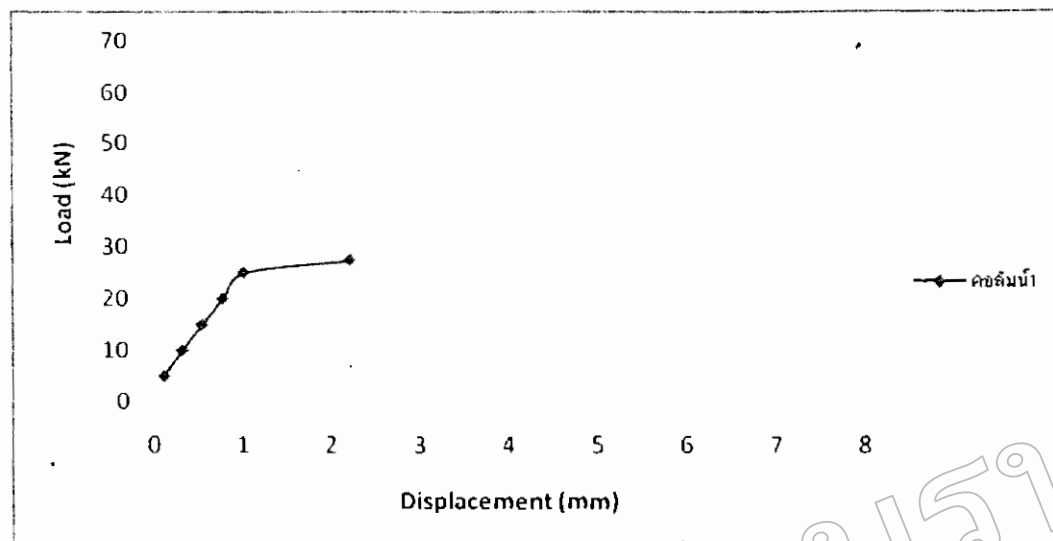


รูปที่ 48 กราฟความสัมพันธ์ระหว่าง Load และ Displacement ของชิ้นส่วนของกำแพงที่ก่อแบบสลับ (Running Bond) ที่ความหนาของชิ้นเม็ดมอร์ต้าร์ที่ 1 เซ็นติเมตร

PB-2H/M <sub>2</sub> /1.5-01			
Load (kN)	Stress (N/mm <sup>2</sup> )	Displacement (mm)	Strain
5	0.297	0.11	0.0003
10	0.595	0.32	0.0010
15	0.892	0.54	0.0018
20	1.190	0.78	0.0026
25	1.488	1.02	0.0034
27.4	1.630	2.22	0.0074

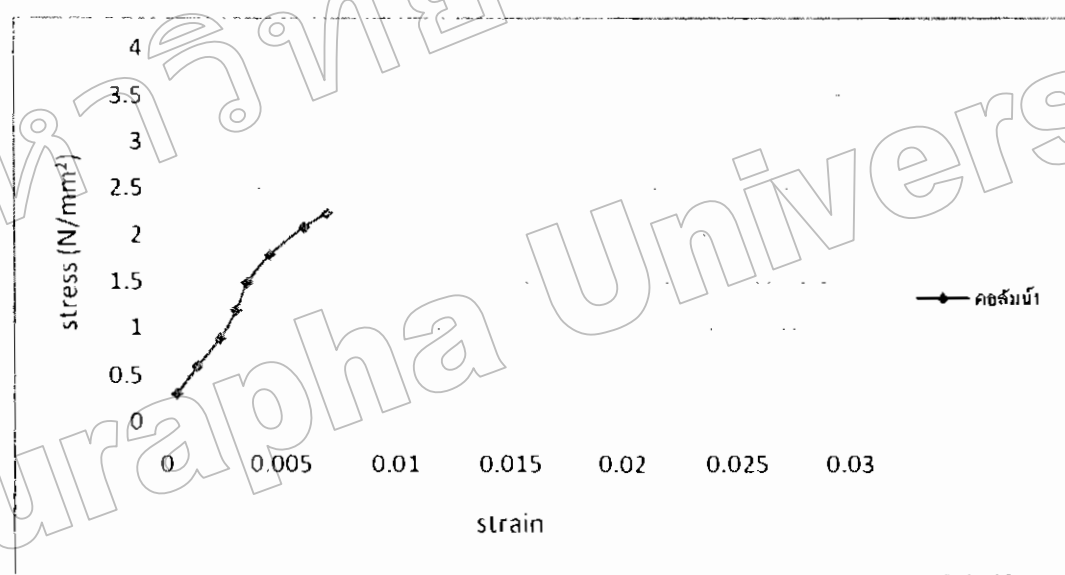


รูปที่ 49 กราฟความสัมพันธ์ระหว่าง Stress และ Strain ของชิ้นส่วนของกำแพงที่ก่อแบบสลับ (Running Bond) ที่ความหนาของชิ้มเม็ดมอร์ต้าร์ที่ 1 เซ็นติเมตร

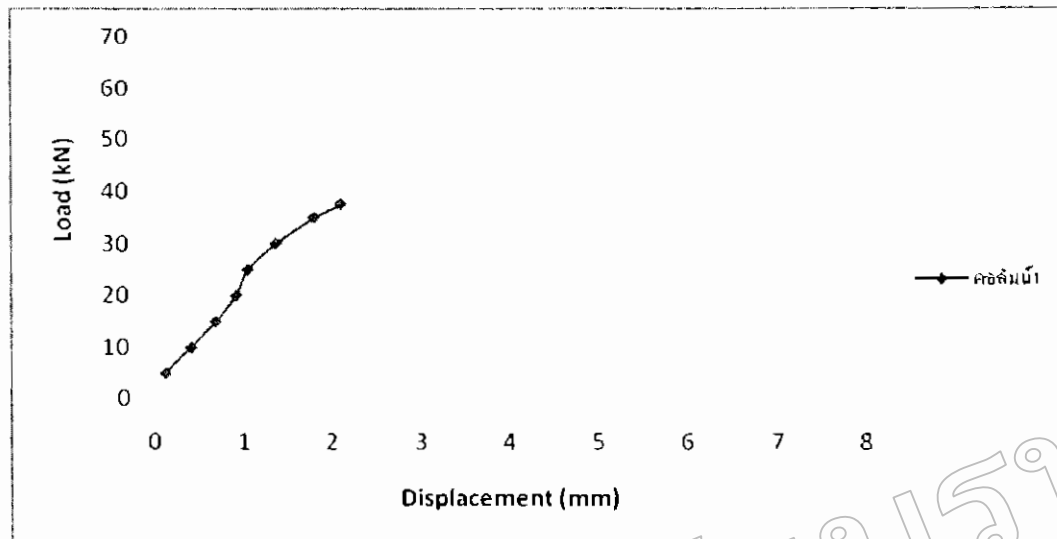


รูปที่ 50 กราฟความสัมพันธ์ระหว่าง Load และ Displacement ของชิ้นส่วนของกำแพงที่ก่อแบบสลับ (Running Bond) ที่ความหนาของชิ้มนต์มอร์ตาร์ที่ 1 เซ็นติเมตร

PB-2H/M <sub>2</sub> /1.5-02			
Load (kN)	Stress (N/mm <sup>2</sup> )	Displacement (mm)	Strain
5	0.297	0.12	0.0004
10	0.595	0.41	0.0013
15	0.892	0.69	0.0023
20	1.190	0.92	0.0030
25	1.488	1.05	0.0035
30	1.785	1.37	0.0045
35	2.083	1.80	0.0060
37.5	2.232	2.10	0.0070

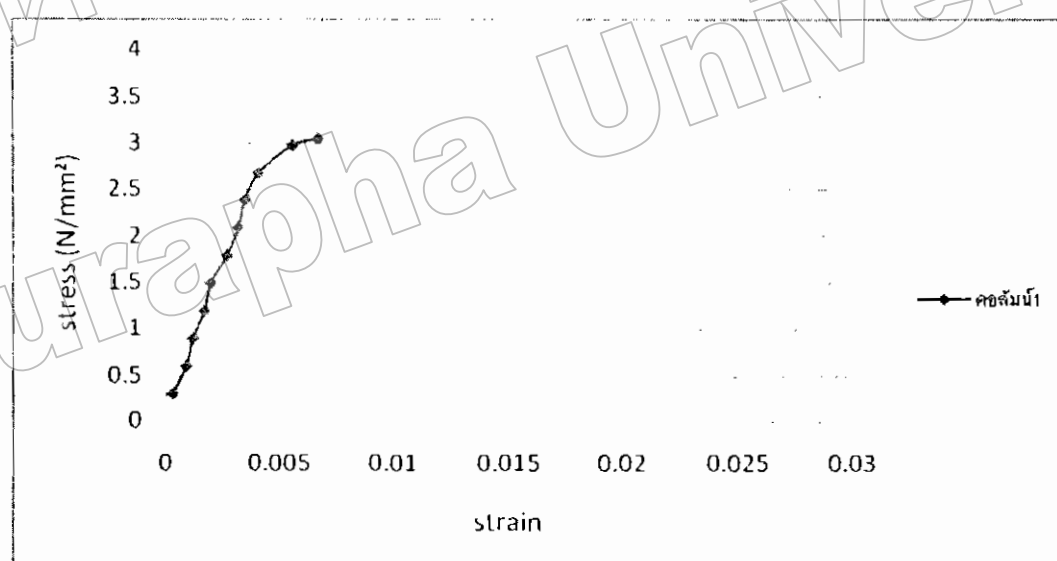


รูปที่ 51 กราฟความสัมพันธ์ระหว่าง Stress และ Strain ของชิ้นส่วนของกำแพงที่ก่อแบบลับ (Running Bond) ที่ความหนาของชิ้นเนินต์มอร์ต้าร์ที่ 1 เซ็นติเมตร

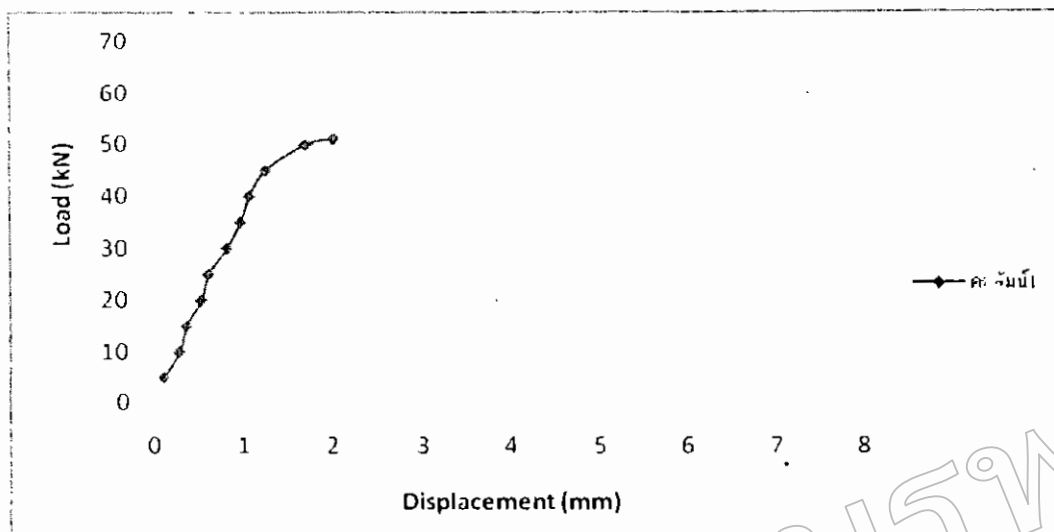


รูปที่ 52 กราฟความสัมพันธ์ระหว่าง Load และ Displacement ของชิ้นส่วนของกាំເພេງທីក់ៗបែបស្ទើ (Running Bond) ទីការណ៍នាមឈឺម៉ោងទី ១ ម៉ោងគ្រែទី ១

PB-2H/M <sub>2</sub> /1.5-03			
Load (kN)	Stress (N/mm <sup>2</sup> )	Displacement (mm)	Strain
5	0.297	0.11	0.0003
10	0.595	0.28	0.0009
15	0.892	0.36	0.0012
20	1.190	0.53	0.0017
25	1.488	0.61	0.0020
30	1.785	0.82	0.0027
35	2.083	0.97	0.0032
40	2.380	1.07	0.0035
45	2.678	1.25	0.0041
50	2.976	1.70	0.0056
51.2	3.047	2.01	0.0067



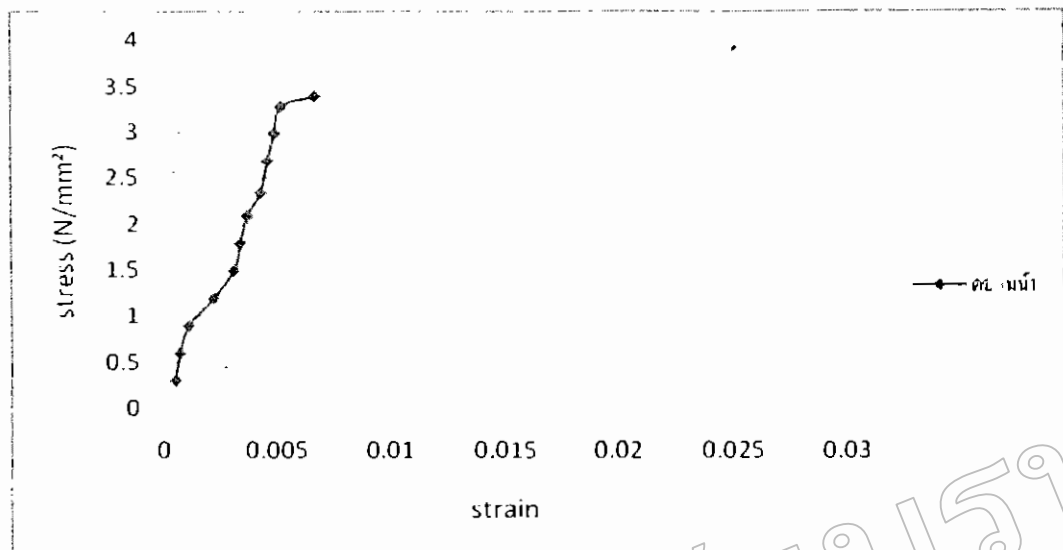
รูปที่ 53 กราฟความสัมพันธ์ระหว่าง Stress และ Strain ของชิ้นส่วนของกำแพงที่ก่อแบบลักษณะ (Running Bond) ที่ความหนาของชิ้นเม็ดต์มอร์ตาร์ที่ 1 เซ็นติเมตร



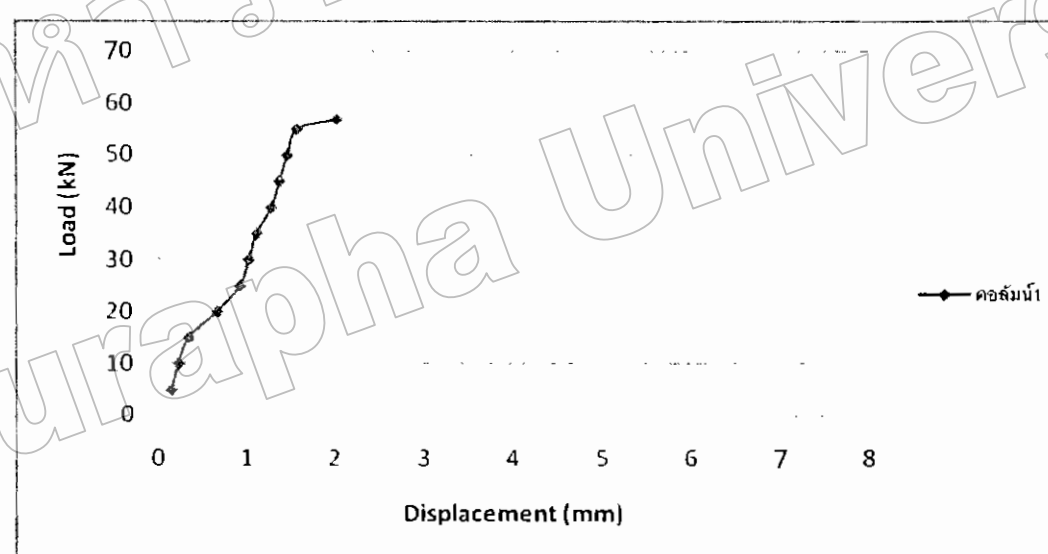
รูปที่ 54 กราฟความสัมพันธ์ระหว่าง Load และ Displacement ของชิ้นส่วนของกำแพงที่ก่อแบบสลับ (Running Bond) ที่ความหนาของซีเมนต์มอร์ตาร์ที่ 1 เซ็นติเมตร

ตารางที่ 54 ผลการทดสอบกำลังอัดชนวนส่วนของกำแพงอิฐมอญ 2 รูปใหญ่ โดยใช้ชีเมนต์มอร์ตาร์ เสื่อผสมเอง ความหนา 1.5 ซม. จำนวน 3 ตัวอย่าง ได้ผลดังนี้

PB-2B/M <sub>j</sub> /1.5-01			
Load (kN)	Stress (N/mm <sup>2</sup> )	Displacement (mm)	Strain
5	0.297	0.15	0.0005
10	0.595	0.23	0.0007
15	0.892	0.35	0.0011
20	1.190	0.67	0.0022
25	1.488	0.93	0.0031
30	1.785	1.03	0.0034
35	2.083	1.12	0.0037
40	2.333	1.29	0.0043
45	2.678	1.38	0.0046
50	2.976	1.47	0.0049
55	3.273	1.58	0.0052
56.9	3.386	2.03	0.0067

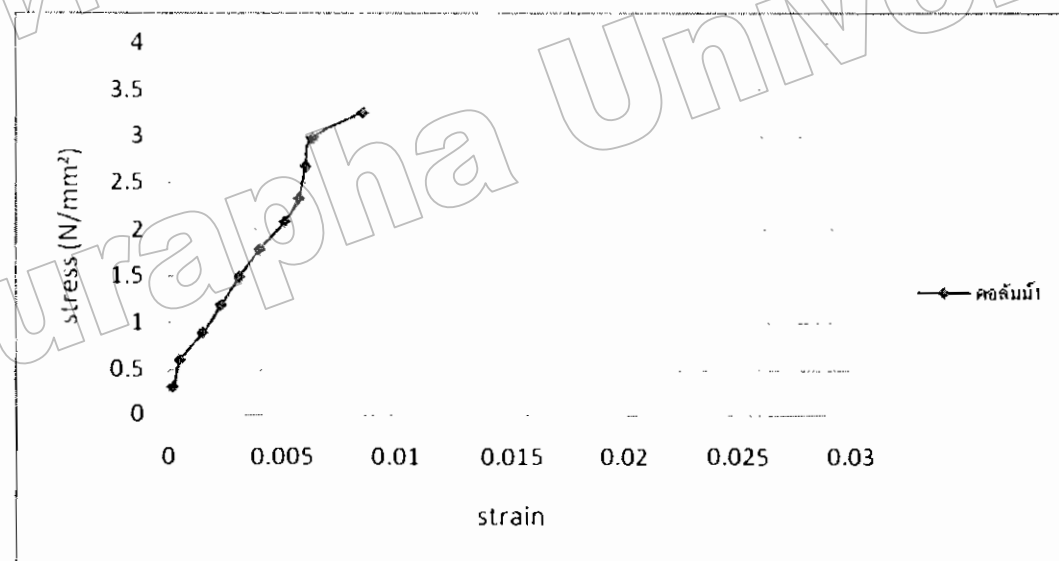


รูปที่ 55 กราฟความสัมพันธ์ระหว่าง Stress และ Strain ของชิ้นส่วนของกำแพงที่ก่อแบบสลับ (Running Bond) ที่ความหนาของชีเมนต์มอร์ตาร์ที่ 1 เซ็นติเมตร

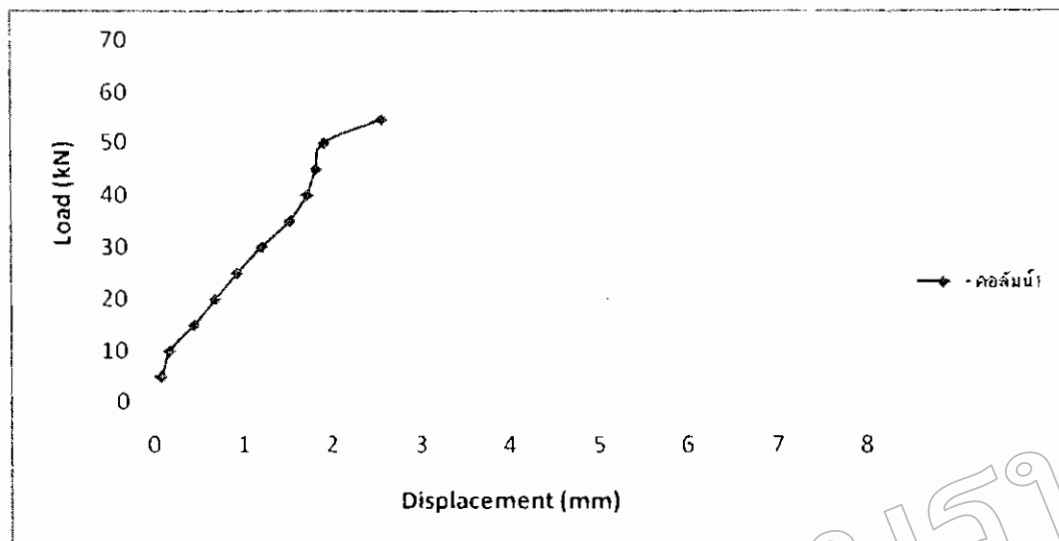


รูปที่ 56 กราฟความสัมพันธ์ระหว่าง Load และ Displacement ของชิ้นส่วนของกำแพงที่ก่อแบบสลับ (Running Bond) ที่ความหนาของชีเมนต์มอร์ตาร์ที่ 1 เซ็นติเมตร

PB-2B/M <sub>i</sub> /1.5-02			
Load (kN)	Stress (N/mm <sup>2</sup> )	Displacement (mm)	Strain
5	0.297	0.08	0.0002
10	0.595	0.17	0.0005
15	0.892	0.45	0.0015
20	1.190	0.69	0.0023
25	1.488	0.93	0.0031
30	1.785	1.21	0.0040
35	2.083	1.53	0.0051
40	2.333	1.72	0.0057
45	2.678	1.82	0.0060
50	2.976	1.91	0.0063
54.6	3.250	2.56	0.0085

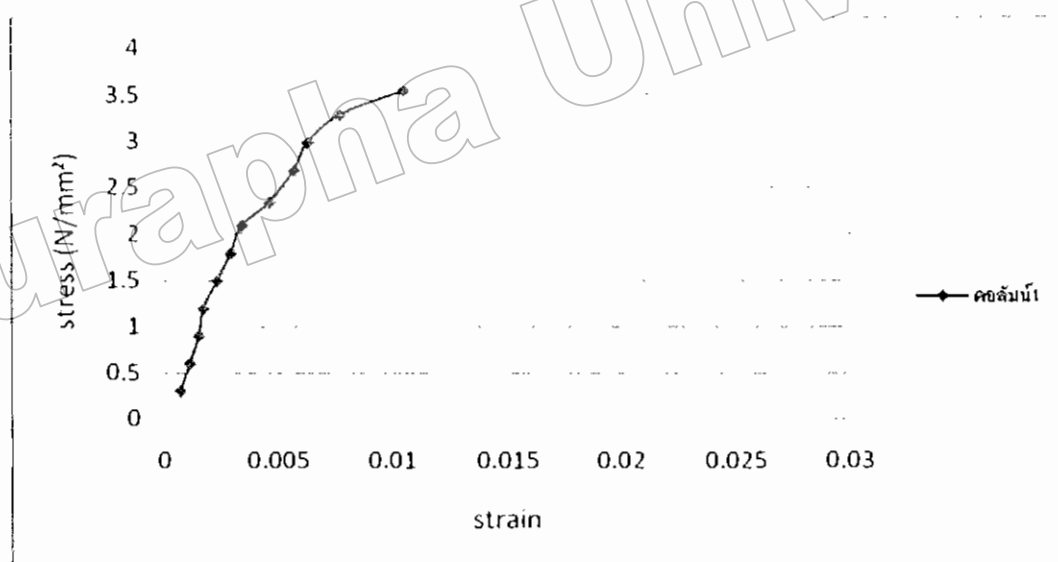


รูปที่ 57 กราฟความสัมพันธ์ระหว่าง Stress และ Strain ของชิ้นส่วนของกำแพงที่ก่อแบบสลับ (Running Bond) ที่ความหนาของชิ้นเม็ดต่ำร์ต้าร์ที่ 1 เซ็นติเมตร

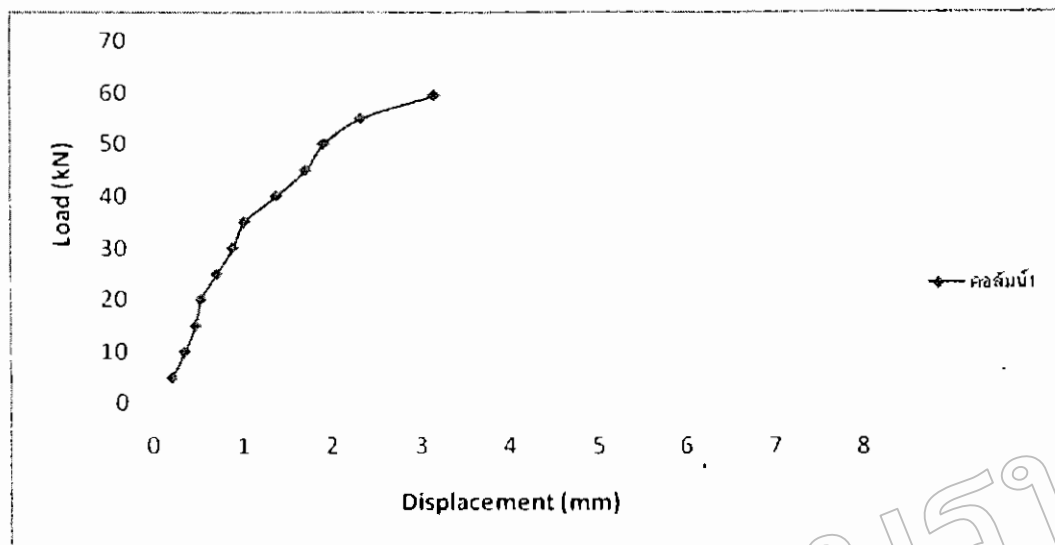


รูปที่ 58 กราฟความสัมพันธ์ระหว่าง Load และ Displacement ของชิ้นส่วนของกำแพงที่ก่อแบบลับ (Running Bond) ที่ความหนาของชิ้nenต์มอร์ตาร์ที่ 1 เซ็นติเมตร

PB-2B/M <sub>1</sub> /1.5-03			
Load (kN)	Stress (N/mm <sup>2</sup> )	Displacement (mm)	Strain
5	0.297	0.21	0.0007
10	0.595	0.35	0.0011
15	0.892	0.47	0.0015
20	1.190	0.53	0.0017
25	1.488	0.71	0.0023
30	1.785	0.89	0.0029
35	2.083	1.02	0.0034
40	2.333	1.38	0.0046
45	2.678	1.71	0.0057
50	2.976	1.91	0.0063
55	3.273	2.33	0.0077
59.4	3.535	3.15	0.0105

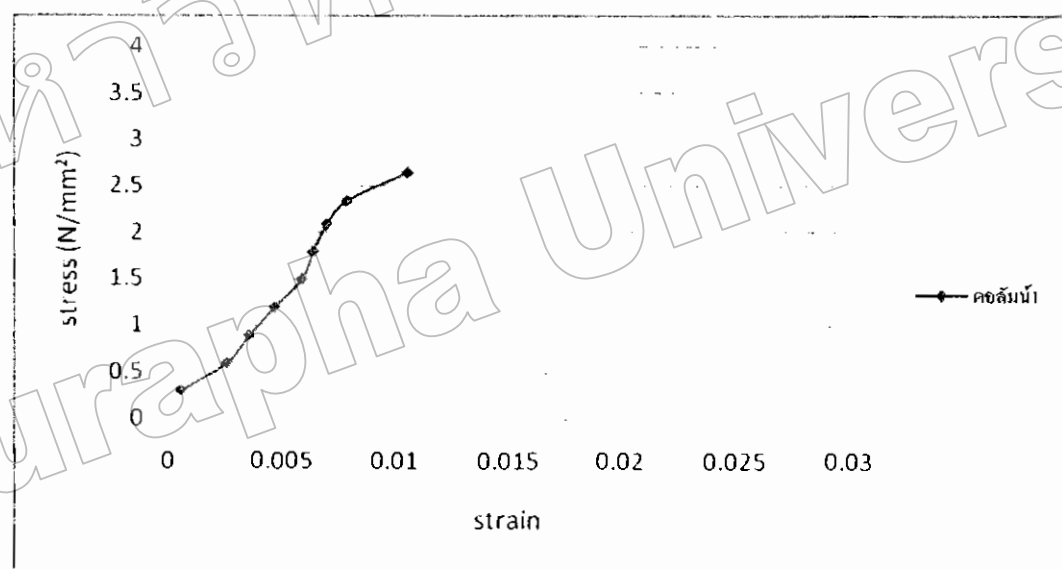


รูปที่ 59 กราฟความสัมพันธ์ระหว่าง Stress และ Strain ของชิ้นส่วนของกำแพงที่ก่อแบบลักษณะ Running Bond ที่ความหนาของชิ้นเน็ตมอร์ตาร์ที่ 1 เซ็นติเมตร

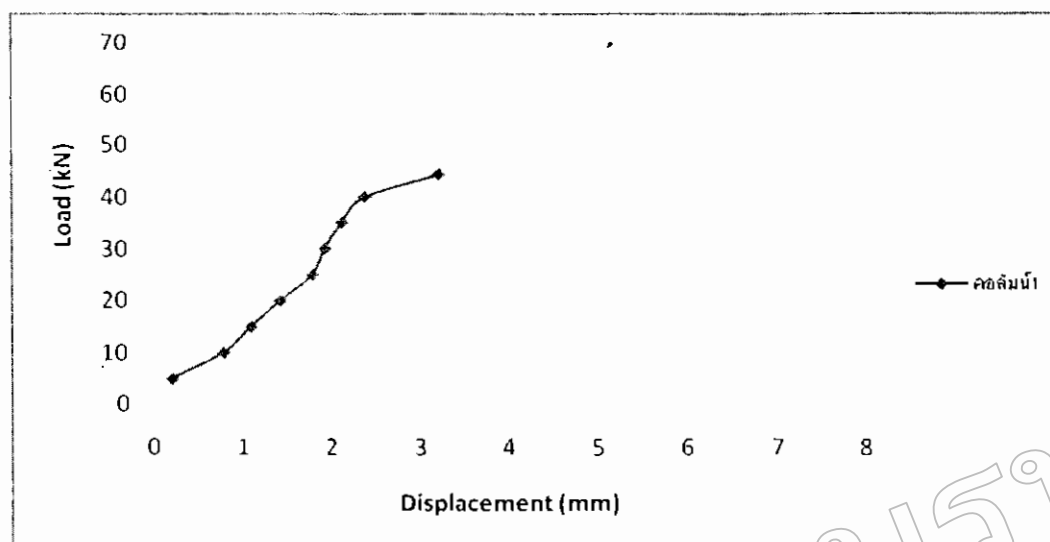


รูปที่ 60 กราฟความสัมพันธ์ระหว่าง Load และ Displacement ของชิ้นส่วนของกำแพงที่ก่อแบบสลับ (Running Bond) ที่ความหนาของชีเมนต์มอร์ตาร์ที่ 1 เซ็นติเมตร

PB-2B/M <sub>2</sub> /1.5-01			
Load (kN)	Stress (N/mm <sup>2</sup> )	Displacement (mm)	Strain
5	0.297	0.20	0.0006
10	0.595	0.78	0.0026
15	0.892	1.09	0.0036
20	1.190	1.42	0.0047
25	1.488	1.78	0.0059
30	1.785	1.92	0.0064
35	2.083	2.11	0.0070
40	2.333	2.37	0.0079
44.4	2.642	3.20	0.0106

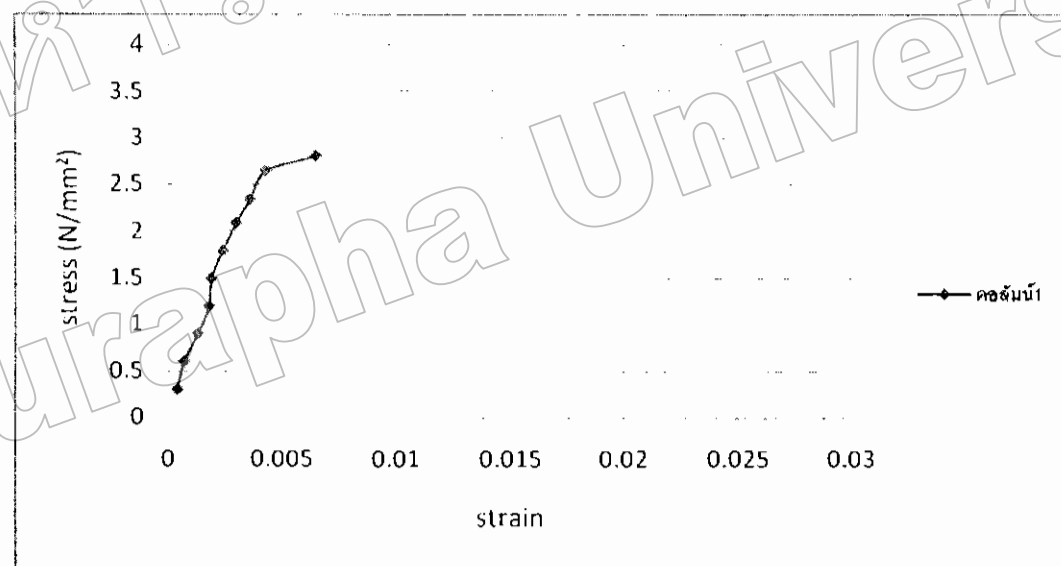


รูปที่ 61 กราฟความสัมพันธ์ระหว่าง Stress และ Strain ของชิ้นส่วนของกำแพงที่ก่อแบบสลับ (Running Bond) ที่ความหนาของชิ้นเม่นต่ำร้อยต่ำรที่ 1 เซ็นติเมตร

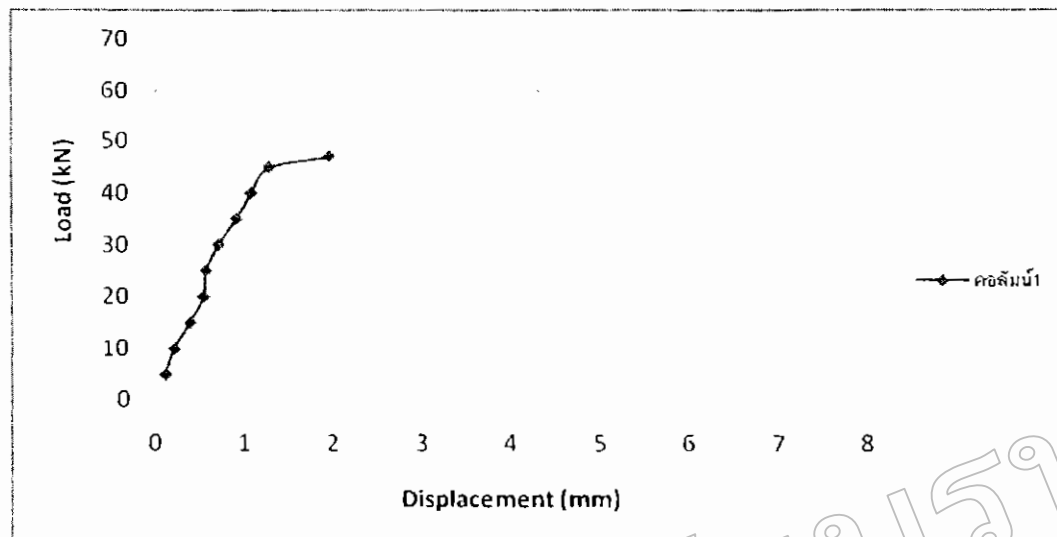


รูปที่ 62 กราฟความสัมพันธ์ระหว่าง Load และ Displacement ของชิ้นส่วนของกำแพงที่ก่อแบบสลับ (Running Bond) ที่ความหนาของชิ้นเม่นต์มอร์ตาร์ที่ 1 เซ็นติเมตร

PB-2B/M <sub>z</sub> /1.5-02			
Load (kN)	Stress (N/mm <sup>2</sup> )	Displacement (mm)	Strain
5	0.297	0.12	0.0004
10	0.595	0.22	0.0007
15	0.892	0.40	0.0013
20	1.190	0.55	0.0018
25	1.488	0.58	0.0019
30	1.785	0.72	0.0024
35	2.083	0.92	0.0030
40	2.333	1.09	0.0036
45	2.642	1.29	0.0043
47.1	2.803	1.97	0.0065

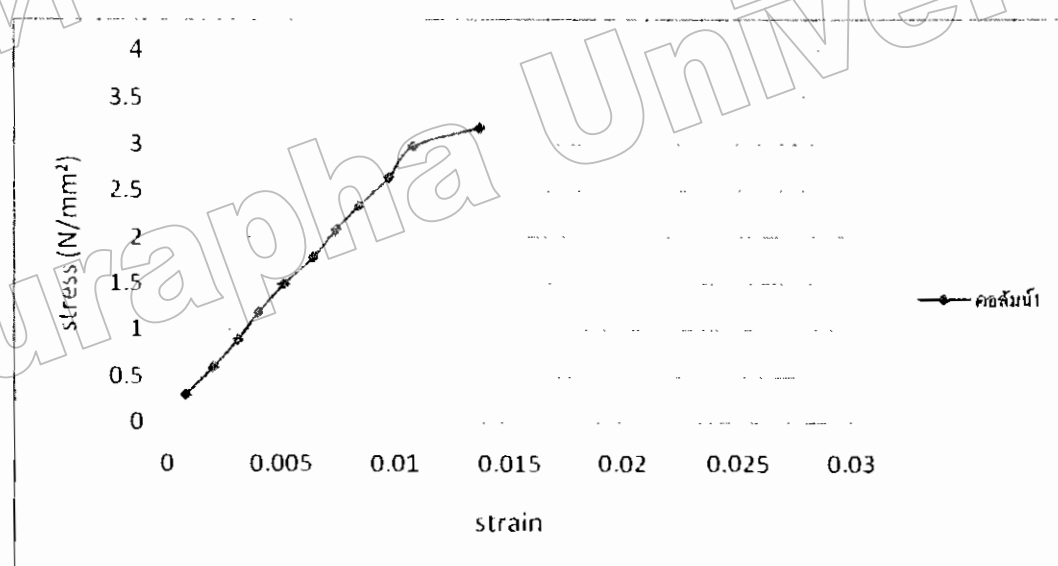


รูปที่ 63 กราฟความสัมพันธ์ระหว่าง Stress และ Strain ของชิ้นส่วนของกำแพงที่ก่อแบบสลับ (Running Bond) ที่ความหนาของชีเมนต์มอร์ต้าร์ที่ 1 เซ็นติเมตร

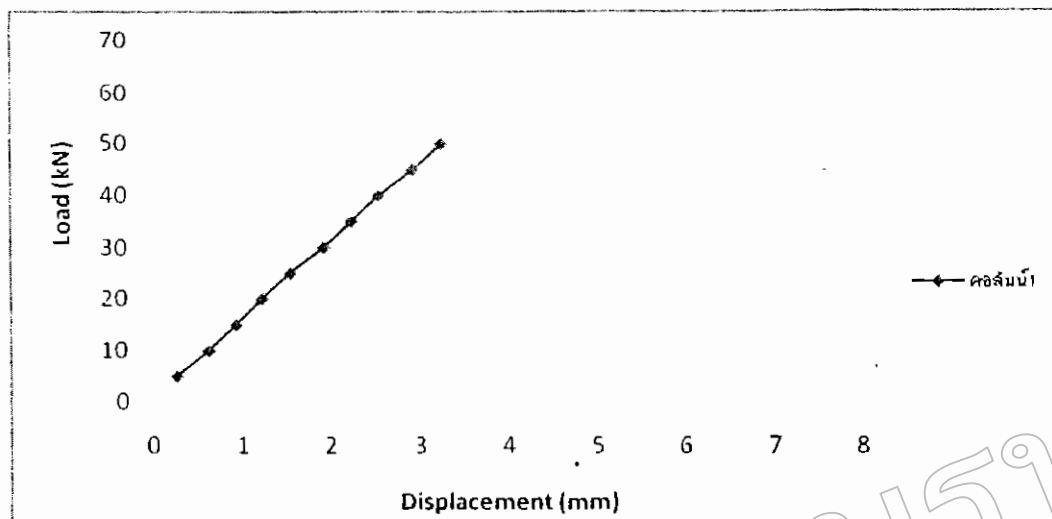


รูปที่ 64 กราฟความสัมพันธ์ระหว่าง Load และ Displacement ของชิ้นส่วนของกำแพงที่ก่อแบบลับ  
(Running Bond) ที่ความหนาของชิ้นmenต์มอร์ตาร์ที่ 1 เซ็นติเมตร

PB-2B/M <sub>2</sub> /1.5-03			
Load (kN)	Stress (N/mm <sup>2</sup> )	Displacement (mm)	Strain
5	0.297	0.26	0.0008
10	0.595	0.62	0.0020
15	0.892	0.93	0.0031
20	1.190	1.22	0.0040
25	1.488	1.54	0.0051
30	1.785	1.92	0.0064
35	2.083	2.23	0.0074
40	2.333	2.54	0.0084
45	2.642	2.92	0.0097
50	2.976	3.24	0.0108
53.3	3.172	4.11	0.0137



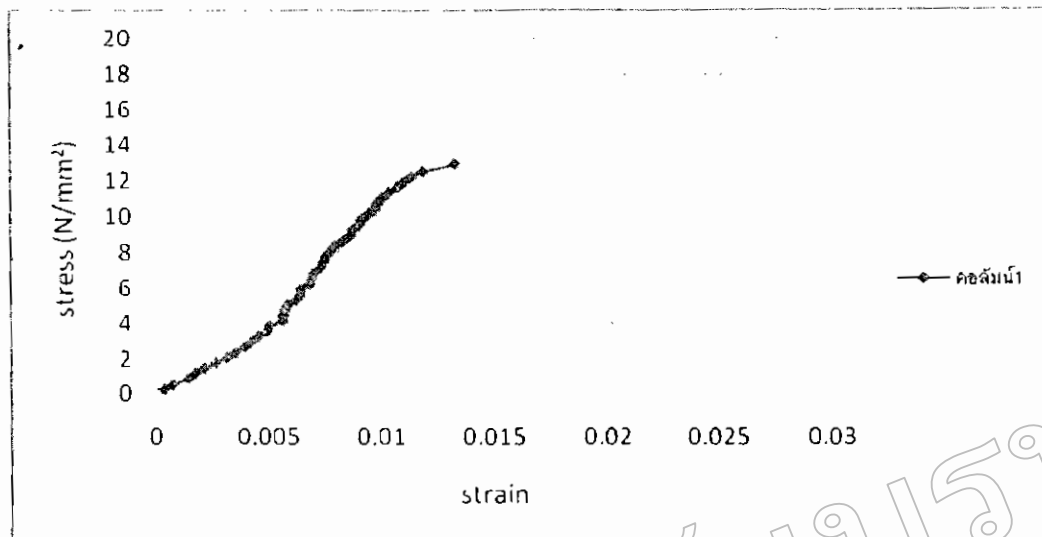
รูปที่ 65 กราฟความสัมพันธ์ระหว่าง Stress และ Strain ของชิ้นส่วนของกำแพงที่ก่อแบบลักษณะ (Running Bond) ที่ความหนาของชิ้นเนินตื้นหรือตื้าร์ที่ 1 เซ็นติเมตร



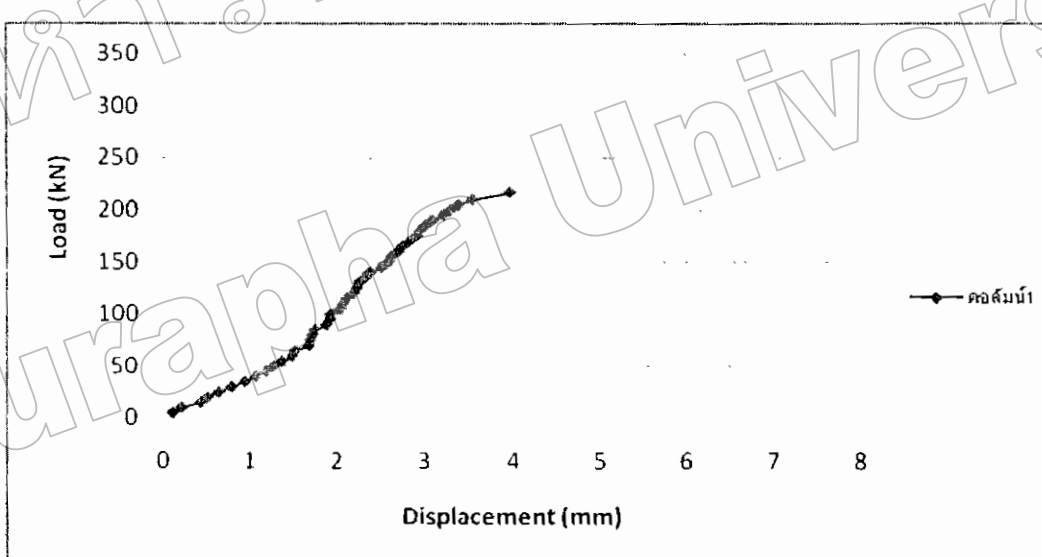
รูปที่ 66 กราฟความสัมพันธ์ระหว่าง Load และ Displacement ของชิ้นส่วนของกำแพงที่ก่อแบบสลับ (Running Bond) ที่ความหนาของชิ้nenคือครึ่งตัวที่ 1 เซ็นติเมตร

PB-F/M <sub>t</sub> /1.5-01			
Load (kN)	Stress (N/mm <sup>2</sup> )	Displacement (mm)	Strain
5	0.297	0.11	0.0003
10	0.595	0.21	0.0007
15	0.892	0.43	0.0014
20	1.190	0.51	0.0017
25	1.488	0.64	0.0021
30	1.785	0.79	0.0026
35	2.083	0.94	0.0031
40	2.380	1.07	0.0035
45	2.678	1.19	0.0039
50	2.976	1.28	0.0042
55	3.273	1.37	0.0045
60	3.571	1.49	0.0049
65	3.869	1.52	0.0050
70	4.166	1.68	0.0056
75	4.464	1.70	0.0056
80	4.761	1.72	0.0057
85	5.059	1.75	0.0058
90	5.357	1.88	0.0062
95	5.654	1.92	0.0064
100	5.952	1.93	0.0064
105	6.250	2.04	0.0068
110	6.547	2.07	0.0069
115	6.845	2.11	0.0070
120	7.142	2.19	0.0073

125	7.440	2.23	0.0074
PB-F/M <sub>r</sub> /1.5-01			
Load (kN)	Stress (N/mm <sup>2</sup> )	Displacement (mm)	Strain
130	7.738	2.25	0.0075
135	8.035	2.32	0.0077
140	8.333	2.38	0.0079
145	8.630	2.51	0.0083
150	8.928	2.59	0.0086
155	9.226	2.62	0.0087
160	9.523	2.70	0.0090
165	9.821	2.75	0.0091
170	10.119	2.84	0.0094
175	10.416	2.91	0.0097
180	10.714	2.95	0.0098
185	11.011	3.01	0.0100
190	11.309	3.09	0.0103
195	11.607	3.22	0.0107
200	11.904	3.30	0.0110
205	12.202	3.39	0.0113
210	12.500	3.55	0.0118
215	12.797	3.69	0.0123
217	12.916	4.26	0.0142



รูปที่ 67 กราฟความสัมพันธ์ระหว่าง Stress และ Strain ของชิ้นส่วนของกำแพงที่ก่อแบบสลับ (Running Bond) ที่ความหนาของชิ้นเด่นต์มอร์ต้าร์ที่ 1 เซ็นติเมตร

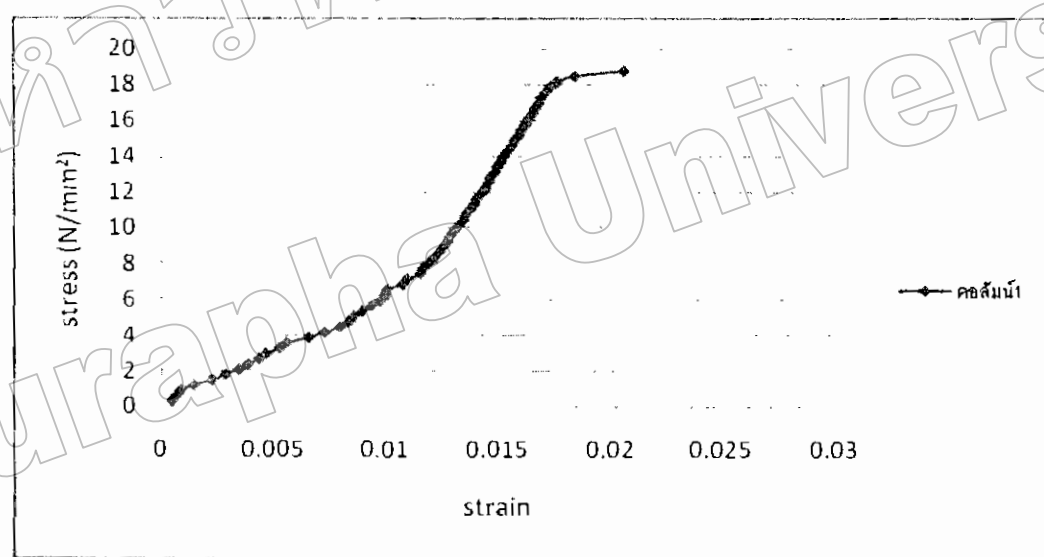


รูปที่ 68 กราฟความสัมพันธ์ระหว่าง Load และ Displacement ของชิ้นส่วนของกำแพงที่ก่อแบบสลับ (Running Bond) ที่ความหนาของชิ้นเด่นต์มอร์ต้าร์ที่ 1 เซ็นติเมตร

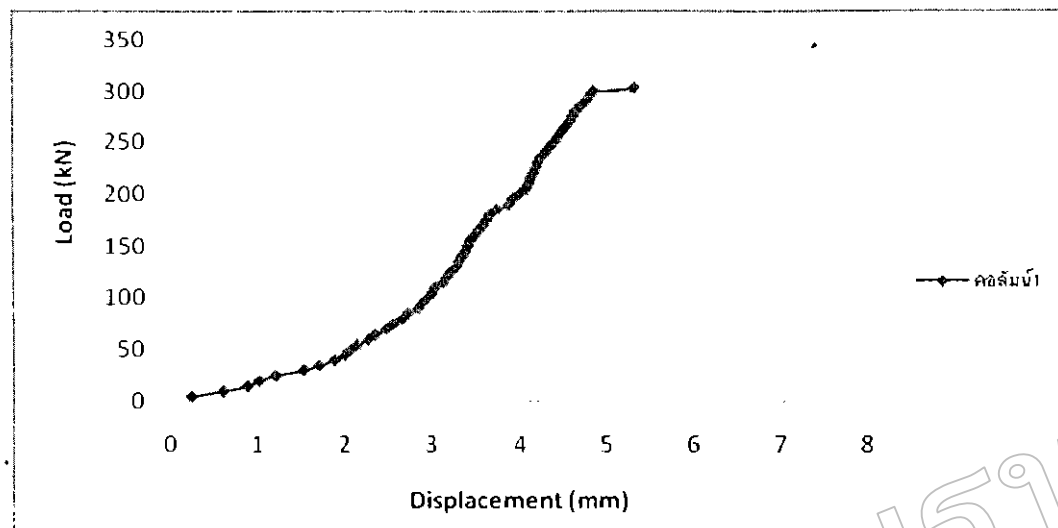
PB-F/M <sub>f</sub> /1.5-02			
Load (kN)	Stress (N/mm <sup>2</sup> )	Displacement (mm)	Strain
5	0.297	0.15	0.0005
10	0.595	0.22	0.0007
15	0.892	0.28	0.0009
20	1.190	0.47	0.0015
25	1.488	0.71	0.0023
30	1.785	0.89	0.0029
35	2.083	1.05	0.0035
40	2.380	1.17	0.0039
45	2.678	1.33	0.0044
50	2.976	1.42	0.0047
55	3.273	1.60	0.0053
60	3.571	1.70	0.0056
65	3.869	2.00	0.0066
70	4.166	2.20	0.0073
75	4.464	2.40	0.0080
80	4.761	2.54	0.0084
85	5.059	2.60	0.0086
90	5.357	2.71	0.0090
95	5.654	2.83	0.0094
100	5.952	2.94	0.0098
105	6.250	3.00	0.0100
110	6.547	3.20	0.0101
115	6.845	3.24	0.0108
120	7.142	3.30	0.0110
125	7.440	3.49	0.0116
130	7.738	3.52	0.0117
135	8.035	3.60	0.0120

140	8.333	3.68	0.0122
PB-F/M <sub>r</sub> /1.5-02			
Load (kN)	Stress (N/mm <sup>2</sup> )	Displacement (mm)	Strain
145	8.630	3.73	0.0124
150	8.928	3.78	0.0126
155	9.226	3.84	0.0128
160	9.523	3.89	0.0129
165	9.821	3.94	0.0131
170	10.119	4.00	0.0133
175	10.416	4.06	0.0135
180	10.714	4.10	0.0136
185	11.011	4.15	0.0138
190	11.309	4.20	0.0140
195	11.607	4.25	0.0141
200	11.904	4.29	0.0143
205	12.202	4.35	0.0145
210	12.500	4.39	0.0146
215	12.797	4.43	0.0147
220	13.095	4.48	0.0149
225	13.392	4.50	0.0150
230	13.690	4.57	0.0152
235	13.988	4.61	0.0153
240	14.285	4.67	0.0155
245	14.583	4.72	0.0157
250	14.880	4.76	0.0158
255	15.178	4.80	0.0160
260	15.476	4.85	0.0161
265	15.773	4.90	0.0163
270	16.071	4.94	0.0164

275	16.369	5.00	0.0166
280	16.666	5.03	0.0167
PB-F/M <sub>1</sub> /1.5-02			
Load (kN)	Stress (N/mm <sup>2</sup> )	Displacement (mm)	Strain
285	16.964	5.08	0.0169
290	17.261	5.12	0.0170
295	17.559	5.17	0.0172
300	17.857	5.23	0.0174
305	18.154	5.31	0.0177
310	18.452	5.56	0.0185
314.8	18.738	6.21	0.0207



รูปที่ 69 กราฟความสัมพันธ์ระหว่าง Stress และ Strain ของชิ้นส่วนของกำแพงที่ก่อแบบสลับ (Running Bond) ที่ความหนาของชิ้มเนต์มอร์ต้าร์ที่ 1 เซ็นติเมตร

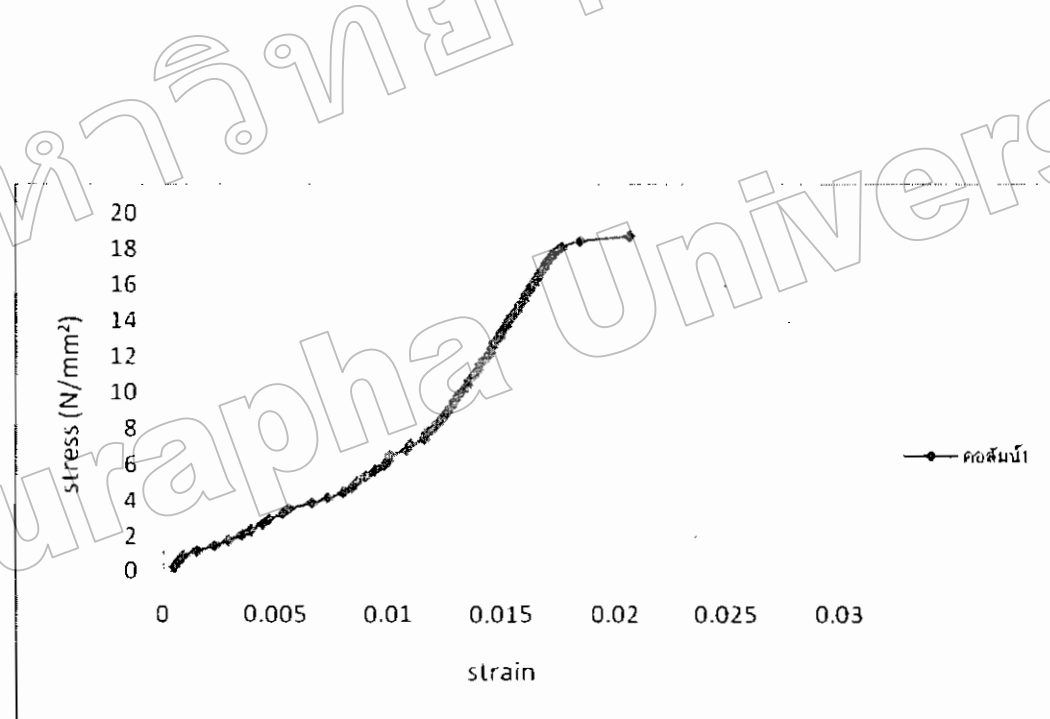


รูปที่ 70 กราฟความสัมพันธ์ระหว่าง Load และ Displacement ของชิ้นส่วนของกำแพงที่ก่อแบบสลับ (Running Bond) ที่ความหนาของชิ้นเม็ดต้มอิฐต่ำที่ 1 เซนติเมตร

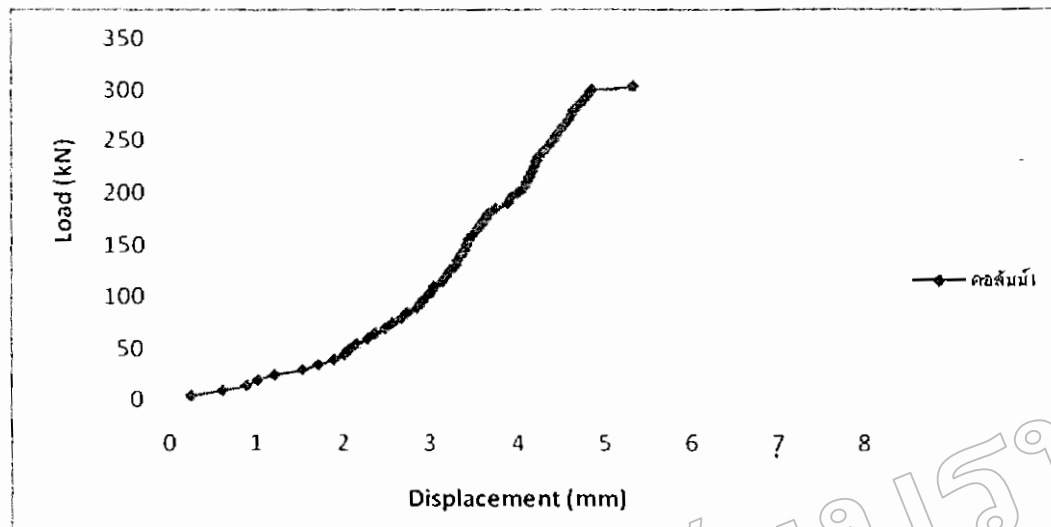
PB-F/M <sub>1</sub> /1.5-03			
Load (kN)	Stress (N/mm <sup>2</sup> )	Displacement (mm)	Strain
5	0.297	0.15	0.0005
10	0.595	0.28	0.0007
15	0.892	0.28	0.0009
20	1.190	0.47	0.0015
25	1.488	0.71	0.0023
30	1.785	0.89	0.0029
35	2.083	1.05	0.0035
40	2.380	1.17	0.0039
45	2.678	1.33	0.0044
50	2.976	1.42	0.0047
55	3.273	1.60	0.0053
60	3.571	1.70	0.0056
65	3.869	2.00	0.0066
70	4.166	2.20	0.0073
75	4.464	2.40	0.0080
80	4.761	2.54	0.0084
85	5.059	2.60	0.0086
90	5.357	2.71	0.0090
95	5.654	2.83	0.0094
100	5.952	2.94	0.0098
105	6.250	3.00	0.0100
110	6.547	3.20	0.0101
115	6.845	3.24	0.0108
120	7.142	3.30	0.0110
125	7.440	3.49	0.0116
130	7.738	3.52	0.0117
135	8.035	3.60	0.0120

140	8.333	3.68	0.0122
PB-F/M <sub>t</sub> /1.5-03			
Load (kN)	Stress (N/mm <sup>2</sup> )	Displacement (mm)	Strain
145	8.630	3.73	0.0124
150	8.928	3.78	0.0126
155	9.226	3.84	0.0128
160	9.523	3.89	0.0129
165	9.821	3.94	0.0131
170	10.119	4.00	0.0133
175	10.416	4.06	0.0135
180	10.714	4.10	0.0136
185	11.011	4.15	0.0138
190	11.309	4.20	0.0140
195	11.607	4.25	0.0141
200	11.904	4.29	0.0143
205	12.202	4.35	0.0145
210	12.500	4.39	0.0146
215	12.797	4.43	0.0147
220	13.095	4.48	0.0149
225	13.392	4.50	0.0150
230	13.690	4.57	0.0152
235	13.988	4.61	0.0153
240	14.285	4.67	0.0155
245	14.583	4.72	0.0157
250	14.880	4.76	0.0158
255	15.178	4.80	0.0160
260	15.476	4.85	0.0161
265	15.773	4.90	0.0163
270	16.071	4.94	0.0164

275	16.369	5.00	0.0166
280	16.666	5.03	0.0167
PB-F/M <sub>i</sub> /1.5-03			
Load (kN)	Stress (N/mm <sup>2</sup> )	Displacement (mm)	Strain
285	16.964	5.08	0.0169
290	17.261	5.12	0.0170
295	17.559	5.17	0.0172
300	17.857	5.23	0.0174
305	18.154	5.31	0.0177
310	18.452	5.56	0.0185
314.8	18.738	6.21	0.0207



รูปที่ 71 กราฟความสัมพันธ์ระหว่าง Stress และ Strain ของชิ้นส่วนของกำแพงที่ก่อแบบสตั๊บ (Running Bond) ที่ความหนาของชิ้เมนต์มอร์ตาร์ที่ 1 เซ็นติเมตร

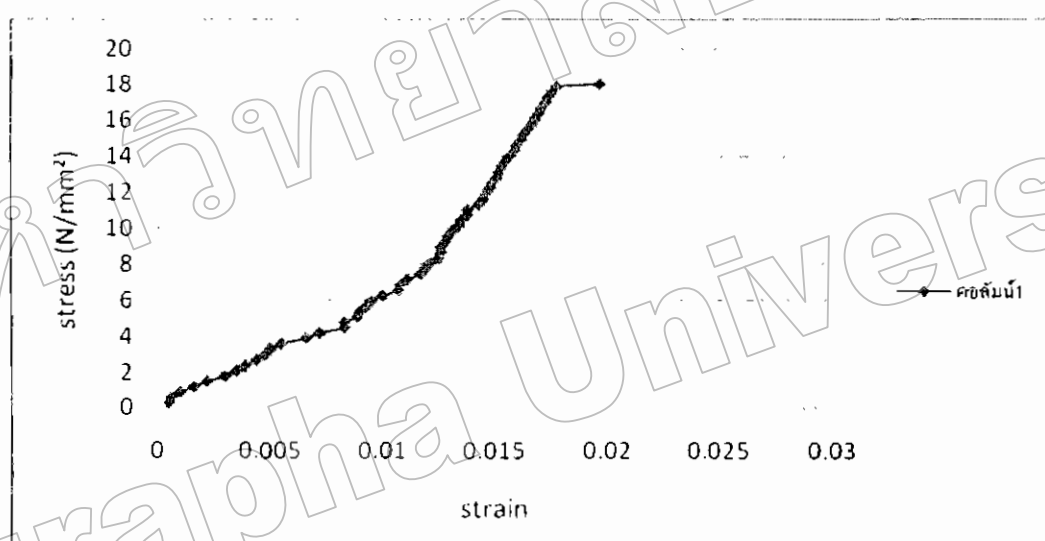


รูปที่ 72 กราฟความสัมพันธ์ระหว่าง Load และ Displacement ของชิ้นส่วนของกำแพงที่ก่อแบบสลับ (Running Bond) ที่ความหนาของซีเมนต์มอร์ตาร์ที่ 1 เซ็นติเมตร

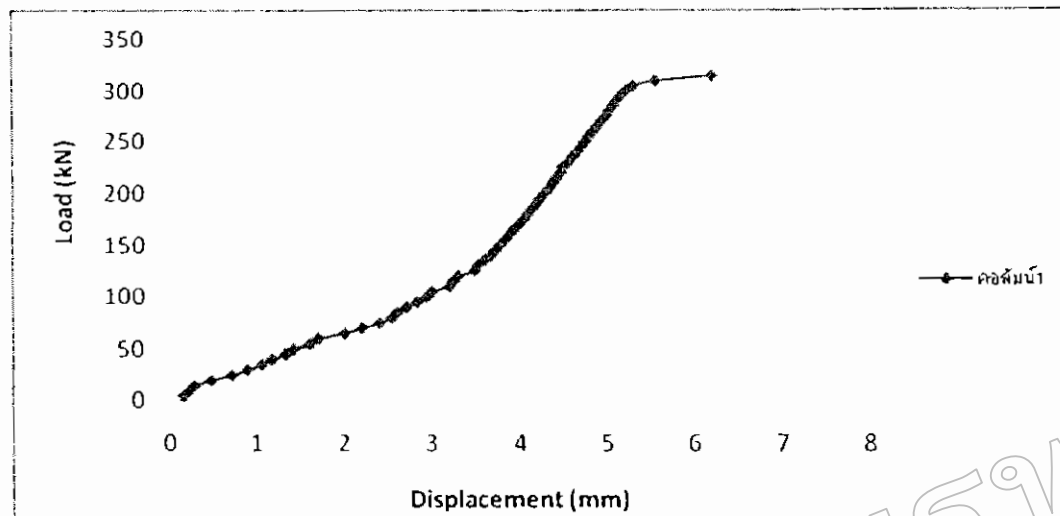
PB-F/M <sub>2</sub> /1.5-01			
Load (kN)	Stress (N/mm <sup>2</sup> )	Displacement (mm)	Strain
5	0.297	0.16	0.0005
10	0.595	0.20	0.0006
15	0.892	0.31	0.0010
20	1.190	0.48	0.0016
25	1.488	0.68	0.0022
30	1.785	0.90	0.0030
35	2.083	1.06	0.0035
40	2.380	1.19	0.0039
45	2.678	1.32	0.0044
50	2.976	1.45	0.0048
55	3.273	1.50	0.0050
60	3.571	1.65	0.0055
65	3.869	1.98	0.0066
70	4.166	2.18	0.0072
75	4.464	2.51	0.0083
80	4.761	2.56	0.0083
85	5.059	2.68	0.0089
90	5.357	2.72	0.0090
95	5.654	2.79	0.0093
100	5.952	2.85	0.0095
105	6.250	3.02	0.0100
110	6.547	3.21	0.0107
115	6.845	3.25	0.0108
120	7.142	3.35	0.0111
125	7.440	3.52	0.0117
130	7.738	3.58	0.0119
135	8.035	3.65	0.0121

140	8.333	3.69	0.0125
PB-F/M <sub>2</sub> /1.5-01			
Load (kN)	Stress (N/mm <sup>2</sup> )	Displacement (mm)	Strain
145	8.630	3.78	0.0126
150	8.928	3.79	0.0126
155	9.226	3.85	0.0128
160	9.523	3.89	0.0129
165	9.821	3.95	0.0131
170	10.119	4.02	0.0134
175	10.416	4.06	0.0135
180	10.714	4.15	0.0138
185	11.011	4.16	0.0138
190	11.309	4.30	0.0143
195	11.607	4.35	0.0145
200	11.904	4.39	0.0146
205	12.202	4.45	0.0148
210	12.500	4.49	0.0149
215	12.797	4.53	0.0151
220	13.095	4.58	0.0152
225	13.392	4.60	0.0153
230	13.690	4.67	0.0155
235	13.988	4.71	0.0157
240	14.285	4.77	0.0159
245	14.583	4.82	0.0160
250	14.880	4.86	0.0162
255	15.178	4.91	0.0163
260	15.476	4.97	0.0165
265	15.773	5.01	0.0167
270	16.071	5.04	0.0168

275	16.369	5.11	0.0170
280	16.666	5.15	0.0171
PB-F/M <sub>2</sub> /1.5-01			
Load (kN)	Stress (N/mm <sup>2</sup> )	Displacement (mm)	Strain
285	16.964	5.19	0.0173
290	17.261	5.23	0.0174
295	17.559	5.28	0.0176
300	17.857	5.35	0.0178
302.5	18.005	5.92	0.0197



รูปที่ 73 กราฟความสัมพันธ์ระหว่าง Stress และ Strain ของชิ้นส่วนของกำแพงที่ก่อแบบสลับ (Running Bond) ที่ความหนาของชิ้menต์มอร์ตาร์ที่ 1 เซ็นติเมตร



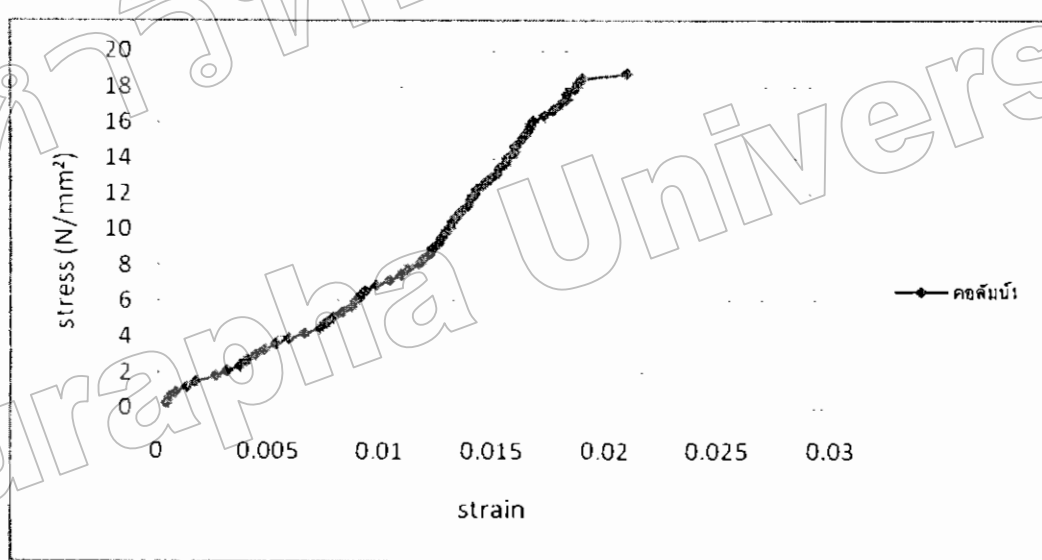
รูปที่ 74 กราฟความสัมพันธ์ระหว่าง Load และ Displacement ของชิ้นส่วนของก้าแพงที่ก่อแบบลักษณะ (Running Bond) ที่ความหนาของชิ้นเน้นตื้นอีร์ต้าร์ที่ 1 เซนติเมตร

(Running Bond) ที่ความหนาของชิ้นเน้นตื้นอีร์ต้าร์ที่ 1 เซนติเมตร

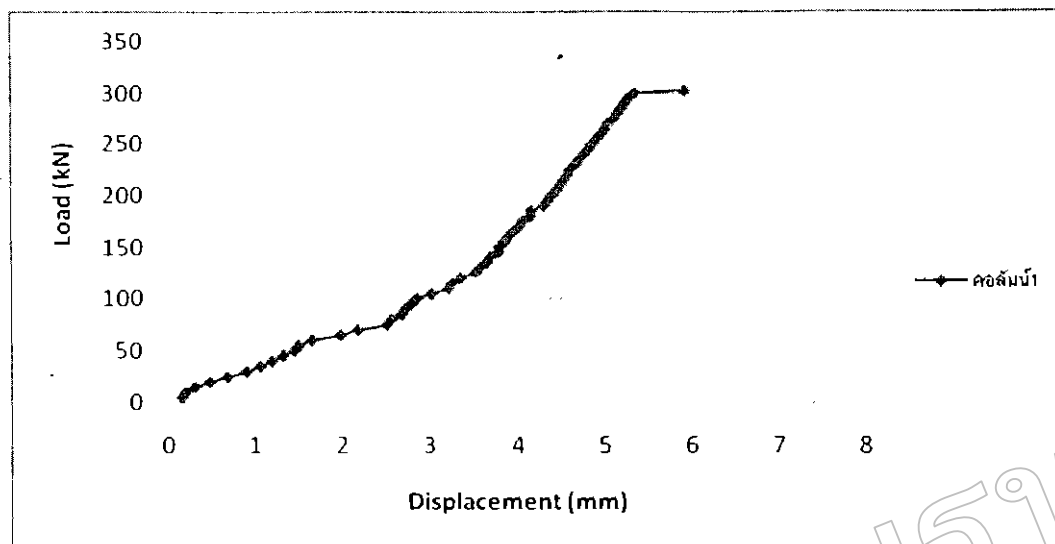
PB-F/M <sub>2</sub> /1.5-02			
Load (kN)	Stress (N/mm <sup>2</sup> )	Displacement (mm)	Strain
5	0.297	0.13	0.0004
10	0.595	0.16	0.0005
15	0.892	0.25	0.0008
20	1.190	0.39	0.0013
25	1.488	0.52	0.0017
30	1.785	0.79	0.0026
35	2.083	0.95	0.0031
40	2.380	1.12	0.0037
45	2.678	1.21	0.0040
50	2.976	1.32	0.0044
55	3.273	1.45	0.0048
60	3.571	1.59	0.0053
65	3.869	1.78	0.0059
70	4.166	1.99	0.0066
75	4.464	2.21	0.0073
80	4.761	2.28	0.0076
85	5.059	2.39	0.0079
90	5.357	2.51	0.0083
95	5.654	2.62	0.0087
100	5.952	2.68	0.0089
105	6.250	2.75	0.0091
110	6.547	2.81	0.0093
115	6.845	2.96	0.0098
120	7.142	3.12	0.0104
125	7.440	3.28	0.0109
130	7.738	3.38	0.0112
135	8.035	3.51	0.0117

140	8.333	3.59	0.0119
PB-F/M <sub>z</sub> /1.5-02			
Load (kN)	Stress (N/mm <sup>2</sup> )	Displacement (mm)	Strain
145	8.630	3.67	0.0122
150	8.928	3.71	0.0123
155	9.226	3.78	0.0126
160	9.523	3.82	0.0127
165	9.821	3.89	0.0129
170	10.119	3.93	0.0131
175	10.416	3.98	0.0132
180	10.714	4.03	0.0134
185	11.011	4.08	0.0136
190	11.309	4.18	0.0139
195	11.607	4.22	0.0140
200	11.904	4.27	0.0142
205	12.202	4.31	0.0143
210	12.500	4.38	0.0146
215	12.797	4.49	0.0149
220	13.095	4.58	0.0152
225	13.392	4.61	0.0153
230	13.690	4.68	0.0156
235	13.988	4.72	0.0157
240	14.285	4.81	0.0160
245	14.583	4.82	0.0160
250	14.880	4.87	0.0162
255	15.178	4.92	0.0164
260	15.476	4.98	0.0166
265	15.773	5.02	0.0167
270	16.071	5.05	0.0168

275	16.369	5.19	0.0173
280	16.666	5.32	0.0177
PB-F/M <sub>2</sub> /1.5-02			
Load (kN)	Stress (N/mm <sup>2</sup> )	Displacement (mm)	Strain
285	16.964	5.41	0.0180
290	17.261	5.49	0.0183
295	17.559	5.51	0.0183
300	17.857	5.62	0.0187
305	18.154	5.64	0.0188
310	18.452	5.72	0.0190
314.3	18.708	6.31	0.0210



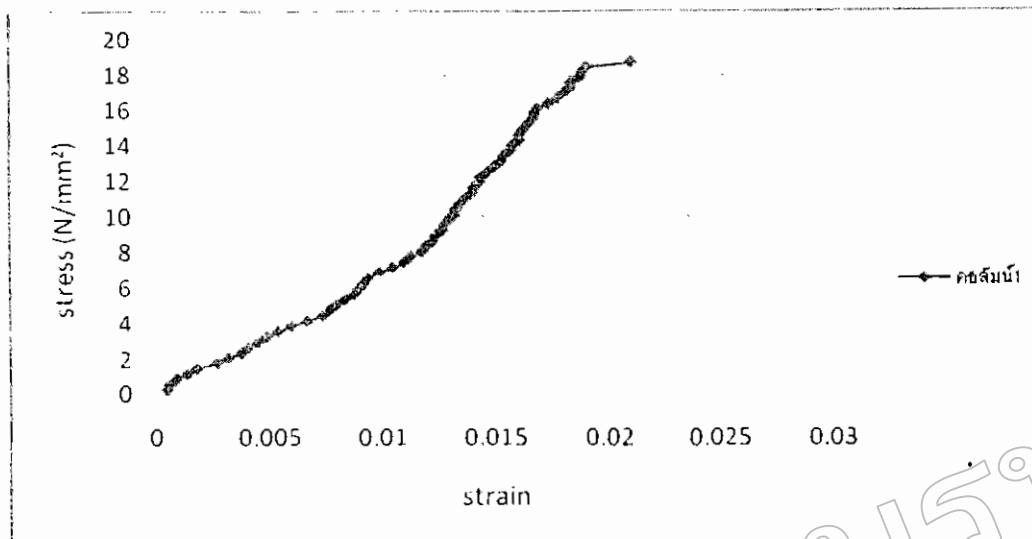
รูปที่ 75 กราฟความสัมพันธ์ระหว่าง Stress และ Strain ของชิ้นส่วนของกำแพงที่ก่อแบบสลับ (Running Bond) ที่ความหนาของซีเมนต์มอร์ตาร์ที่ 1 เซ็นติเมตร



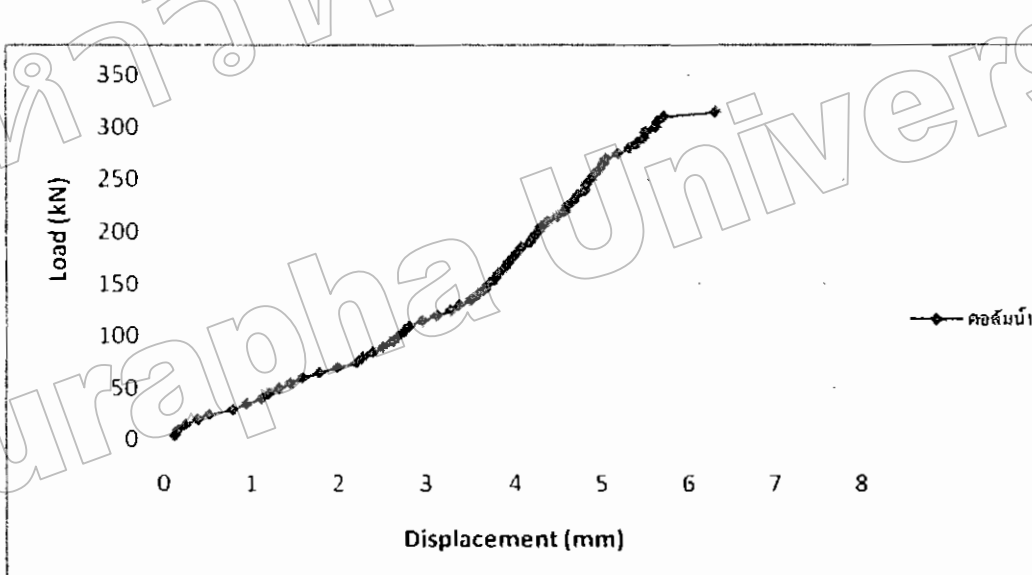
รูปที่ 76 กราฟความสัมพันธ์ระหว่าง Load และ Displacement ของชั้นส่วนของกำแพงที่ก่อแบบสลับ (Running Bond) ที่ความหนาของชิ้นเนต์มอร์ตาร์ที่ 1 เซนติเมตร

PB-F/M <sub>2</sub> /1.5-03			
Load (kN)	Stress (N/mm <sup>2</sup> )	Displacement (mm)	Strain
5	0.297	0.18	0.0006
10	0.595	0.21	0.0007
15	0.892	0.27	0.0009
20	1.190	0.31	0.0010
25	1.488	0.45	0.0015
30	1.785	0.54	0.0018
35	2.083	0.78	0.0026
40	2.380	0.93	0.0031
45	2.678	1.21	0.0040
50	2.976	1.37	0.0045
55	3.273	1.41	0.0047
60	3.571	1.49	0.0049
65	3.869	1.59	0.0053
70	4.166	1.78	0.0059
75	4.464	1.93	0.0064
80	4.761	2.08	0.0069
85	5.059	2.21	0.0073
90	5.357	2.38	0.0079
95	5.654	2.49	0.0083
100	5.952	2.53	0.0084
105	6.250	2.61	0.0087
110	6.547	2.68	0.0089
115	6.845	2.73	0.0091
120	7.142	2.85	0.0095
125	7.440	2.94	0.0098
130	7.738	3.12	0.0104
135	8.035	3.19	0.0106

140	8.333	3.28	0.0106
PB-F/M <sub>2</sub> /1.5-03			
Load (kN)	Stress (N/mm <sup>2</sup> )	Displacement (mm)	Strain
145	8.630	3.37	0.0112
150	8.928	3.45	0.0115
155	9.226	3.61	0.0120
160	9.523	3.69	0.0123
165	9.821	3.72	0.0124
170	10.119	3.79	0.0126
175	10.416	3.85	0.0128
180	10.714	3.99	0.0133
185	11.011	4.02	0.0134
190	11.309	4.11	0.0137
195	11.607	4.19	0.0139
200	11.904	4.28	0.0142
205	12.202	4.31	0.0143
210	12.500	4.35	0.0145
215	12.797	4.41	0.0147
220	13.095	4.48	0.0149
225	13.392	4.53	0.0151
230	13.690	4.59	0.0153
235	13.988	4.63	0.0154
240	14.285	4.72	0.0157
245	14.583	4.85	0.0161
250	14.880	4.93	0.0164
255	15.178	5.18	0.0172
260	15.476	5.35	0.0178
264.8	15.761	5.91	0.0197



รูปที่ 77 กราฟความสัมพันธ์ระหว่าง Stress และ Strain ของชิ้นส่วนของกำแพงที่ก่อแบบสลับ (Running Bond) ที่ความหนาของชีเมนต์มอร์ตาร์ที่ 1.5 เซ็นติเมตร

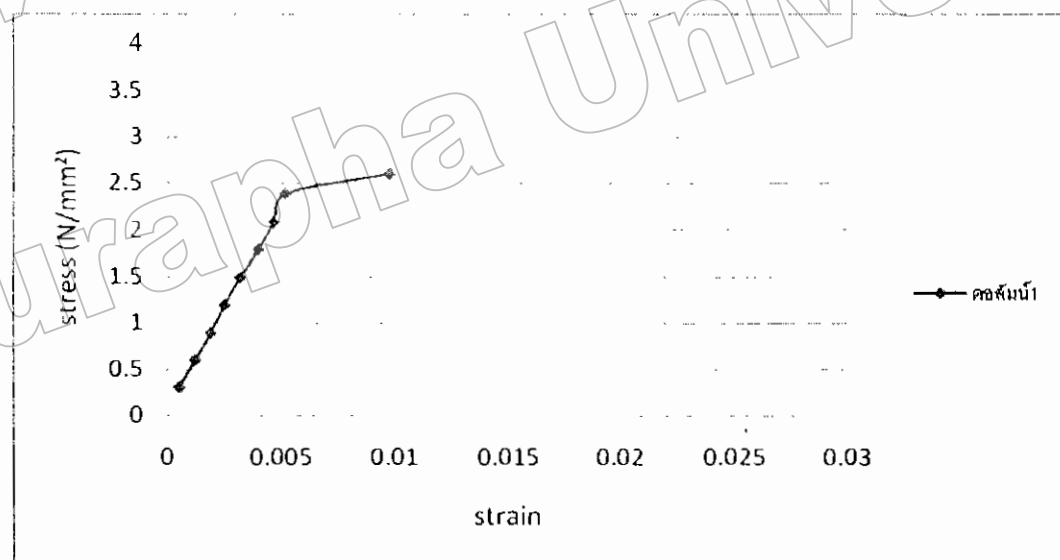


รูปที่ 78 กราฟความสัมพันธ์ระหว่าง Load และ Displacement ของชิ้นส่วนของกำแพงที่ก่อแบบสลับ (Running Bond) ที่ความหนาของชีเมนต์มอร์ตาร์ที่ 1.5 เซ็นติเมตร

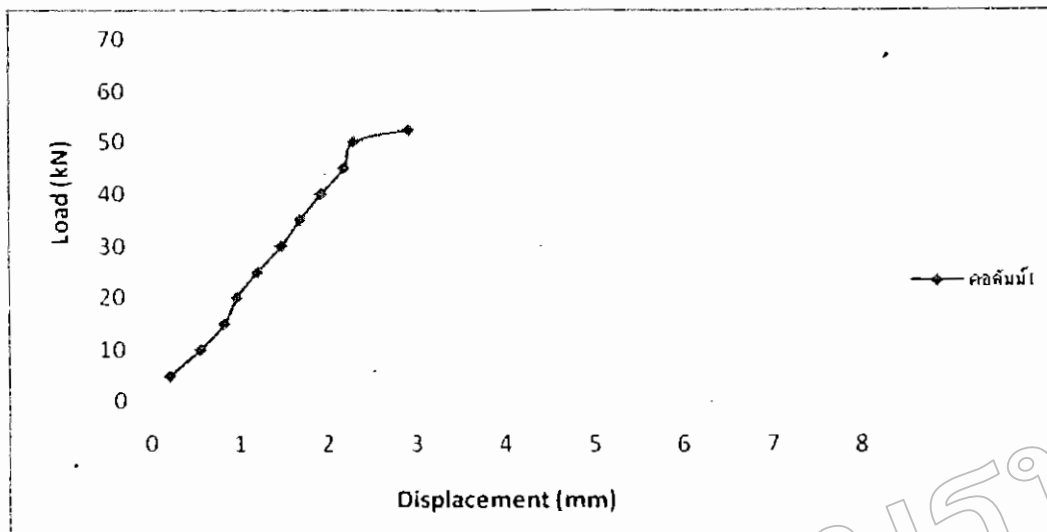
ผลการทดสอบกำลังอัดชิ้นส่วนของกำแพงอิฐมอญดัน โดยใช้ชีวีเมนค์มอร์ต้าร์ เสือ ความหนา 1.5 ซม.

จำนวน 3 ตัวอย่าง ได้ผลดังนี้

PB-4H/M <sub>j</sub> /1.5-01			
Load (kN)	Stress (N/mm <sup>2</sup> )	Displacement (mm)	Strain
5	0.297	0.16	0.0005
10	0.595	0.37	0.0012
15	0.892	0.58	0.0019
20	1.190	0.76	0.0025
25	1.488	0.98	0.0032
30	1.785	1.21	0.0040
35	2.083	1.42	0.0047
40	2.380	1.58	0.0052
43.7	2.601	2.94	0.0098

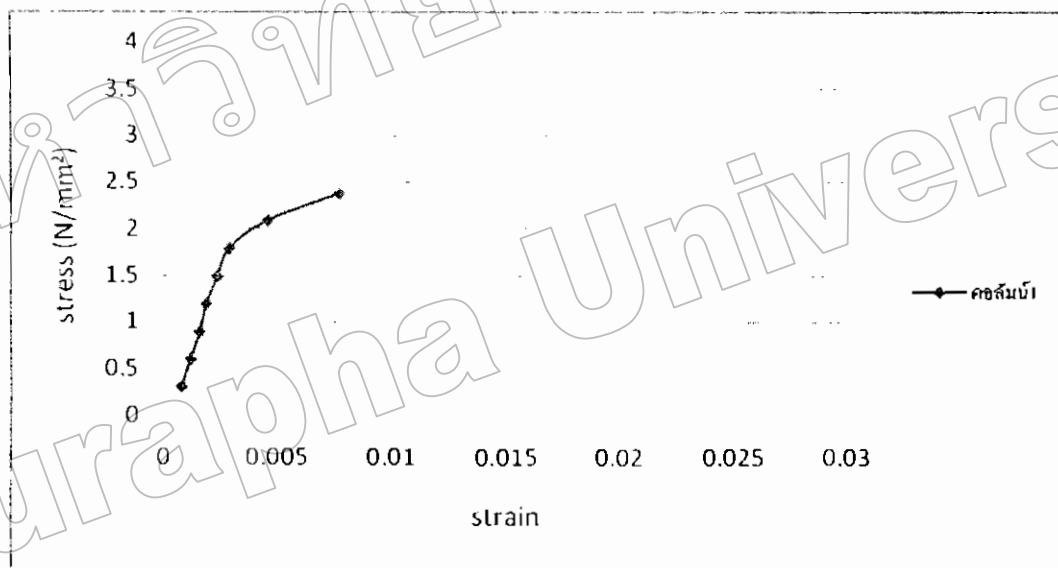


รูปที่ 79 กราฟความสัมพันธ์ระหว่าง Stress และ Strain ของชิ้นส่วนของกำแพงที่ก่อแบบลับ (Running Bond) ที่ความหนาของชีวีเมนค์มอร์ต้าร์ที่ 1.5 เซ็นติเมตร

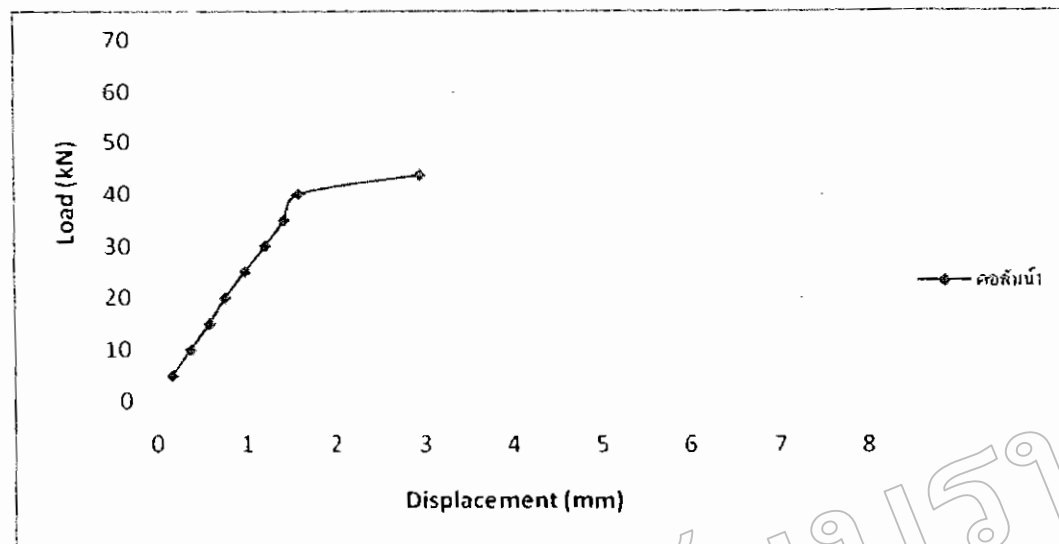


รูปที่ 80 กราฟความสัมพันธ์ระหว่าง Load และ Displacement ของชิ้นตัวของกำแพงที่ก่อแบบสลับ (Running Bond) ที่ความหนาของชิ้นเม่นต์มอร์ตาร์ที่ 1.5 เซ็นติเมตร

PB-4H/M <sub>1</sub> /1.5-02			
Load (kN)	Stress (N/mm <sup>2</sup> )	Displacement (mm)	Strain
5	0.297	0.24	0.0008
10	0.595	0.37	0.0012
15	0.892	0.48	0.0016
20	1.190	0.59	0.0019
25	1.488	0.73	0.0024
30	1.785	0.89	0.0029
35	2.083	1.39	0.0046
39.8	2.369	2.31	0.0077

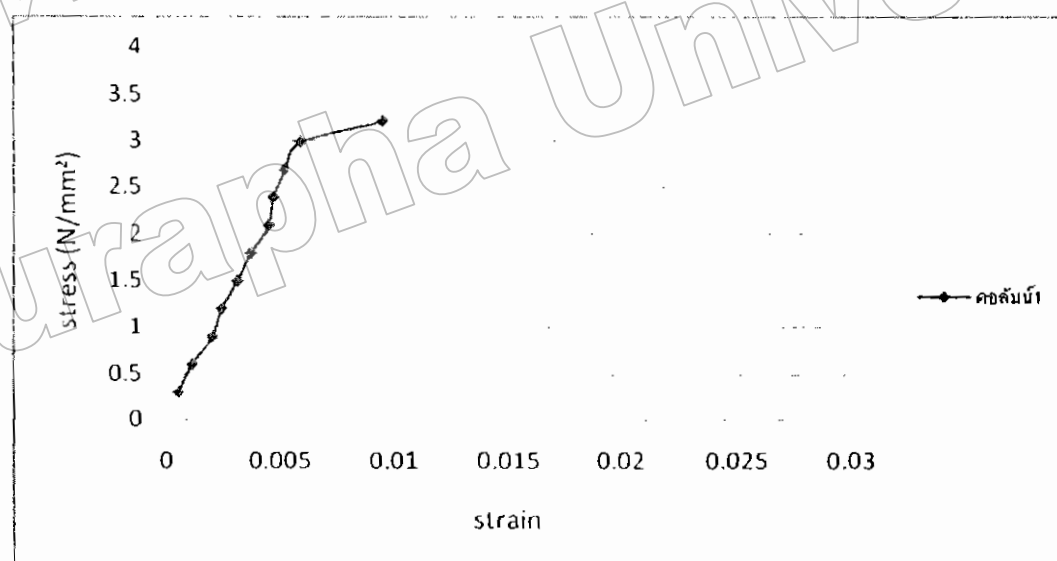


รูปที่ 81 กราฟความสัมพันธ์ระหว่าง Stress และ Strain ของชิ้นส่วนของกำแพงที่ก่อแบบลับ (Running Bond) ที่ความหนาของชิ้nen ต่ำร์ตัวร์ที่ 1.5 เซ็นติเมตร

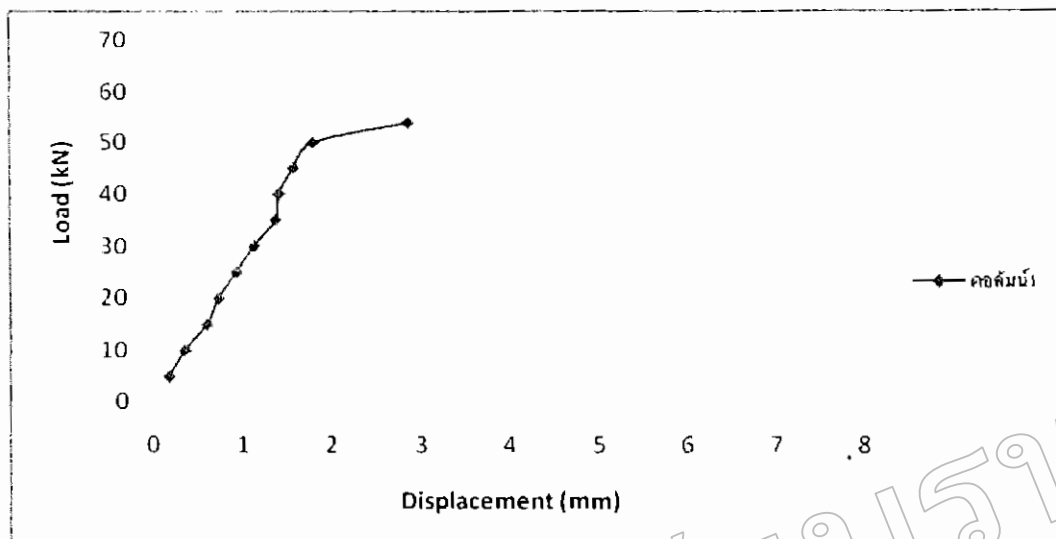


รูปที่ 82 กราฟความสัมพันธ์ระหว่าง Load และ Displacement ของชิ้นส่วนของกำแพงที่ก่อแบบสลับ (Running Bond) ที่ความหนาของชิ้nen ต่ำอยู่ที่ 1.5 เซ็นติเมตร

PB-4H/M <sub>1</sub> /1.5-03			
Load (kN)	Stress (N/mm <sup>2</sup> )	Displacement (mm)	Strain
5	0.297	0.17	0.0005
10	0.595	0.35	0.0011
15	0.892	0.60	0.0020
20	1.190	0.73	0.0024
25	1.488	0.93	0.0031
30	1.785	1.13	0.0037
35	2.083	1.37	0.0045
40	2.380	1.41	0.0047
45	2.678	1.57	0.0052
50	2.976	1.79	0.0059
53.8	3.202	2.86	0.0095

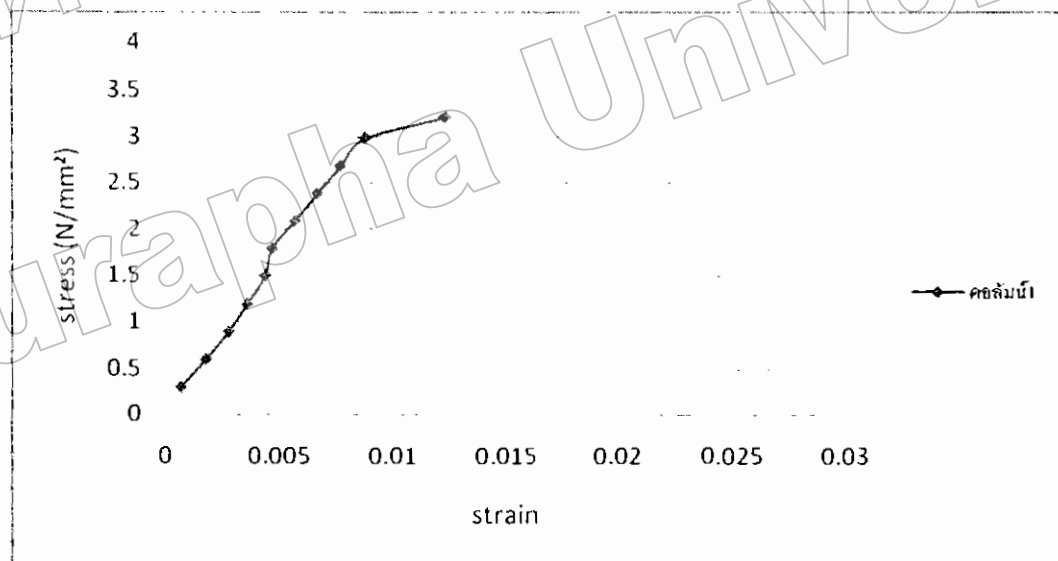


รูปที่ 83 กราฟความสัมพันธ์ระหว่าง Stress และ Strain ของชิ้นส่วนของกำแพงที่ก่อแบบสลับ (Running Bond) ที่ความหนาของชิ้มเนต้มอร์ต้าร์ที่ 1.5 เซ็นติเมตร

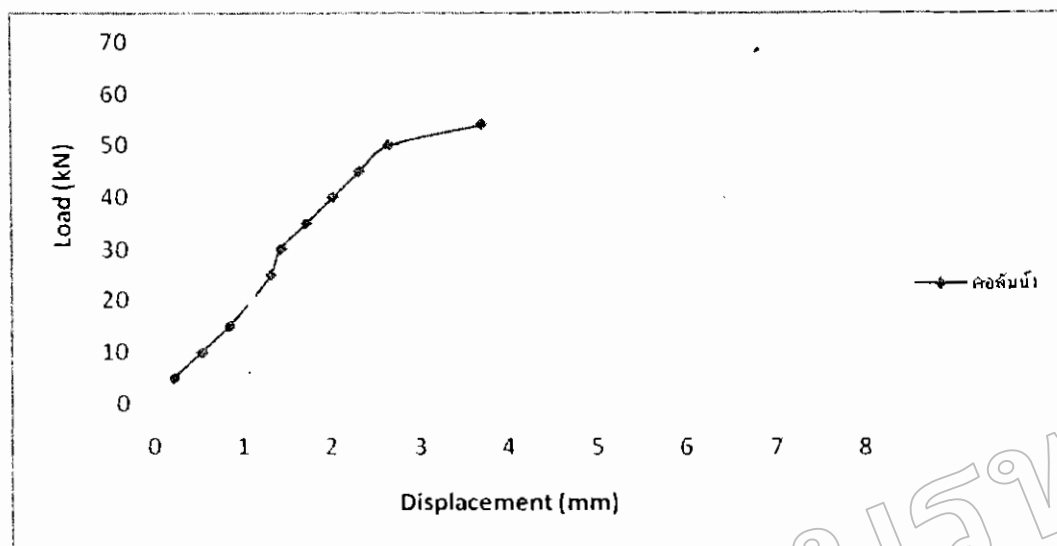


รูปที่ 84 กราฟความสัมพันธ์ระหว่าง Load และ Displacement ของชิ้นส่วนของกำแพงที่ก่อแบบสลับ (Running Bond) ที่ความหนาของชิ้นเม่นต์มอร์ตาร์ที่ 1.5 เซ็นติเมตร

PB-4H/M <sub>z</sub> /1.5-01			
Load (kN)	Stress (N/mm <sup>2</sup> )	Displacement (mm)	Strain
5	0.297	0.22	0.0007
10	0.595	0.54	0.0018
15	0.892	0.85	0.0028
20	1.190	1.10	0.0036
25	1.488	1.32	0.0044
30	1.785	1.43	0.0047
35	2.083	1.72	0.0057
40	2.380	2.02	0.0067
45	2.678	2.32	0.0077
50	2.976	2.65	0.0088
54	3.202	3.70	0.0123

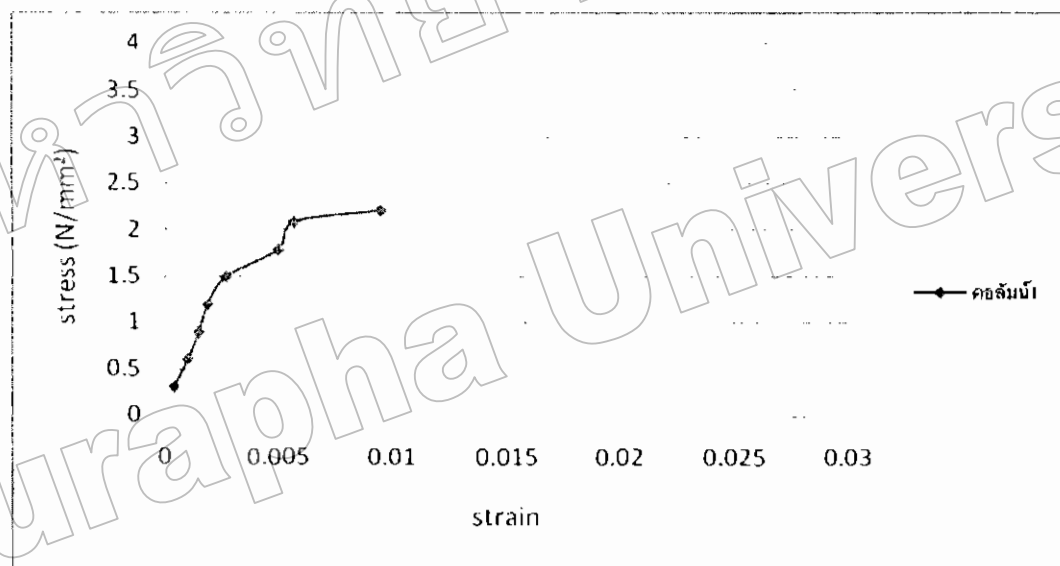


รูปที่ 85 กราฟความสัมพันธ์ระหว่าง Stress และ Strain ของชิ้นส่วนของกำแพงที่ก่อแบบสลับ (Running Bond) ที่ความหนาของชิ้นเม่นต่ำอัตราที่ 1.5 เซ็นติเมตร

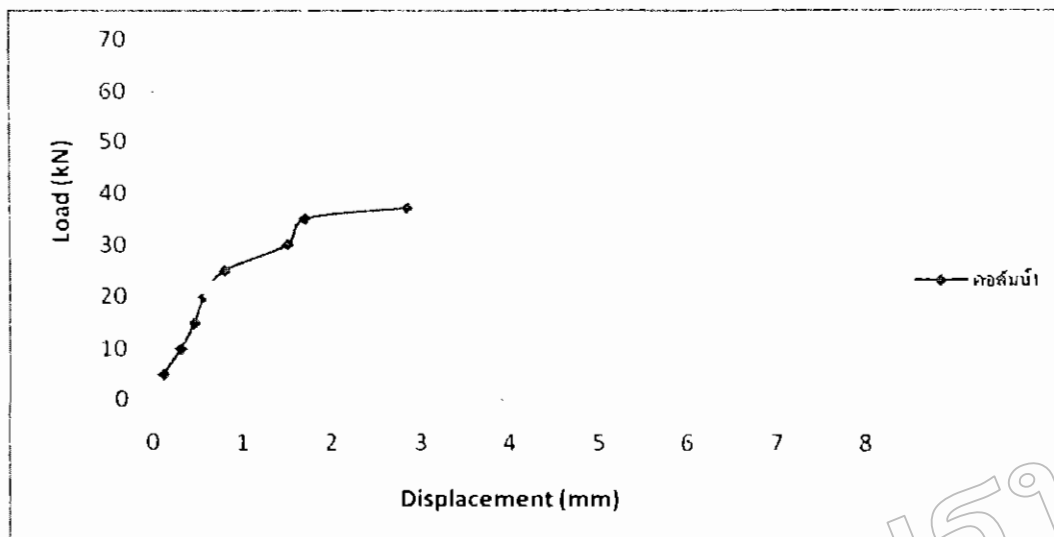


รูปที่ 86 กราฟความสัมพันธ์ระหว่าง Load และ Displacement ของชิ้นส่วนของก้าแพงที่ก่อแบบลับ (Running Bond) ที่ความหนาของชิ้เมนต์มอร์ตาร์ที่ 1.5 เซ็นติเมตร

PB-4H/M <sub>2</sub> /1.5-02			
Load (kN)	Stress (N/mm <sup>2</sup> )	Displacement (mm)	Strain
5	0.297	0.12	0.0004
10	0.595	0.32	0.0010
15	0.892	0.47	0.0015
20	1.190	0.58	0.0019
25	1.488	0.81	0.0027
30	1.785	1.52	0.0050
35	2.083	1.71	0.0057
37.1	2.208	2.86	0.0095

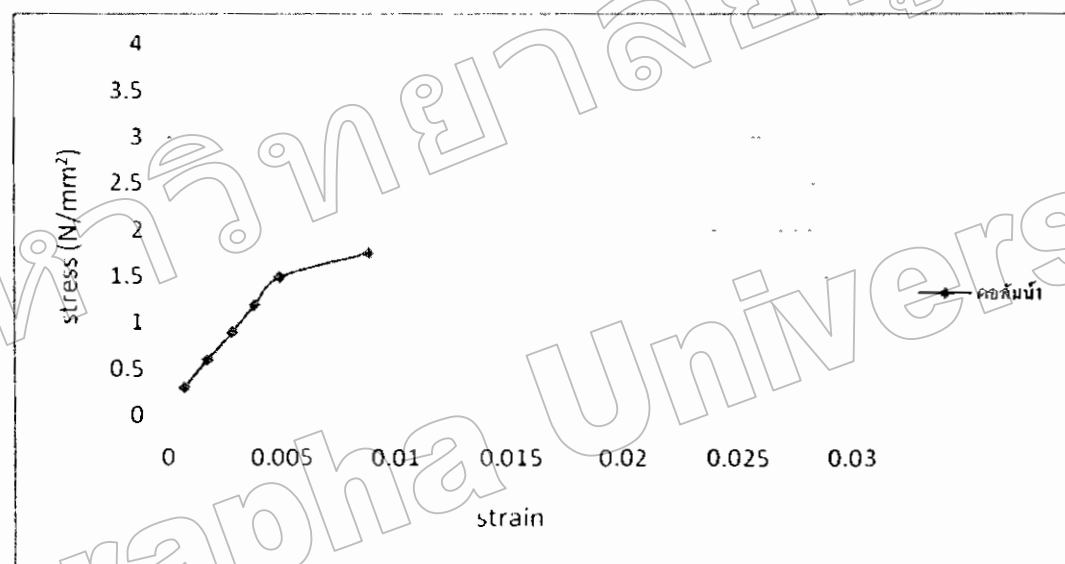


รูปที่ 87 กราฟความสัมพันธ์ระหว่าง Stress และ Strain ของชิ้นส่วนของกำแพงที่ก่อแบบสลับ (Running Bond) ที่ความหนาของชิ้nenคือมอร์ตาร์ที่ 1.5 เซ็นติเมตร

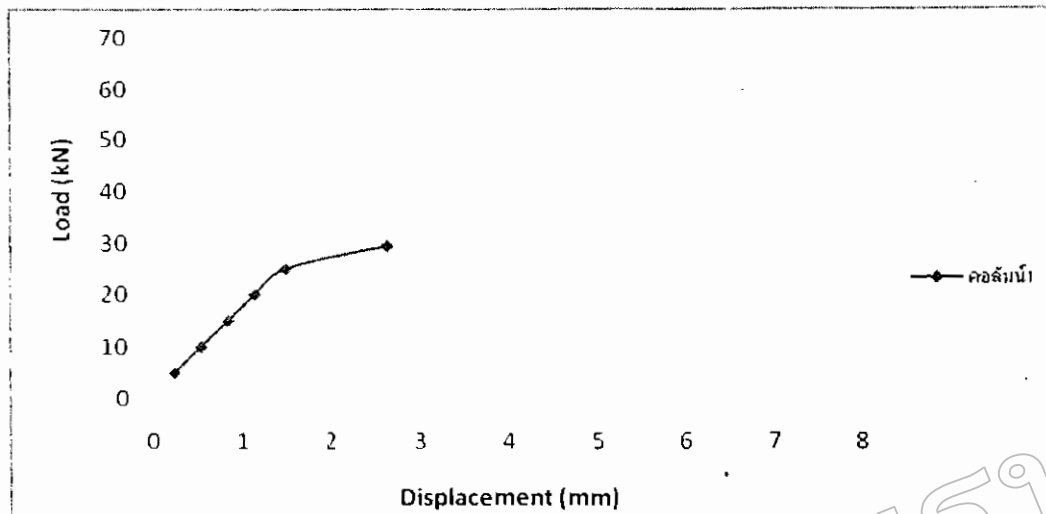


รูปที่ 88 กราฟความสัมพันธ์ระหว่าง Load และ Displacement ของชิ้นตัวนของกำแพงที่ก่อแบบสลับ (Running Bond) ที่ความหนาของชิ้นเนินต์มอร์ตาร์ที่ 1.5 เซ็นติเมตร

PB-4H/M <sub>2</sub> /1.5-03			
Load (kN)	Stress (N/mm <sup>2</sup> )	Displacement (mm)	Strain
5	0.297	0.23	0.0007
10	0.595	0.53	0.0017
15	0.892	0.84	0.0028
20	1.190	1.14	0.0038
25	1.488	1.49	0.0049
29.4	1.750	2.64	0.0088



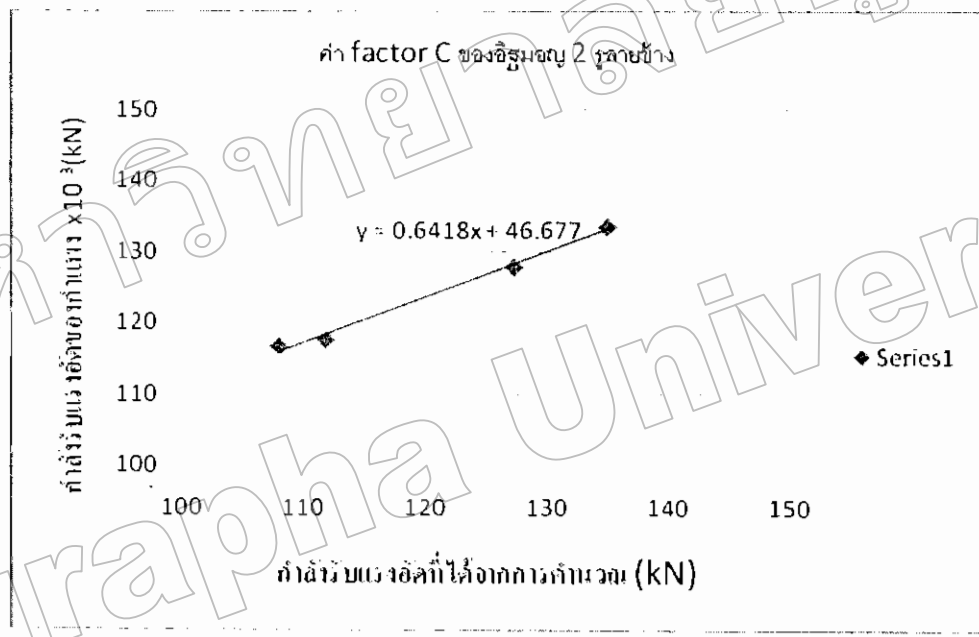
รูปที่ 89 กราฟความสัมพันธ์ระหว่าง Stress และ Strain ของชิ้นส่วนของกำแพงที่ก่อแบบลับ (Running Bond) ที่ความหนาของซีเมนต์มอร์ตาร์ที่ 1.5 เซ็นติเมตร



ຮູບທີ 90 ການສະແດງຮັບສ້າງຂອງພັນຍາລົບລັບ (Running Bond) ທີ່ມາດຕະຖານາຂອງຊື່ເມນົກມົມອົບຕ້າຣີທີ່ 1.5 ເຕັມ ເຕັມ

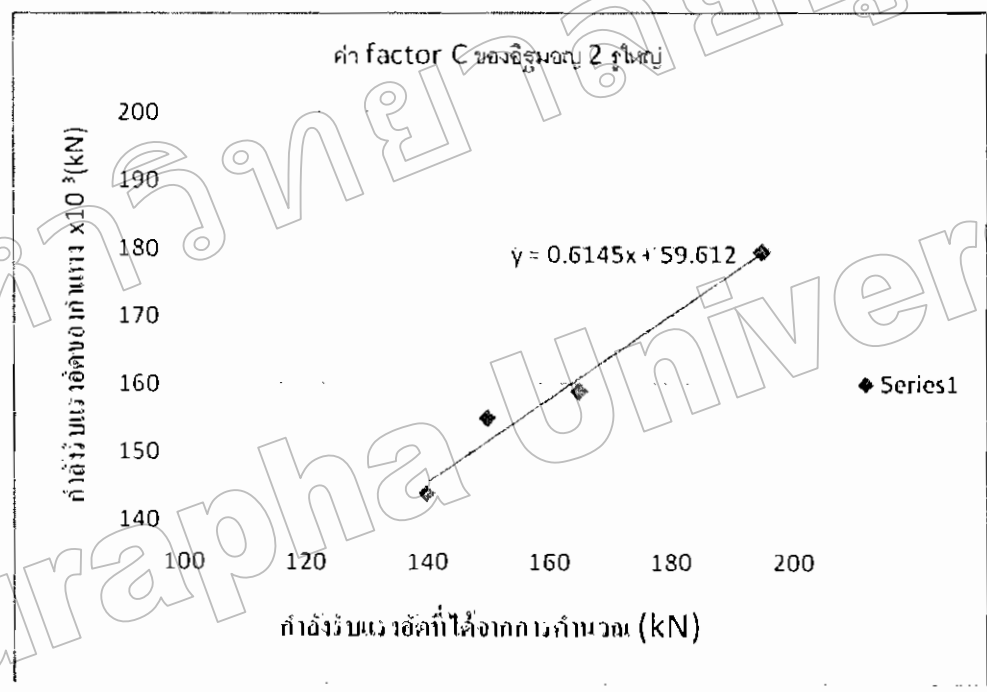
ตารางผลการคำนวณหา factor C ของอิฐมอญ 2 รูลายช้าง

No.	$P_{nw}$ (kN)	ผลการคำนวณของกำแพง			Results (kN)
		$\frac{f'_m}{\sigma}$	$A_g$	$\left[ 1 - \left( \frac{k l_b}{32 h} \right)^2 \right]$	
1	133.61	0.0035			134.84
2	127.90	0.0033	56000	0.688	127.14
3	117.61	0.0029			111.73
4	116.69	0.0028			107.87



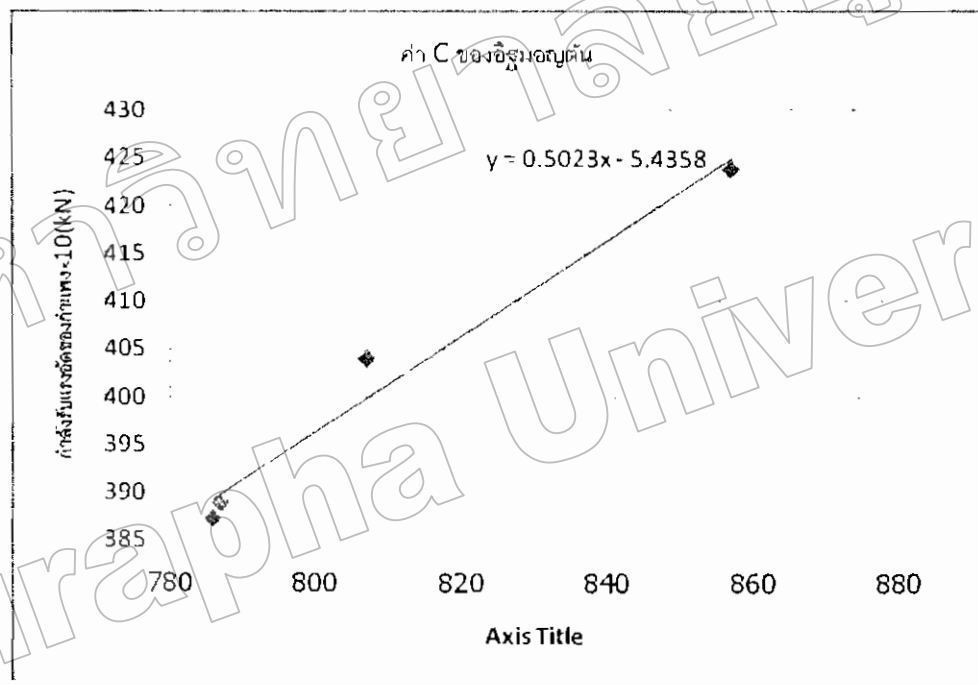
ตารางผลการคำนวณหา factor C ของอิฐมอญ 2 รูปใหญ่

No.	$P_{nw}$ (kN)	ผลการคำนวณของกำแพง			Results (kN)
		$\frac{f'_m}{\phi}$	$A_g$	$\left[ 1 - \left( \frac{k l_b}{32 h} \right)^2 \right]$	
1	15.90	0.0033	65000	0.768	164.73
2	179.51	0.0039			194.68
3	154.99	0.0030			149.76
4	143.80	0.0028			139.77



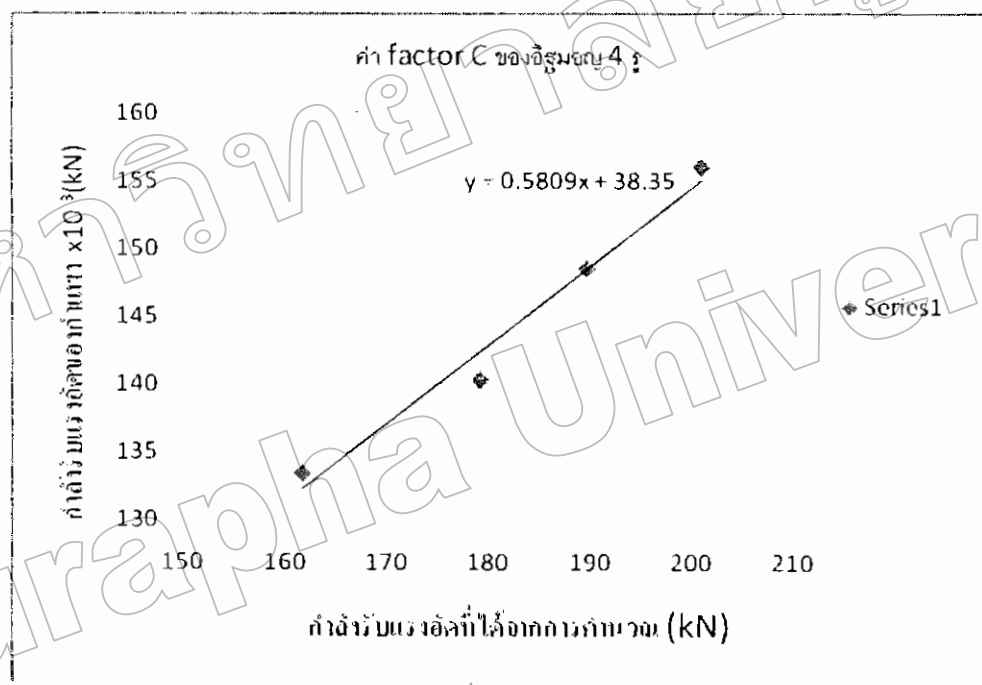
ตารางผลการคำนวณหา factor C ของอิฐมอญตัน

No.	$P_{nw}$ (kN)	ผลการคำนวณของกำแพง			Results (kN)
		$\frac{f'_m}{\phi}$	$A_g$	$\left[1 - \left(\frac{kl_b}{32h}\right)^2\right]$	
1	423.79	0.0163			854.02
2	409.07	0.0155	67000	0.782	812.10
3	387.49	0.0151			791.14
4	384.55	0.0150			785.91



ตารางผลการคำนวณหา factor C ของอิฐมวลอยุ 4 รู

No.	$P_{nw}$ (kN)	ผลการคำนวณของกำแพง			Results (kN)
		$\frac{f'_m}{\phi}$	$A_g$	$\left[ 1 - \left( \frac{k l_b}{32 h} \right)^2 \right]$	
1	140.28	0.0041	60000	0.728	179.08
2	148.50	0.0046			200.92
3	156.00	0.0043			189.61
4	133.41	0.0037			161.61



**ภาคผนวก ๔**

## ตัวอย่างการคำนวณ

### อัตราการคุณซึ่นน้ำ

ตัวอย่างอิฐก้อนที่ 1 อิฐ 2 รูลายข้าง น้ำหนักอิฐสภาพอิ่มด้วย 24 ช.m. 341 (g) น้ำหนักอิฐหลังอบ 24 ช.m. 294 (g)

$$\begin{aligned} \text{เปอร์เซ็นต์การคุณซึ่นน้ำของอิฐ} &= \frac{W_1 - W_2}{W_2} \times 100 \\ &= \frac{341 - 294}{294} \times 100 \\ &= 15.98 \% \end{aligned}$$

โดยที่  $W_1$  = น้ำหนักของอิฐหลังจากแช่น้ำ (g)

$W_2$  = น้ำหนักอิฐที่อบแห้ง (g)

### การทดสอบรับแรงอัด

ตัวอย่างอิฐก้อนที่ 1 อิฐ 2 รูลายข้าง Maximum Load 24200 (N) กว้าง 57.73 (mm) ยาว 143.77 (mm)

$$\begin{aligned} \text{กำลังรับแรงอัด Stress} &= \frac{P}{A} \text{ N/mm}^2 \\ &= \frac{24200}{57.73 \times 143.77} \\ &= 2.91 (\text{N/mm}^2) \end{aligned}$$

โดย  $P$  = น้ำหนักบรรทุกสูงสุด (N)

$A$  = พื้นที่รับแรง ( $\text{mm}^2$ )

### การทดสอบรับแรงดึง

ตัวอย่างอิฐก้อน 1 อิฐ 2 รูลายข้าง Maximum Load 1519.42 (N) , กว้าง 58.01 (mm) , หนา 30.54 (mm) , ช่วง Support ยาว 130.0 (mm)

$$\text{โมเมนต์สูงสุดที่เกิดขึ้นในการพิเศื่อ} \quad M = \frac{PL}{4}$$

$$\text{จากความแข็งแรงของวัสดุ} \quad \sigma = \frac{MC}{I}$$

$$\text{หรือ} \quad F_b = \frac{6M}{bd^2}$$

$$\text{เมื่อ} \quad C = \frac{d}{2}$$

$$I = \text{โมเมนต์ของความเฉื่อย} = \frac{bd^3}{12}$$

$$\begin{aligned} \text{Modulus of rupture} &= \frac{\left(\frac{PL}{4}\right) \times \left(\frac{d}{2}\right)}{\frac{bd^3}{12}} = \frac{3PL}{2bd^2} \text{ (N/mm}^2\text{)} \\ &= \frac{3 \times 1519.42 \times 130}{2 \times 58.01 \times (30.54)^2} \\ &= 0.5476 \text{ (N/mm}^2\text{)} \end{aligned}$$

โดยที่ P = น้ำหนักกระทำที่กึ่งกลาง (N)

S = ช่วงความยาว (mm)

b = ความกว้างอิฐ (mm)

d = ความลึกอิฐ (mm)

### การทดสอบกำลังรับแรงอัคของชิ้นงานตัวร์ทาร์

ตัวอย่างที่ 1 ที่ 7 วัน Maximum Load 1843.01 (kg) ; กว้าง 5.1 (cm), หนา 4.9 (cm)

$$\text{กำลังรับแรงอัค Stress} = \frac{P}{A} \text{ kg/cm}^2$$

$$= \frac{1843.01}{5.1 \times 4.9}$$

$$= 73.75 \text{ (kg/cm}^2\text{)}$$

โดย  $P$  = น้ำหนักบรรทุกสูงสุด (kg)

$$A = \text{พื้นที่รับแรง (cm}^2\text{)}$$

### การทดสอบแรงดัดของชิ้นงานตัวร์ทาร์

ตัวอย่างที่ 1 ที่ 7 วัน Maximum Load 113.86 (kg), กว้าง 4 (cm), หนา 4 (cm)

โมเมนต์สูงสุดที่เกิดขึ้นในกรณีนี้คือ

$$M = \frac{PL}{4}$$

จากความแข็งแรงของวัสดุ

$$\sigma = \frac{MC}{I}$$

$$F_b = \frac{6M}{bd^2}$$

หรือ

$$\text{เมื่อ} \quad C = \frac{d}{2}$$

$$I = \text{โมเมนต์ของความเนื้อiy} = \frac{bd^3}{12}$$

$$\text{Modulus of rupture} = \frac{\left(\frac{PL}{4}\right) \times \left(\frac{d}{2}\right)}{\frac{bd^3}{12}} = \frac{3PL}{2bd^2} \text{ (kg/cm}^2\text{)}$$

$$= \frac{3 \times 113.86 \times 15}{2 \times 4 \times (4)^2}$$

$$= 40.03 \text{ (kg/cm}^2\text{)}$$

โดยที่  $P$  = น้ำหนักกระทำที่กึ่งกลาง (kg)

$S$  = ช่วงความยาว (cm)

$b$  = ความกว้าง (cm)

$d$  = ความสูง (cm)

#### การทดสอบกำลังรับแรงอัดของข้อต่อส่วนของกำแพงและกำแพง

ตัวอย่างที่ 1 ที่ 28 วัน Maximum Load 39200 (N) , กว้าง 300 (mm) , หนา 56 (cm)

$$\text{กำลังรับแรงอัด Stress} = \frac{P}{A} \text{ N/mm}^2$$

$$= \frac{39200}{300 \times 56}$$

$$= 2.333 \text{ (N/mm}^2\text{)}$$

โดย  $P$  = น้ำหนักบรรทุกสูงสุด (N)

$A$  = พื้นที่รับแรง (mm)

$$\text{Strain} = \frac{l_2}{l_1}$$

โดย  $l_1$  = ความยาวเริ่มต้น

$l_2$  = ความยาวที่เปลี่ยนแปลง

ถมานาการการคำนวณออกแบบกำแพงโดยใช้สมการทางคณิตศาสตร์ของกำแพงอิฐมอยุ

$$\emptyset P_{nw} = Cf'mA_g \left[ 1 - \left( \frac{kl_b}{32h} \right)^2 \right]$$

สัญลักษณ์ที่ใช้

$A_g$  = เนื้อที่หน้าตัดทั้งหมด ( $\text{mm}^2$ )

$f'm$  = กำลังอัดของชิ้นส่วนของกำแพง ( $\text{kN/mm}^2$ )

$h$  = ความหนาทั้งหมดขององค์อาคาร ( $\text{mm}$ )

$k$  = ตัวคงคาความยาวสัมประสิทธิผล

$l_b$  = ระยะในแนวตั้งระหว่างที่ร่องรับ ( $\text{mm}$ )

$P_{nw}$  = กำลังที่ระบุในการรับน้ำหนักบรรทุกในแนวแกนของกำแพงที่คำนวณ ( $\text{kN}$ )

$\emptyset$  = ตัวคูณลดกำลัง มีการขึ้นรั้งเพื่อต้านการหันนที่ปลายทั้งสองข้าง (บก , ล่าง) ใช้ 0.7

$C$  = ค่า factor ของอิฐมอยุ

**ตัวอย่างที่ 1** การคำนวณกำลังอัดของกำแพงอิฐมอญ 2 รูลายข้าง ที่ 28 วัน , ความหนาเฉลี่ยหนา 56 (mm)  
ความยาว 1000 (mm) ค่า factor C ของอิฐมอญลายข้าง = 0.641

$$\emptyset P_{nw} = Cf'mA_g \left[ 1 - \left( \frac{kl_b}{32h} \right)^2 \right]$$

$$P_{nw} = 0.641 \times 0.0039 \times 56,000 \left[ 1 - \left( \frac{1 \times 1,000}{32 \times 56} \right)^2 \right] \\ = 96.31 \text{ kN}$$

**ตัวอย่างที่ 2** การคำนวณกำลังอัดของกำแพงอิฐมอญ 2 รูใหญ่ ที่ 28 วัน , ความหนาเฉลี่ยหนา 65 (mm)  
ความยาว 1000 (mm) ค่า C ของอิฐมอญลายข้าง = 0.614

$$\emptyset P_{nw} = Cf'mA_g \left[ 1 - \left( \frac{kl_b}{32h} \right)^2 \right]$$

$$P_{nw} = 0.614 \times 0.0039 \times 65,000 \left[ 1 - \left( \frac{1 \times 1,000}{32 \times 65.07} \right)^2 \right]$$

$$= 119.53 \text{ kN}$$

ตัวอย่างที่ 3 การคำนวณกำลังอัดของกำแพงอิฐมอญ ตัน ที่ 28 วัน , ความหนาเฉลี่ยหนา 67 (mm)  
ความยาว 1000 (mm) ค่า C ของอิฐมอญลายข้าง = 0.545

$$\emptyset P_{nw} = Cf'mA_g \left[ 1 - \left( \frac{kl_b}{32h} \right)^2 \right]$$

$$P_{nw} = 0.502 \times 0.0155 \times 67,000 \left[ 1 - \left( \frac{1 \times 1,000}{32 \times 67} \right)^2 \right] \\ = 407.67 \text{ kN}$$

ตัวอย่างที่ 4 การคำนวณกำลังอัดของกำแพงอิฐมอญ 4 รู ที่ 28 วัน , ความหนาเฉลี่ยหนา 60 (mm)  
ความยาว 1000 (mm) ค่า C ของอิฐมอญลายข้าง = 0.590

$$\emptyset P_{nw} = Cf'mA_g \left[ 1 - \left( \frac{kl_b}{32h} \right)^2 \right]$$

$$P_{nw} = 0.590 \times 0.0046 \times 60,000 \left[ 1 - \left( \frac{1 \times 1,000}{32 \times 60.82} \right)^2 \right] \\ = 118.54 \text{ kN}$$

# การศึกษาการรับน้ำหนักในแนวแกนของกำแพงอิฐมอญที่ใช้วัสดุที่ผลิตในชลบุรี

## STUDY OF CAPACITY OF AXILLY LOADED LOAD-BEARING CLAY BRICK WALLS USED BRICKS MADE IN CHON BURI

นายชัยพุกษ์ ชีวไพบูลย์ศิริปี และ นายศิน มีอนันต์

อาจารย์ที่ปรึกษา อ.เอนก ช.วงศ์

ภาควิชาช่างสำรวจ คณะวิศวกรรมศาสตร์ มหาวิทยาลัยมหิดล

### บทคัดย่อ

การใช้อิฐมอญในงานก่อสร้างอาคาร โครงสร้างค่างๆ ในประเทศไทยนับตั้งแต่ในอดีตเป็นต้นมา มีวัตถุประสงค์ เพียงใช้กำแพงอิฐมอญเป็นผนังของอาคารที่ไม่ได้หัวรับน้ำหนักของส่วนของ โครงสร้างที่อยู่เหนือกำแพงอิฐมอญขึ้นไป โครงงานนี้เป็นการศึกษาถึงการรับน้ำหนักเบกทันในแนวแกนของกำแพงอิฐมอญ วัสดุอิฐมอญที่ใช้ในโครงงานนี้ เป็นอิฐมอญที่ผลิตในท้องถิ่นในจังหวัดชลบุรีซึ่งอาจจะมีคุณสมบัติแตกต่างจากอิฐมอญที่ผลิตในแหล่งผลิตอื่นๆ ในประเทศไทย

ตัวอย่างกำแพงทดสอบที่ใช้ในโครงงานนี้ใช้ลักษณะการก่อแบบลับลับแนว (lapping bond) โดยก่อผนังทดสอบขนาด กว้าง 1.00 เมตร สูง 1.00 เมตร จำนวน 16 ตัวอย่าง และตัวอย่างแท่งผนังอิฐมอญขนาด  $0.30 \times 0.30$  เมตร จำนวน 30 ตัวอย่าง

ผลการทดลองพบว่ากำลังการรับน้ำหนักเบกทันในแนวแกนของกำแพงตัวอย่าง พนง. ว่ากำแพงที่ใช้อิฐมอญชนิด ตันสามารถรับน้ำหนักได้มากกว่ากำแพงที่ก่อด้วยอิฐมอญแบบมีรูกลวง ในการทดสอบ

กำแพงตัวอย่างได้ทดสอบโดยแรงกดชนิดจุดประดับ เมื่อเขียนเส้นกราฟแสดงความสัมพันธ์ระหว่างหน่วยแรงอัดกับ ความเครียดของกำแพงตัวอย่างทดสอบ ส่วนใหญ่มีลักษณะเป็นเส้นโค้ง ซึ่งแสดงให้เห็นว่ากำแพงอิฐมอญแสดงพฤติกรรม ของวัสดุประเภท

คำสำคัญ: อิฐมอญ น้ำหนักเบกทันในแนวแกน การก่อกำแพงแบบลับลับแนว หน่วยแรงอัด ความเครียดอัด จุดประดับ

### Abstract

Clay brick walls has been used in building construction in Thailand since the ancient time. The usages of clay brick wall at that time were as only wall partitions of buildings, those walls were not used to bear the weights of the upper structural components of buildings. The study of this of this project is to

know bearing capacity of load-bearing clay brick walls. Clay brick used in this project are local made from Chon Buri Province which have different properties from those made from other parts of Thailand. The tested walls are 1.00 m x 1.00 m 16 pieces and the wall prisms of 0.30 m x 0.30 m 30 pieces.

The results of tests shown that bearing capacity of the tested specimens and the tested wall specimens which are made from solid clay bricks are higher than those of hollow-cored clay bricks.

In the tests, all specimens has been loaded until they reached their breaking loads. And the shapes of the graphs ,which shown the relation between compressive stress and compressive strain are all curves.

These curves reveal that brick walls have behavior as brittle material.

Key Words : clay brick; axially load bearing capacity ; running bond wall pattern; compressive strength; compressive strain; bearing capacity

## 1. บทนำ

กำแพง (Walls) เป็นส่วนประกอบหนึ่งของอาคารที่ว่างคัวตามแนวตั้ง ซึ่งอาจจะก่อขึ้นจากความหรือไม่ก็ได้ ซึ่งผนังสามารถแบ่งตามการใช้งานได้ 2 ประเภท คือ ผนังที่ได้แรงในแนวตั้ง (Bearing Wall) และ ผนังที่ได้รับแรงจากด้านข้างหรือแรงเฉือน (Shear Wall) ซึ่งการดำเนินภาระออกแบบก็จะแตกต่างกันออกไป ภาระออกแบบ Bearing Wall ก็จะออกแบบคล้ายคลึงกับการออกแบบเสา Shear Wall ก็จะเป็นการออกแบบของผนังที่รับแรงด้านข้าง ในงานทางศึกษา วิศวกรรมนั้นผนังไม่ถือเป็นส่วนหนึ่งของโครงสร้างโดยจะเป็นส่วนหนึ่งของงานสถาปัตยกรรม

สำหรับผนังภายนอกนั้นโดยปกติป้องคัวอาคาร จากความเปลี่ยนแปลงของ อากาศ ร้อนหนาว แดด ลม ฝน ภายนอกบ้าน ส่วนผนังภายนั้น ทำหน้าที่แบ่งส่วนให้สอย ภายในตัวอาคาร ให้เป็นสัดส่วน ตามการใช้สอย อุบัติไร้กีดขวางก์สามารถทำหน้าที่เป็นโครงสร้างได้ ซึ่ง

ผนังดังกล่าวจะต้องมีการออกแบบและทดสอบตามหลักวิศวกรรม เช่น ผนังอาคารซึ่งเชื่อต่อกับฐานรากมาสามารถทำหน้าที่รับน้ำหนักแทนเสาได้ ผนังลักษณะนี้ให้น้ำหนักเพียง ฯ ว่าเป็นเสาที่ยกยาวออกไปเป็น ผนังแนวนอน ผนังชนิดนี้จึงมีราคาต่ำกว่า ผนังปกติ ลักษณะอย่าง ส่วนผนังอีกประเภท เป็นผนังที่นิยมใช้กันอยู่ทั่วไป คือ ผนังที่ไม่ได้ทำหน้าที่รับน้ำหนัก ซึ่งในการนี้ วัสดุจะเป็นตัวรับน้ำหนัก

อิฐ (Brick) เป็นวัสดุก่อสร้างที่ผลิตจากดินเหนียวหรือดินดาน ตามปกติจะทำเป็นก้อนสี่เหลี่ยมขนมตัดมีสภาพหนาแน่นปูนได้ จะนำไปอบในเตาเผา ซึ่งปัจจุบันอิฐได้มีการพัฒนาแบบออกแบบเป็นหลายรูปแบบ เพื่อให้สอดคล้องกับความต้องการที่จะนำไปใช้งาน เพื่อให้กำลังแข็งมีความทนทานมากขึ้นสำหรับงานสถาปัตยกรรมสามารถนำประยุกต์เพื่อนำไปใช้เป็นผนังรับกำลัง จึงได้มีการศึกษาผนังรับกำลังซึ่งมีการก่อแบบลักษณะ(Running Bond) และมีการก่อแบบตรง(Stack Bond) เพื่อเบริกเนื้อที่ยกกำลังรับแรงอัดของอิฐแต่ละชั้นคือ

เพื่อนำไปใช้เป็นข้อมูลในการตัดสินใจเลือกใช้วัสดุใน  
การออกแบบกำแพงรับแรงในแล้วแกนต่อไป

## 2.อุปกรณ์และวิธีการทดสอบ

### 2.1 การทดสอบการดูดซึมน้ำของอิฐ (Absorption test of brick)

ตัดเลือกขนาดตัวอย่างที่ใช้ทดสอบจำนวน  
ตัวอย่างละ 30 ก้อน โดยเลือกขนาดก้อนที่สมบูรณ์มาก  
ที่สุดคุณภาพและซึ่งตัวอย่างพร้อมทำสัญญาลักษณ์ หรือ  
หมายเลขอ้างอิงแต่ละชุดต่อตัวอย่างเพื่อป้องกันข้อมูล  
คลาดเคลื่อนนำตัวอย่างมาใช้ในภาระที่มีน้ำกลั้น(ใน  
การทดสอบอาจใช้น้ำสะอาดแทนได้) โดยแบ่งให้ทั่ว  
ก้อนอิฐทุกอันตัวอย่าง แข็งตั้งไว้ 48 ชั่วโมงนำตัวอย่างที่  
แข็งตัวให้แน่นหนาในข้อ 3 น้ำขันจากน้ำนำผ้าขนหนูขันน้ำ  
ในแค่ละก้อนตัวอย่างให้แห้งซึ่งอยู่ในถุงยะอินต์วิตัว  
แข็ง แล้วนำมาซั่งในแล้วเสร็จภายใน 5 นาทีหลังจากที่  
หักน้ำแล้วเสร็จ

นำตัวอย่างที่ผ่านขั้นตอนในข้อ 4 เข้าตู้อบไฟฟ้าปรับ  
อุณหภูมิ 110 องศาเซนเซียน ใช้วาลัยในการอบเป็นเวลา  
24 ชั่วโมง แล้วจึงนำออกมารีบซ้ำน้ำหนักในแต่ละก้อน  
ตัวอย่าง เป็นอันแล้วเสร็จขั้นตอนการทดสอบ

### 2.2 การทดสอบกำลังอัดอิฐ (Compressive strength of cement mortar)

นำอิฐก่อสร้างสามัญประเภทที่หนึ่ง จำนวน  
30 ก้อน ซึ่งน้ำหนัก และวัสดุขนาดนำตัวอย่างในข้อ 1 เข้า  
เครื่องทดสอบแรงกำลังรับแรงอัดเตรียมตัวอ่างอิก 2 ชุด  
โดยปฏิบัติเช่นเดียวกับตัวอย่างชุดแรกซึ่งและวัสดุขนาด  
ตัวอย่างอิกครึ่ง ก่อนนำตัวอย่างแต่ละชุดเข้าเครื่อง  
ทดสอบหาความต้านทานแรงอัดทางด้านอิฐ จนตัวอย่าง  
วิบัติค่าแรงอัดลดลงอย่างต่อเนื่องสังเกตตัวอย่างในขณะ

ทดลองหากำลังต้านทานแรงอัด จนกระแทกตัวอย่าง  
เสียหายเป็นภาพลักษณ์การเสียหายของตัวอย่างและ  
บันทึกผลแรงสูงสุด

### 2.3 การทดสอบแรงตัวของอิฐตัว (Flexural strength of cement mortar)

ทำเครื่องหมายที่อิฐ วัดขนาดเป็นมิลลิเมตร  
(กว้างยาว) และซึ่งน้ำหนัก โดยอ่านละเอียดถึง  
0.01 กรัม ติดตั้ง Support เข้ากับเครื่องทดสอบ โดยมี  
ระยะห่าง (Span Length) 15 เมตรติมคร ให้น้ำหนัก  
กระทำให้ลงถึงกลางช่วงความยาวพอดีจนผิวสัมผัสกัน  
ปรับ荷ลตให้ที่เลข 0 ให้น้ำหนักกระทำอย่างสม่ำเสมอ  
ในอัตราไม่เกิน 10,000 N/min หรือใช้ความเร็วไม่เกิน 1.0  
mm/min จนบันทึกค่าน้ำหนักที่ทำให้อิฐแตก สเก็ตซ์ภาพ  
รอยอิฐหัก คำนวณโดยคุณลักษณะการชำรุดจากสูตร

### 3.ผลการทดสอบ

#### 3.1 ผลการทดสอบการดูดซึมน้ำของอิฐ (Absorption test of brick)

การทดสอบการดูดซึมน้ำเป็นปัจจัยบ่งชี้ถึง  
ความทนทาน (Durability) ปัจจัยหนึ่งของอิฐมอยุ  
เนื่องจากเป็นปัจจัยที่แสดงถึงความพรุนของอิฐ ถ้าอิฐ  
มอยุมีการดูดซึมน้ำมากแล้ว อิฐก็จะมีความพรุนและจะมุ  
กร่อนจากการกระทำของสภาวะแวดล้อมและการเสียดสี  
ได้เจาะ

#### 3.2 ผลการทดสอบการรับแรงอัดของอิฐ (Compressive strength of brick)

การทดสอบการรับแรงอัดของอิฐมอยุทั้งสี่  
ชนิดคือ อิฐมอยุ 2 รูลายข้าง, อิฐมอยุ 2 รูใหญ่, อิฐ  
มอยุดัน, อิฐมอยุ 4 รู โดยการสุ่มตัวอย่างมา

ทำการศึกษากำลังรับแรงอัดจำนวนชนิดละ 15 ตัวอย่าง  
พบว่ากำลังรับแรงอัดเฉลี่ย

### 3.3 ผลการทดสอบแรงตัดของอิฐมอญ (Flexural strength of brick)

การทดสอบการรับแรงคัดของอิฐมอญทั้งสี่ชนิดคือ อิฐมอญ 2 รูลายข้าง อิฐมอญ 2 รูใหญ่ อิฐมอญตัน อิฐมอญ 4 รู โดยการสุ่มตัวอย่างมาทำการศึกษากำลังรับแรงอัดจำนวนชนิดละ 15 ตัวอย่าง พบร่วมกับกำลังรับแรงตัดเฉลี่ย

### 3.4 ผลการทดสอบกำลังรับแรงอัดของซีเมนต์มอร์ต้าร์ (Compressive strength of cement mortar)

จากการศึกษากำลังรับแรงอัดของซีเมนต์มอร์ต้าร์ (Compressive strength of cement mortar) ที่ใช้ในการก่อทำเพลงอิฐมอญ โดยเลือกใช้ซีเมนต์มอร์ต้าร์ผสมเสร็จและผสมเองตัวอย่าง 3 ชุด การทดสอบ 7, 14, 28 วันตามลำดับ ชุดละ 3 ตัวอย่าง ได้ผลดังนี้

#### แบบที่ 1 ซีเมนต์มอร์ต้าร์แบบผสมเสร็จ

ที่อายุ 7 วัน กำลังรับแรงอัดของซีเมนต์มอร์ต้าร์ค่าเฉลี่ย เท่ากับ 73.75 กก./ตร.ซม.

ที่อายุ 14 วัน กำลังรับแรงอัดของซีเมนต์มอร์ต้าร์ค่าเฉลี่ย เท่ากับ 112.32 กก./ตร.ซม.

ที่อายุ 28 วัน กำลังรับแรงอัดของซีเมนต์มอร์ต้าร์ค่าเฉลี่ย เท่ากับ 129.96 กก./ตร.ซม.

#### แบบที่ 2 ซีเมนต์มอร์ต้าร์แบบผสมเอง

ที่อายุ 7 วัน กำลังรับแรงอัดของซีเมนต์มอร์ต้าร์ค่าเฉลี่ย เท่ากับ 83.51 กก./ตร.ซม.

ที่อายุ 14 วัน กำลังรับแรงอัดของซีเมนต์มอร์ต้าร์ค่าเฉลี่ย เท่ากับ 122.68 กก./ตร.ซม.

ที่อายุ 28 วัน กำลังรับแรงอัดของซีเมนต์มอร์ต้าร์ค่าเฉลี่ย เท่ากับ 141.31 กก./ตร.ซม.

### 3.5 ผลการทดสอบแรงตัดของซีเมนต์มอร์ต้าร์ (Flexural strength of cement mortar)

จากการศึกษากำลังรับแรงคัดของซีเมนต์มอร์ต้าร์ (Flexural strength of cement mortar) ที่ใช้ในการก่อทำเพลงอิฐมอญ โดยเลือกใช้ซีเมนต์มอร์ต้าร์ผสมเสร็จและผสมเองตัวอย่าง 3 ชุด การทดสอบ 7, 14, 28 วันตามลำดับ ชุดละ 3 ตัวอย่าง ได้ผลดังนี้

#### แบบที่ 1 ซีเมนต์มอร์ต้าร์แบบผสมเสร็จ

ที่อายุ 7 วัน กำลังรับแรงตัดของซีเมนต์มอร์ต้าร์ค่าเฉลี่ย เท่ากับ 40.03 กก./ตร.ซม.

ที่อายุ 14 วัน กำลังรับแรงตัดของซีเมนต์มอร์ต้าร์ค่าเฉลี่ย เท่ากับ 56.81 กก./ตร.ซม.

ที่อายุ 28 วัน กำลังรับแรงตัดของซีเมนต์มอร์ต้าร์ค่าเฉลี่ย เท่ากับ 70.62 กก./ตร.ซม.

#### แบบที่ 2 ซีเมนต์มอร์ต้าร์แบบผสมเอง

ที่อายุ 7 วัน กำลังรับแรงคัดของซีเมนต์มอร์ต้าร์ค่าเฉลี่ย เท่ากับ 46.63 กก./ตร.ซม.

ที่อายุ 14 วัน กำลังรับแรงคัดของซีเมนต์มอร์ต้าร์ค่าเฉลี่ย เท่ากับ 60.19 กก./ตร.ซม.

ที่อายุ 28 วัน กำลังรับแรงคัดของซีเมนต์มอร์ต้าร์ค่าเฉลี่ย เท่ากับ 75.21 กก./ตร.ซม.

### 3.5 ผลการทดสอบแรงดึงของซีเมนต์มอร์ตาร์ (Tensile strength of cement mortar)

จากการศึกษาทำลังรับแรงดึงของซีเมนต์มอร์ตาร์ (Tensile strength of cement mortar) ที่ใช้ในการก่อกำแพงอิฐมอญ โดยเลือกใช้ซีเมนต์มอร์ตาร์ผสมเสร็จ และผสมเองตัวอย่าง 3 ชุด การทดสอบ 7, 14, 28 วัน ตามลำดับ ชุดละ 3 ตัวอย่าง ได้ผลดังนี้

#### แบบที่ 1 ซีเมนต์มอร์ตาร์แบบผสมเสร็จ

ที่อายุ 7 วัน กำลังรับแรงดึงของซีเมนต์มอร์ตาร์ค่าเฉลี่ย เท่ากับ 21.22 กก./ตร.ซม.

ที่อายุ 14 วัน กำลังรับแรงดึงของซีเมนต์มอร์ตาร์ค่าเฉลี่ย เท่ากับ 30.93 กก./ตร.ซม.

ที่อายุ 28 วัน กำลังรับแรงดึงของซีเมนต์มอร์ตาร์ค่าเฉลี่ย เท่ากับ 36.18 กก./ตร.ซม.

#### แบบที่ 2 ซีเมนต์มอร์ตาร์แบบผสมเอง

ที่อายุ 7 วัน กำลังรับแรงดึงของซีเมนต์มอร์ตาร์ค่าเฉลี่ย เท่ากับ 28.13 กก./ตร.ซม.

ที่อายุ 14 วัน กำลังรับแรงดึงของซีเมนต์มอร์ตาร์ค่าเฉลี่ย เท่ากับ 39.27 กก./ตร.ซม.

ที่อายุ 28 วัน กำลังรับแรงดึงของซีเมนต์มอร์ตาร์ค่าเฉลี่ย เท่ากับ 42.87 กก./ตร.ซม.

### 3.6 ผลการทดสอบกำลังรับแรงอัดขึ้นส่วนของกำแพงอิฐมอญ (Compressive strength of parts brick wall)

การทดสอบเพื่อหากำลังอัดขึ้นส่วนของกำแพง อิฐมอญ โดยขึ้นส่วนของกำแพงที่ก่อมีขนาด  $30 \times 30$  ตร.ซม. ก่อแบบสลับ (Running Bond) โดยใช้อิฐมอญ 4 ชนิด อิฐมอญ 2 รูข้างลาย อิฐมอญ 2 รูไหง อิฐมอญตัน อิฐมอญ 4 รู อายุ 7 วัน 3 ตัวอย่าง โดยแบ่งความหนาของ

อิฐมอญ 4 รู อายุ 7 วัน 3 ตัวอย่าง โดยแบ่งความหนาของ ซีเมนต์มอร์ตาร์เป็น 1, 1.5, 2 ตามลำดับ 2.187 นิวตัน ต่อตารางมิลลิเมตร, 2.274 นิวตันต่อตารางมิลลิเมตร, 10.832 นิวตันต่อตารางมิลลิเมตร, 2.922 นิวตันต่อ ตารางมิลลิเมตร

### 3.7 ผลการทดสอบกำลังรับแรงอัดของกำแพงอิฐมอญ (Compressive strength of brick wall)

การทดสอบเพื่อหากำลังอัดขึ้นส่วนของกำแพงอิฐมอญ โดยขึ้นส่วนของกำแพงที่ก่อมีขนาด  $1 \times 1$  ตร.ม. ก่อแบบสลับ (Running Bond) โดยใช้อิฐมอญ 4 ชนิด อิฐมอญ 2 รูข้างลาย อิฐมอญ 2 รูไหง อิฐมอญตัน อิฐมอญ 4 รู อายุ 7 วัน 3 ตัวอย่าง โดยการใช้ซีเมนต์มอร์ตาร์ 2 ชนิด คือ ปูนก่อสำเร็จ และ ปูนก่อที่ผสมอัตราส่วนปูน ต่อทราย 1:1:3 ตามลำดับ 2.213 นิวตันต่อตาราง มิลลิเมตร, 2.450 นิวตันต่อตารางมิลลิเมตร, 5.988 นิวตันต่อตารางมิลลิเมตร, 2.409 นิวตันต่อตาราง มิลลิเมตร

#### 4.สรุปผลการทดสอบ

##### 4.1 ผลการทดสอบการดูดซึมน้ำของอิฐมอญ (Absorption test of brick)

ผลการทดสอบการดูดซึมน้ำของอิฐมอญจาก แหล่งผลิตในจังหวัดชลบุรี อายุจะ 15 ตัวอย่าง ได้ผล ดังนี้ อิฐมอญ 2 รูลายข้าง, อิฐมอญ 2 รูไหง, อิฐมอญ ตัน, อิฐมอญ 4 รู ให้ค่าเฉลี่ยของการดูดซึมน้ำในแต่ละ ชนิดอยู่ที่ 17.17, ร้อยละ 15.25, ร้อยละ 12.10 และ ร้อยละ 19.97 ตามลำดับ รวมค่าเฉลี่ยทั้ง 4 ชนิดเท่ากับ ร้อยละ 16.12

อิฐที่มีการดูดซึมน้ำสูงแสดงว่าอิฐมีความพรุน อุ้มน้ำสูง อิฐที่มีความพรุนสูงนั้นมีความเปราะและหักได้

จ่าย ความแข็งแรงก็จะน้อยตามไปด้วย จากการทดลองจะเห็นว่าอิฐมอยุ 4 รู มีค่าการคุณค่าน้ำมากกว่าอิฐมอยุ อีก 3 ชนิด ดังนั้นจึงสามารถสรุปได้ว่าอิฐมอยุ 4 รู มีความแข็งแรงน้อยที่สุด

#### 4.2 ผลการทดสอบการรับแรงอัดของอิฐมอยุ

##### (Compressive strength of brick)

ผลการทดลองการรับแรงอัดของอิฐมอยุจากแหล่งผลิตในจังหวัดชลบุรี อย่างละ 15 ตัวอย่าง ให้ผลดังนี้ อิฐมอยุ 2 รูลายข้าง, อิฐมอยุ 2 รูใหญ่, อิฐมอยุตัน, อิฐมอยุ 4 รู โดยอิฐมอยุตันมีค่า荷载สูงสุดเฉลี่ยเท่ากับ 143.36 กิโลนิวตัน, 26.76 กิโลนิวตัน, 47.70 กิโลนิวตัน, ความลำดับ ส่วนค่า stress ดังนี้ อิฐมอยุ 2 รูลายข้าง, อิฐมอยุ 2 รูใหญ่, อิฐมอยุตัน, อิฐมอยุ 4 รู เฉลี่ยเท่ากับ 3.20 นิวตันต่อตารางเมตร, 4.52 นิวตันต่อตารางเมตร, 13.26 นิวตันต่อตารางเมตร, นิวตันต่อตารางเมตร ในขณะที่อิฐมอยุตันให้ค่าเฉลี่ย荷载สูงสุดเท่ากับ 156 กิโลนิวตัน และมีค่าเฉลี่ย stress เท่ากับ 13.26 นิวตันต่อตารางเมตร

จากการทดลองจะเห็นว่าอิฐที่มีกำลังอัดสูงสุดคือ อิฐมอยุตัน รองลงมาคือ อิฐมอยุ 2 รูใหญ่, อิฐ

#### 4.3 ผลการทดสอบแรงดัดของอิฐมอยุ (Flexural strength of brick)

ผลการทดลองรับแรงดัดของอิฐมอยุจากแหล่งผลิตในจังหวัดชลบุรี อย่างละ 15 ตัวอย่าง ให้ผลดังนี้ อิฐมอยุ 2 รูลายข้าง, อิฐมอยุ 2 รูใหญ่, อิฐมอยุตัน, อิฐมอยุ 4 รู มีค่า荷载สูงสุดเฉลี่ย 1312.75 นิวตัน, 1875.52 นิวตัน, 3686.08 นิวตันและ นิวตัน ตามลำดับ ส่วนค่าเฉลี่ย Modulus of rupture เท่ากับ 0.5200 นิวตัน

ต่อตารางเมตร, 0.7493 นิวตันต่อตารางเมตร, 1.1141 นิวตันต่อตารางเมตร, นิวตันต่อตารางเมตร ตามลำดับ

อิฐมอยุที่มีค่า Modulus of rupture สูงยิ่งนี้

ความแข็งแรงสูงตามไปด้วย จากผลการทดลองจะเห็นว่าอิฐมอยุตันมีค่า Modulus of rupture สูงสุด และอิฐมอยุ 2 รูลายข้างมีค่า Modulus of rupture ต่ำสุด ดังนั้น จึงพอสรุปได้ว่าอิฐมอยุตันมีความแข็งแรงทนทานมากกว่าอิฐมอยุอื่นๆตามชนิด จึงเหมาะสมที่สุดที่จะเลือกใช้ทำกำแพงที่รับแรงแบกหนัก

#### 4.4 ผลการทดสอบกำลังรับแรงอัดของซีเมนต์มอร์ตาร์

##### (Compressive strength of hydraulic cement mortar)

การทดสอบการรับกำลังอัดของซีเมนต์มอร์ตาร์ (Compressive strength of hydraulic cement mortar) ตามมาตรฐาน ASTM C 109 โดยใช้อัตราส่วนผสานซีเมนต์มอร์ตาร์ ( $w/c = 0.45$ ) พบร่วางว่าที่อายุ 7 วัน กำลังรับแรงอัดของซีเมนต์มอร์ตาร์ค่าเฉลี่ยเท่ากับ 83.51 กก./ตร.ซม. ที่อายุ 14 วัน กำลังรับแรงอัดของซีเมนต์มอร์ตาร์ค่าเฉลี่ยเท่ากับ 122.68 กก./ตร.ซม. และที่อายุ 28 วัน กำลังรับแรงอัดของซีเมนต์มอร์ตาร์ค่าเฉลี่ยเท่ากับ 141.31 กก./ตร.ซม. เมื่อพิจารณาค่ากำลังรับแรงอัดที่ได้ใช่ว่างอายุต่างๆ พบร่วางว่ากำลังรับแรงอัดที่อายุ 28 วันนั้นมีค่ากำลังรับแรงอัดที่สูงที่สุดของทุกช่วงเวลา

เมื่อใช้ซีเมนต์มอร์ตาร์ก่อสำเร็จ TPI M300

อัตราส่วนผสานน้ำสะอาด 4.5 : 1 หน่วยปริมาตร พบร่วางว่าที่อายุ 7 วัน กำลังรับแรงอัดของซีเมนต์มอร์ตาร์ค่าเฉลี่ยเท่ากับ 73.75 กก./ตร.ซม. ที่อายุ 14 วัน กำลังรับแรงอัดของซีเมนต์มอร์ตาร์ค่าเฉลี่ยเท่ากับ 112.32 กก./ตร.ซม.

ที่อายุ 28 วัน กำลังรับแรงอัดของซีเมนต์มอร์ต้าร์ค่าเฉลี่ยเท่ากับ 129.96 กก./ตร.ซม. เมื่อพิจารณาค่ากำลังรับแรงอัดที่ได้ใช้วงอายุต่าง ๆ พนว่ากำลังรับแรงอัดที่อายุ 28 วันนั้นมีค่ากำลังรับแรงอัดที่สูงที่สุดของทุกช่วงเวลา

เมื่อพิจารณาเปรียบเทียบระหว่างค่ากำลังรับแรงอัดของซีเมนต์มอร์ต้าร์ที่อัตราส่วนผสมของซีเมนต์มอร์ต้าร์ที่ผสมเองและอัตราส่วนของปูนก่อสำเร็จ TPI M300 พนว่าอัตราส่วนซีเมนต์มอร์ต้าร์ที่ผสมเองนี้ค่ากำลังรับแรงอัดที่สูงกว่าค่ากำลังรับแรงอัดของซีเมนต์มอร์ต้าร์ปูนก่อสำเร็จรูป ในทุกช่วงอายุ

#### 4.5 ผลการทดสอบแรงดักของซีเมนต์มอร์ต้าร์ (Flexural strength of hydraulic cement mortar)

ผลการทดสอบแรงดักของซีเมนต์มอร์ต้าร์ (Flexural strength of hydraulic cement mortar) ตามมาตรฐาน ASTM C270 โดยใช้อัตราส่วนผสมซีเมนต์มอร์ต้าร์ ( $w/c = 0.45$ ) พนว่าที่อายุ 7 วัน กำลังรับแรงดักของซีเมนต์มอร์ต้าร์ค่าเฉลี่ยเท่ากับ 46.63 กก./ตร.ซม. ที่อายุ 14 วัน กำลังรับแรงดักของซีเมนต์มอร์ต้าร์ค่าเฉลี่ยเท่ากับ 60.19 กก./ตร.ซม. ที่อายุ 28 วัน กำลังรับแรงดักของซีเมนต์มอร์ต้าร์ค่าเฉลี่ยเท่ากับ 75.21 กก./ตร.ซม. ซม. เมื่อพิจารณาค่ากำลังรับแรงดักที่ได้ใช้วงอายุ 7 วัน นั้นมีค่ากำลังรับแรงดักที่สูงที่สุดของทุกช่วงเวลา

เมื่อใช้ซีเมนต์มอร์ต้าร์ปูนก่อสำเร็จ TPI M300 อัตราส่วนผสมน้ำสะอาด 4.5 : 1 หน่วยปริมาตร พนว่าที่อายุ 7 วัน กำลังรับแรงดักของซีเมนต์มอร์ต้าร์ค่าเฉลี่ยเท่ากับ 40.03 กก./ตร.ซม. ที่อายุ 14 วัน กำลังรับแรงดักของซีเมนต์มอร์ต้าร์ค่าเฉลี่ยเท่ากับ 56.81 กก./ตร.ซม. ที่อายุ 28 วัน กำลังรับแรงดักของซีเมนต์มอร์ต้าร์ค่าเฉลี่ยเท่ากับ 70.62 กก./ตร.ซม. เมื่อพิจารณาค่ากำลังรับแรง

ดักที่ได้ใช้วงอายุต่าง ๆ พนว่ากำลังรับแรงดักที่อายุ 28 วัน นั้นมีค่ากำลังรับแรงดักที่สูงที่สุดของทุกช่วงเวลา

เมื่อพิจารณาเปรียบเทียบระหว่างค่ากำลังรับแรงดักของซีเมนต์มอร์ต้าร์ที่อัตราส่วนผสมของซีเมนต์มอร์ต้าร์ที่ผสมเองและอัตราส่วนของซีเมนต์มอร์ต้าร์ปูนก่อสำเร็จ TPI M300 พนว่าอัตราส่วนซีเมนต์มอร์ต้าร์ที่ผสมเองนี้ค่ากำลังรับแรงดักที่สูงกว่าค่ากำลังรับแรงดักของซีเมนต์มอร์ต้าร์ปูนก่อสำเร็จรูป ในทุกช่วงอายุ

#### 4.6 ผลการทดสอบแรงดึงของซีเมนต์มอร์ต้าร์ (Tensile strength of cement mortar)

ผลการทดสอบแรงดึงของซีเมนต์มอร์ต้าร์ (Tensile strength of cement mortar) ตามมาตรฐาน ASTM C 190 โดยใช้อัตราส่วนผสมซีเมนต์มอร์ต้าร์ ( $w/c = 0.45$ ) พนว่าที่อายุ 7 วัน กำลังรับแรงดึงของซีเมนต์มอร์ต้าร์ค่าเฉลี่ยเท่ากับ 28.13 กก./ตร.ซม. ที่อายุ 14 วัน กำลังรับแรงดึงของซีเมนต์มอร์ต้าร์ค่าเฉลี่ยเท่ากับ 39.27 กก./ตร.ซม. ที่อายุ 28 วัน กำลังรับแรงดึงของซีเมนต์มอร์ต้าร์ค่าเฉลี่ยเท่ากับ 42.87 กก./ตร.ซม. เมื่อพิจารณาค่ากำลังรับแรงดึงที่ได้ใช้วงอายุต่าง ๆ พนว่ากำลังรับแรงดึงที่อายุ 28 วันนั้นมีค่ากำลังรับแรงดึงที่สูงที่สุดของทุกช่วงเวลา

เมื่อใช้ซีเมนต์มอร์ต้าร์ปูนก่อสำเร็จ TPI M300 อัตราส่วนผสมน้ำสะอาด 4.5 : 1 หน่วยปริมาตร พนว่าที่อายุ 7 วัน กำลังรับแรงดึงของซีเมนต์มอร์ต้าร์ค่าเฉลี่ยเท่ากับ 21.22 กก./ตร.ซม. ที่อายุ 14 วัน กำลังรับแรงดึงของซีเมนต์มอร์ต้าร์ค่าเฉลี่ยเท่ากับ 30.93 กก./ตร.ซม. ที่อายุ 28 วัน กำลังรับแรงดึงของซีเมนต์มอร์ต้าร์ค่าเฉลี่ยเท่ากับ 36.18 กก./ตร.ซม. เมื่อพิจารณาค่ากำลังรับแรงดึงที่ได้ใช้วงอายุต่าง ๆ พนว่ากำลังรับแรงดึงที่อายุ 28 วัน นั้นมีค่ากำลังรับแรงดึงที่สูงที่สุดของทุกช่วงเวลา

เมื่อพิจารณาเปรียบเทียบระหว่างค่ากำลังรับแรงดึงของอัตราส่วนผสมของซีเมนต์/or ตัวร์ที่ผสมเองและอัตราส่วนของซีเมนต์/or ตัวร์ปูนก่อสำเร็จ TPI M300 พบว่าอัตราส่วนซีเมนต์/or ตัวร์ที่ผสมเองมีค่ากำลังรับแรงดึงที่สูงกว่าค่ากำลังรับแรงดึงของซีเมนต์/or ตัวร์ปูนก่อสำเร็จรูปในทุกช่วงอายุ

ดังนั้นค่ากำลังรับแรงดึงของซีเมนต์/or ตัวร์สามารถพัฒนากำลังแรงดึงให้กำเพงได้เมื่อเกิดแรงดึงในกำเพง

#### 4.7 ผลการทดสอบกำลังรับแรงอัดขันส่วนของกำเพงอิฐมอญ (Compressive strength of brick wall prism)

ผลการทดสอบกำลังรับแรงอัดขันส่วนของกำเพงอิฐมอญ (Compressive strength of brick wall prism) พบว่าขันส่วนของกำเพงอิฐมอญดันให้ค่ากำลังการอัดแรงเบิกหักหานมากกว่าตัวอย่างที่ใช้อิฐมอญประเภทอื่นๆ ดังนั้นจึงสรุปได้ว่า ตัวต้องการให้กำเพงอิฐมอญเป็นส่วนของโครงสร้างที่รับน้ำหนักเบิกหานจะต้องใช้อิฐมอญแบบดันเท่านั้นจึงจะให้กำลังสูงสุด

เมื่อเปรียบเทียบค่ากำลังอัดของขันส่วนของกำเพงอิฐมอญพบว่าหน่วยแรงอัดของกำเพงอิฐมอญดันมีค่าสูงกว่ากำลังอัดของขันส่วนของกำเพงอิฐมอญที่ใช้อิฐมอญแบบอื่นๆ หมายเหตุ

#### 5. ข้อเสนอแนะ

จากการสังเกตการวิบัติของตัวอย่างของก้อนอิฐมอญพบว่าสามารถแบ่งลักษณะของการ

วิบัติของก้อนอิฐมอญออกได้เป็น 2 แบบหลักคือ

#### 1. การวิบัติเนื่องจากแรงดึง (Tensile Splitting Failure) เมื่อก้อนอิฐมอญรับแรงกดอัดอยู่ในแนวคิ่ง

แล้ว แรงดึงจะเกิดขึ้นในก้อนอิฐเนื่องจากมีการขยายตัวทางค้านข้างในแนวตั้งจากกับแนวกระทำของแรงกดอัด เมื่อก้อนอิฐมอญมีความประสูงหรือมีกำลังรับแรงดึงที่ต่ำมาก เมื่อเทียบกับกำลังรับแรงอัดประดับแล้ว ก้อนอิฐมอญจะเกิดการวิบัติหรือแตกร้าวในแนวกระทำของแรงกดอัดในแนวคิ่ง

#### 2. การวิบัติเนื่องจากแรงดึงและแรงเฉือน (Combined Tensile Splitting and Shear Failure) การวิบัติ

เนื่องจากแรงดึงและแรงเฉือนจะมีลักษณะที่เหมือนกับการวิบัติเนื่องจากแรงดึงแต่รอยแตกร้าวแทนที่จะอยู่ในแนวคิ่งเท่านั้น ที่จะมีรอยแตกร้าวในแนวทะแยงร่วมด้วยแต่การนิยมบะ夷ะแบบนี้อยู่ในการทดสอบ

เมื่อพิจารณาจากตัวอิฐมอญแล้วพบว่าอิฐมอญที่มีรูโพรง ซึ่งการทำอิฐมอญให้มีรูโพรงนั้นจะช่วยในการลดน้ำหนักของก้อนอิฐมอญเพื่อลดน้ำหนักของโครงสร้าง และเพื่อลดระยะเวลาในการเผาอิฐให้น้อยลง แต่ข้อเสียคือ อิฐที่มีรูโพรงจะมีกำลังรับแรงกดอัดประดับที่ต่ำกว่าแบบไม่มีรูโพรง

#### บรรณานุกรม

1. แผนกวิชาช่างโยธา (2543) คู่มือปฏิบัติการทดสอบวัสดุ (ปรับปรุงครั้งที่ 1/2543) เอกสารประกอบการเรียน แผนกวิชาช่างโยธา วิทยาลัยเทคนิคคุสิต กรมอาชีวศึกษา กระทรวงศึกษาธิการ

2. มอก.77 (2545) มาตรฐานผลิตภัณฑ์อุตสาหกรรม อิฐก่อสร้างสามัญ สำนักงาน มาตรฐานผลิตภัณฑ์อุตสาหกรรม กระทรวงอุตสาหกรรม

3. พศ. ดร. สิงห์ชัย แสงอาทิตย์ สาขาวิชา วิศวกรรมโยธา สำนักวิชาศวกร มหาวิทยาลัยเทคโนโลยีสุรนารี มกราคม 2545

4. คู่มือการทดสอบเล่มที่ 2 การทดสอบ  
วิศวกรรมโยธา (Materials Testing in civil Engineering.)

5. พงศ์พัน วรสุนโหสก และวรพงศ์ วรสุ  
นทโหสก. 2544. วัสดุก่อสร้าง. โรงพิมพ์ชีเอ็คьюเคชั่น  
จำกัด (มหาชน), กรุงเทพฯ.

6. รศ.คำเนินกร คงพาลา และ พศ.สรกานต์  
ศรีต่องอ่อน สาขาวิชาวิศวกรรมโยธา สำนักวิชา  
วิศวกรรมศาสตร์ มหาวิทยาลัยเทคโนโลยีสุรนารี

7. กรมวิชีพลิดอิฐมอญ ฝ่ายบริการข้อมูล  
อุดสาหกรรม กองพัฒนาอุตสาหกรรม กรมส่งเสริม  
อุตสาหกรรม

8. สิทธิชัย เลิศวิชัย นักศึกษาระดับ  
บัณฑิตศึกษา สาขาวิชาวิศวกรรมโยธา มหาวิทยาลัย  
เทคโนโลยีสุรนารี

9. มาตรฐาน ว.ส.ท. (E.I.T. Standard)

10. มาตรฐาน Australian Standard AS3700-  
98 การออกแบบผนังเสริมเหล็ก ด้วยวิธีกำลัง (ultimate  
stress design)

11. มาตรฐาน American Concrete Institute  
ACI 530-92 การออกแบบผนังเสริมเหล็กโดยวิธีหน่วย  
แรงใช้งาน (working stress design)